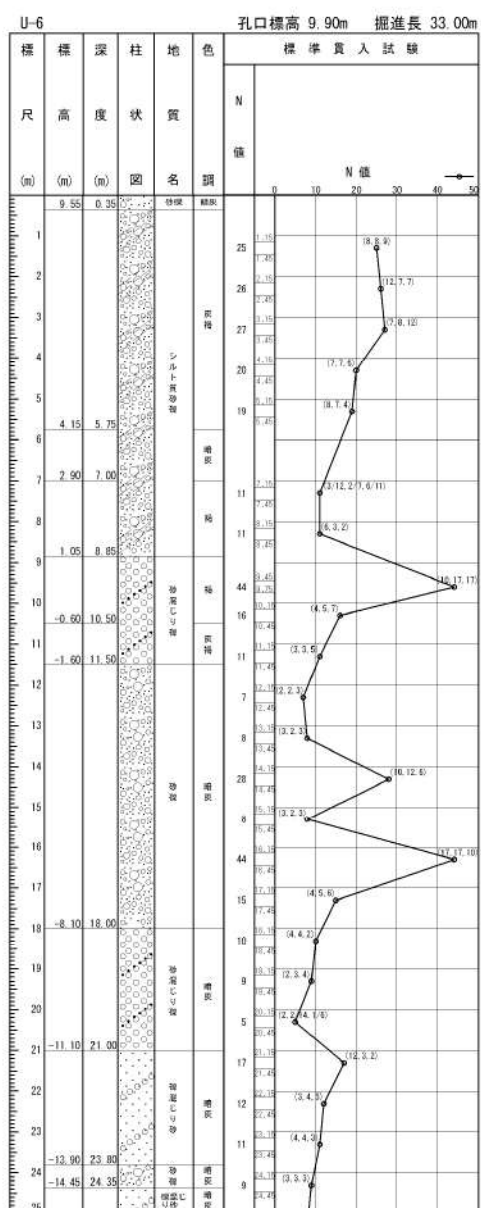
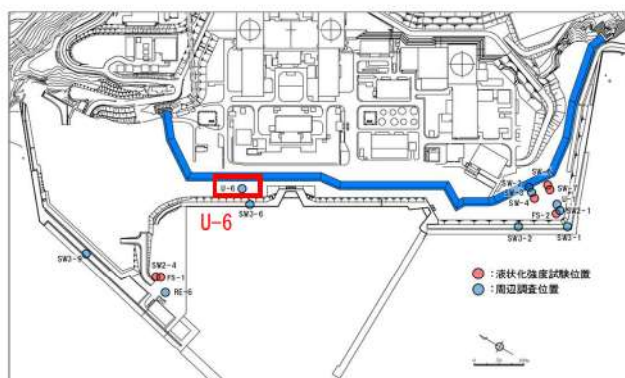


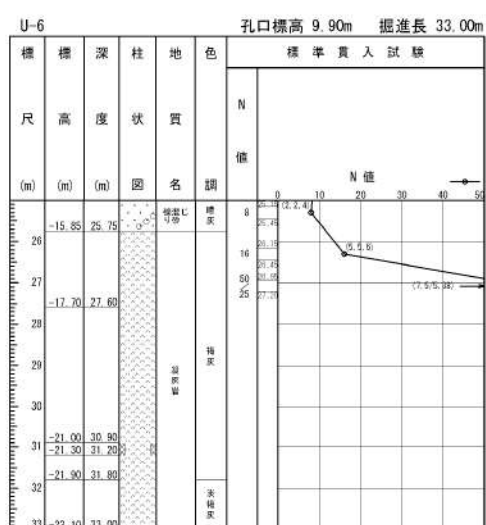
ボーリング平面位置図



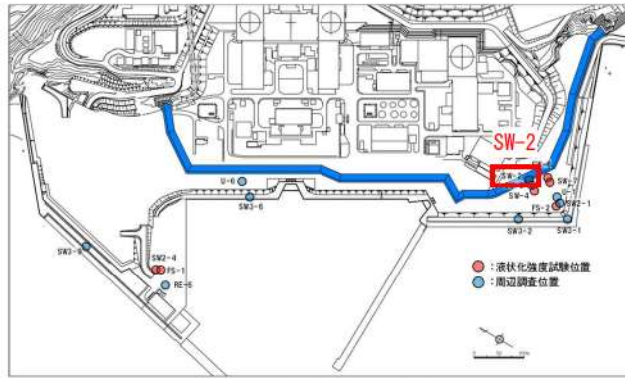
添付 1-42 図(1/2) ボーリング柱状図・コア写真 (U-6)



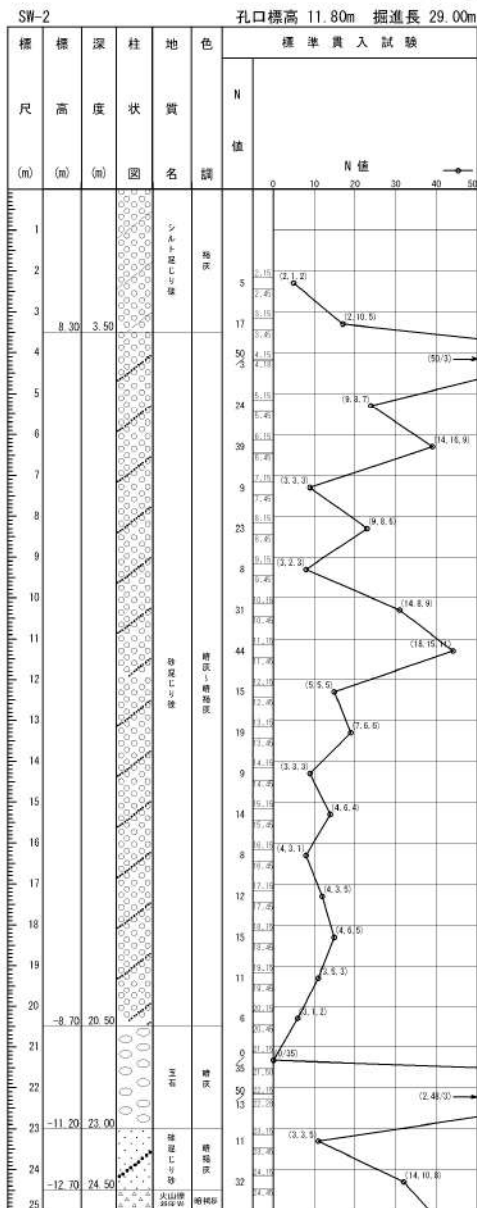
ボーリング平面位置図



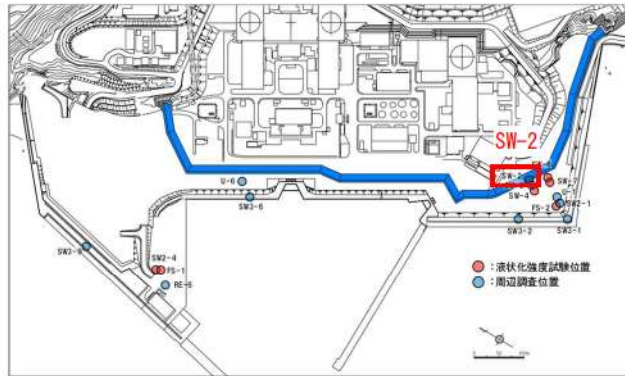
添付 1-42 図(2/2) ボーリング柱状図・コア写真 (U-6)



ボーリング平面位置図



添付 1-43 図(1/2) ボーリング柱状図・コア写真 (SW-2)



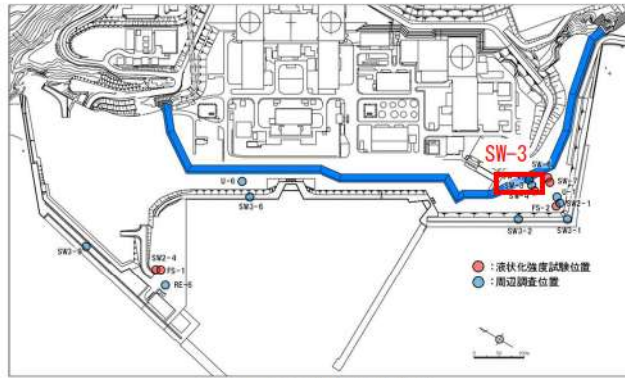
ボーリング平面位置図

SW-2 孔口標高 11.80m 掘進長 29.00m

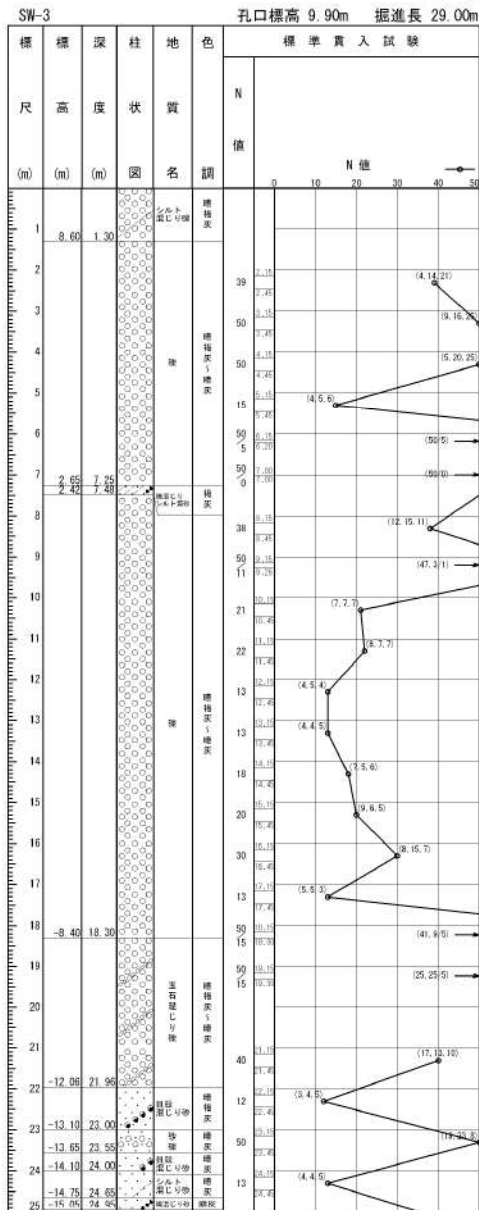
| 標尺 (m) | 標高 (m) | 深 度 (m) | 柱 状 図 | 地 質 名 | 色 調 | 標準貫入試験 | |
|--------|--------|---------|--------------|-------|-----|--------|-----|
| | | | | | | N 値 | N 値 |
| | -13.70 | 25.50 | 火山噴出物 灰土層 | 砂質土 | 褐色 | 41 | 0 |
| 26 | | 50 | | | | 10 | |
| 27 | | 50 | | | | 20 | |
| 28 | | 50 | | | | 30 | |
| 29 | -17.20 | 29.00 | | | | | 40 |



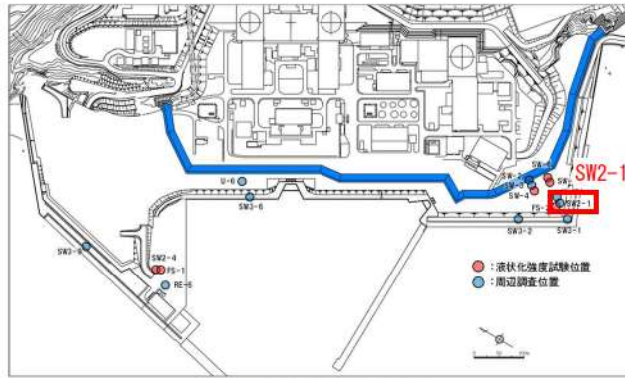
添付 1-43 図(2/2) ボーリング柱状図・コア写真 (SW-2)



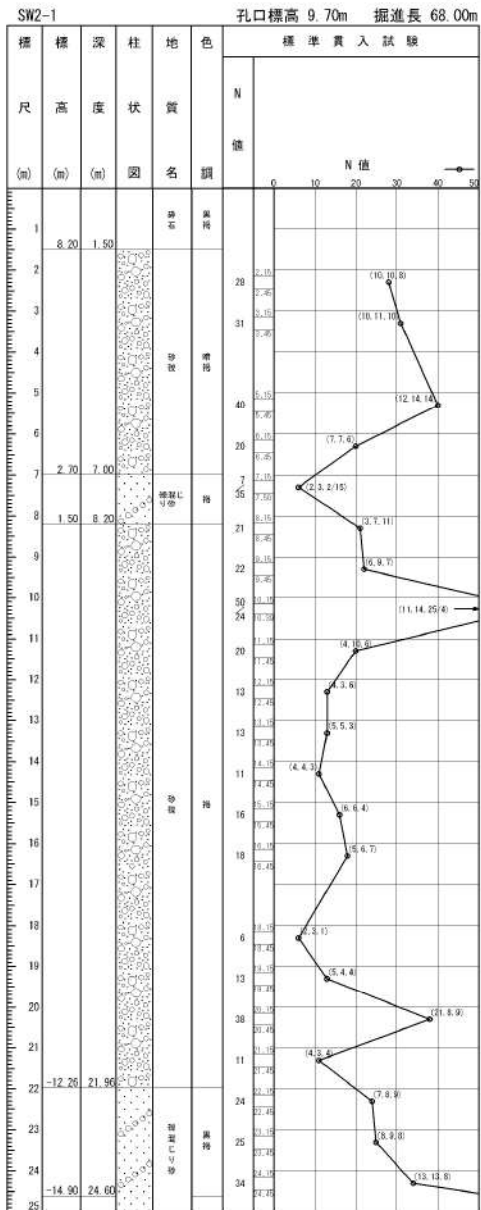
ボーリング平面位置図



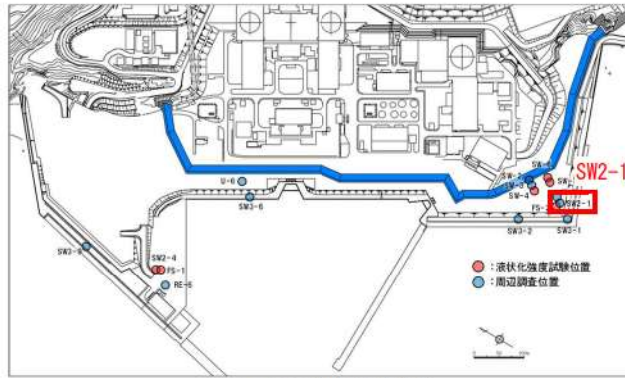
添付 1-44 図(1/2) ボーリング柱状図・コア写真 (SW-3)



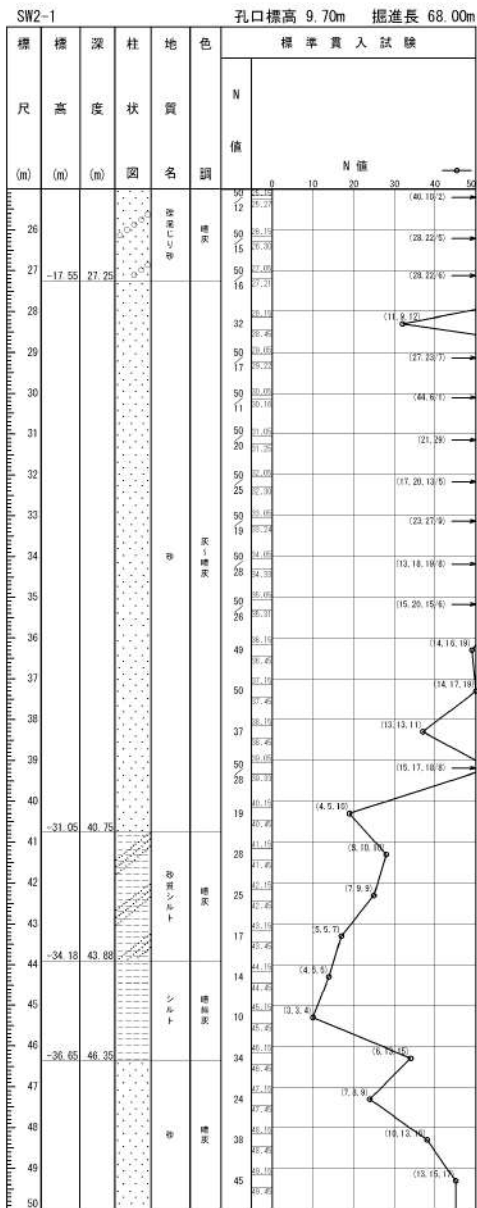
ボーリング平面位置図



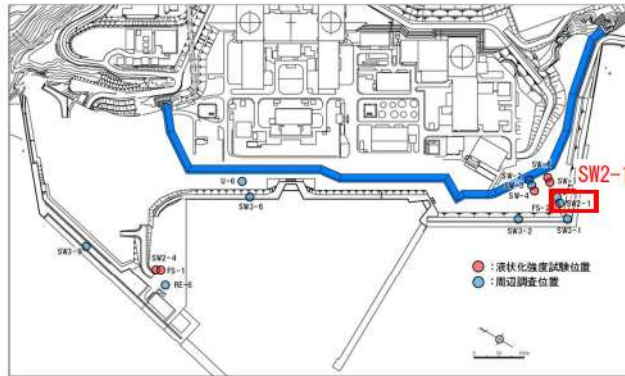
添付 1-45 図(1/3) ボーリング柱状図・コア写真 (SW2-1)



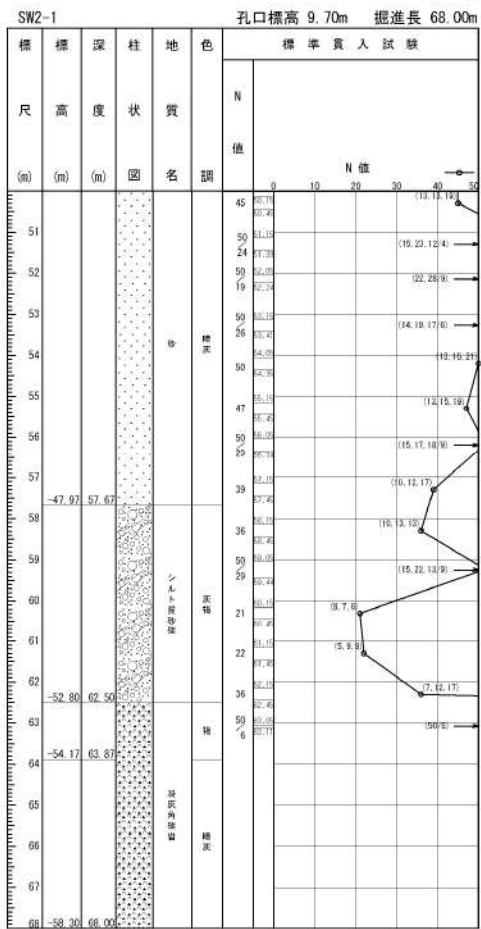
ボーリング平面位置図



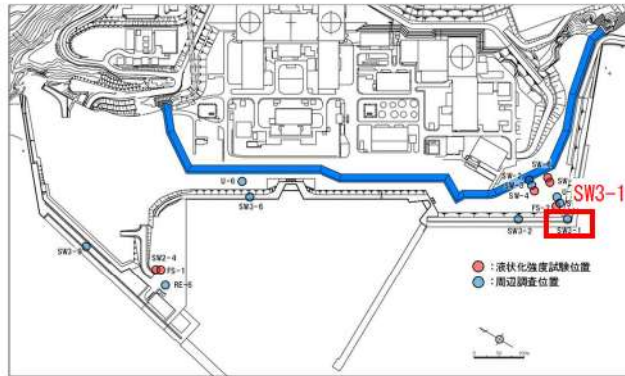
添付 1-45 図 (2/3) ボーリング柱状図・コア写真 (SW2-1)



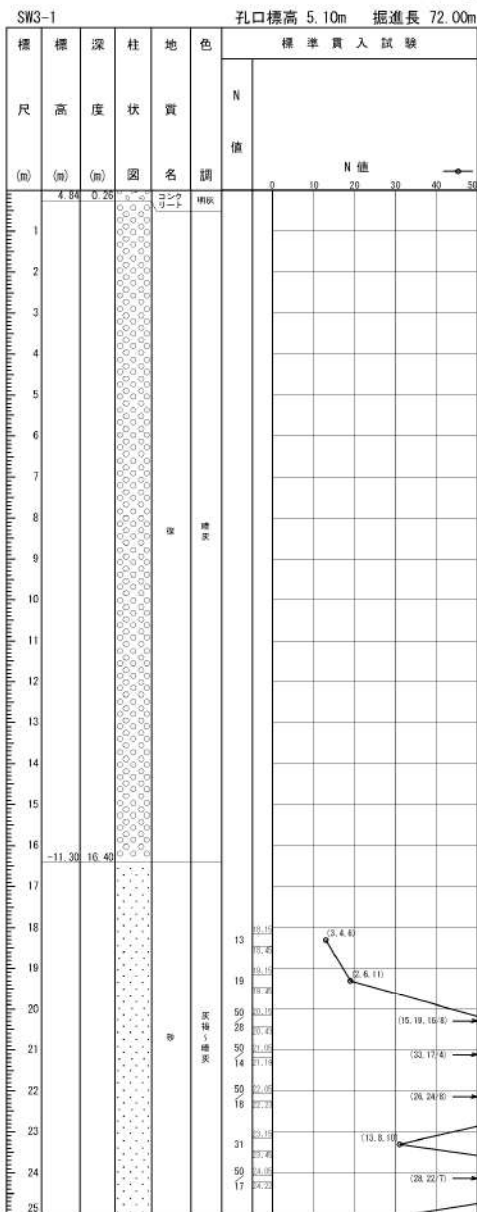
ボーリング平面位置図



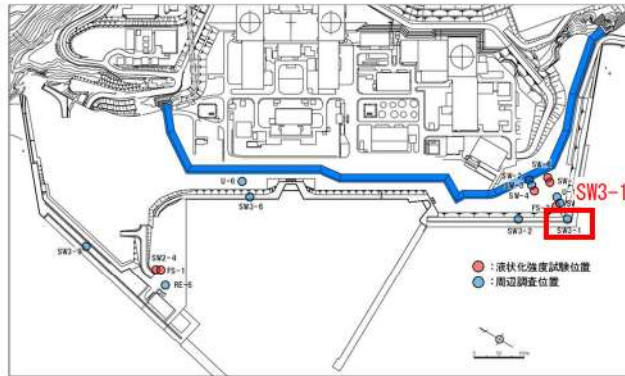
添付 1-45 図(3/3) ボーリング柱状図・コア写真 (SW2-1)



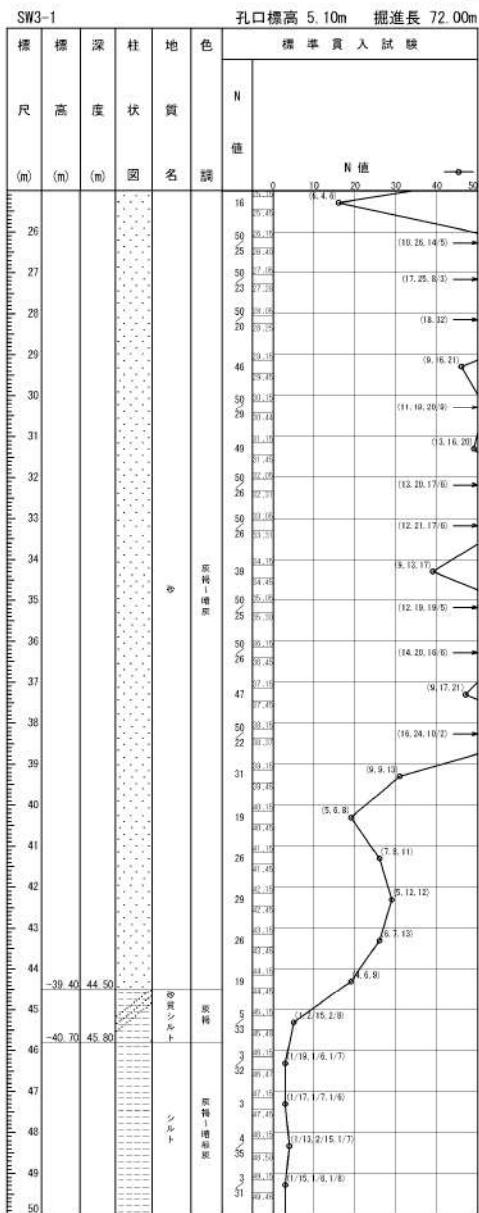
ボーリング平面位置図



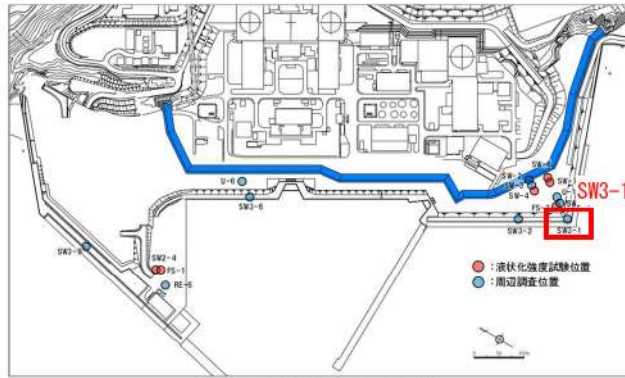
添付 1-46 図(1/3) ボーリング柱状図・コア写真 (SW3-1)



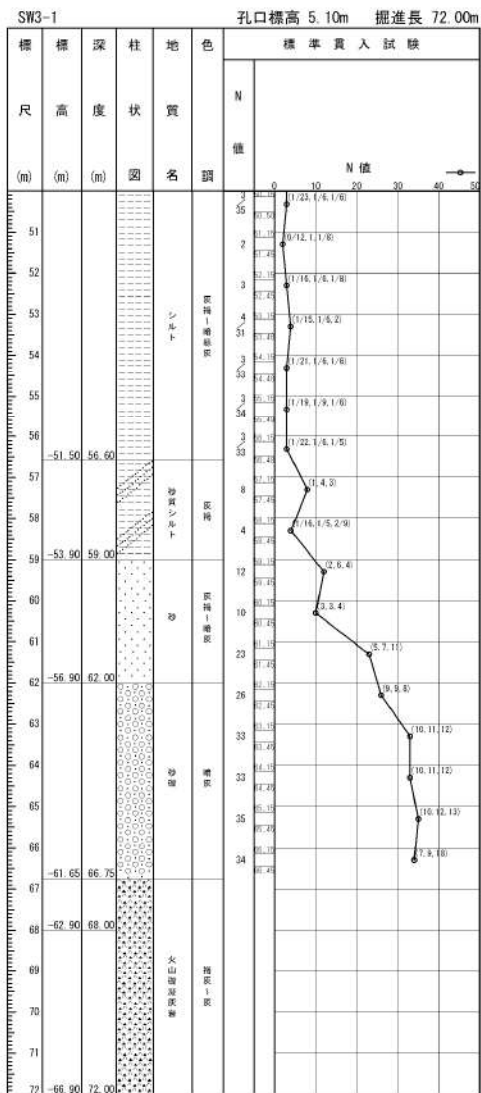
ボーリング平面位置図



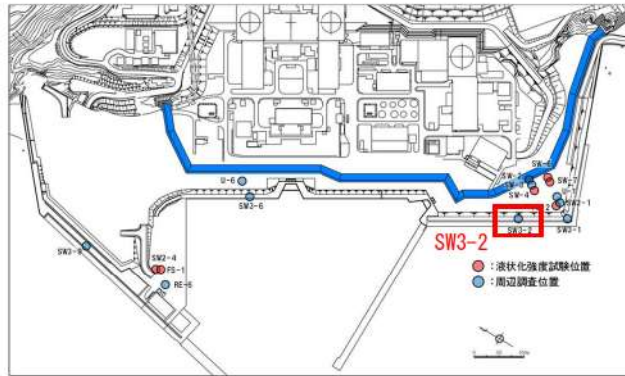
添付 1-46 図(2/3) ボーリング柱状図・コア写真 (SW3-1)



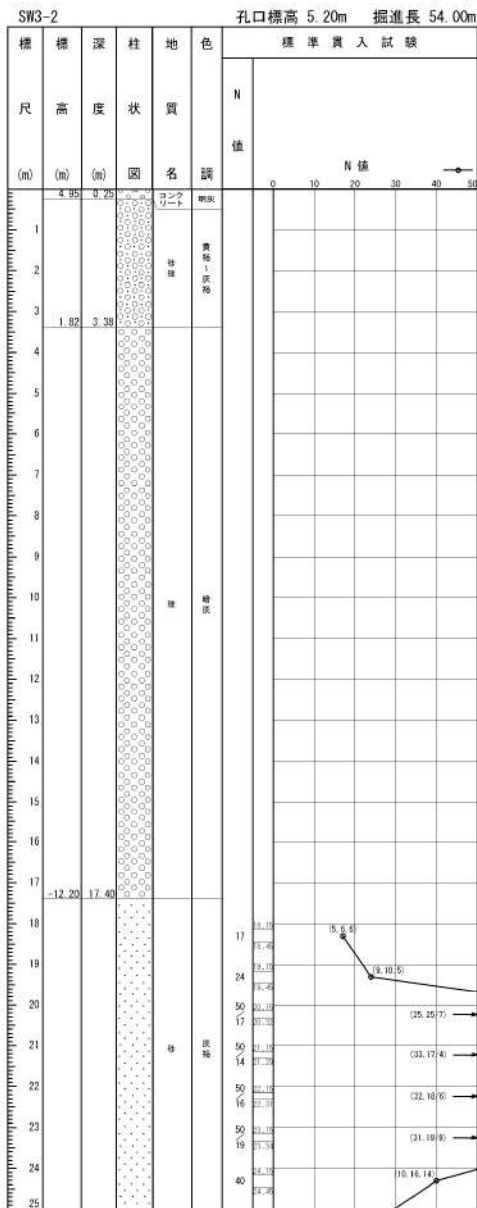
ボーリング平面位置図



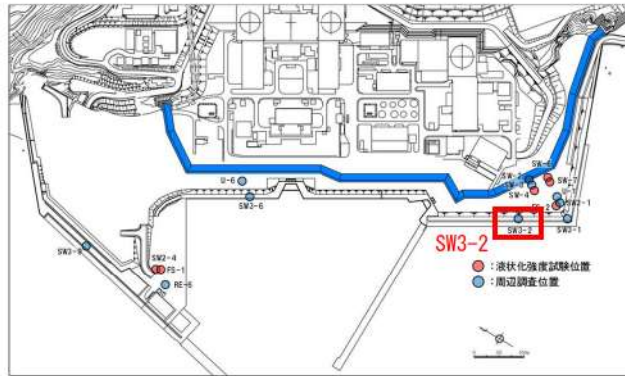
添付 1-46 図(3/3) ボーリング柱状図・コア写真 (SW3-1)



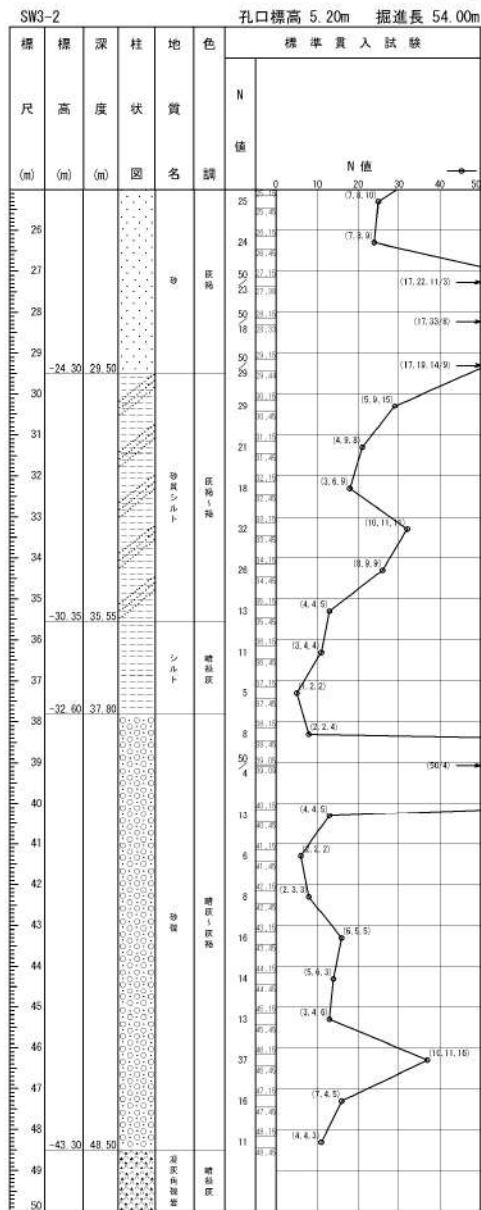
ボーリング平面位置図



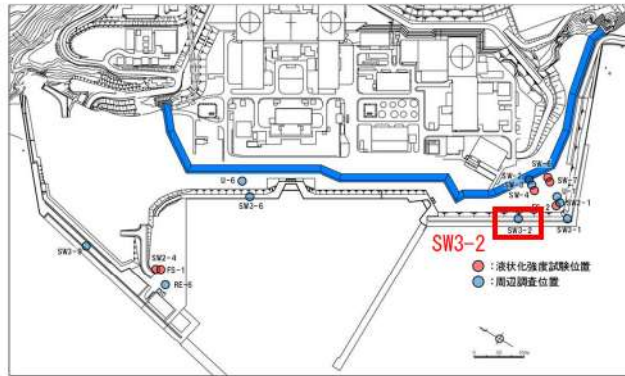
添付 1-47 図(1/3) ボーリング柱状図・コア写真 (SW3-2)



ボーリング平面位置図



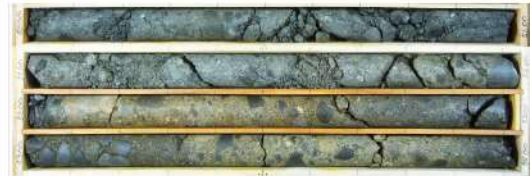
添付 1-47 図 (2/3) ボーリング柱状図・コア写真 (SW3-2)



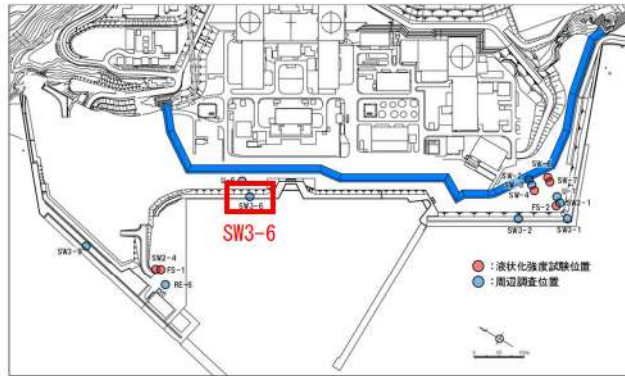
ボーリング平面位置図

SW3-2 孔口標高 5.20m 掘進長 54.00m

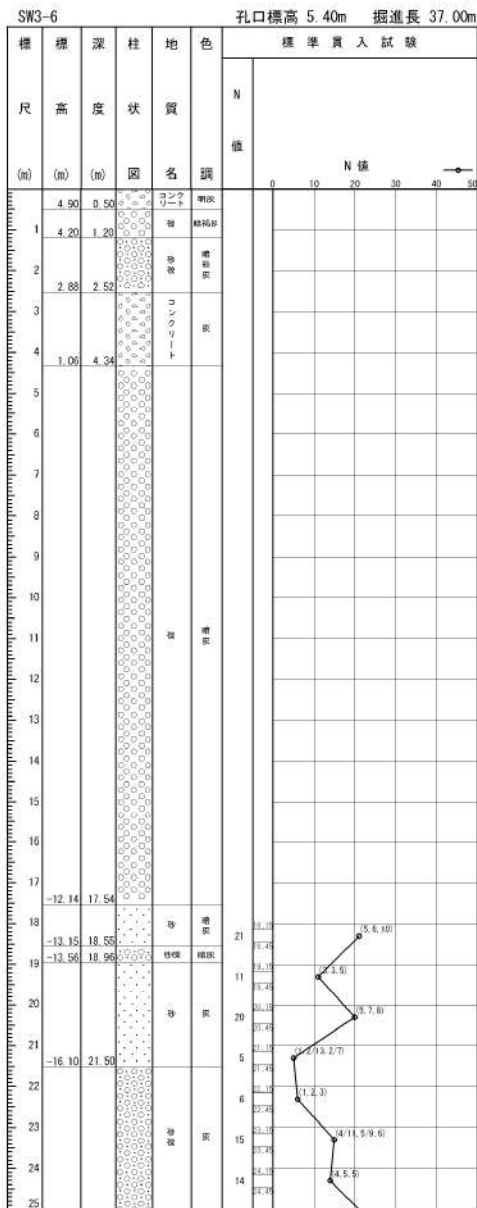
| 標尺 (m) | 標高 (m) | 深度 (m) | 柱状図 | 地質名 | 色調 | 標準貫入試験 | | |
|--------|--------|--------|-----------------|-----|----|--------|-----|--|
| | | | | | | N 値 | N 値 | |
| 51 | | | [Pattern: 土質の層] | 埋戻灰 | | 0 | | |
| 52 | -46.80 | 52.00 | | | | | | |
| 53 | | | | | | | | |
| 54 | -48.80 | 54.00 | | 埋戻 | | | | |



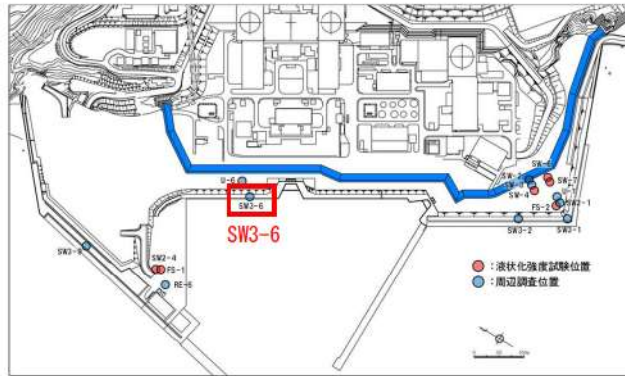
添付 1-47 図(3/3) ボーリング柱状図・コア写真 (SW3-2)



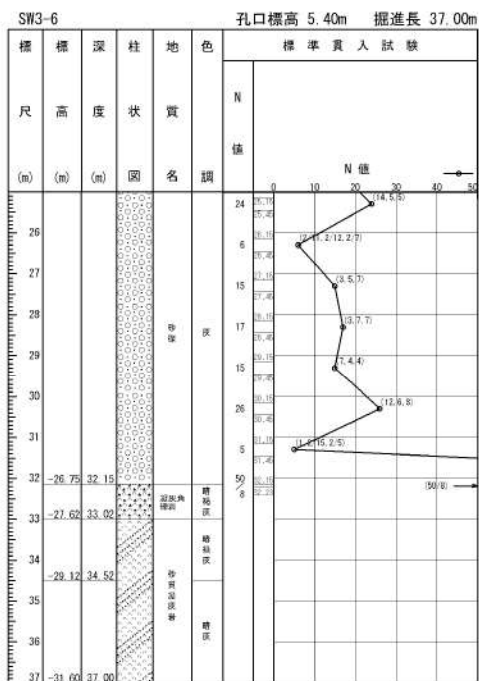
ボーリング平面位置図

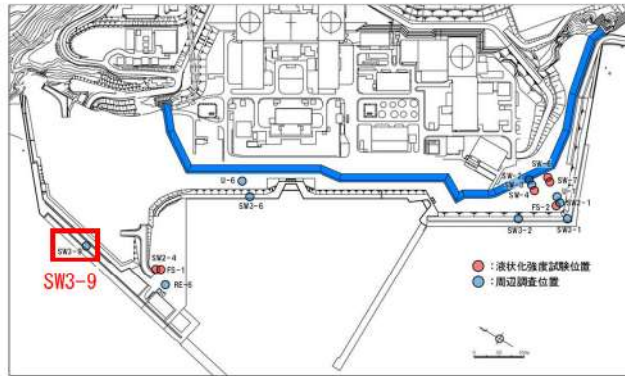


添付 1-48 図(1/2) ボーリング柱状図・コア写真 (SW3-6)

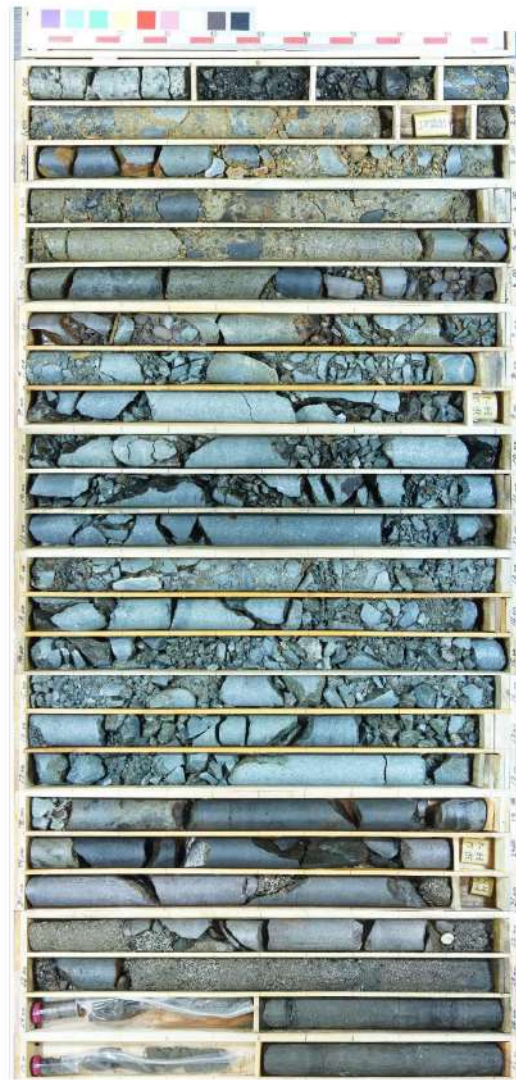
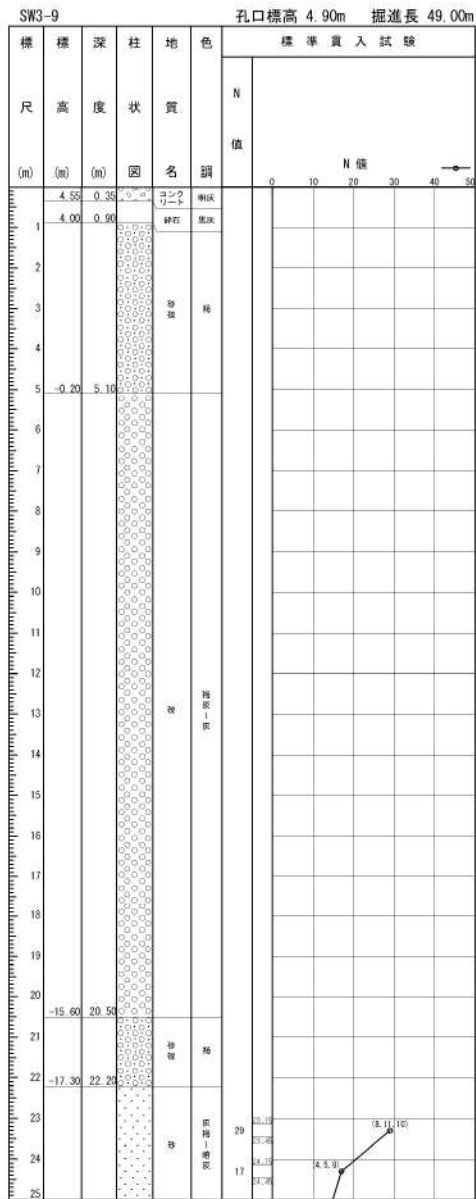


ボーリング平面位置図

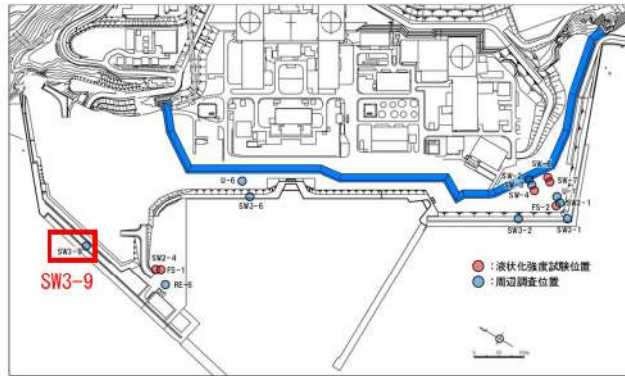




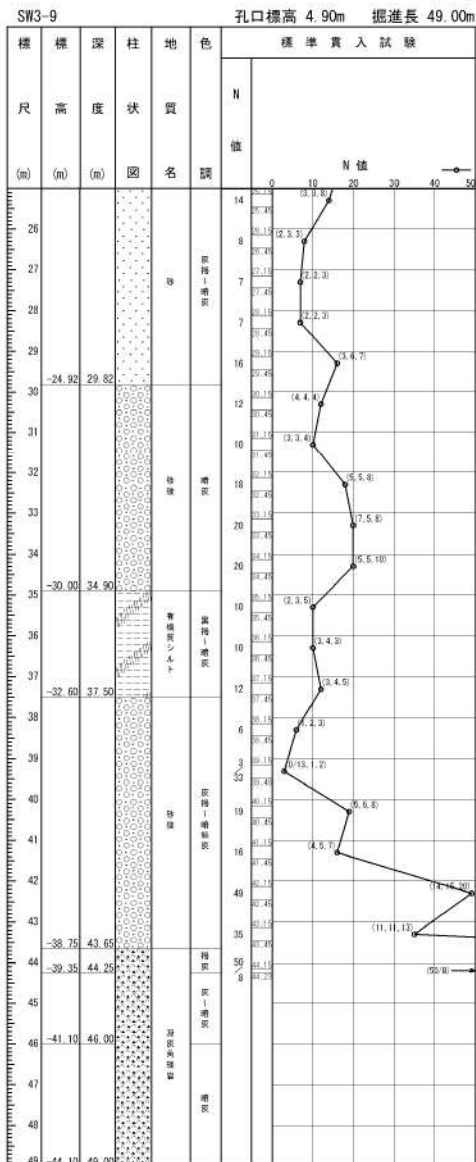
ボーリング平面位置図



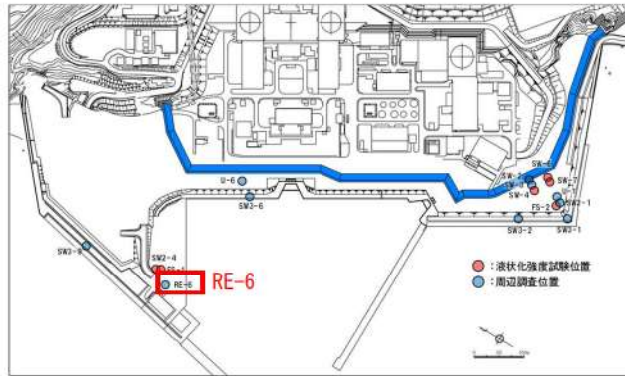
添付 1-49 図(1/2) ボーリング柱状図・コア写真 (SW3-9)



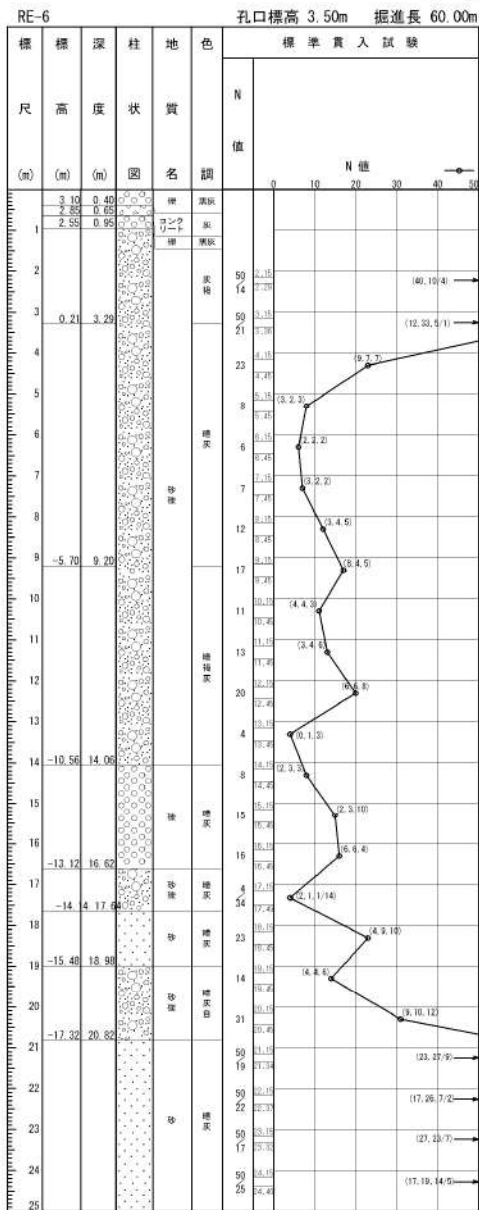
ボーリング平面位置図



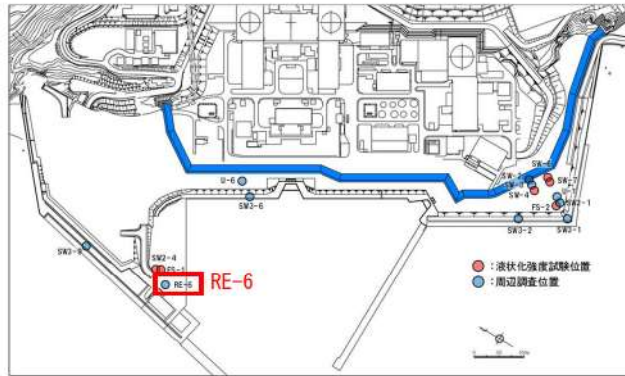
添付 1-49 図(2/2) ボーリング柱状図・コア写真 (SW3-9)



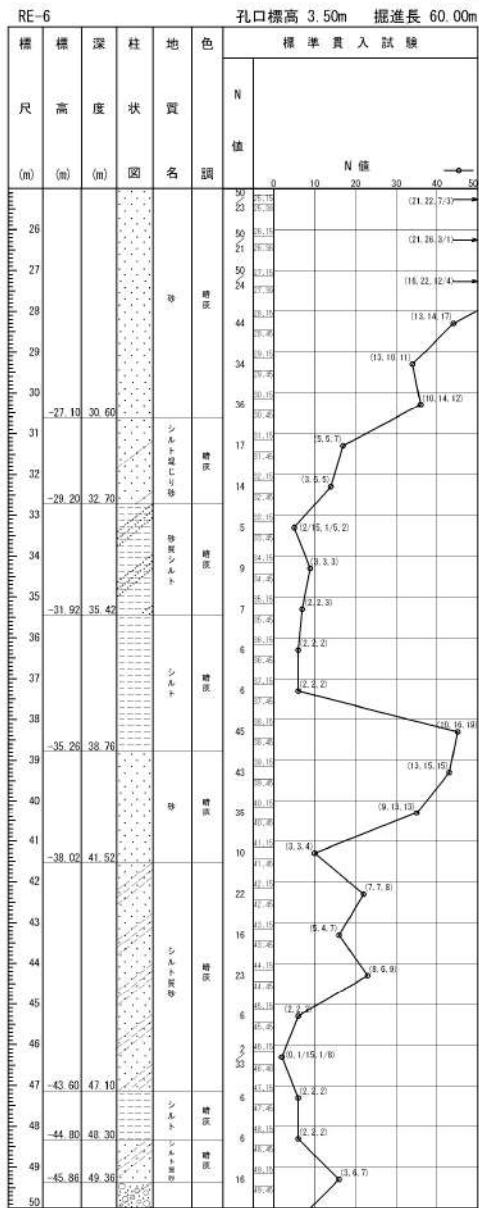
ボーリング平面位置図



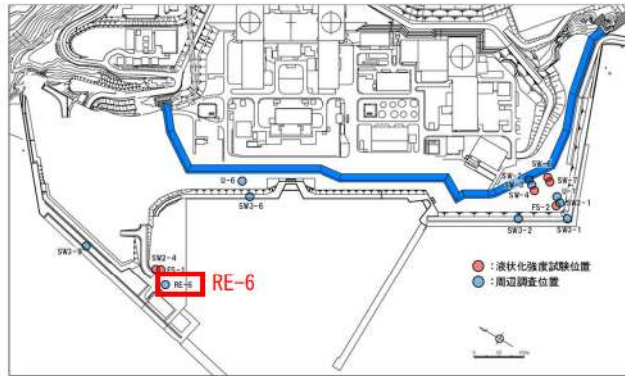
添付 1-50 図(1/3) ボーリング柱状図・コア写真 (RE-6)



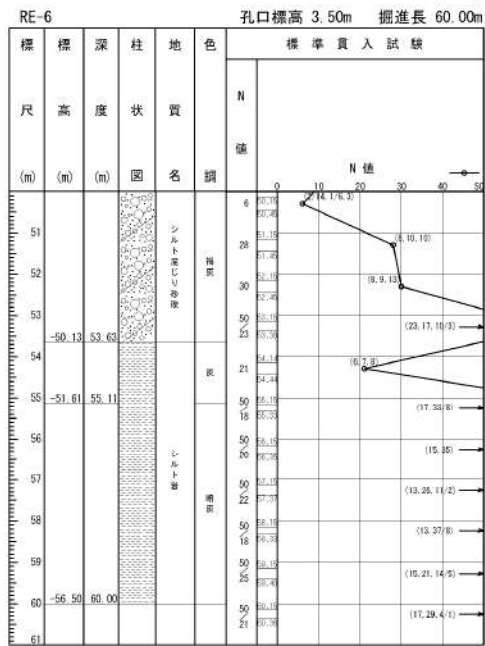
ボーリング平面位置図



添付 1-50 図(2/3) ボーリング柱状図・コア写真 (RE-6)



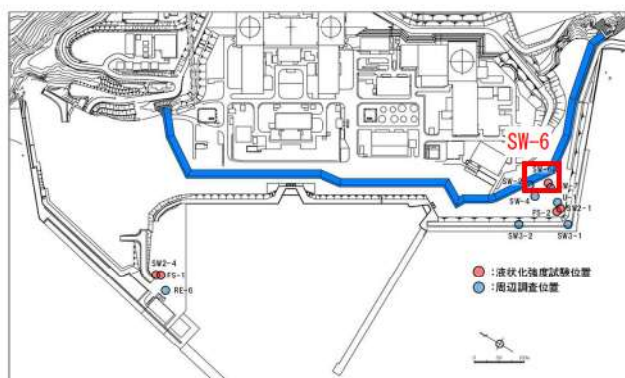
ボーリング平面位置図



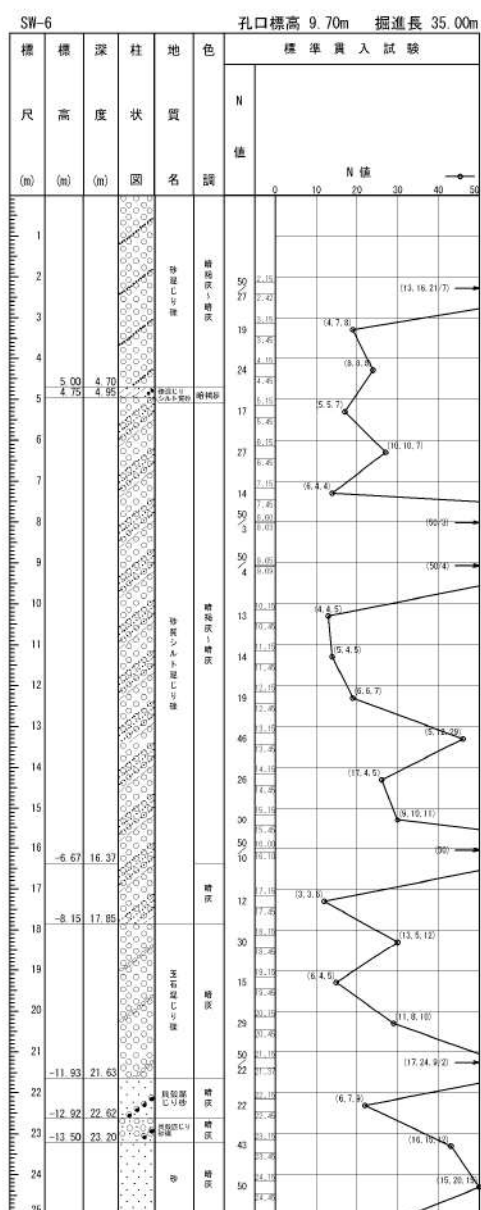
添付 1-50 図(3/3) ボーリング柱状図・コア写真 (RE-6)

1. 埋戻土・砂層のボーリング柱状図・コア写真

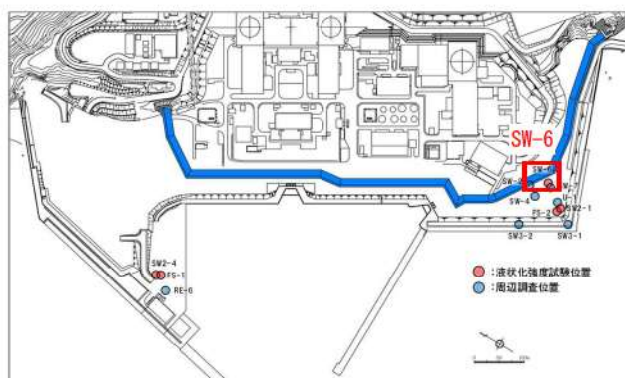
(4) As2 層のボーリング柱状図・コア写真



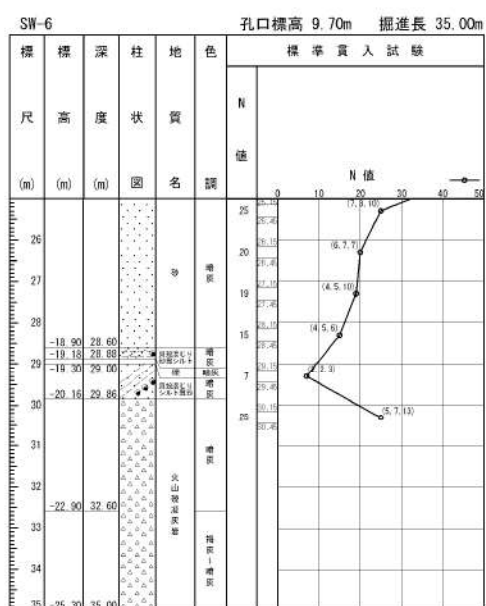
ボーリング平面位置図



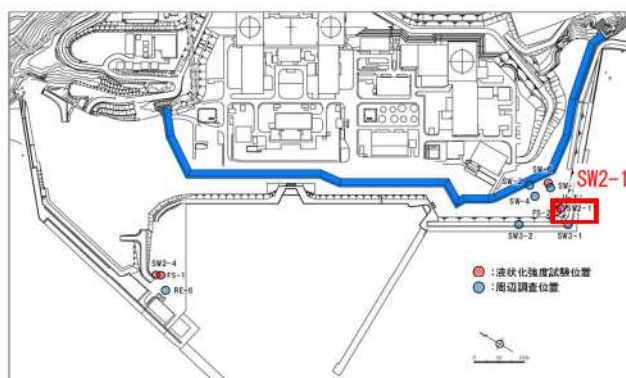
添付 1-51 図(1/2) ボーリング柱状図・コア写真 (SW-6)



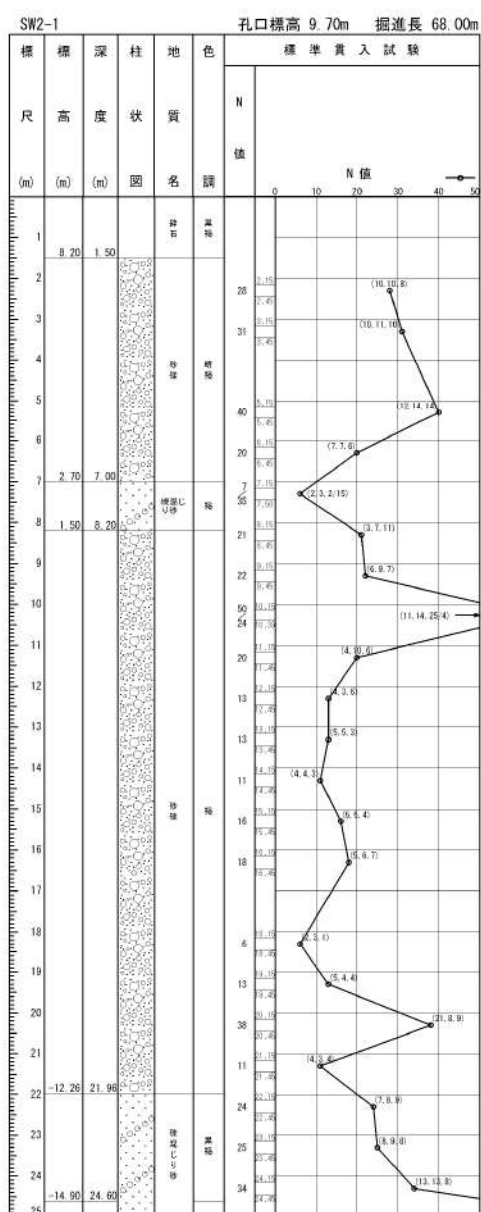
ボーリング平面位置図



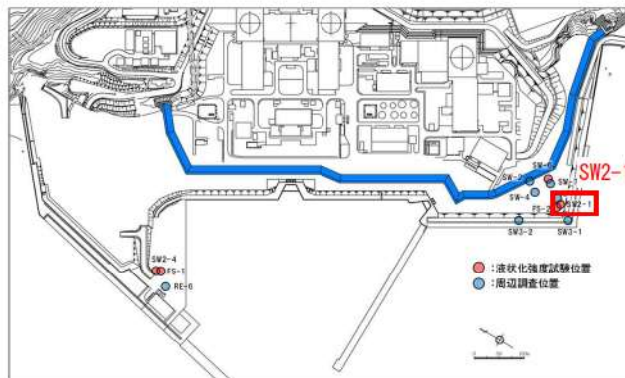
添付 1-51 図(2/2) ボーリング柱状図・コア写真 (SW-6)



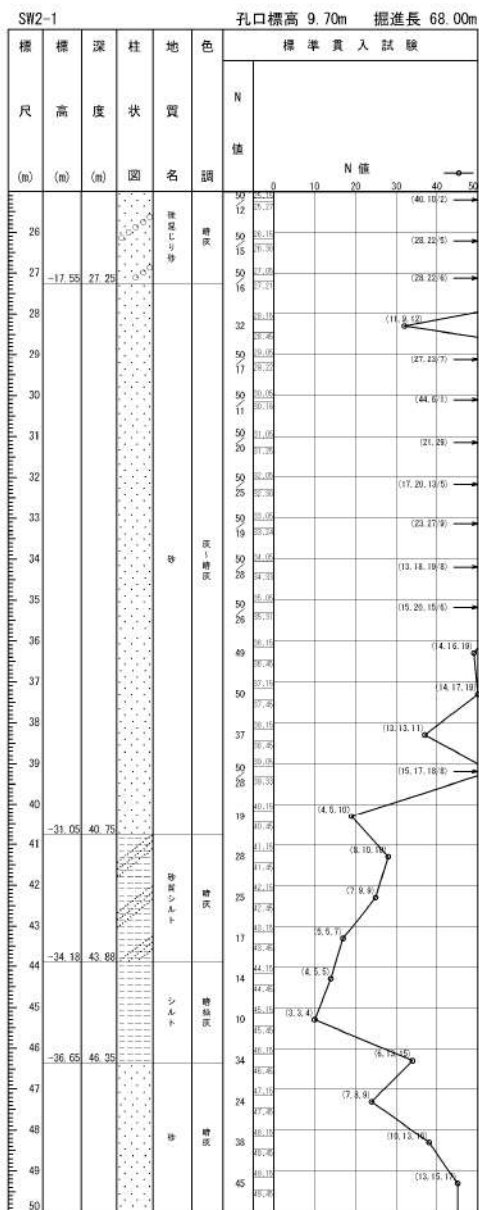
ボーリング平面位置図



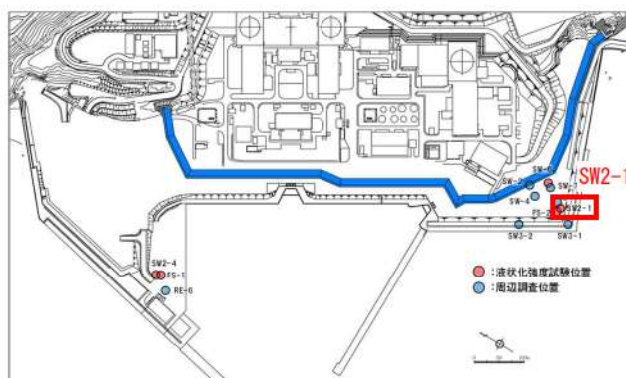
添付 1-52 図(1/3) ボーリング柱状図・コア写真 (SW2-1)



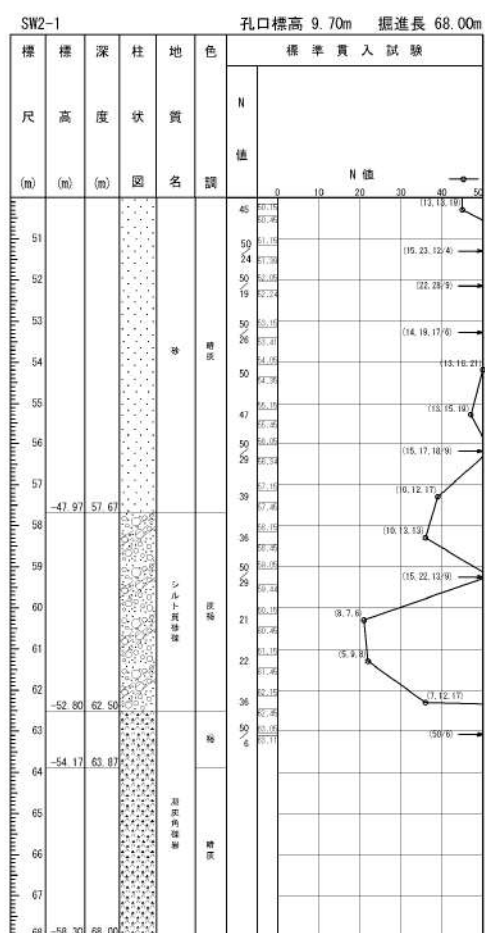
ボーリング平面位置図



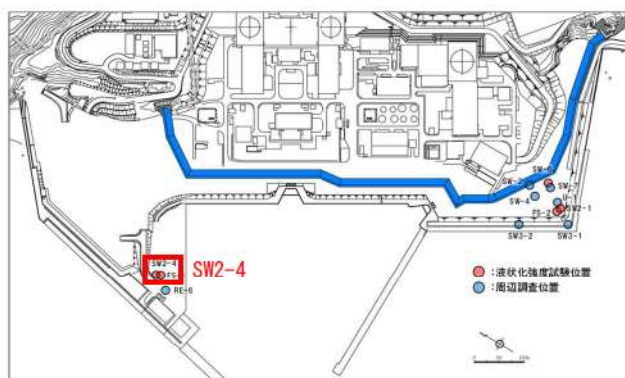
添付 1-52 図(2/3) ボーリング柱状図・コア写真 (SW2-1)



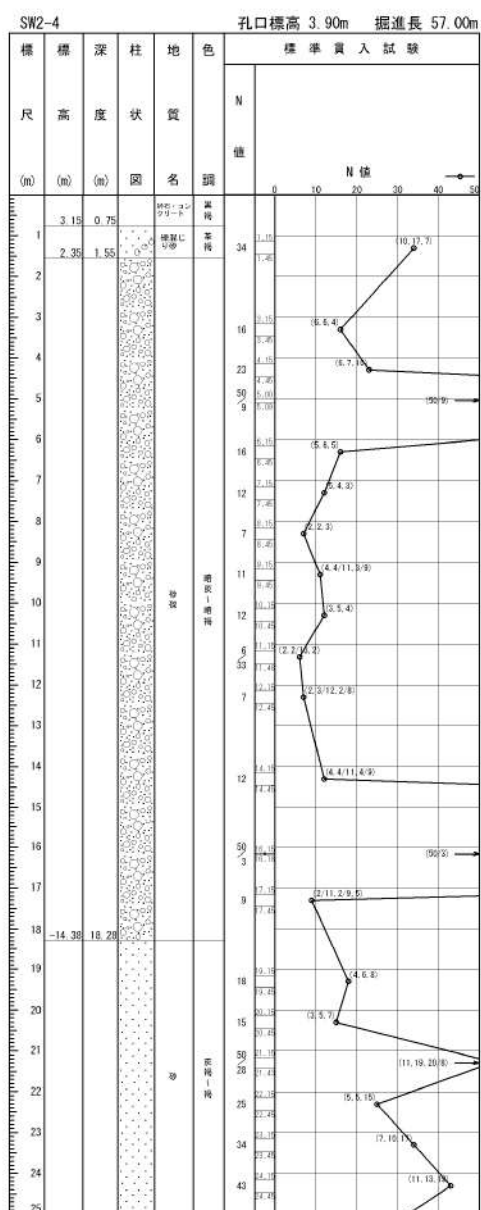
ボーリング平面位置図



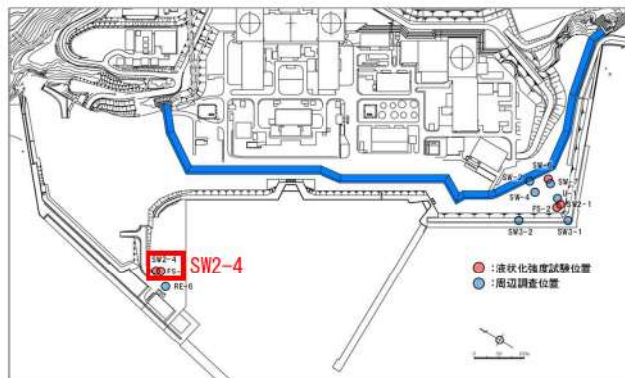
添付 1-52 図(3/3) ボーリング柱状図・コア写真 (SW2-1)



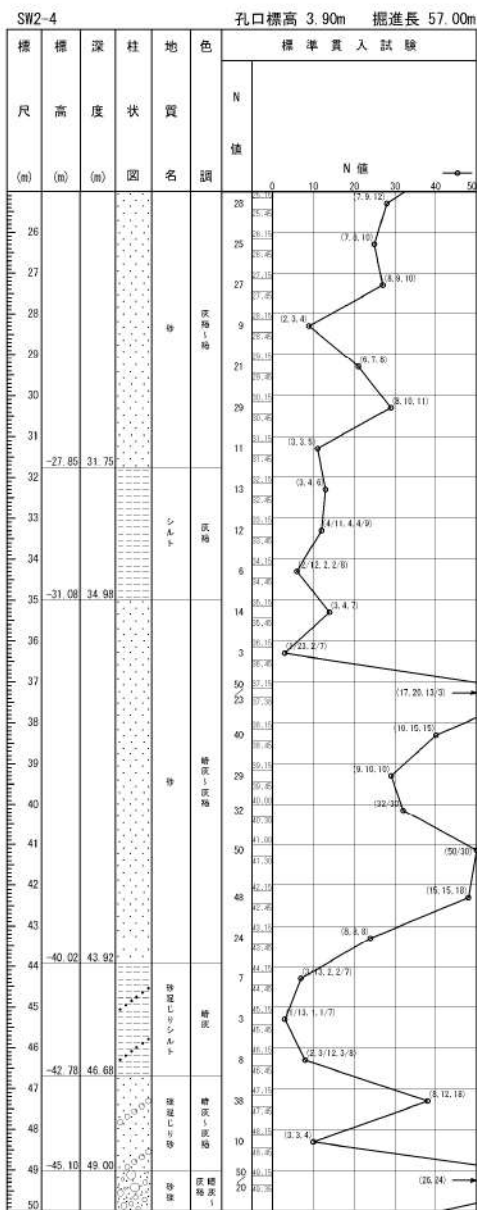
ボーリング平面位置図



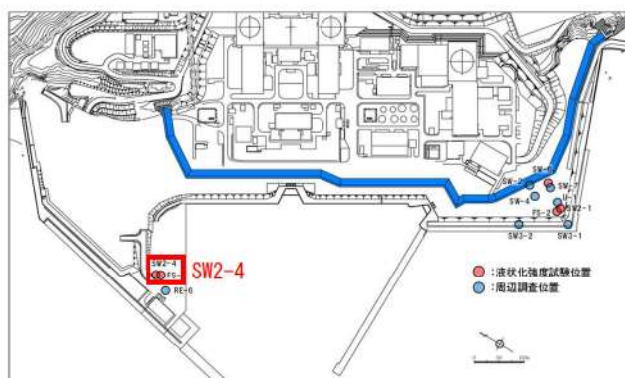
添付 1-53 図(1/3) ボーリング柱状図・コア写真 (SW2-4)



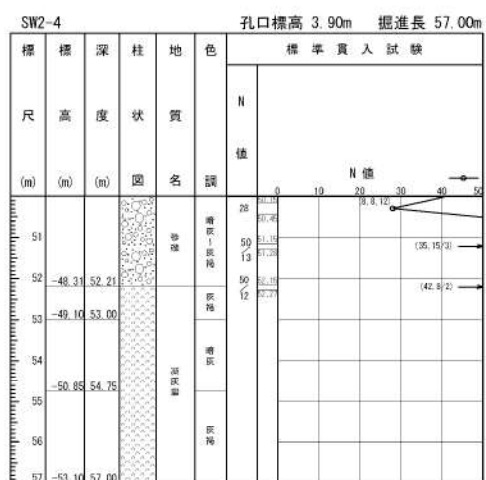
ボーリング平面位置図



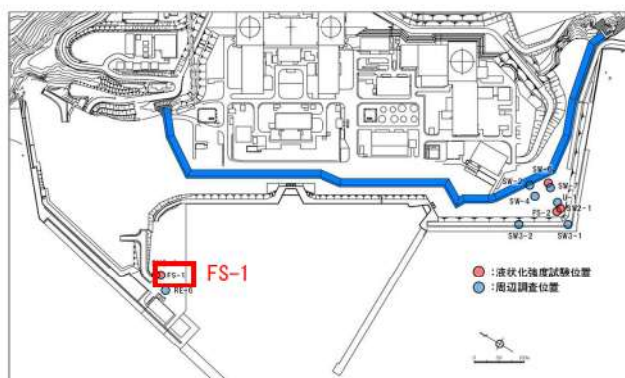
添付 1-53 図(2/3) ボーリング柱状図・コア写真 (SW2-4)



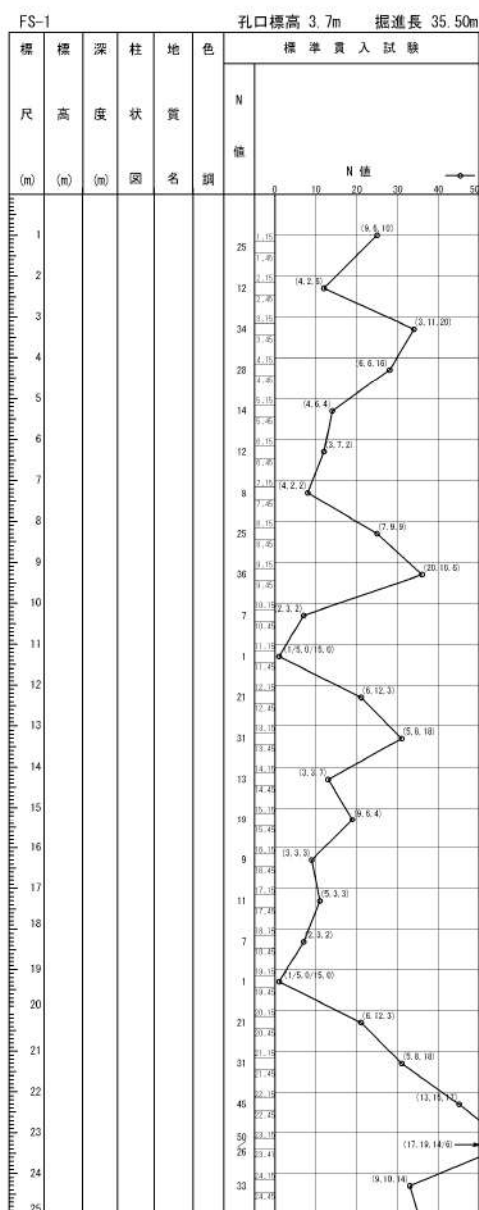
ボーリング平面位置図



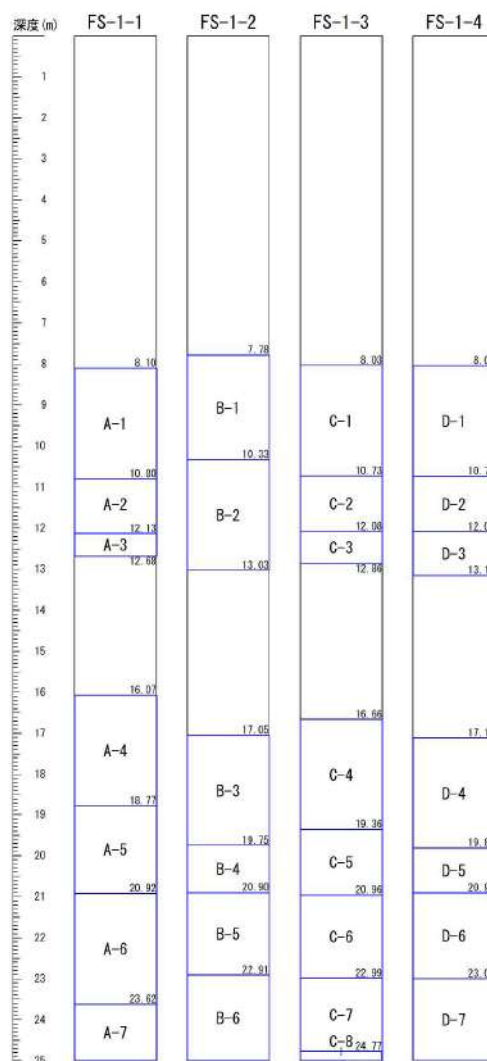
添付 1-53 図 (3/3) ボーリング柱状図・コア写真 (SW2-4)



ボーリング平面位置図

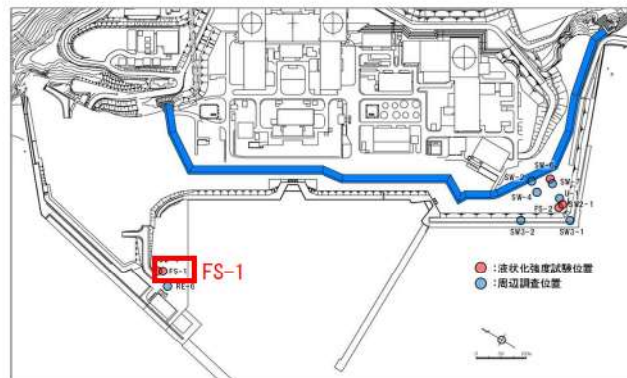


※FS-1 は標準貫入試験のみ実施

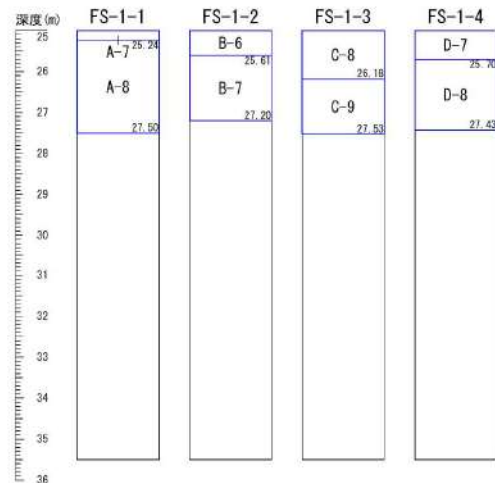
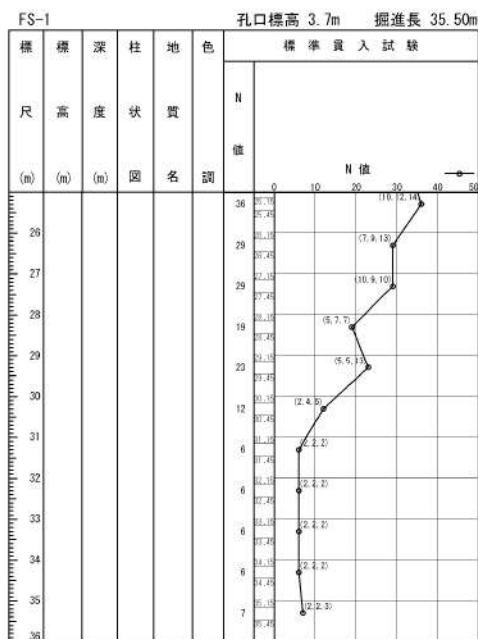


□ : サンプル位置

添付 1-54 図(1/10) ボーリング柱状図・コア写真 (FS-1)



ボーリング平面位置図



※FS-1 は標準貫入試験のみ実施

□ : サンプル位置

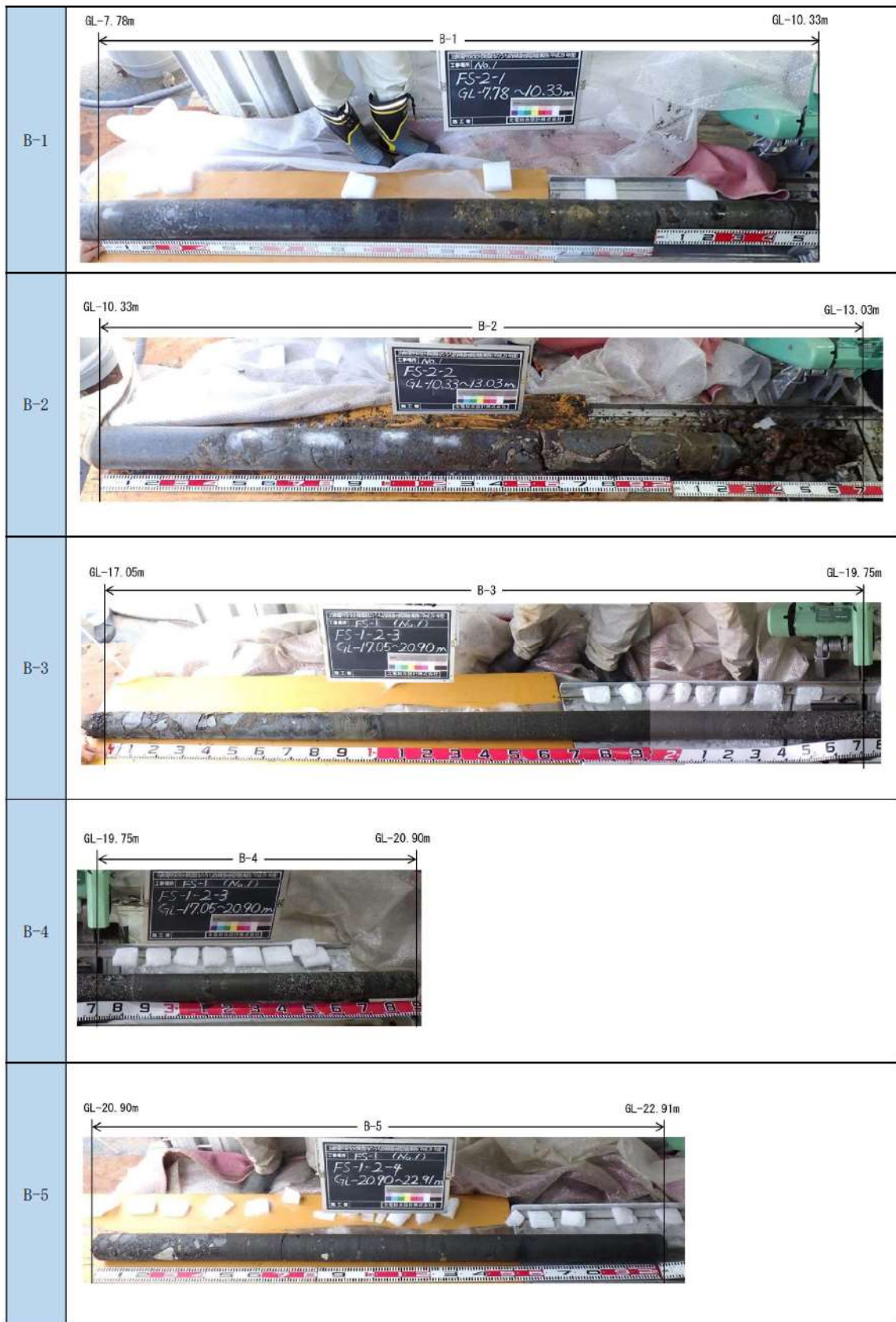
添付 1-54 図(2/10) ボーリング柱状図・コア写真 (FS-1)



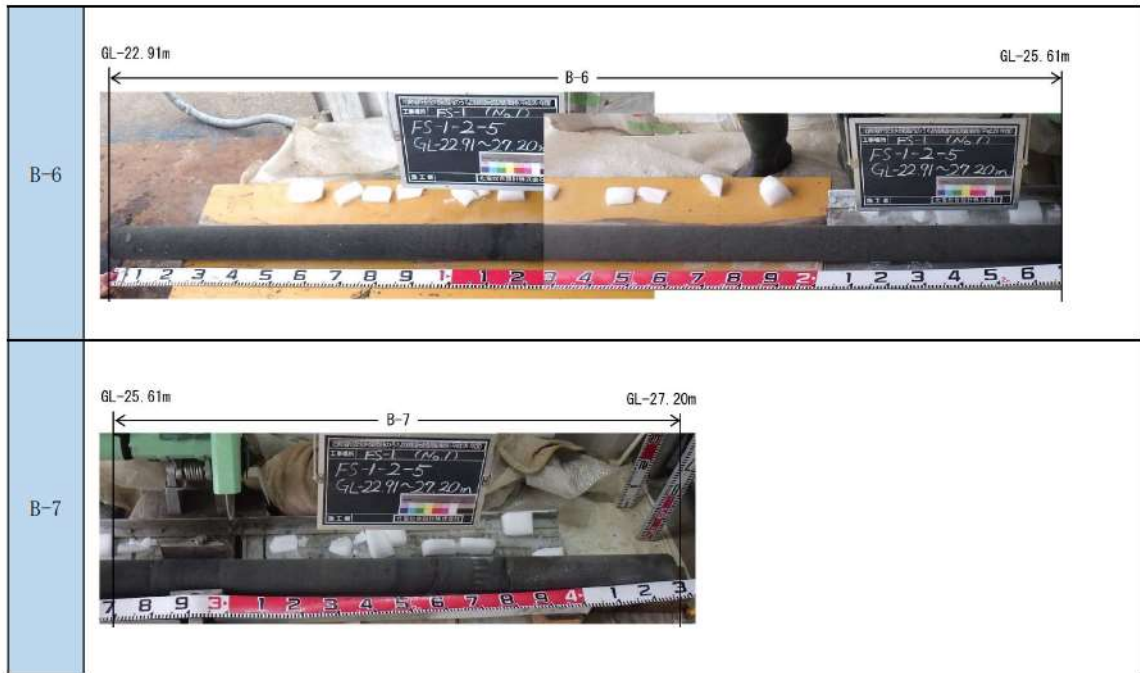
添付 1-54 図(3/10) ボーリング柱状図・コア写真 (FS-1)



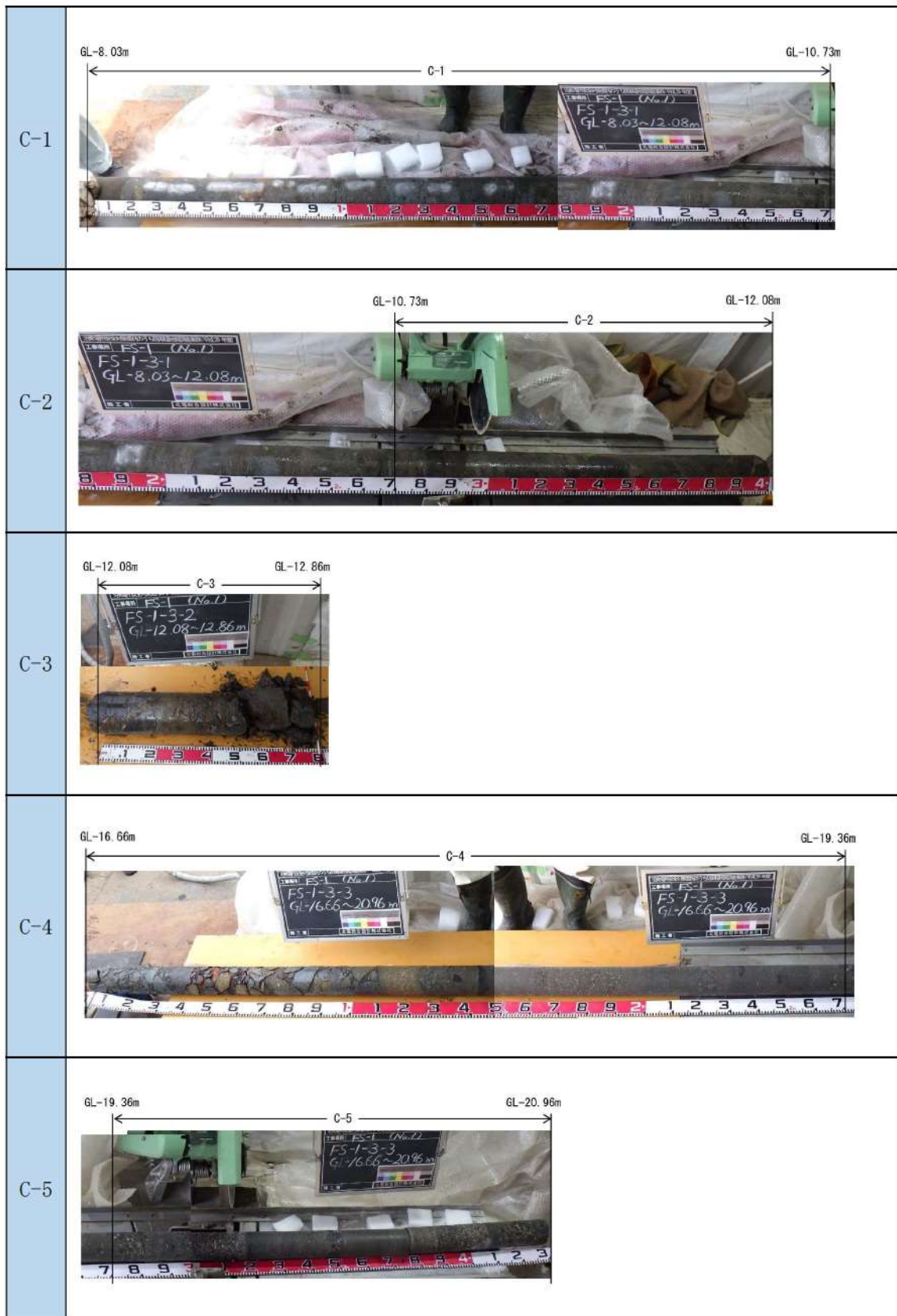
添付 1-54 図(4/10) ボーリング柱状図・コア写真 (FS-1)



添付 1-54 図(5/10) ボーリング柱状図・コア写真 (FS-1)



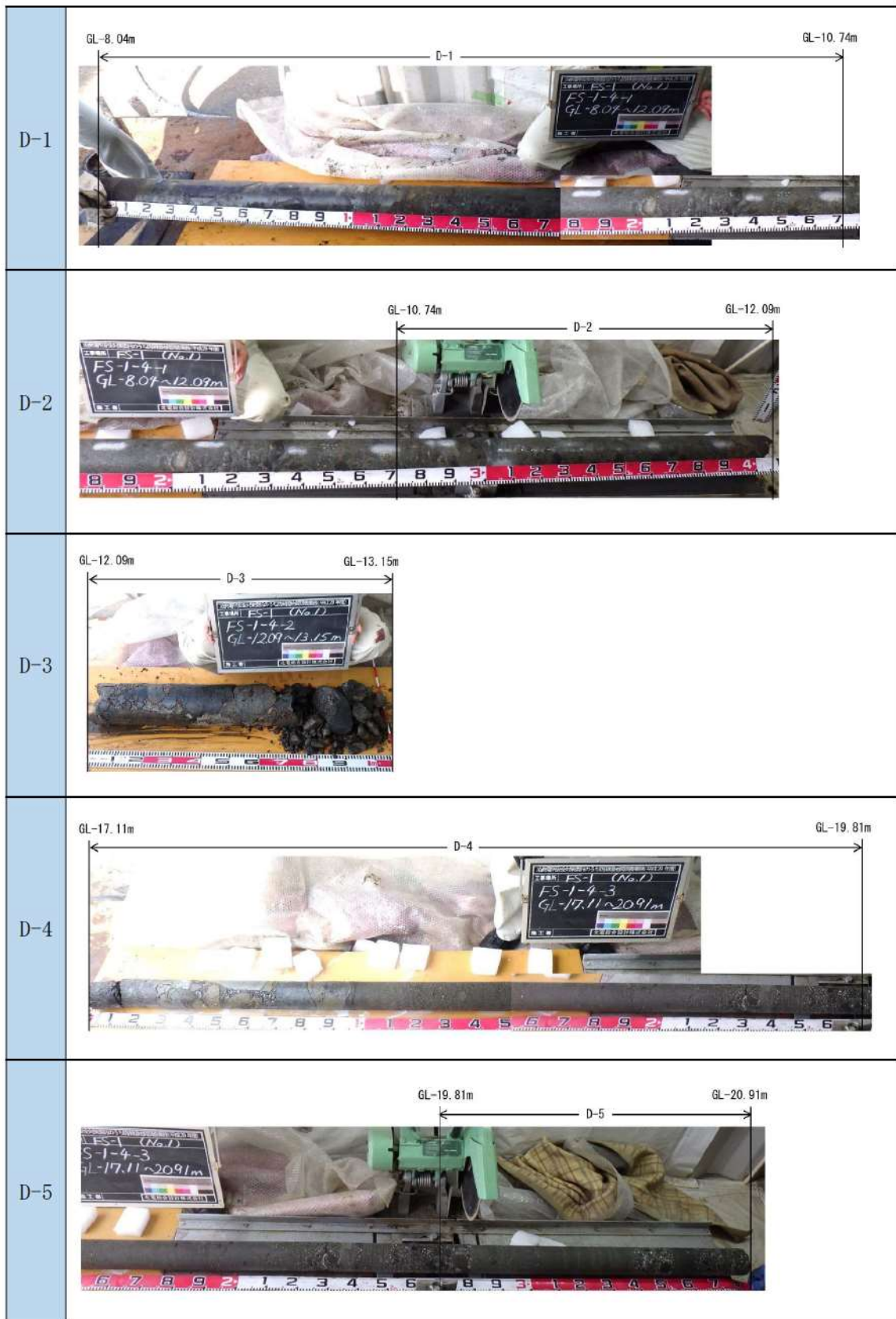
添付 1-54 図(6/10) ボーリング柱状図・コア写真 (FS-1)



添付 1-54 図(7/10) ボーリング柱状図・コア写真 (FS-1)

| | |
|-----|---|
| C-6 |  |
| C-7 |  |
| C-8 |  |
| C-9 |  |

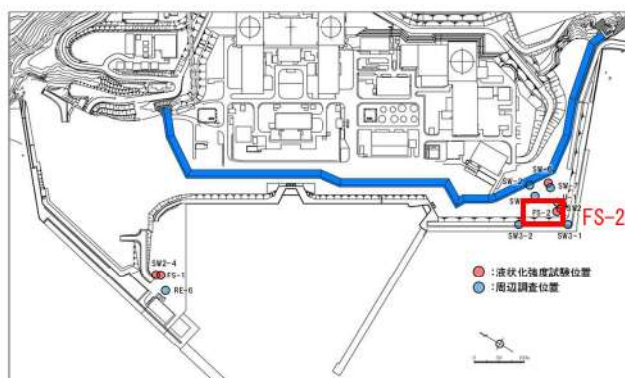
添付 1-54 図(8/10) ボーリング柱状図・コア写真 (FS-1)



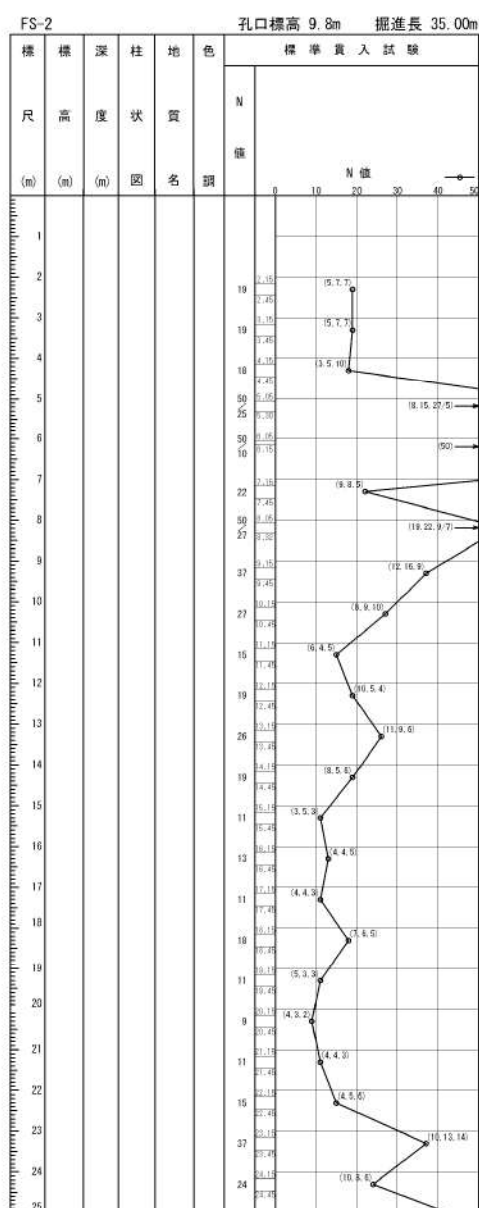
添付 1-54 図(9/10) ボーリング柱状図・コア写真 (FS-1)



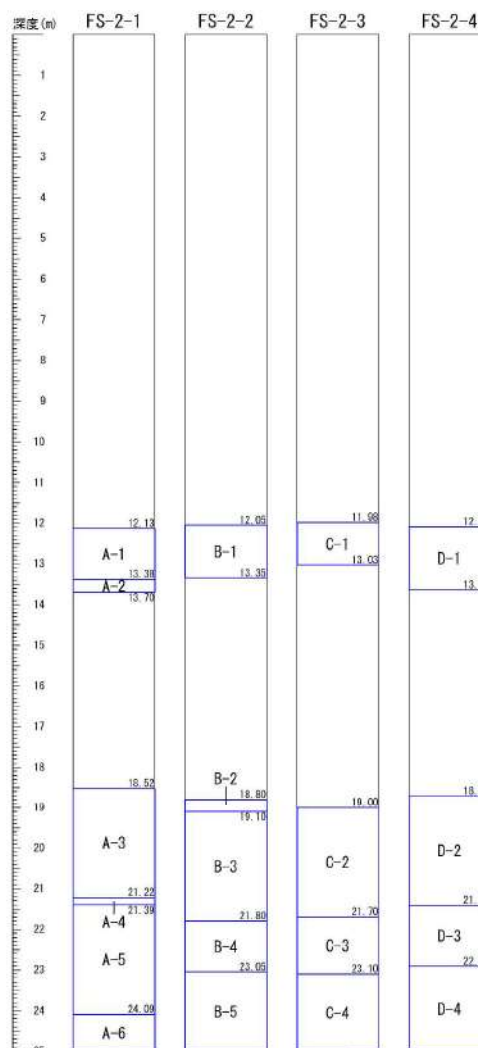
添付 1-54 図(10/10) ボーリング柱状図・コア写真 (FS-1)



ボーリング平面位置図

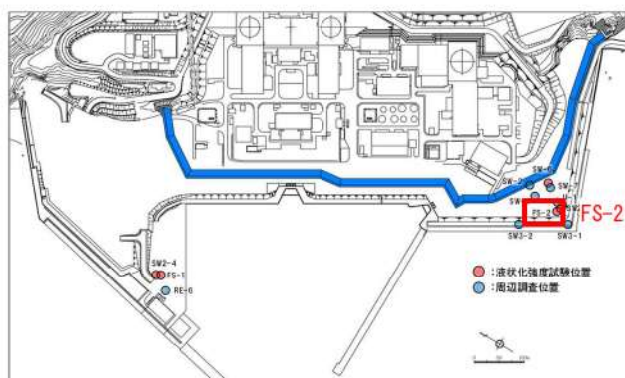


※FS-2 は標準貫入試験のみ実施



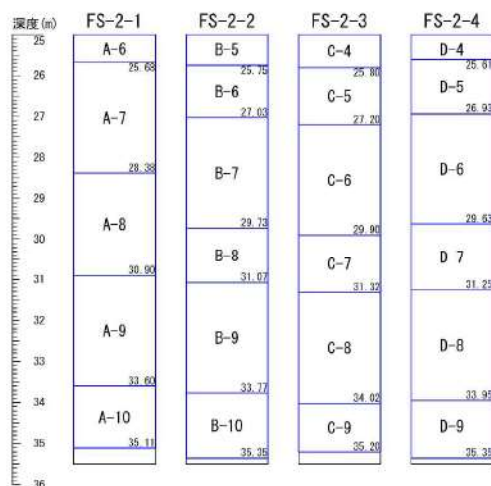
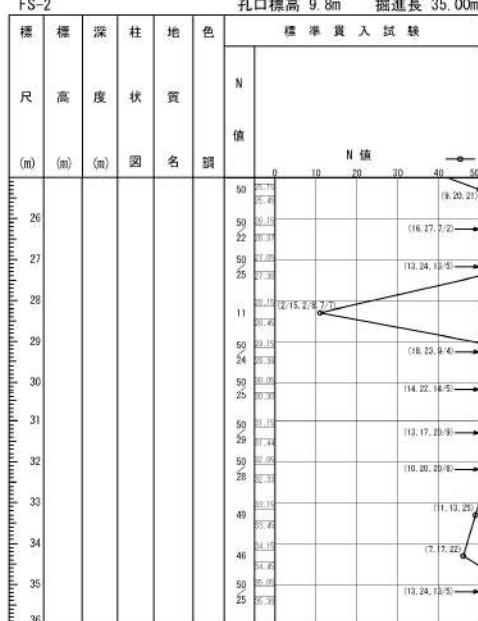
□ : サンプル位置

添付 1-55 図(1/10) ボーリング柱状図・コア写真 (FS-2)



ボーリング平面位置図

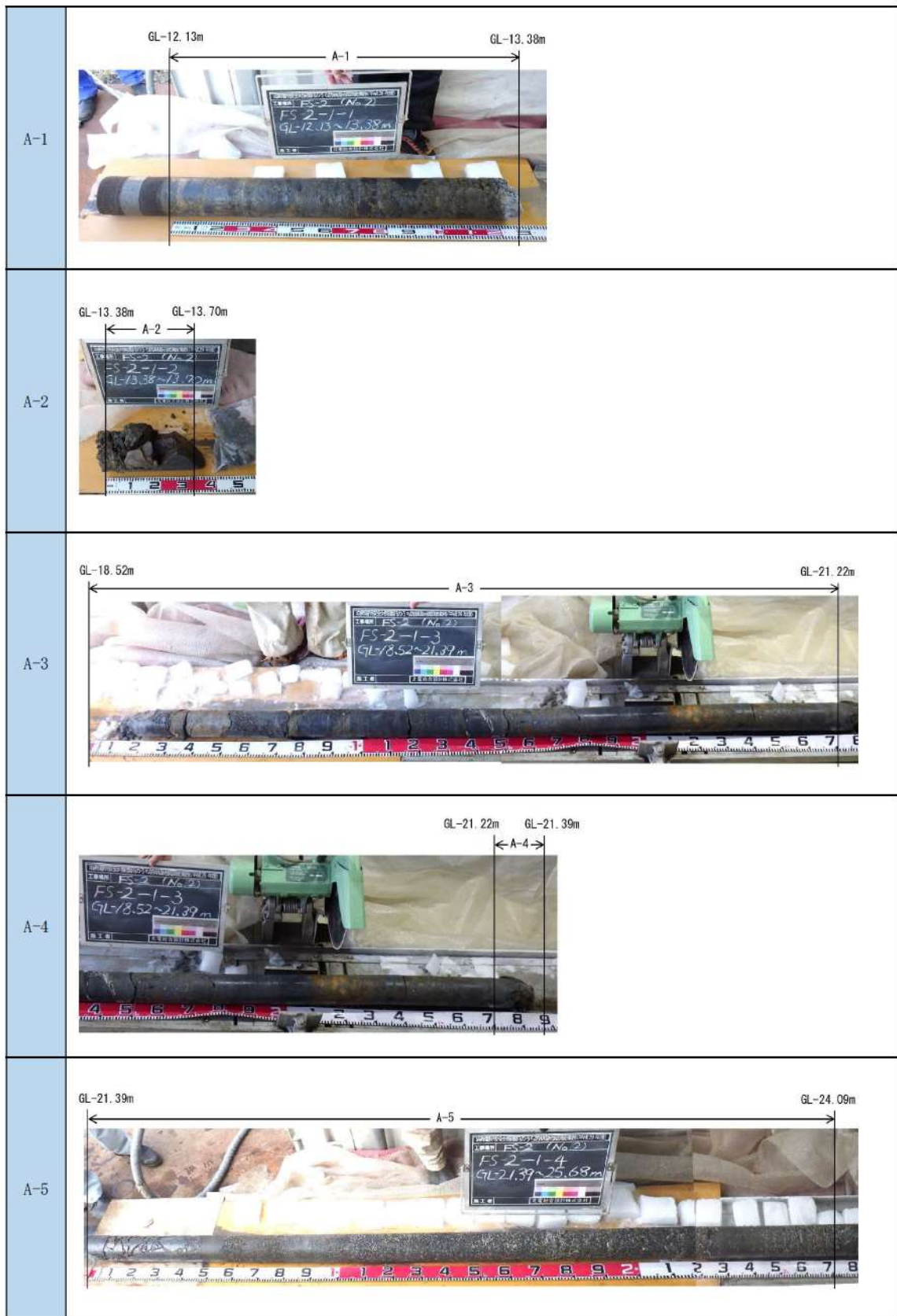
FS-2 孔口標高 9.8m 掘進長 35.00m



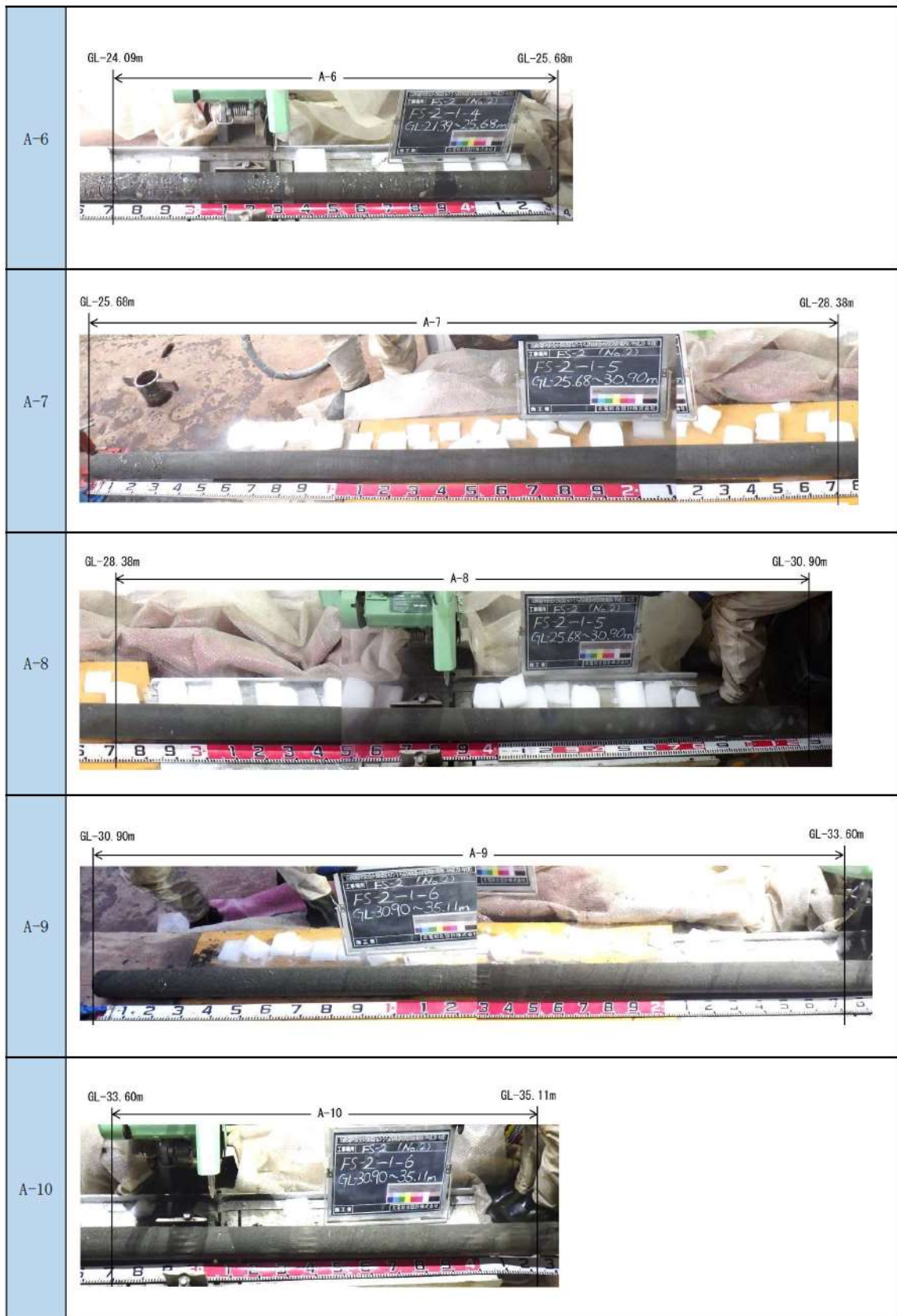
※FS-2 は標準貫入試験のみ実施

□ : サンプル位置

添付 1-55 図(2/10) ボーリング柱状図・コア写真 (FS-2)



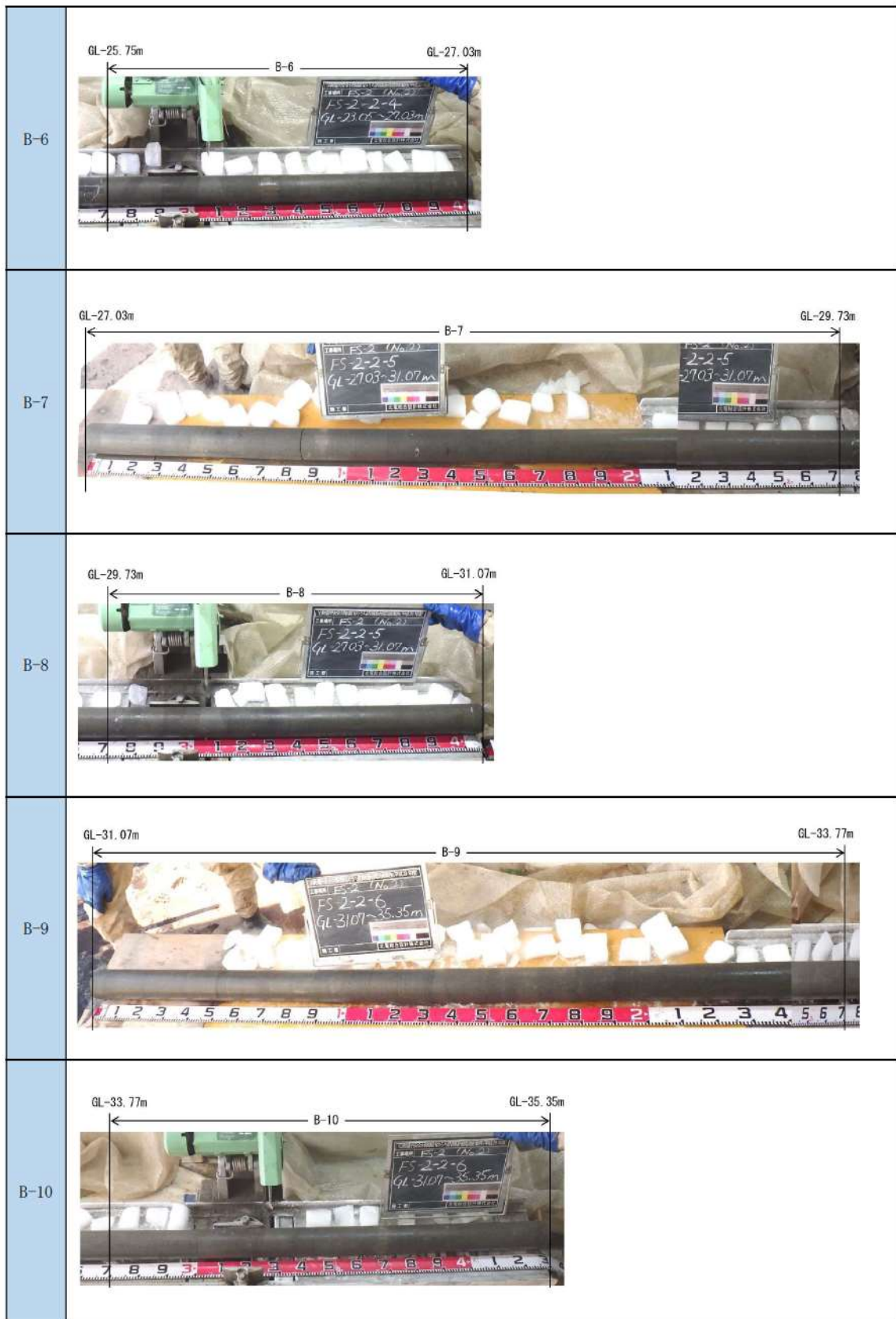
添付 1-55 図(3/10) ボーリング柱状図・コア写真 (FS-2)



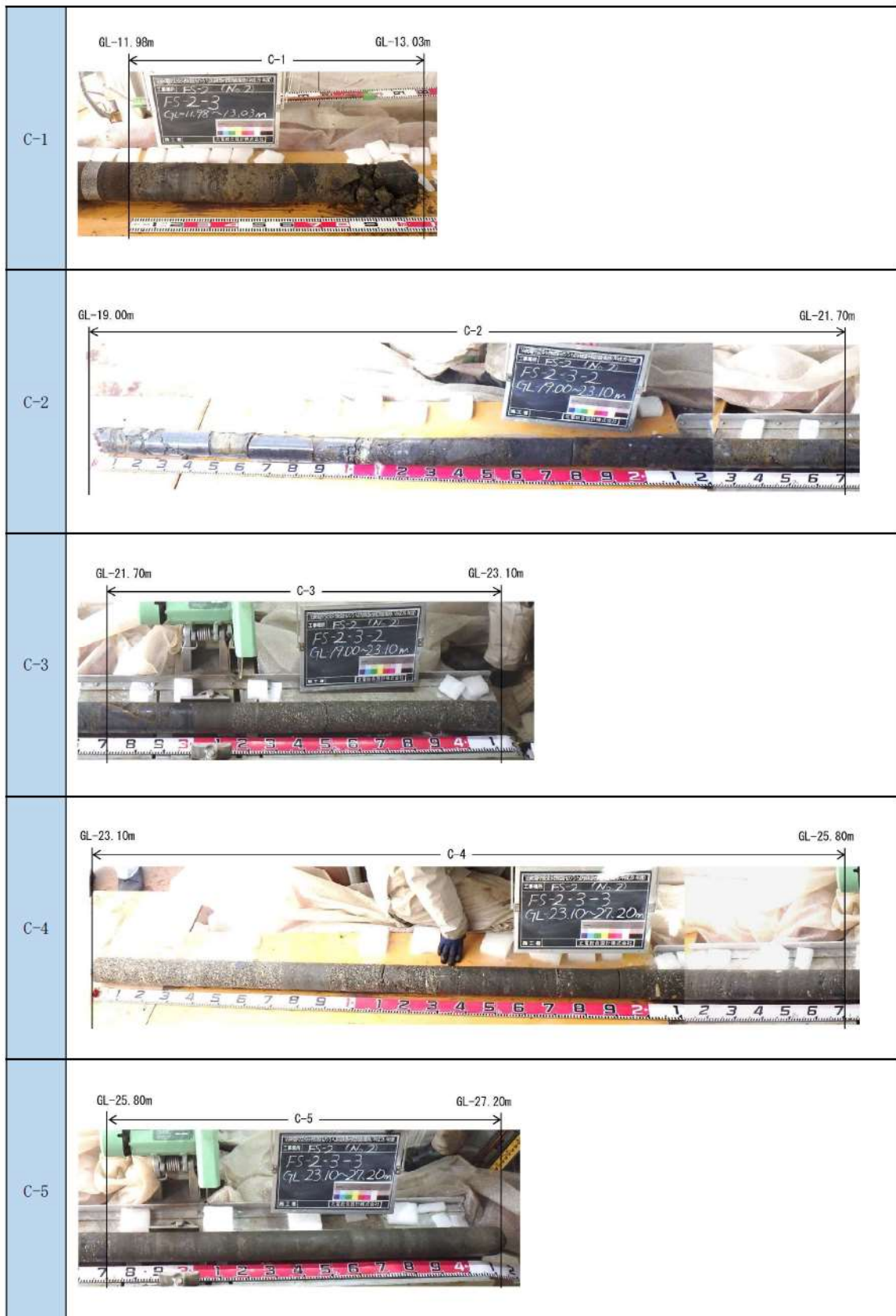
添付 1-55 図(4/10) ボーリング柱状図・コア写真 (FS-2)



添付 1-55 図(5/10) ボーリング柱状図・コア写真 (FS-2)



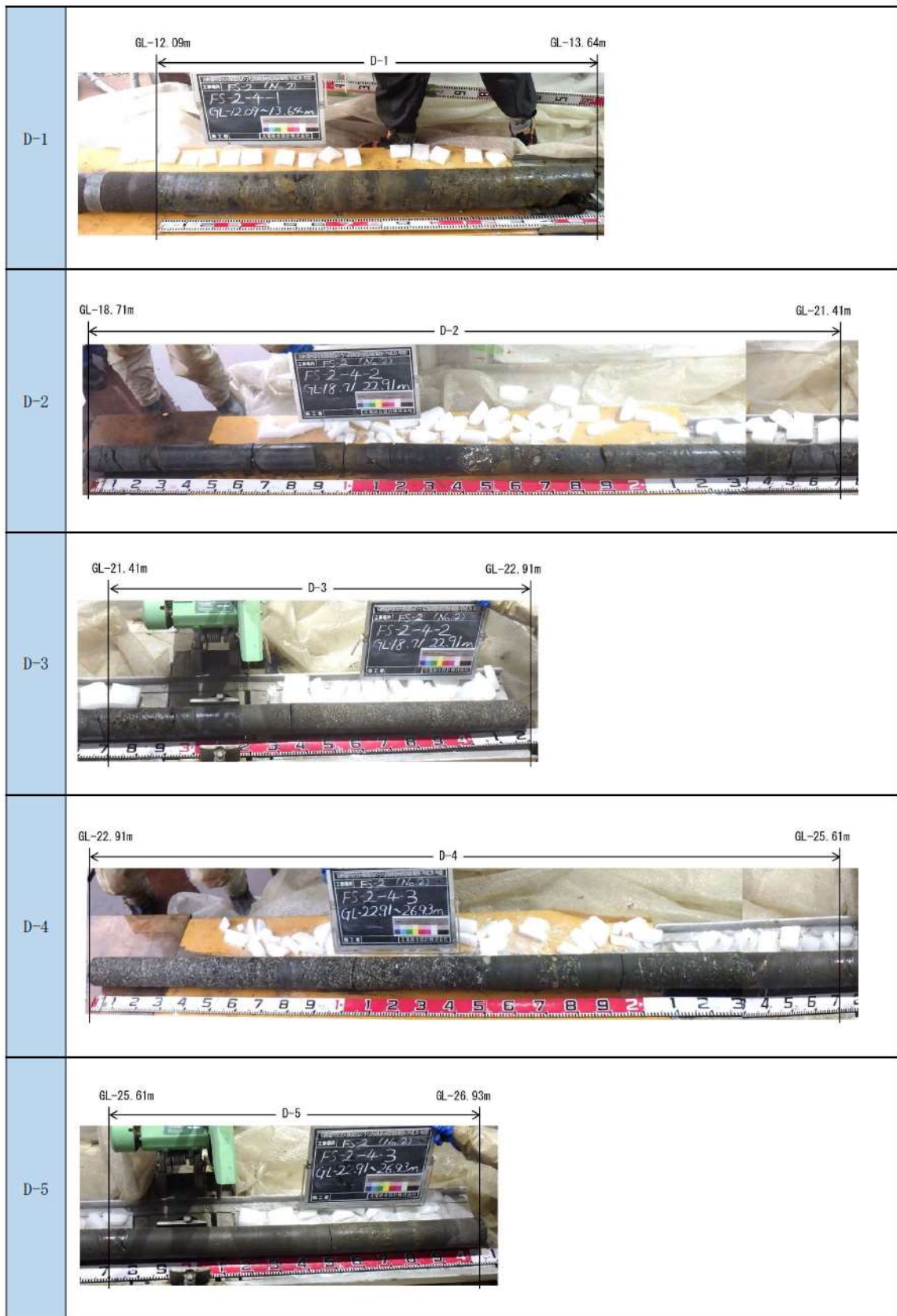
添付 1-55 図(6/10) ボーリング柱状図・コア写真 (FS-2)



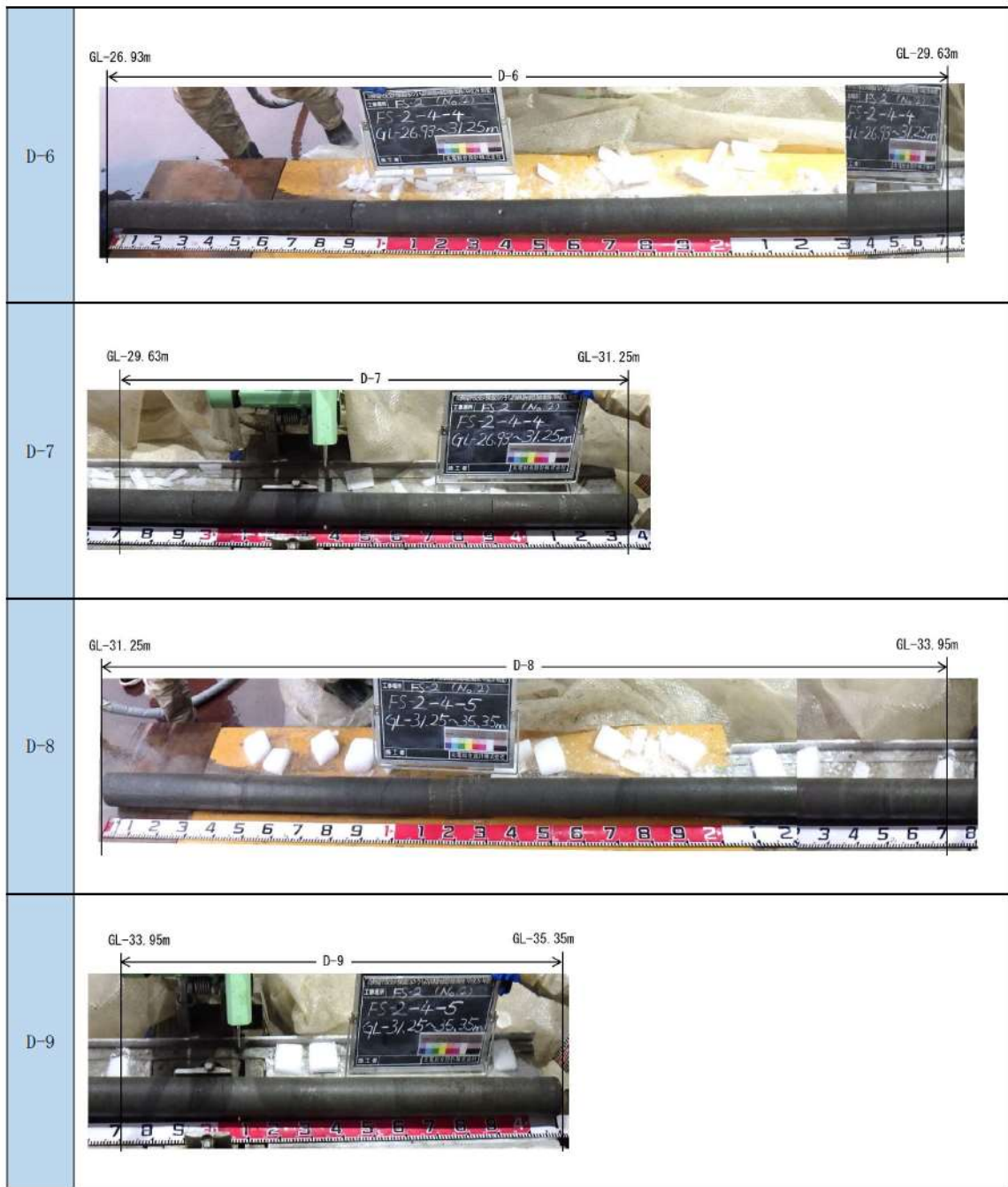
添付 1-55 図(7/10) ボーリング柱状図・コア写真 (FS-2)



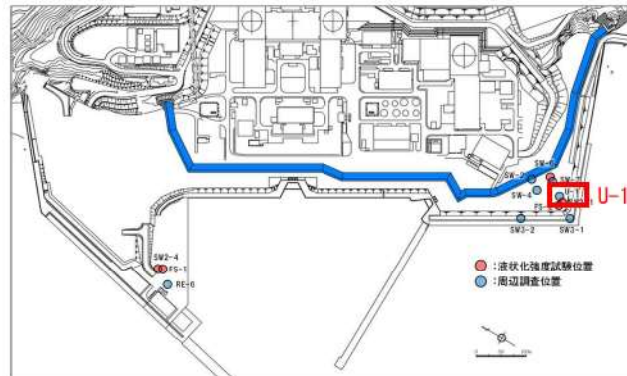
添付 1-55 図(8/10) ボーリング柱状図・コア写真 (FS-2)



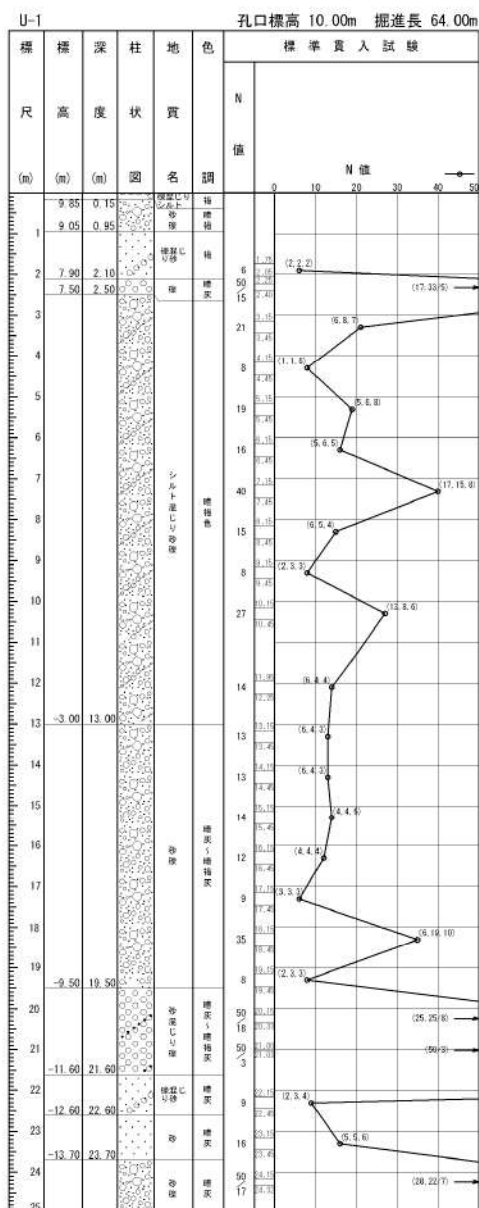
添付 1-55 図(9/10) ボーリング柱状図・コア写真 (FS-2)



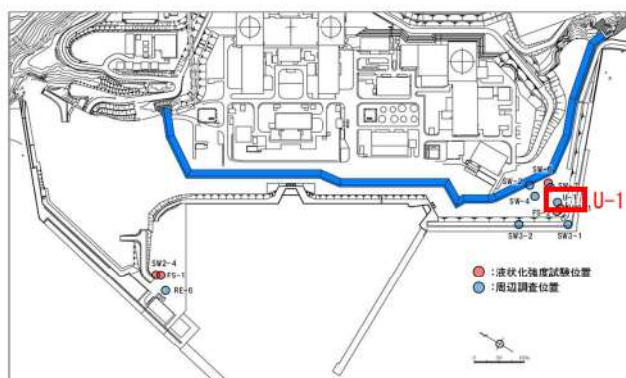
添付 1-55 図(10/10) ボーリング柱状図・コア写真 (FS-2)



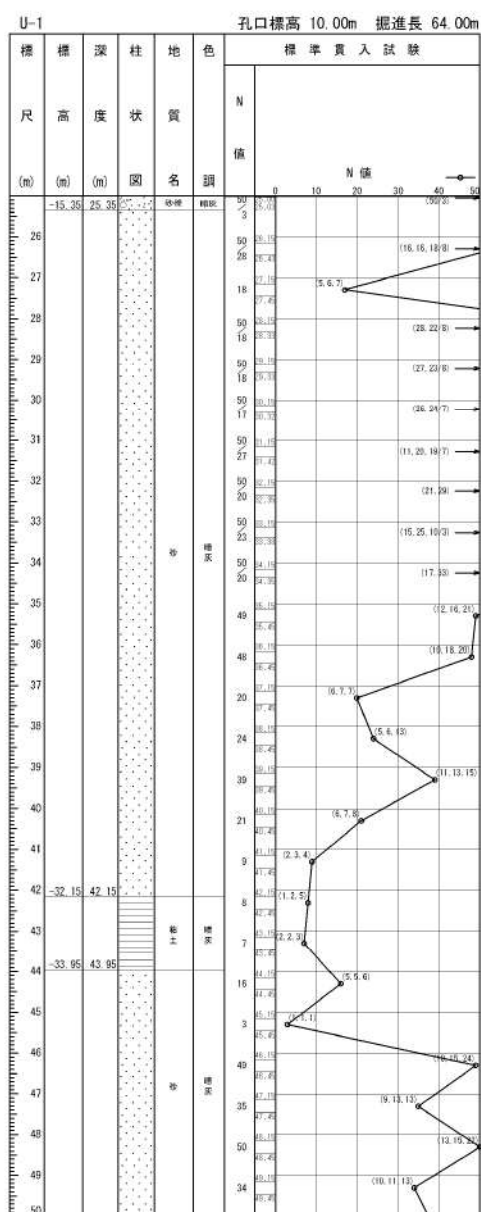
ボーリング平面位置図



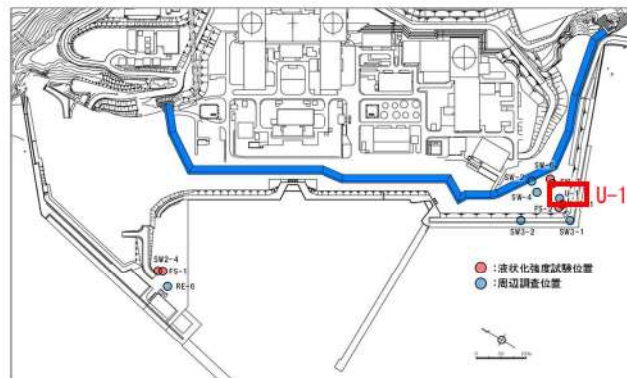
添付 1-56 図(1/3) ボーリング柱状図・コア写真 (U-1)



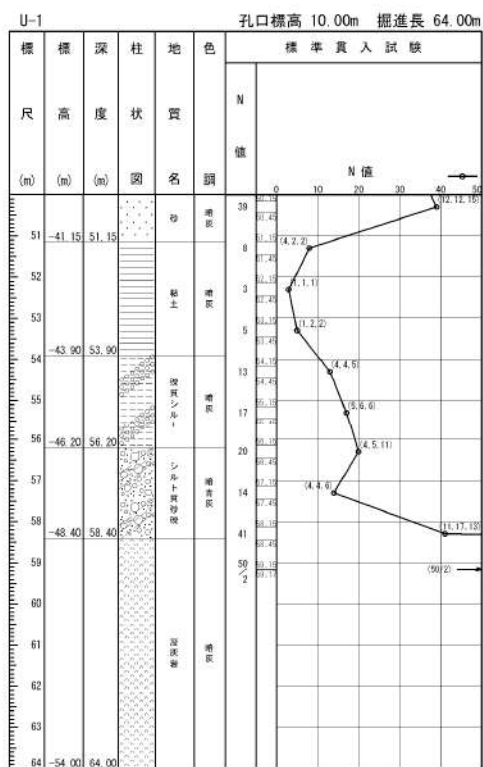
ボーリング平面位置図



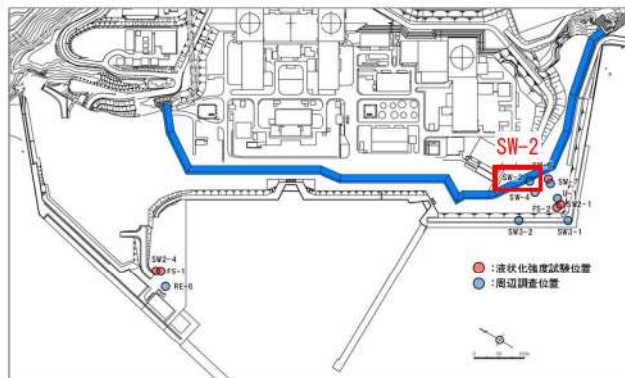
添付 1-56 図(2/3) ボーリング柱状図・コア写真 (U-1)



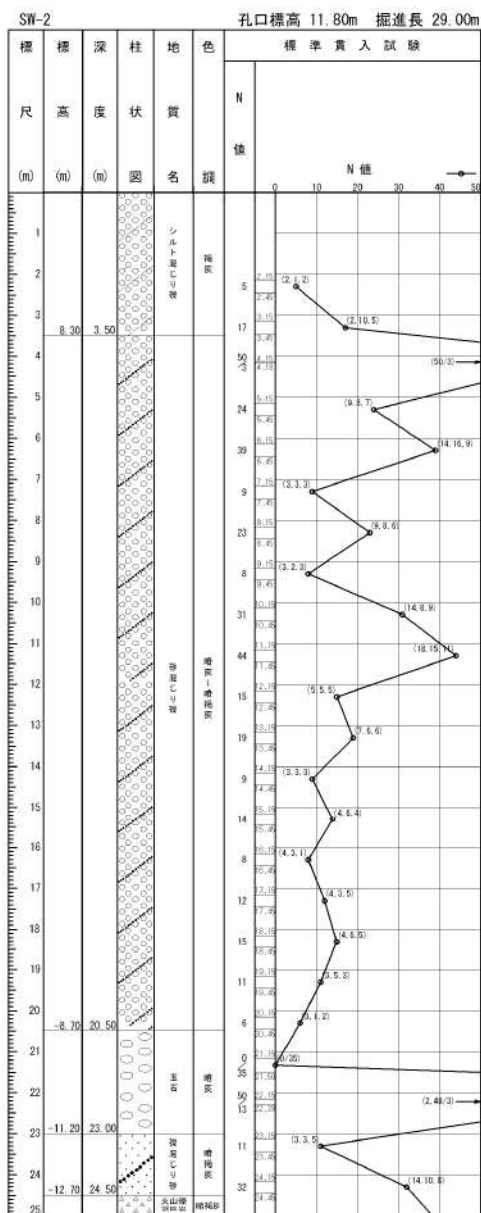
ボーリング平面位置図



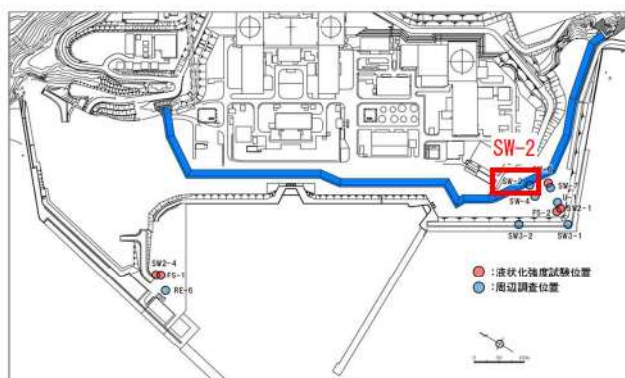
添付 1-56 図(3/3) ボーリング柱状図・コア写真 (U-1)



ボーリング平面位置図



添付 1-57 図(1/2) ボーリング柱状図・コア写真 (SW-2)



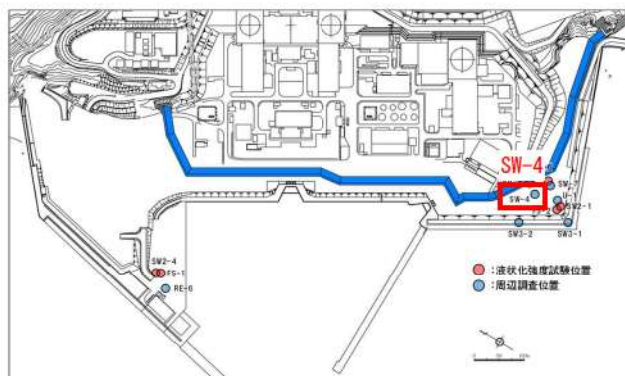
ボーリング平面位置図

SW-2 孔口標高 11.80m 掘進長 29.00m

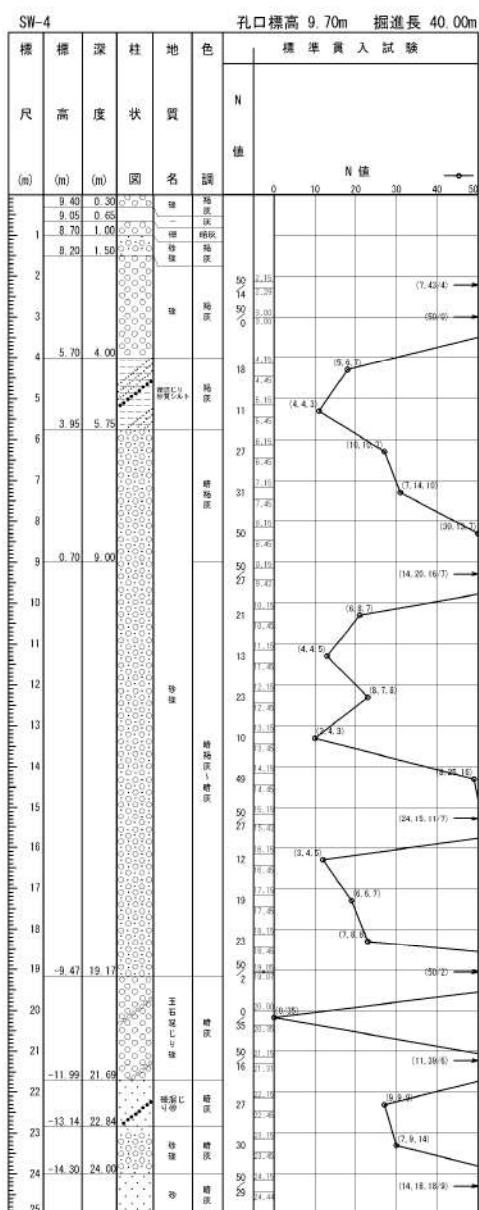
| 標尺 (m) | 標高 (m) | 深度 (m) | 柱状図 | 地質名 | 色調 | 標準貫入試験 | |
|--------|--------|--------|-------------|-----|----|--------|-------|
| | | | | | | N 値 | N 値 |
| 26 | -13.70 | 25.50 | 火山噴出物 礫層 | 灰土層 | 褐色 | 41 | 18.11 |
| 27 | | 59 | | | | 20.00 | |
| 28 | | | | | | | |
| 29 | -17.20 | 29.00 | | | | | |



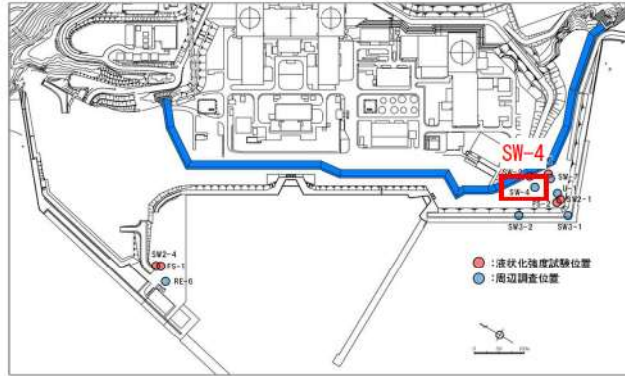
添付 1-57 図(2/2) ボーリング柱状図・コア写真 (SW-2)



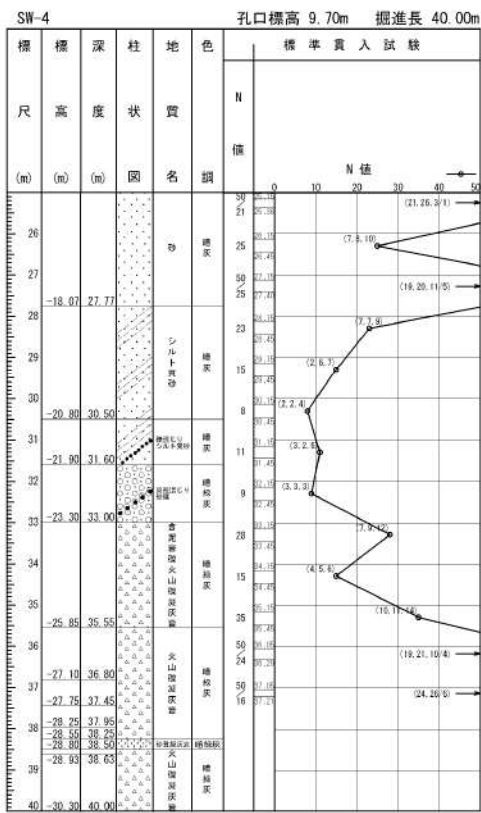
ボーリング平面位置図



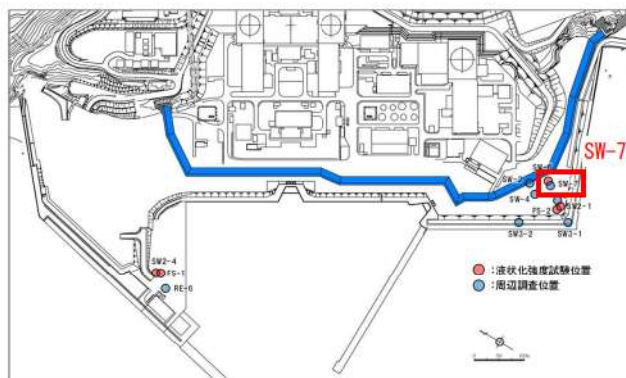
添付 1-58 図(1/2) ボーリング柱状図・コア写真 (SW-4)



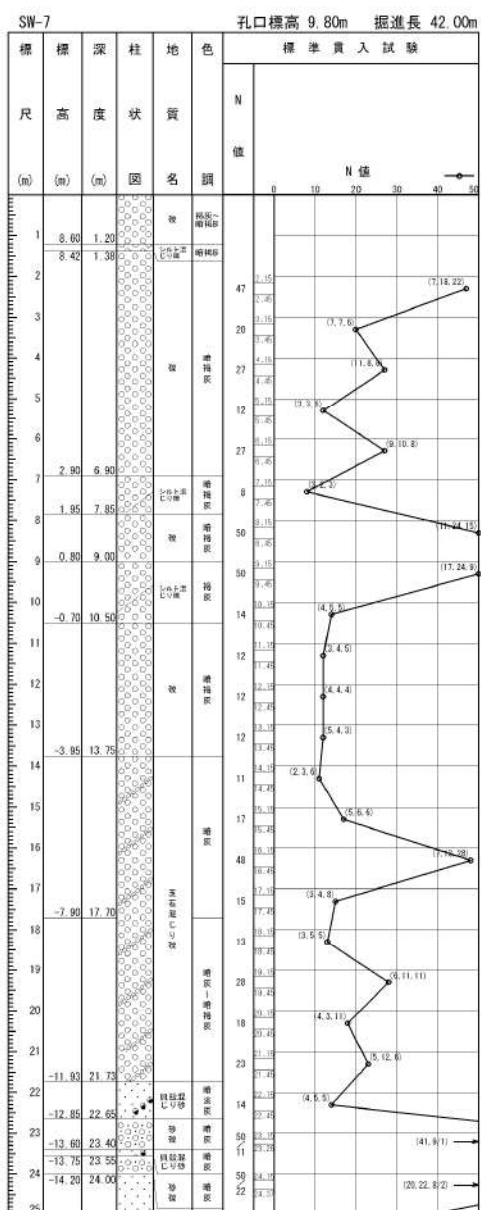
ボーリング平面位置図



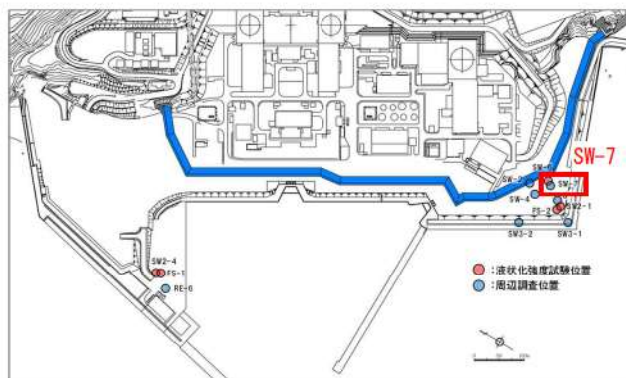
添付 1-58 図(2/2) ボーリング柱状図・コア写真 (SW-4)



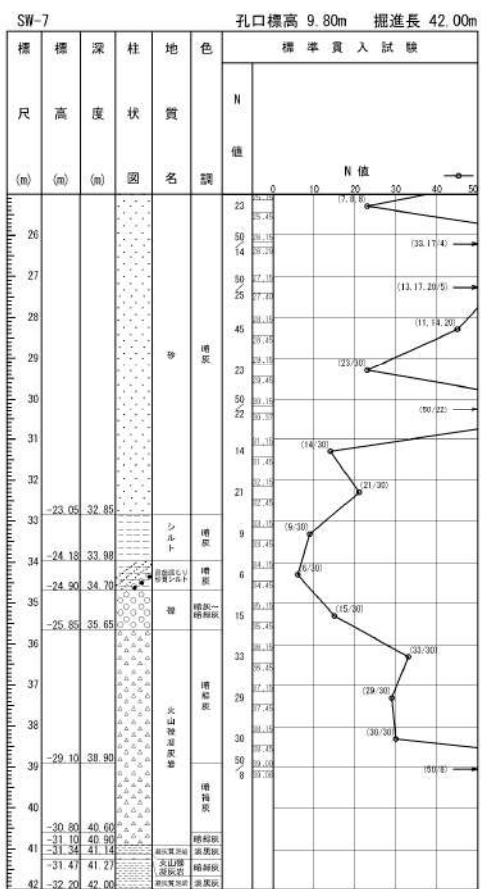
ボーリング平面位置図



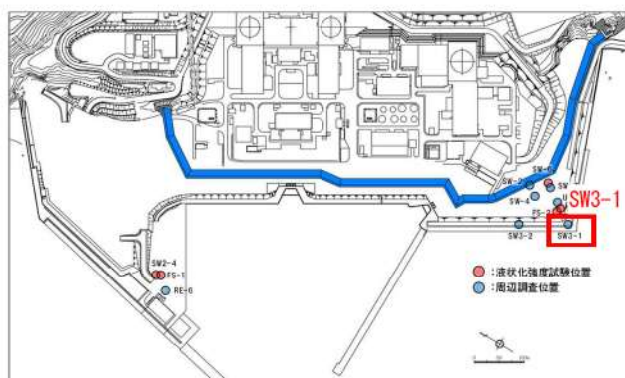
添付 1-59 図(1/2) ボーリング柱状図・コア写真 (SW-7)



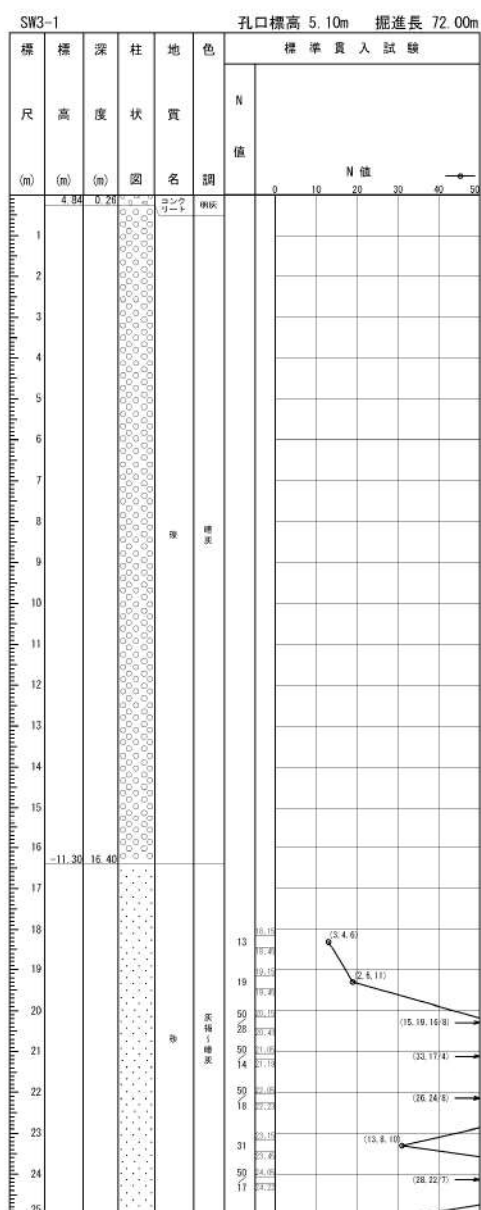
ボーリング平面位置図



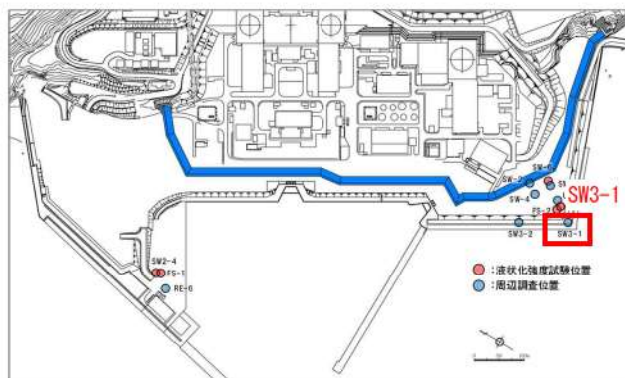
添付 1-59 図(2/2) ボーリング柱状図・コア写真 (SW-7)



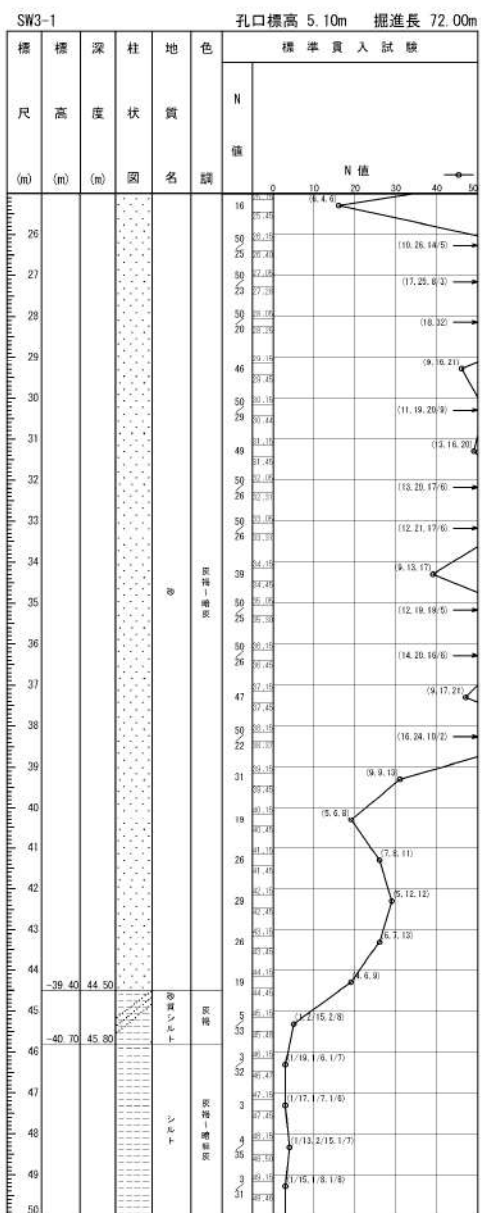
ボーリング平面位置図



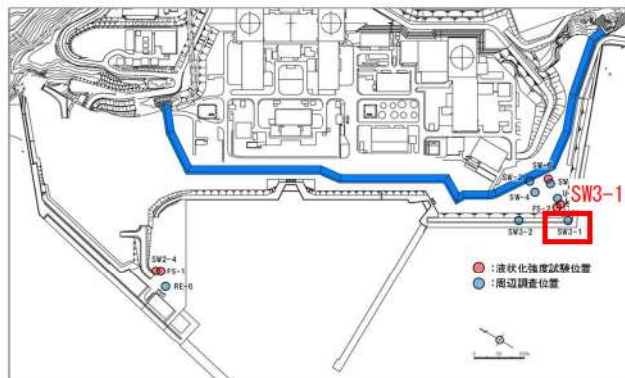
添付 1-60 図(1/3) ボーリング柱状図・コア写真 (SW3-1)



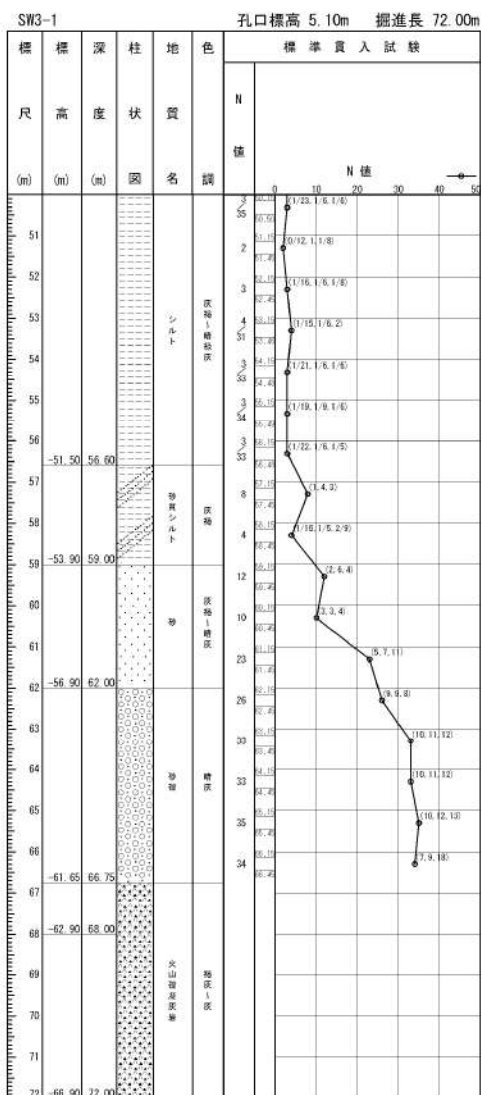
ボーリング平面位置図



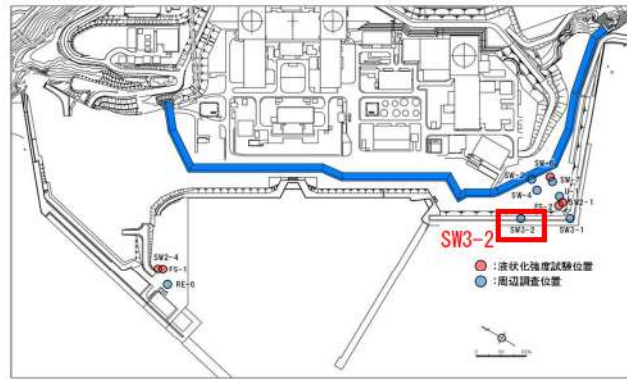
添付 1-60 図(2/3) ボーリング柱状図・コア写真 (SW3-1)



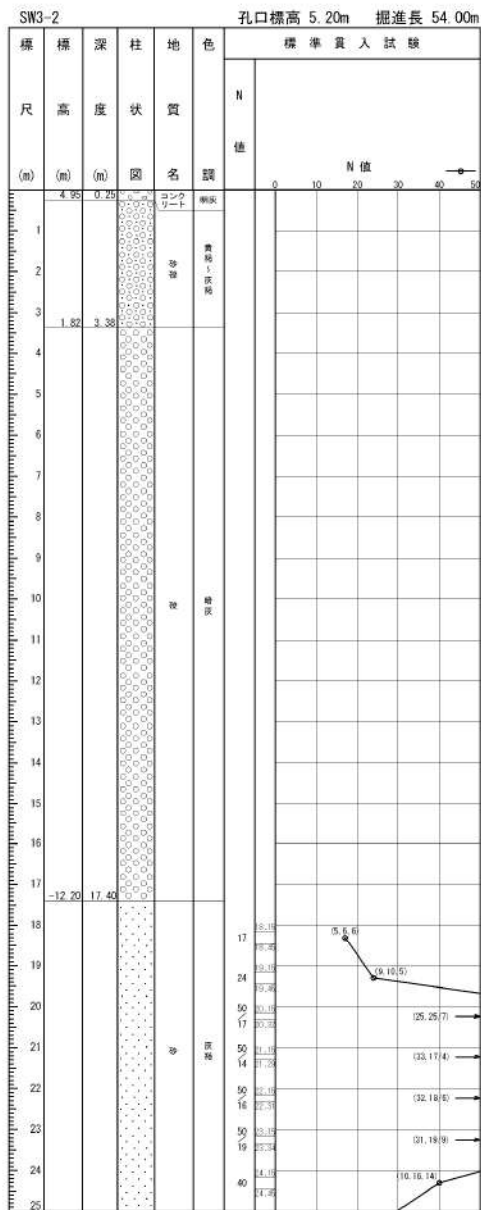
ボーリング平面位置図



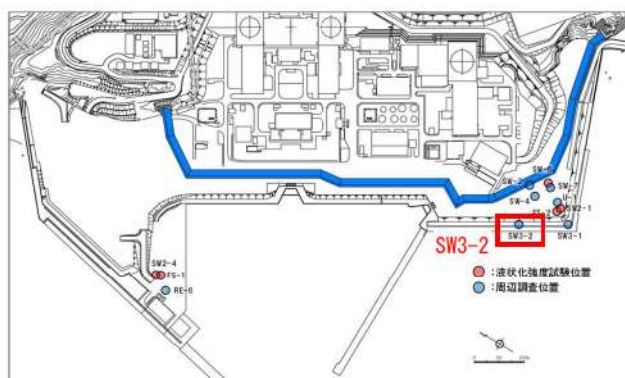
添付 1-60 図(3/3) ボーリング柱状図・コア写真 (SW3-1)



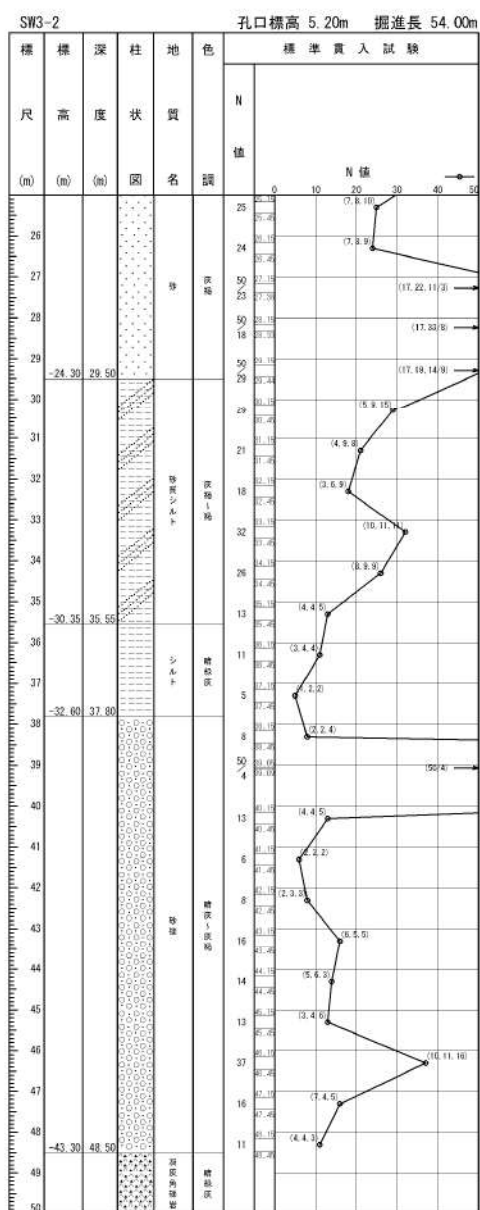
ボーリング平面位置図



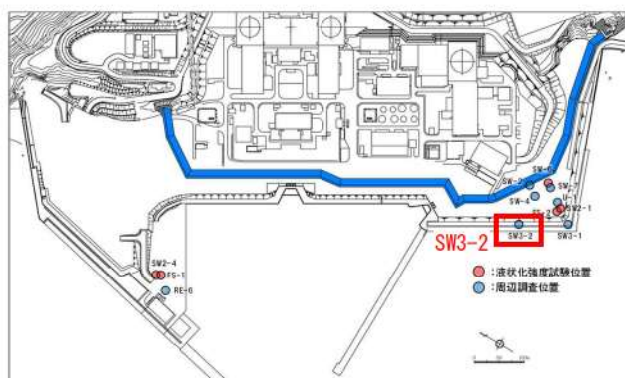
添付 1-61 図(1/3) ボーリング柱状図・コア写真 (SW3-2)



ボーリング平面位置図



添付 1-61 図(2/3) ボーリング柱状図・コア写真 (SW3-2)



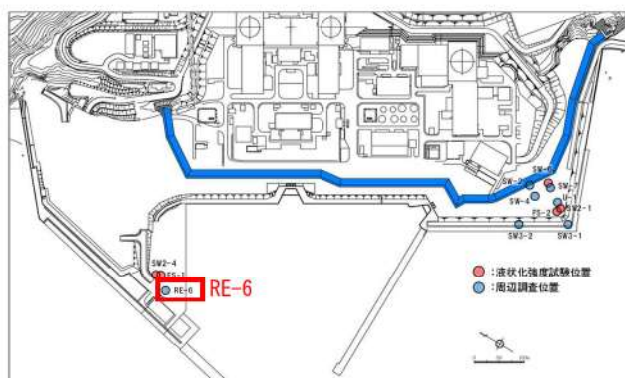
ボーリング平面位置図

SW3-2 孔口標高 5.20m 掘進長 54.00m

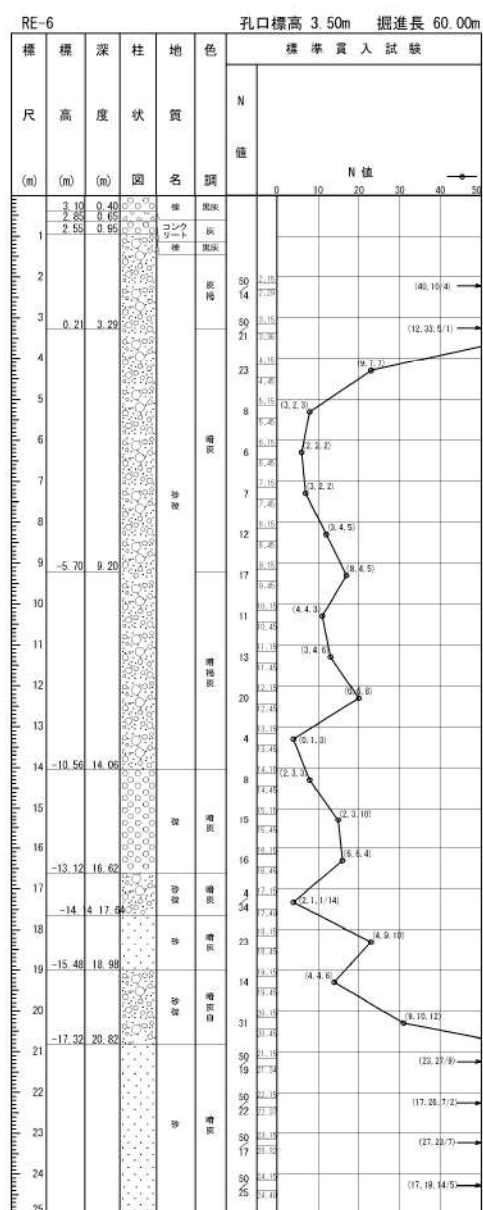
| 標尺 | 標高 (m) | 深 度 (m) | 柱 状 図 | 地 質 名 | 色 調 | 標準貫入試験 | | | | | |
|----|--------|---------|-------------------|-------|---------------|--------|----|----|----|----|----|
| | | | | | | N 値 | | | | | |
| | | | | | | 0 | 10 | 20 | 30 | 40 | 50 |
| 51 | | | [Pattern: Dotted] | 凝灰土 | [Color: Grey] | | | | | | |
| 52 | -46.80 | 52.00 | | | | | | | | | |
| 53 | | | [Pattern: Dotted] | 凝灰土 | [Color: Grey] | | | | | | |
| 54 | -48.80 | 54.00 | | | | | | | | | |



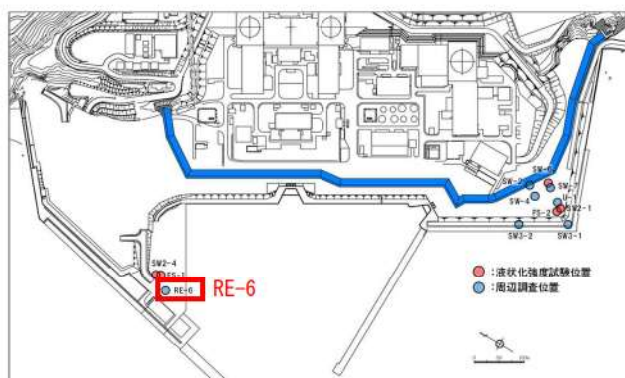
添付 1-61 図(3/3) ボーリング柱状図・コア写真 (SW3-2)



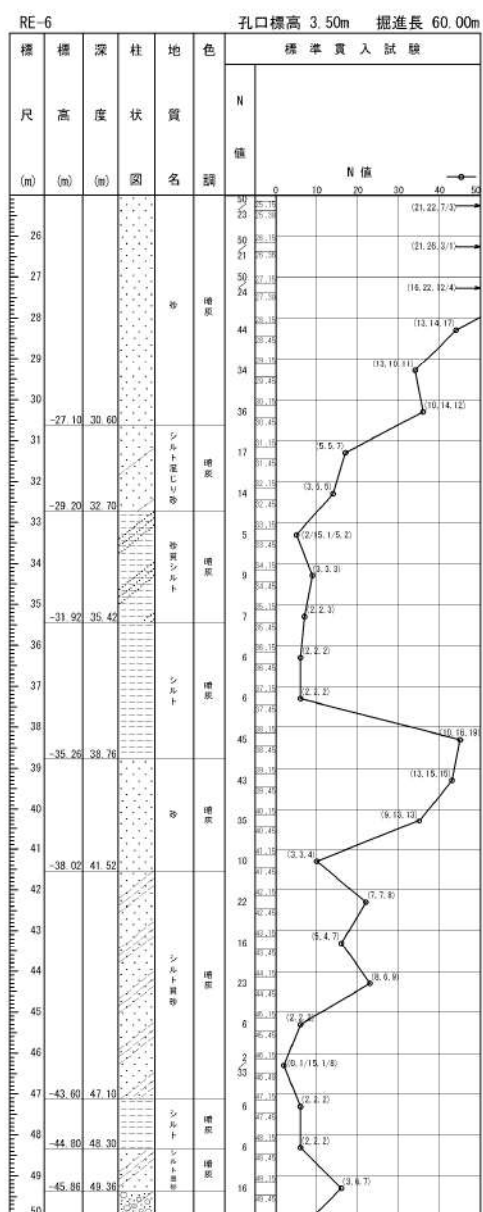
ボーリング平面位置図



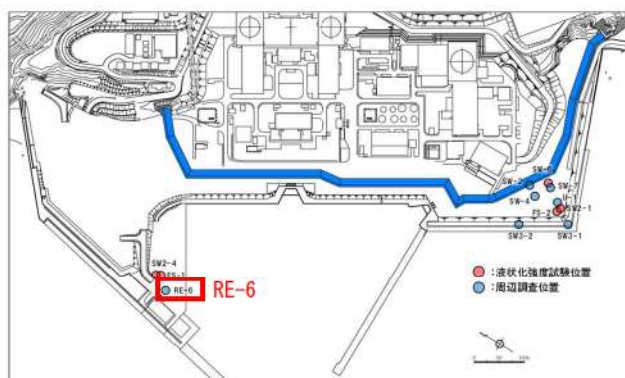
添付 1-62 図(1/3) ボーリング柱状図・コア写真 (RE-6)



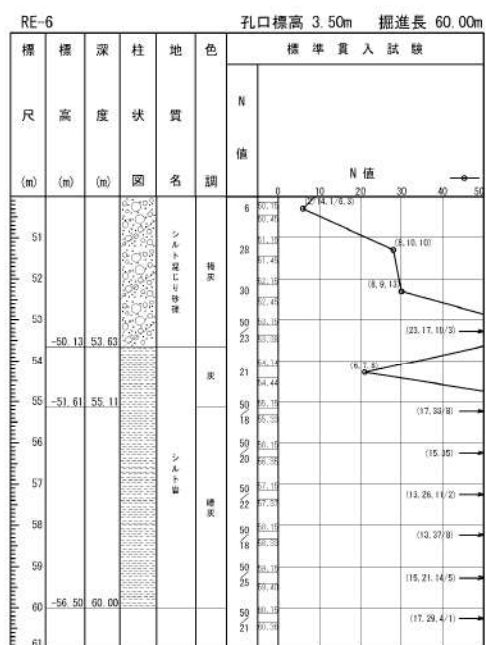
ボーリング平面位置図



添付 1-62 図(2/3) ボーリング柱状図・コア写真 (RE-6)



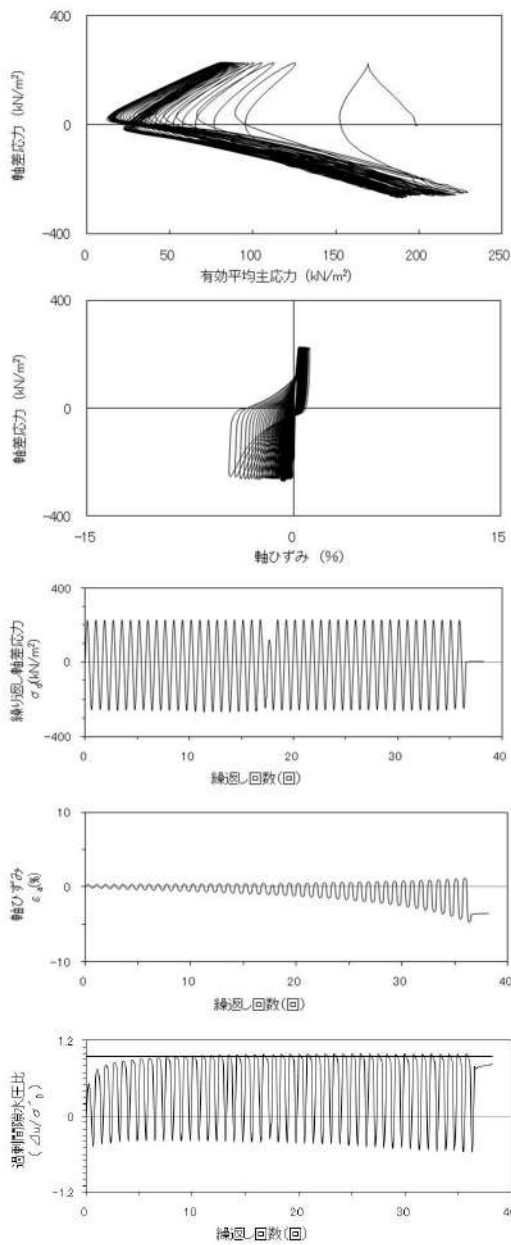
ボーリング平面位置図



添付 1-62 図(3/3) ボーリング柱状図・コア写真 (RE-6)

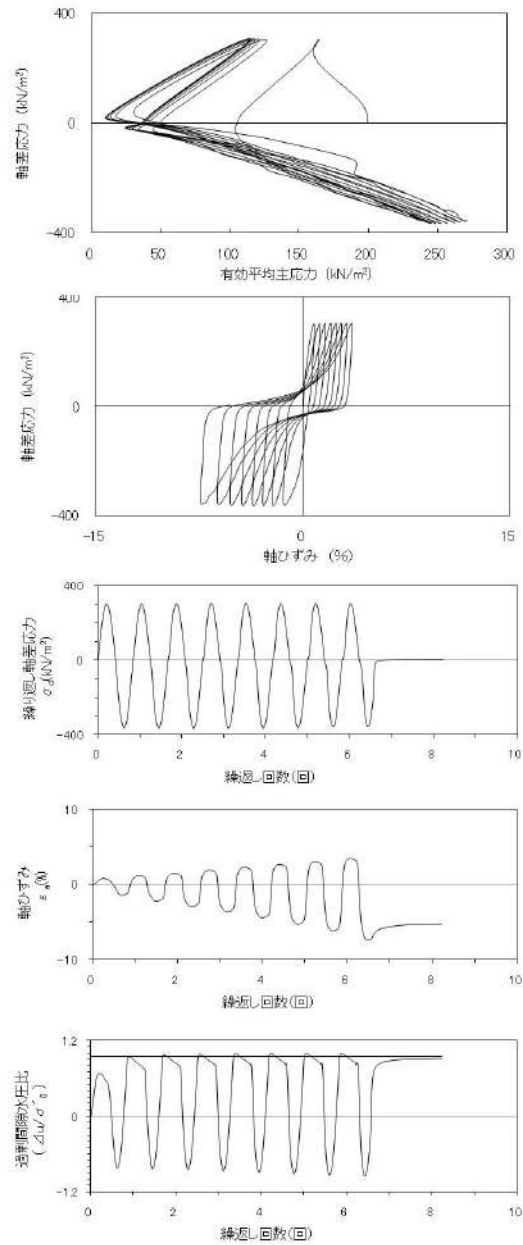
2. 液状化強度試験結果

(1) 1, 2号埋戻土の試験データ



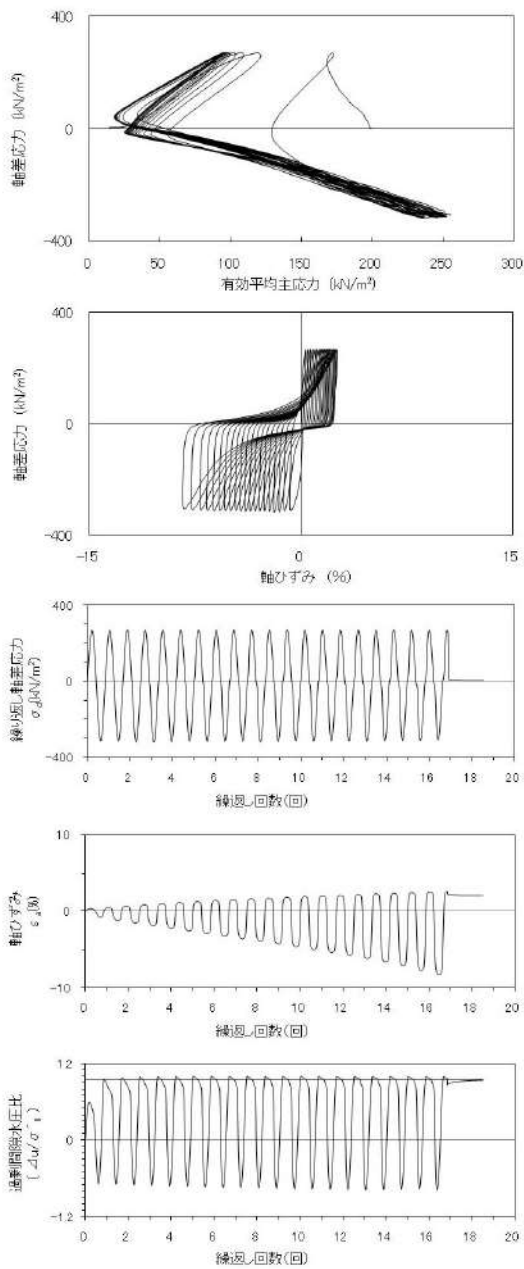
| 試験条件 | | 液状化の判断 | |
|---|-------|--------|-------|
| 供試体 | No.16 | | 繰返し軟化 |
| 圧密応力 σ'_c (kN/m ²) | 200 | | |
| 繰返し応力振幅比 $\sigma_d/2\sigma'_0$ | 0.608 | | |
| 試験結果 | | 液状化の判断 | |
| 間隙水圧が上昇・蓄積する。 (過剰間隙水圧比95%を超える。) | ○ | | 繰返し軟化 |
| 有効応力がゼロまで低下する。 | × | | |
| 液体状となり流動する。 (ひずみが急増する。) | × | | |
| 正のダイレイタンス特性によりせん断抵抗が作用する。 (有効応力が回復する。) | ○ | | |

添付 1-63 図 液状化強度試験結果
(SW2-3 試料(供試体 No. 16))



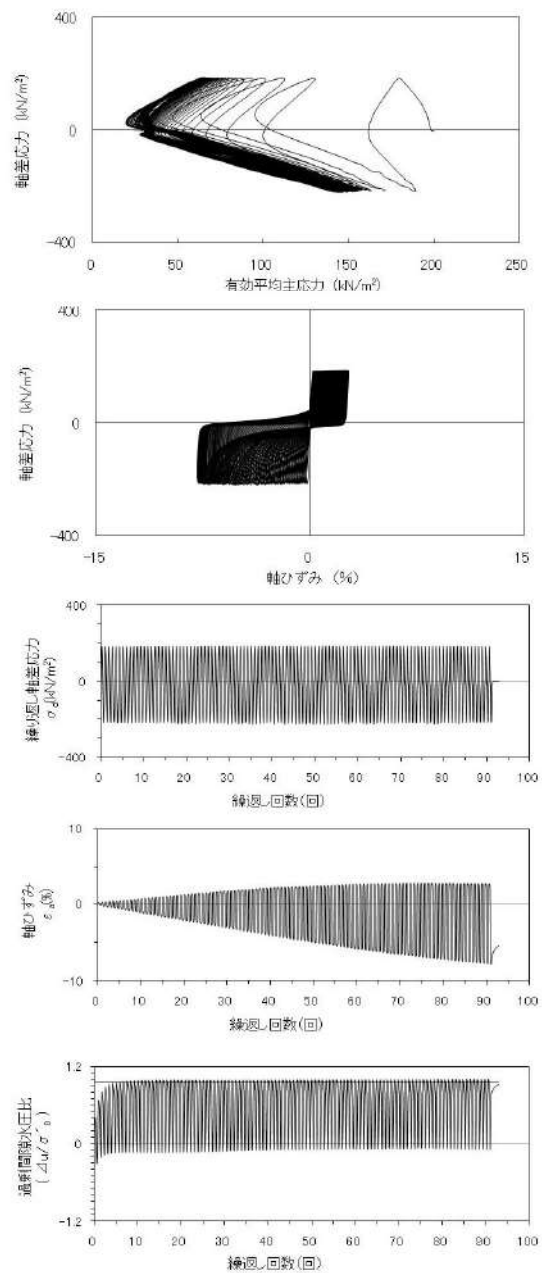
| 試験条件 | | 液状化の判断 | |
|---|-------|--------|-------|
| 供試体 | No.17 | | 繰返し軟化 |
| 圧密応力 σ'_c (kN/m ²) | 200 | | |
| 繰返し応力振幅比 $\sigma_d/2\sigma'_0$ | 0.836 | | |
| 試験結果 | | 液状化の判断 | |
| 間隙水圧が上昇・蓄積する。 (過剰間隙水圧比95%を超える。) | ○ | | 繰返し軟化 |
| 有効応力がゼロまで低下する。 | × | | |
| 液体状となり流動する。 (ひずみが急増する。) | × | | |
| 正のダイレイタンス特性によりせん断抵抗が作用する。 (有効応力が回復する。) | ○ | | |

添付 1-64 図 液状化強度試験結果
(SW2-3 試料(供試体 No. 17))



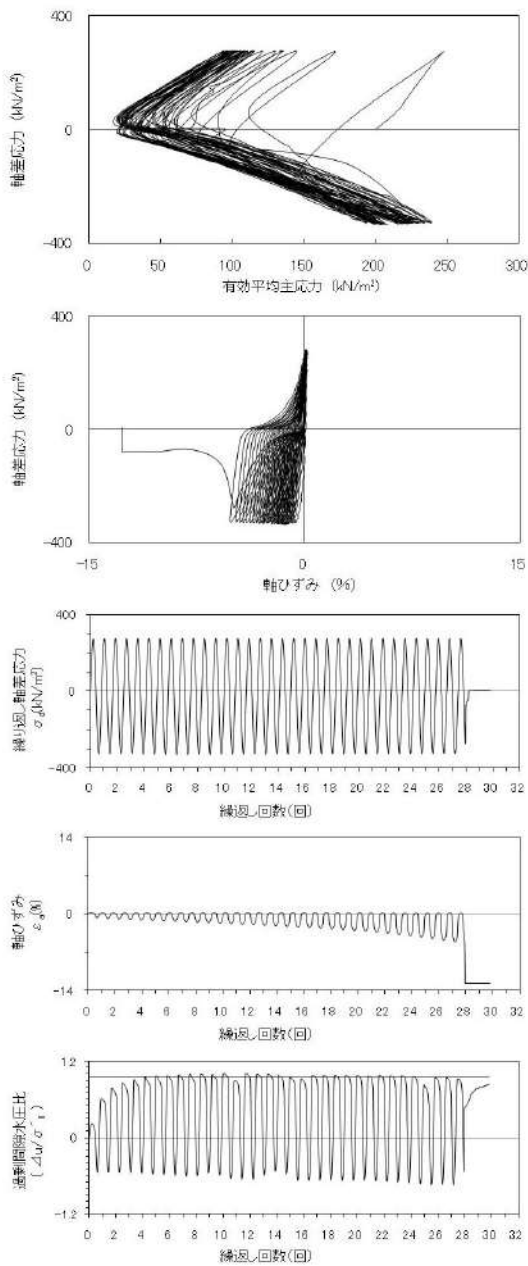
| 試験条件 | | 液状化の判断 | |
|---|-------|--------|--|
| 供試体 | No.18 | | |
| 圧密応力 σ'_c (kN/m ²) | 200 | | |
| 繰返し応力振幅比 $\sigma_d/2\sigma'_c$ | 0.727 | | |
| 試験結果 | | 液状化の判断 | |
| 間隙水圧が上昇・蓄積する。 (過剰間隙水圧比95%を超える。) | ○ | 繰返し軟化 | |
| 有効応力がゼロまで低下する。 | × | | |
| 液体状となり流動する。 (ひずみが急増する。) | × | | |
| 正のダイレイタンス特性によりせん断抵抗が作用する。 (有効応力が回復する。) | ○ | | |

添付 1-65 図 液状化強度試験結果
(SW2-3 試料(供試体 No. 18))



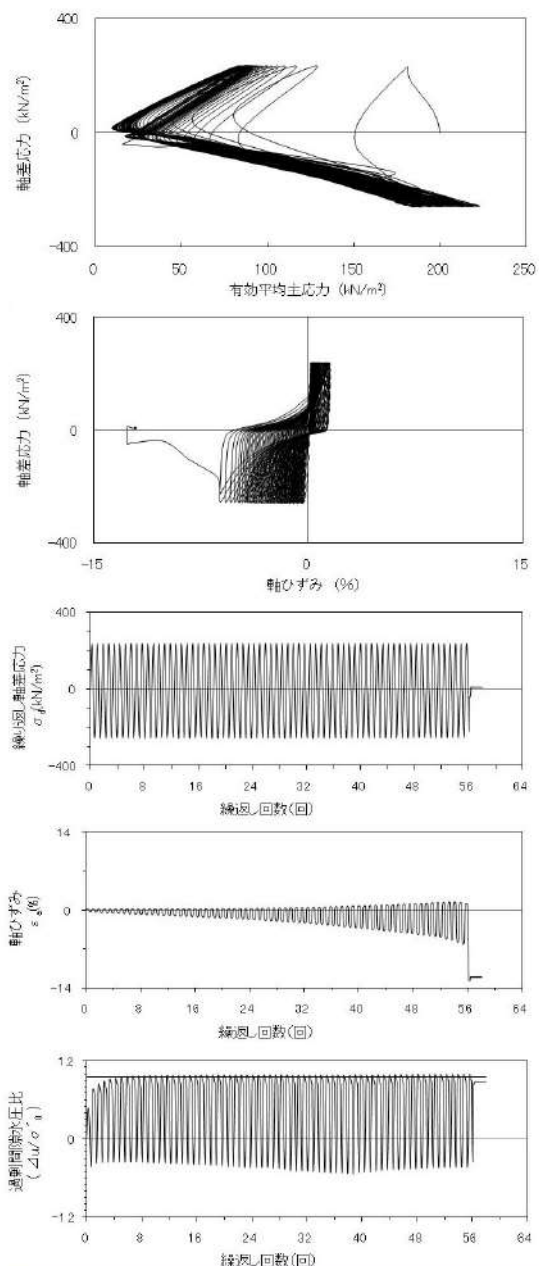
| 試験条件 | | 液状化の判断 | |
|---|-------|--------|--|
| 供試体 | No.19 | | |
| 圧密応力 σ'_c (kN/m ²) | 200 | | |
| 繰返し応力振幅比 $\sigma_d/2\sigma'_c$ | 0.501 | | |
| 試験結果 | | 液状化の判断 | |
| 間隙水圧が上昇・蓄積する。 (過剰間隙水圧比95%を超える。) | ○ | 繰返し軟化 | |
| 有効応力がゼロまで低下する。 | × | | |
| 液体状となり流動する。 (ひずみが急増する。) | × | | |
| 正のダイレイタンス特性によりせん断抵抗が作用する。 (有効応力が回復する。) | ○ | | |

添付 1-66 図 液状化強度試験結果
(SW2-3 試料(供試体 No. 19))



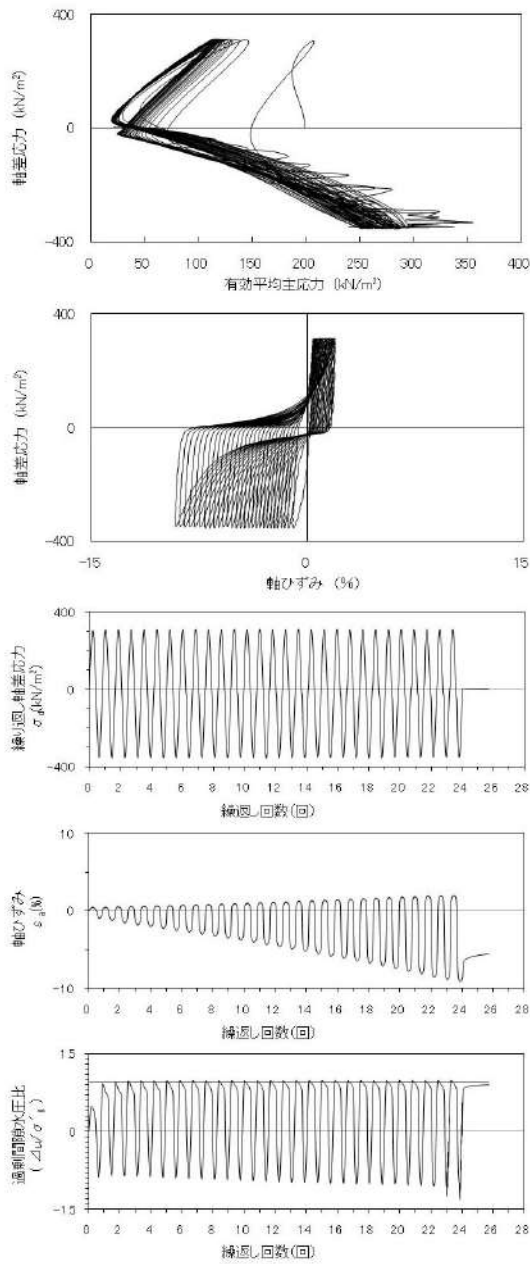
| 試験条件 | | 液状化の判断 |
|---|-------|--------|
| 供試体 | No.5 | |
| 圧密応力 σ'_c (kN/m ²) | 200 | |
| 繰返し応力振幅比 $\sigma_d/2\sigma'_0$ | 0.759 | 繰返し軟化 |
| 試験結果 | | |
| 間隙水圧が上昇・蓄積する。 (過剰間隙水圧比95%を超える。) | ○ | |
| 有効応力がゼロまで低下する。 | × | |
| 液体状となり流動する。 (ひずみが急増する。) | × | |
| 正のダイレイタンス特性によりせん断抵抗が作用する。 (有効応力が回復する。) | ○ | |

添付 1-67 図 液状化強度試験結果
(SW2-4 試料(供試体 No. 5))



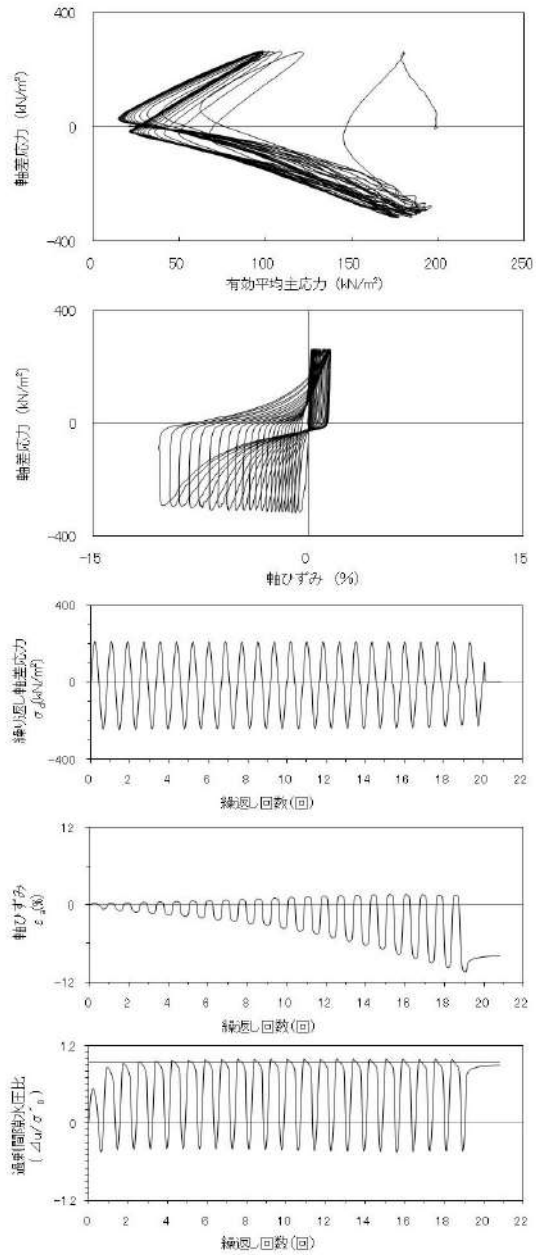
| 試験条件 | | 液状化の判断 |
|---|-------|--------|
| 供試体 | No.7 | |
| 圧密応力 σ'_c (kN/m ²) | 200 | |
| 繰返し応力振幅比 $\sigma_d/2\sigma'_0$ | 0.615 | 繰返し軟化 |
| 試験結果 | | |
| 間隙水圧が上昇・蓄積する。 (過剰間隙水圧比95%を超える。) | ○ | |
| 有効応力がゼロまで低下する。 | × | |
| 液体状となり流動する。 (ひずみが急増する。) | × | |
| 正のダイレイタンス特性によりせん断抵抗が作用する。 (有効応力が回復する。) | ○ | |

添付 1-68 図 液状化強度試験結果
(SW2-4 試料(供試体 No. 7))



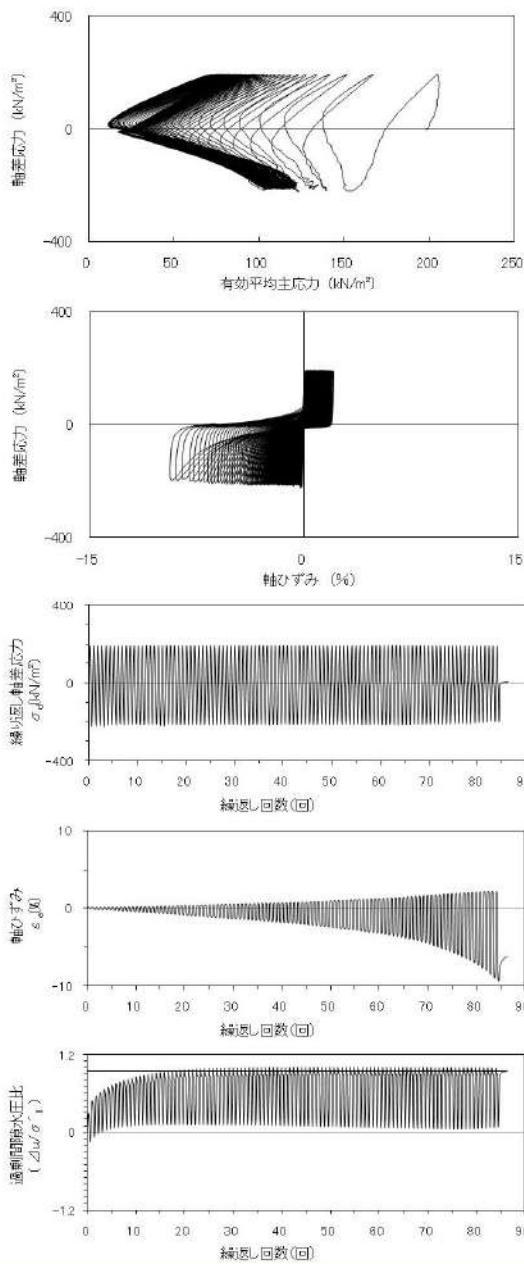
| 試験条件 | | |
|---|-------|--------|
| 供試体 | No.8 | |
| 圧密応力 σ'_c (kN/m ²) | 200 | |
| 繰返し応力振幅比 $\sigma_d/2\sigma'_0$ | 0.823 | |
| 試験結果 | | 液状化の判断 |
| 間隙水圧が上昇・蓄積する。 (過剰間隙水圧比95%を超える。) | ○ | 繰返し軟化 |
| 有効応力がゼロまで低下する。 | × | |
| 液体状となり流動する。 (ひずみが急増する。) | × | |
| 正のダイレイタンス特性によりせん断抵抗が作用する。 (有効応力が回復する。) | ○ | |

添付 1-69 図 液状化強度試験結果
(SW2-4 試料(供試体 No. 8))



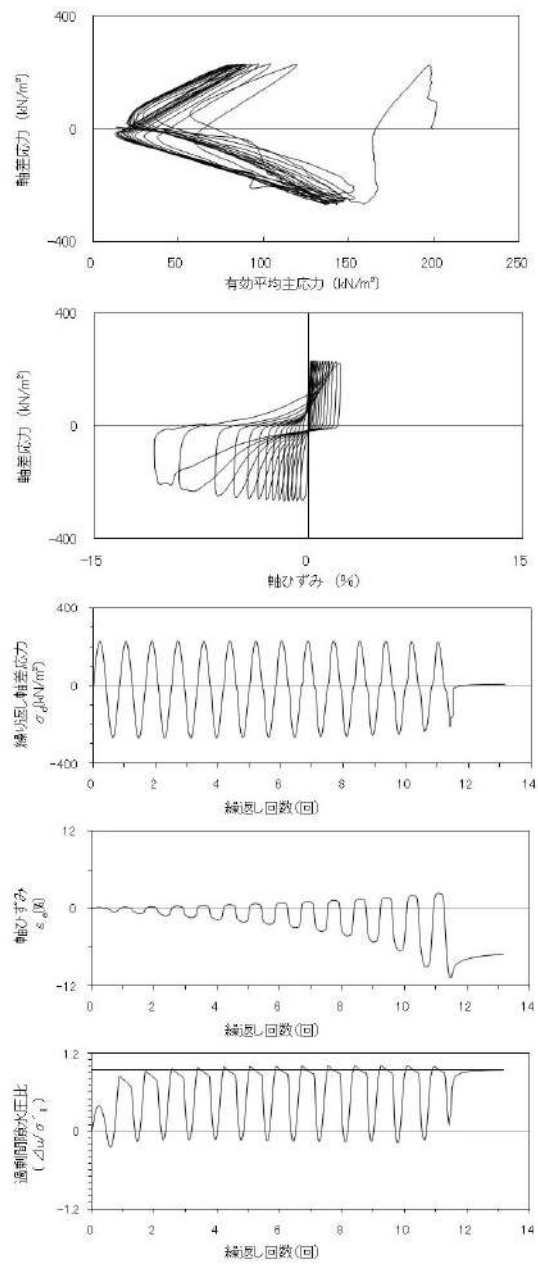
| 試験条件 | | |
|---|-------|--------|
| 供試体 | No.25 | |
| 圧密応力 σ'_c (kN/m ²) | 200 | |
| 繰返し応力振幅比 $\sigma_d/2\sigma'_0$ | 0.726 | |
| 試験結果 | | 液状化の判断 |
| 間隙水圧が上昇・蓄積する。 (過剰間隙水圧比95%を超える。) | ○ | 繰返し軟化 |
| 有効応力がゼロまで低下する。 | × | |
| 液体状となり流動する。 (ひずみが急増する。) | × | |
| 正のダイレイタンス特性によりせん断抵抗が作用する。 (有効応力が回復する。) | ○ | |

添付 1-70 図 液状化強度試験結果
(BF1-2 試料(供試体 No. 25))



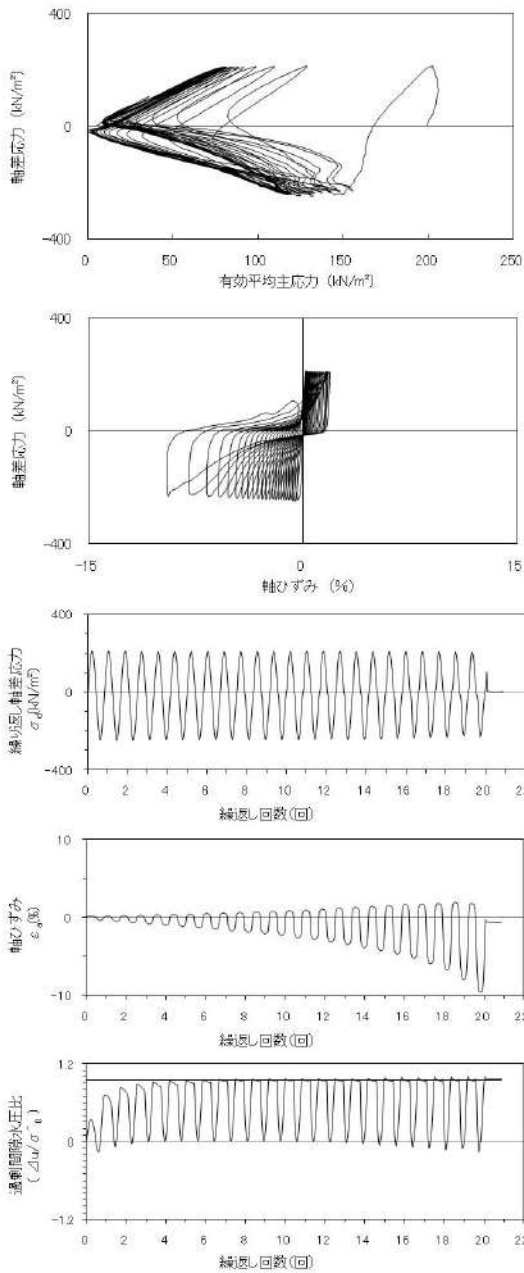
| 試験条件 | | 液状化の判断 |
|---|-------|--------|
| 供試体 | No.26 | |
| 圧密応力 σ'_c (kN/m ²) | 200 | |
| 繰返し応力振幅比 $\sigma_d/2\sigma'_0$ | 0.508 | |
| 試験結果 | | 繰返し軟化 |
| 間隙水圧が上昇・蓄積する。 (過剰間隙水圧比95%を超える。) | ○ | |
| 有効応力がゼロまで低下する。 | × | |
| 液体状となり流動する。 (ひずみが急増する。) | × | |
| 正のダイレイタンス特性によりせん断抵抗が作用する。 (有効応力が回復する。) | ○ | |

添付 1-71 図 液状化強度試験結果
(BF1-2 試料(供試体 No. 26))



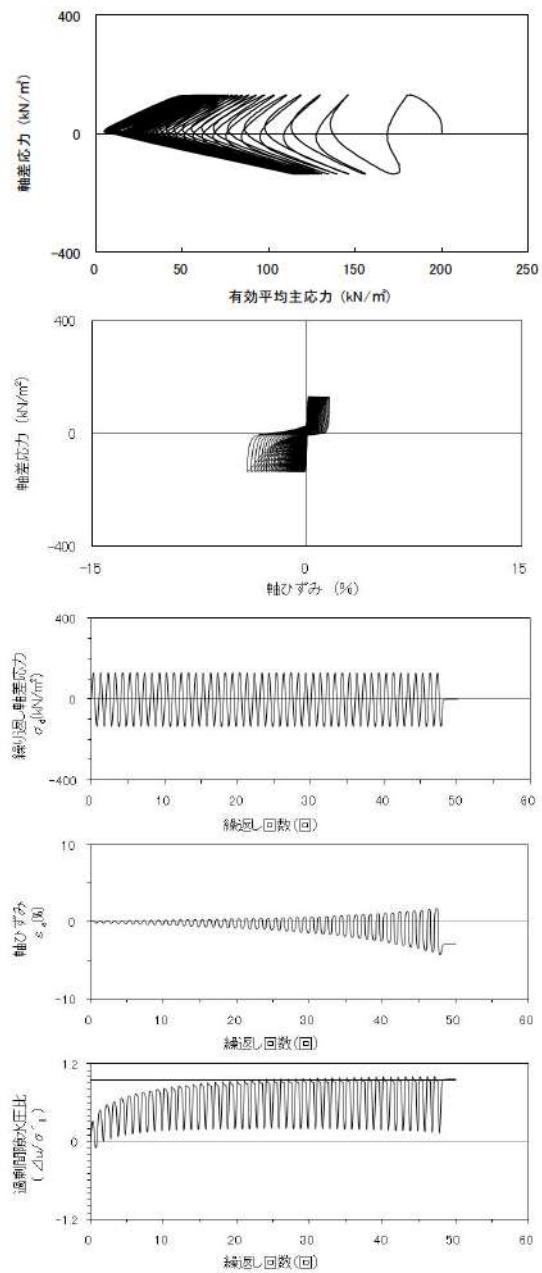
| 試験条件 | | 液状化の判断 |
|---|-------|--------|
| 供試体 | No.27 | |
| 圧密応力 σ'_c (kN/m ²) | 200 | |
| 繰返し応力振幅比 $\sigma_d/2\sigma'_0$ | 0.618 | |
| 試験結果 | | 繰返し軟化 |
| 間隙水圧が上昇・蓄積する。 (過剰間隙水圧比95%を超える。) | ○ | |
| 有効応力がゼロまで低下する。 | × | |
| 液体状となり流動する。 (ひずみが急増する。) | × | |
| 正のダイレイタンス特性によりせん断抵抗が作用する。 (有効応力が回復する。) | ○ | |

添付 1-72 図 液状化強度試験結果
(BF1-2 試料(供試体 No. 27))



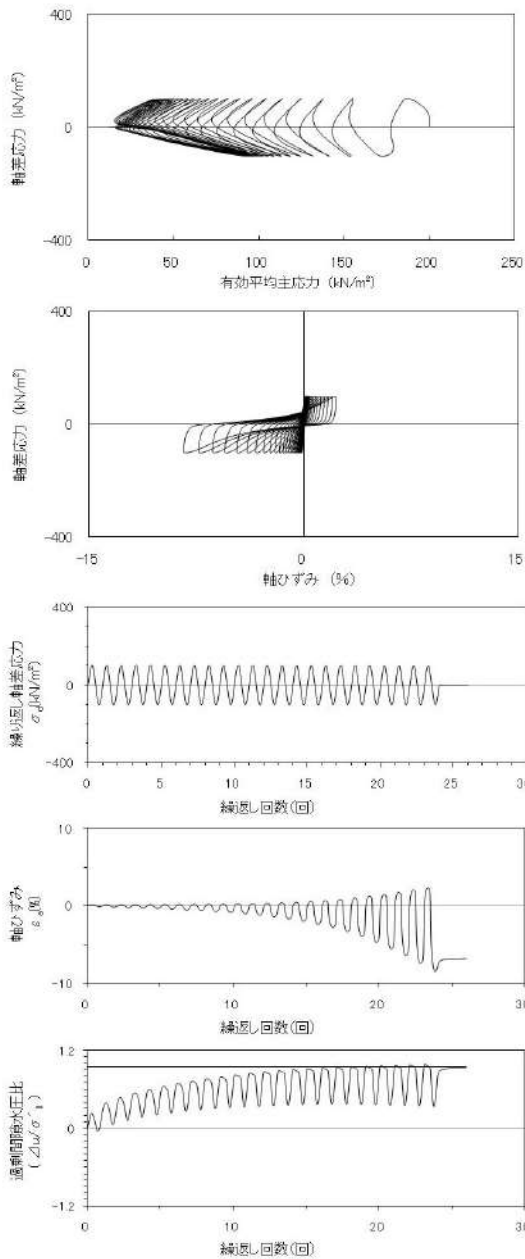
| 試験条件 | | |
|---|-------|----------------------------|
| 供試体 | No.28 | |
| 圧密応力 σ'_c (kN/m ²) | 200 | |
| 繰返し応力振幅比 $\sigma_d/2\sigma'_o$ | 0.574 | |
| 試験結果 | | 液状化の判断 |
| 間隙水圧が上昇・蓄積する。 (過剰間隙水圧比95%を超える。) | ○ | 繰返し軟化 (サイクリック モビリティ) |
| 有効応力がゼロまで低下する。 | ○ | |
| 液体状となり流動する。 (ひずみが増える。) | × | |
| 正のダイレイタンス特性により せん断抵抗が作用する。 (有効応力が回復する。) | ○ | |

添付 1-73 図 液状化強度試験結果
(BF1-2 試料(供試体 No. 28))



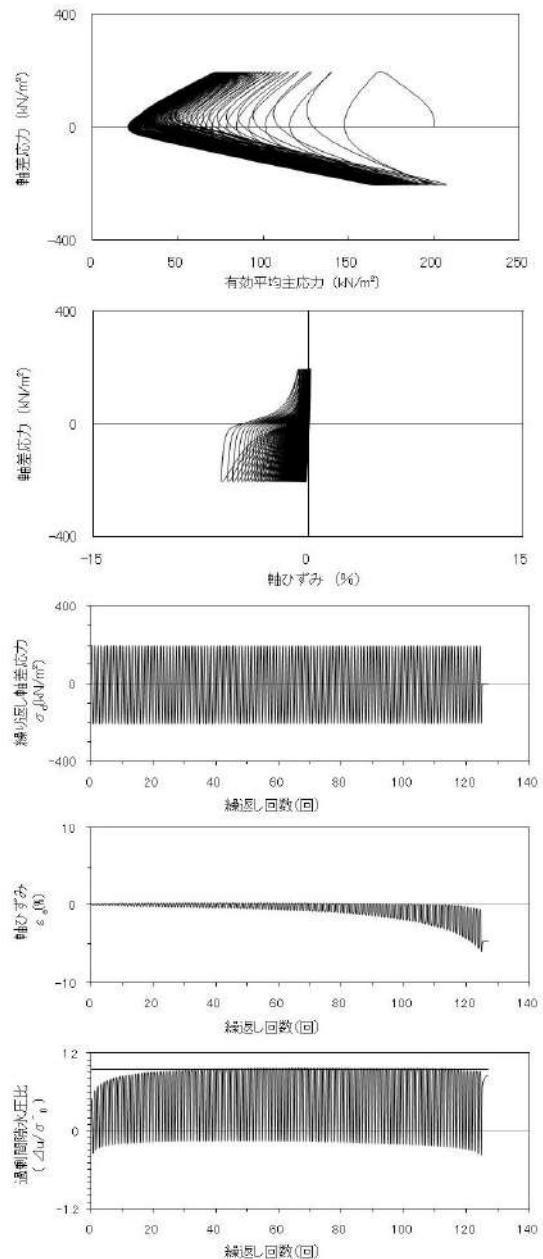
| 試験条件 | | |
|---|-------|--------|
| 供試体 | No.25 | |
| 圧密応力 σ'_c (kN/m ²) | 200 | |
| 繰返し応力振幅比 $\sigma_d/2\sigma'_o$ | 0.333 | |
| 試験結果 | | 液状化の判断 |
| 間隙水圧が上昇・蓄積する。 (過剰間隙水圧比95%を超える。) | ○ | 繰返し軟化 |
| 有効応力がゼロまで低下する。 | × | |
| 液体状となり流動する。 (ひずみが増える。) | × | |
| 正のダイレイタンス特性により せん断抵抗が作用する。 (有効応力が回復する。) | ○ | |

添付 1-74 図 液状化強度試験結果
(RE-1 試料(供試体 No. 25))



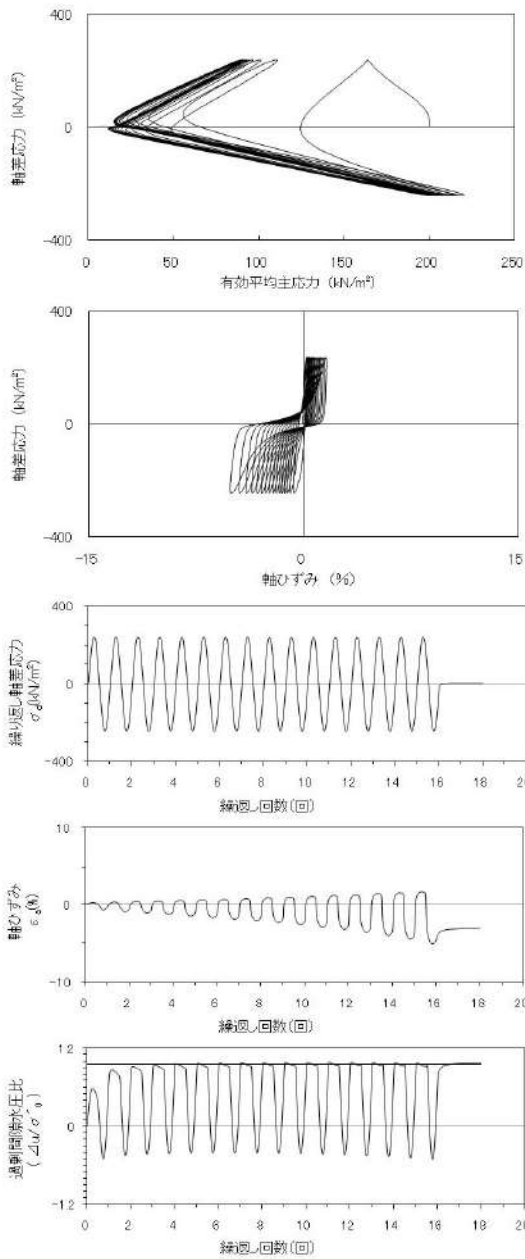
| 試験条件 | | 液状化の判断 |
|--|-------|--------|
| 供試体 | No.6 | 繰返し軟化 |
| 圧密応力 σ'_c (kN/m ²) | 200 | |
| 繰返し応力振幅比 $\sigma_d/2\sigma'_o$ | 0.252 | |
| 試験結果 | | |
| 間隙水圧が上昇・蓄積する。 (過剰間隙水圧比95%を超える。) | ○ | 繰返し軟化 |
| 有効応力がゼロまで低下する。 | × | |
| 液体状となり流動する。 (ひずみが急増する。) | × | |
| 正のダイレイタンスー特性により せん断抵抗が作用する。 (有効応力が回復する。) | ○ | |

添付 1-75 図 液状化強度試験結果
(RE-2(1) 試料(供試体 No. 6))



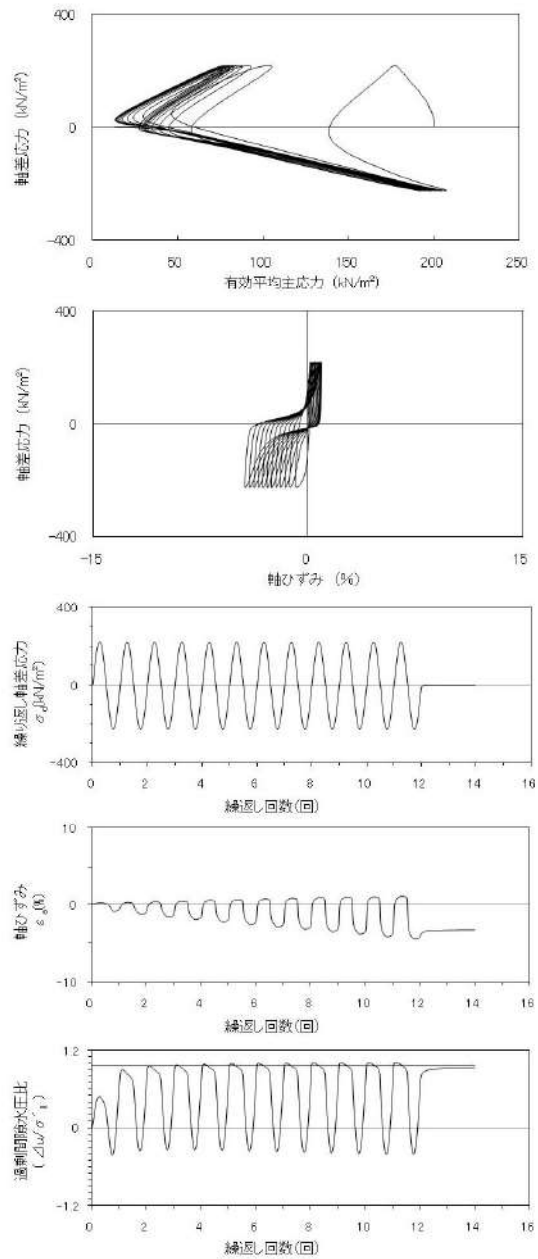
| 試験条件 | | 液状化の判断 |
|--|-------|--------|
| 供試体 | No.9 | 繰返し軟化 |
| 圧密応力 σ'_c (kN/m ²) | 200 | |
| 繰返し応力振幅比 $\sigma_d/2\sigma'_o$ | 0.501 | |
| 試験結果 | | |
| 間隙水圧が上昇・蓄積する。 (過剰間隙水圧比95%を超える。) | ○ | 繰返し軟化 |
| 有効応力がゼロまで低下する。 | × | |
| 液体状となり流動する。 (ひずみが急増する。) | × | |
| 正のダイレイタンスー特性により せん断抵抗が作用する。 (有効応力が回復する。) | ○ | |

添付 1-76 図 液状化強度試験結果
(RE-2(2) 試料(供試体 No. 9))



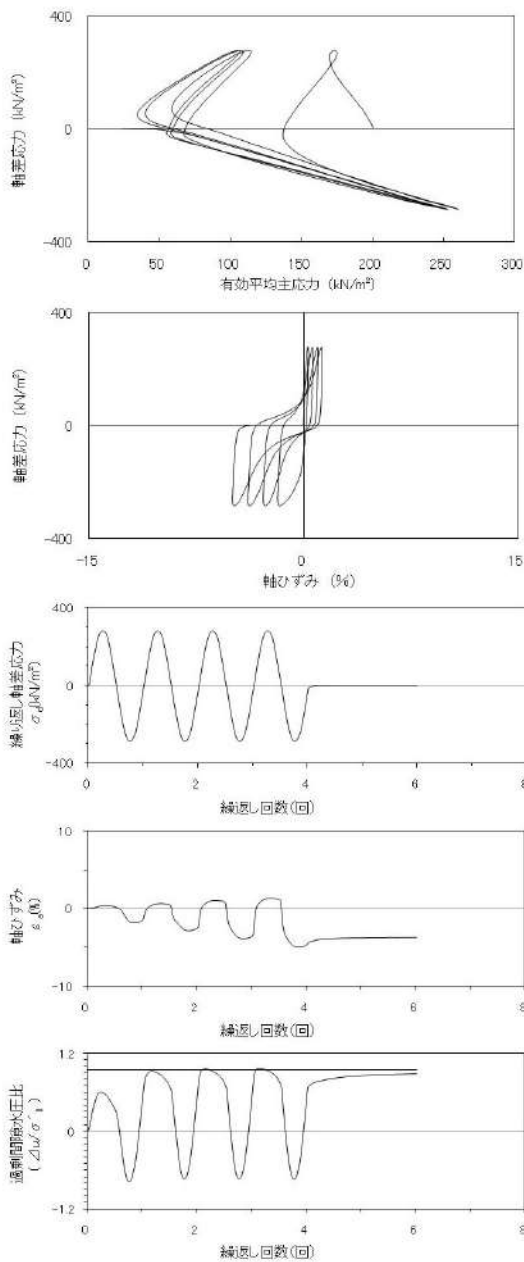
| 試験条件 | | 液状化の判断 |
|---|-------|--------|
| 供試体 | No.13 | |
| 圧密応力 σ'_c (kN/m ²) | 200 | |
| 繰返し応力振幅比 $\sigma_d/2\sigma'_0$ | 0.602 | |
| 試験結果 | | 繰返し軟化 |
| 間隙水圧が上昇・蓄積する。 (過剰間隙水圧比95%を超える。) | ○ | |
| 有効応力がゼロまで低下する。 | × | |
| 液体状となり流動する。 (ひずみが急増する。) | × | |
| 正のダイレイタンス特性によりせん断抵抗が作用する。 (有効応力が回復する。) | ○ | |

添付 1-77 図 液状化強度試験結果
(RE-2(2) 試料(供試体 No. 13))



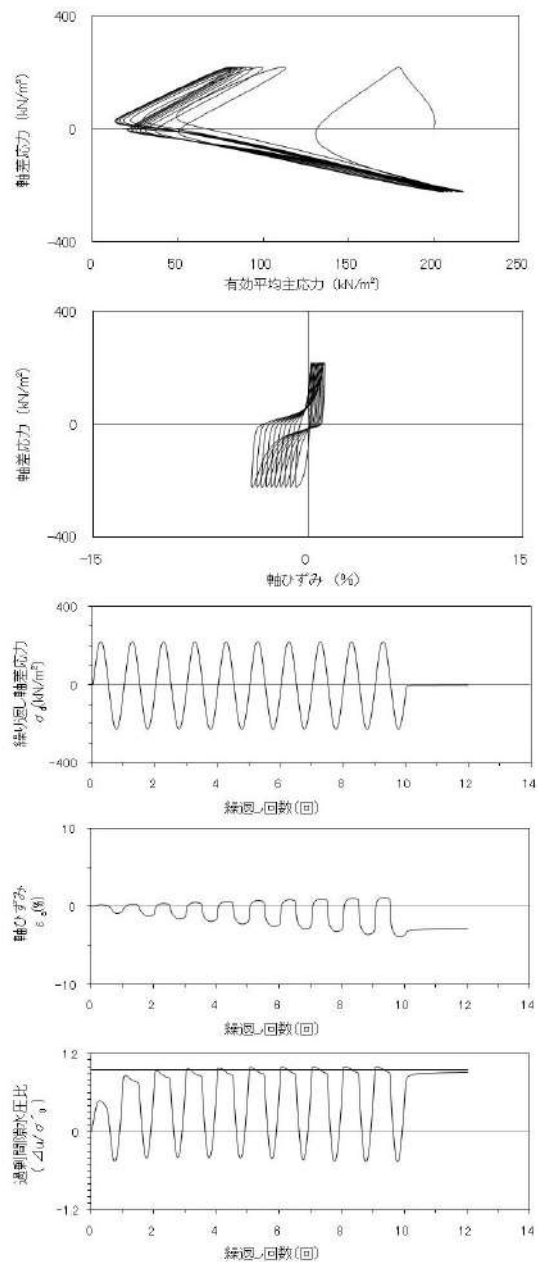
| 試験条件 | | 液状化の判断 |
|---|-------|--------|
| 供試体 | No.14 | |
| 圧密応力 σ'_c (kN/m ²) | 200 | |
| 繰返し応力振幅比 $\sigma_d/2\sigma'_0$ | 0.554 | |
| 試験結果 | | 繰返し軟化 |
| 間隙水圧が上昇・蓄積する。 (過剰間隙水圧比95%を超える。) | ○ | |
| 有効応力がゼロまで低下する。 | × | |
| 液体状となり流動する。 (ひずみが急増する。) | × | |
| 正のダイレイタンス特性によりせん断抵抗が作用する。 (有効応力が回復する。) | ○ | |

添付 1-78 図 液状化強度試験結果
(RE-2(2) 試料(供試体 No. 14))



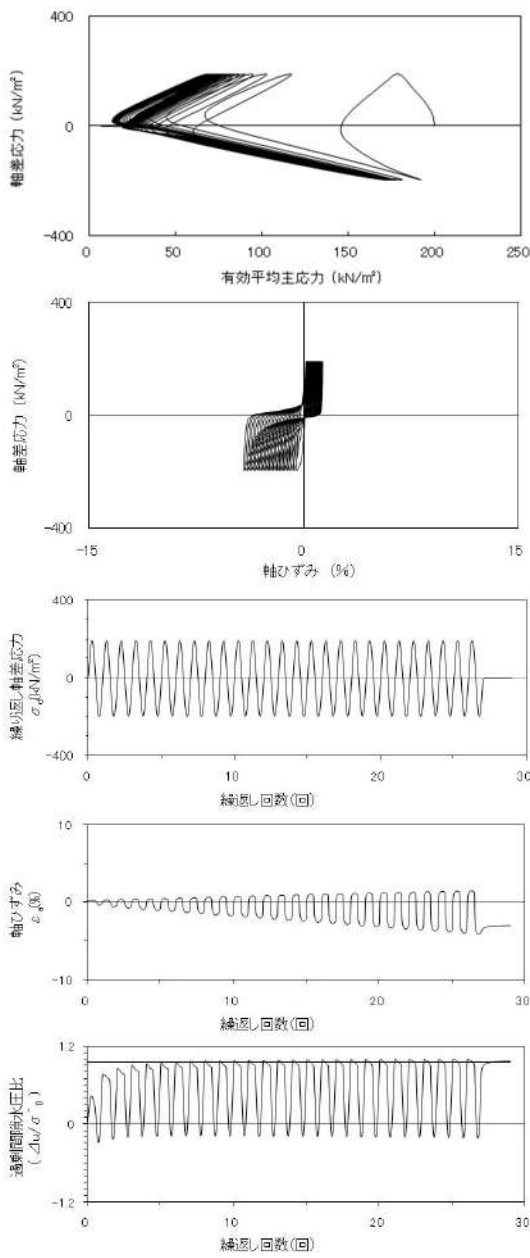
| 試験条件 | | |
|---|---|--------|
| 供試体 | | No.15 |
| 圧密応力 σ'_c (kN/m ²) | | 200 |
| 繰返し応力振幅比 $\sigma_d/2\sigma'_o$ | | 0.704 |
| 試験結果 | | 液状化の判断 |
| 間隙水圧が上昇・蓄積する。 (過剰間隙水圧比95%を超える。) | ○ | 繰返し軟化 |
| 有効応力がゼロまで低下する。 | × | |
| 液体状となり流動する。 (ひずみが急増する。) | × | |
| 正のダイレイタンス特性により せん断抵抗が作用する。 (有効応力が回復する。) | ○ | |

添付 1-79 図 液状化強度試験結果
(RE-2(3) 試料(供試体 No. 15))



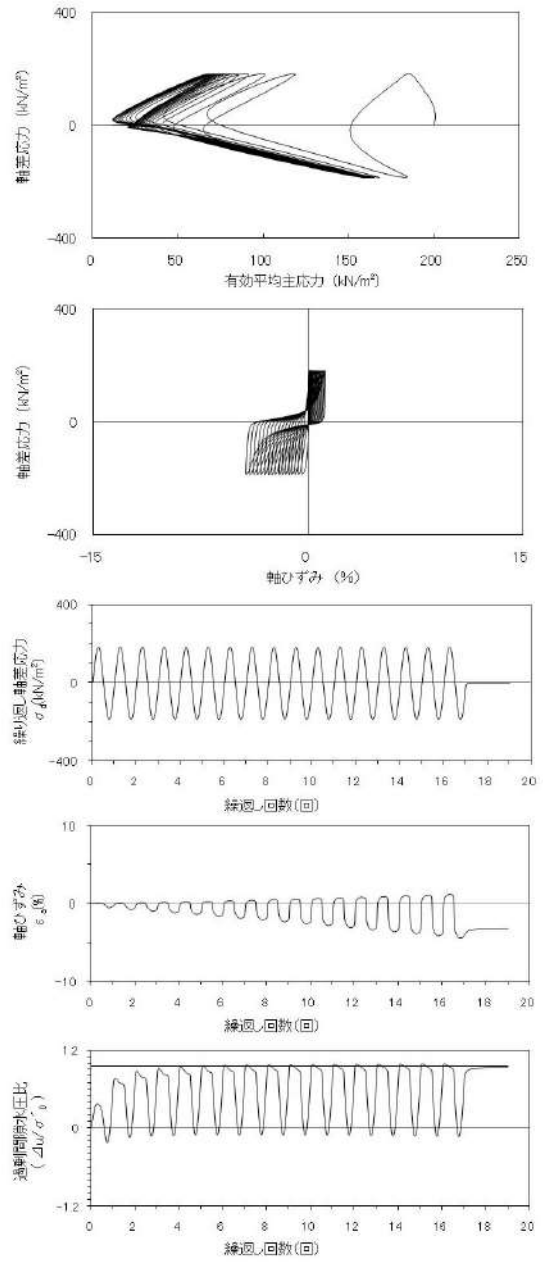
| 試験条件 | | |
|---|---|--------|
| 供試体 | | No.16 |
| 圧密応力 σ'_c (kN/m ²) | | 200 |
| 繰返し応力振幅比 $\sigma_d/2\sigma'_o$ | | 0.555 |
| 試験結果 | | 液状化の判断 |
| 間隙水圧が上昇・蓄積する。 (過剰間隙水圧比95%を超える。) | ○ | 繰返し軟化 |
| 有効応力がゼロまで低下する。 | × | |
| 液体状となり流動する。 (ひずみが急増する。) | × | |
| 正のダイレイタンス特性により せん断抵抗が作用する。 (有効応力が回復する。) | ○ | |

添付 1-80 図 液状化強度試験結果
(RE-2(3) 試料(供試体 No. 16))



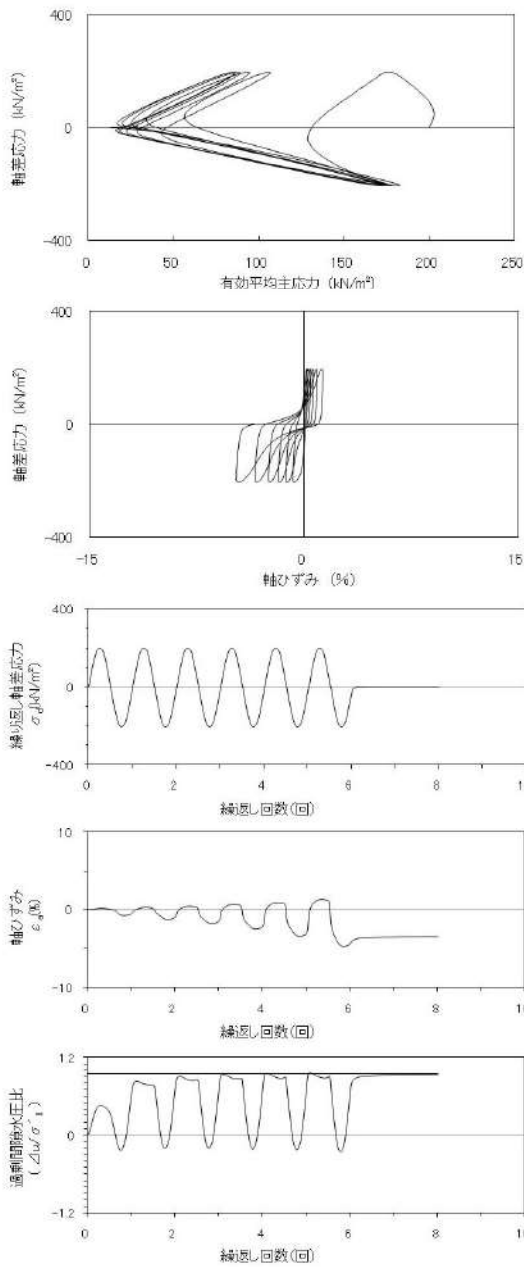
| 試験条件 | | |
|---|-------|--------|
| 供試体 | No.17 | |
| 圧密応力 σ'_c (kN/m ²) | 200 | |
| 繰返し応力振幅比 $\sigma_d/2\sigma'_o$ | 0.481 | |
| 試験結果 | | 液状化の判断 |
| 間隙水圧が上昇・蓄積する。 (過剰間隙水圧比95%を超える。) | ○ | 繰返し軟化 |
| 有効応力がゼロまで低下する。 | × | |
| 液体状となり流動する。 (ひずみが急増する。) | × | |
| 正のダイレイタンス特性によりせん断抵抗が作用する。 (有効応力が回復する。) | ○ | |

添付 1-81 図 液状化強度試験結果
(RE-2(3) 試料(供試体 No. 17))



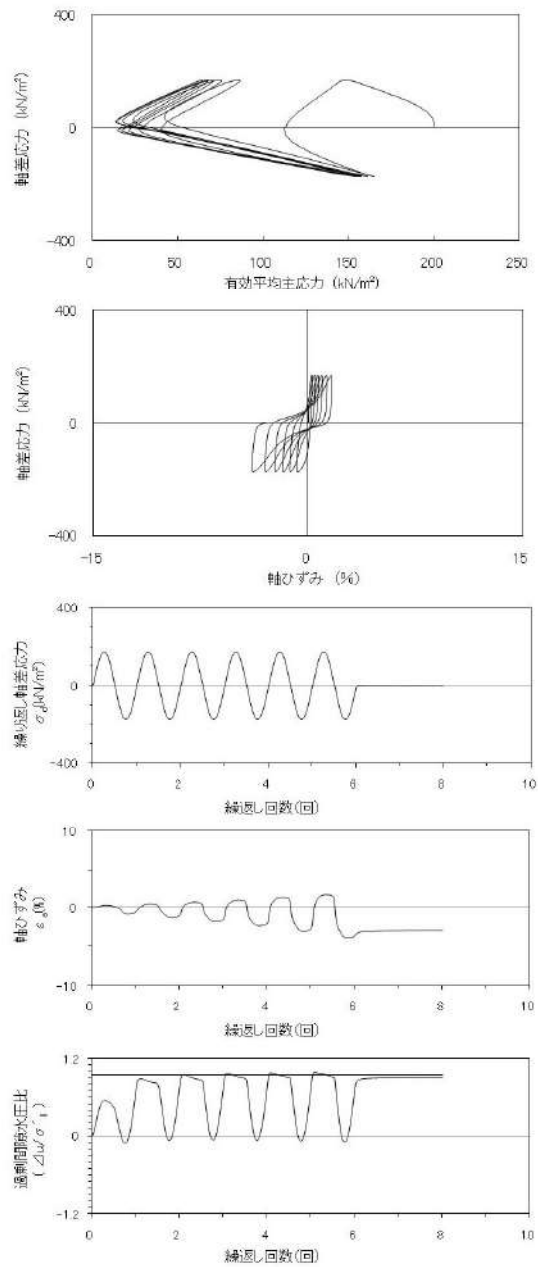
| 試験条件 | | |
|---|-------|--------|
| 供試体 | No.18 | |
| 圧密応力 σ'_c (kN/m ²) | 200 | |
| 繰返し応力振幅比 $\sigma_d/2\sigma'_o$ | 0.459 | |
| 試験結果 | | 液状化の判断 |
| 間隙水圧が上昇・蓄積する。 (過剰間隙水圧比95%を超える。) | ○ | 繰返し軟化 |
| 有効応力がゼロまで低下する。 | × | |
| 液体状となり流動する。 (ひずみが急増する。) | × | |
| 正のダイレイタンス特性によりせん断抵抗が作用する。 (有効応力が回復する。) | ○ | |

添付 1-82 図 液状化強度試験結果
(RE-2(3) 試料(供試体 No. 18))



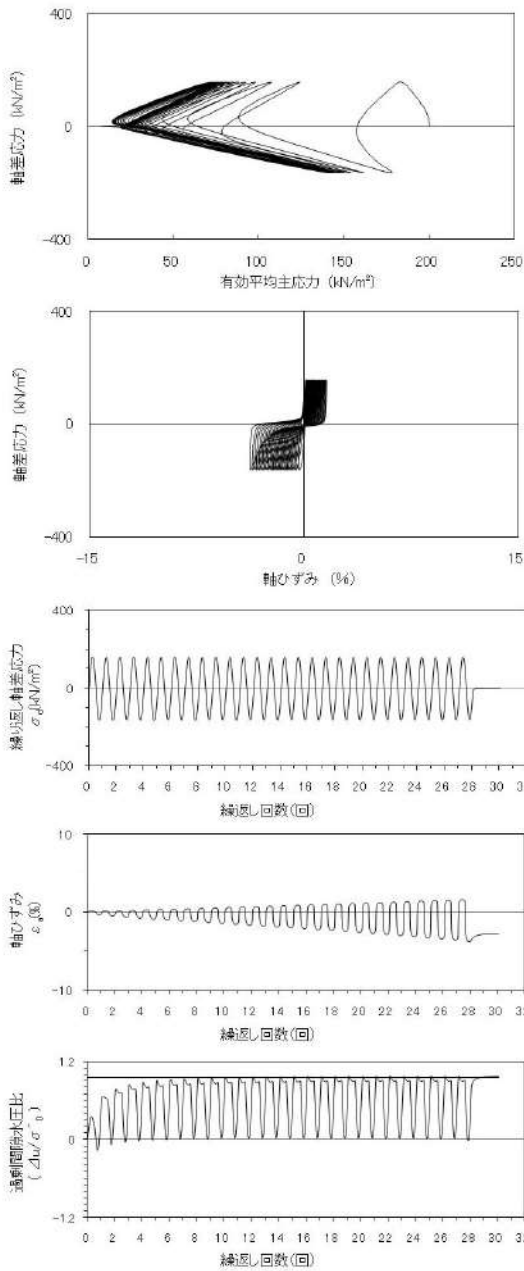
| 試験条件 | | 液状化の判断 | |
|---|-------|--------|-------|
| 供試体 | No.3 | | 繰返し軟化 |
| 圧密応力 σ'_c (kN/m ²) | 200 | | |
| 繰返し応力振幅比 $\sigma_d/2\sigma'_o$ | 0.503 | | |
| 試験結果 | | | |
| 間隙水圧が上昇・蓄積する。 (過剰間隙水圧比95%を超える。) | ○ | | 繰返し軟化 |
| 有効応力がゼロまで低下する。 | × | | |
| 液体状となり流動する。 (ひずみが急増する。) | × | | |
| 正のダイレイタンス特性により せん断抵抗が作用する。 (有効応力が回復する。) | ○ | | |

添付 1-83 図 液状化強度試験結果
(RE-3(1) 試料(供試体 No. 3))



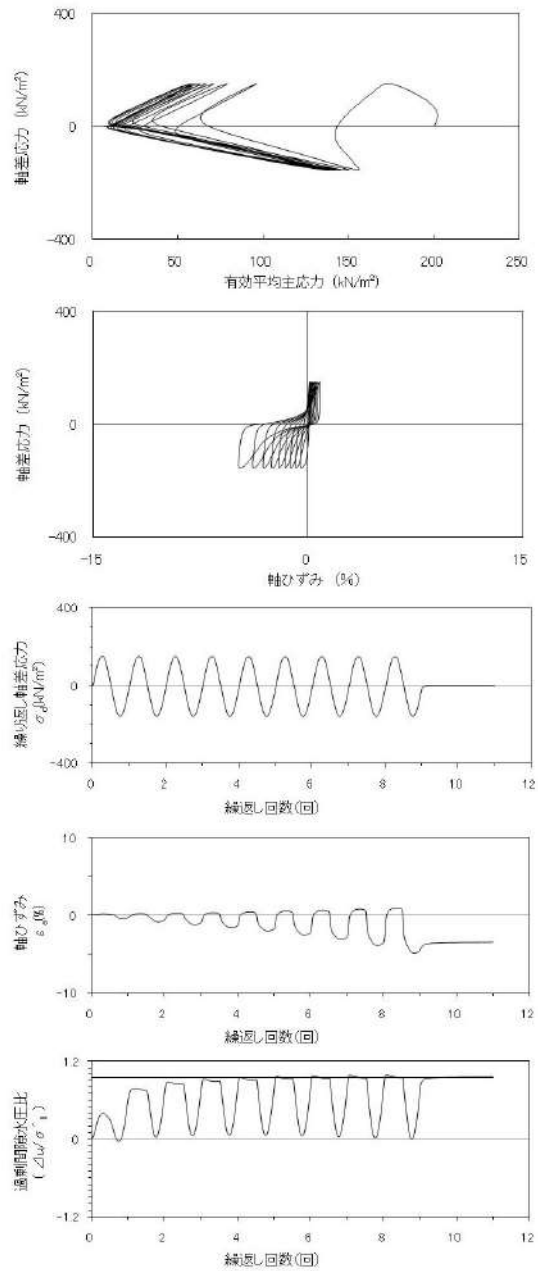
| 試験条件 | | 液状化の判断 | |
|---|-------|--------|-------|
| 供試体 | No.5 | | 繰返し軟化 |
| 圧密応力 σ'_c (kN/m ²) | 200 | | |
| 繰返し応力振幅比 $\sigma_d/2\sigma'_o$ | 0.428 | | |
| 試験結果 | | | |
| 間隙水圧が上昇・蓄積する。 (過剰間隙水圧比95%を超える。) | ○ | | 繰返し軟化 |
| 有効応力がゼロまで低下する。 | × | | |
| 液体状となり流動する。 (ひずみが急増する。) | × | | |
| 正のダイレイタンス特性により せん断抵抗が作用する。 (有効応力が回復する。) | ○ | | |

添付 1-84 図 液状化強度試験結果
(RE-3(1) 試料(供試体 No. 5))



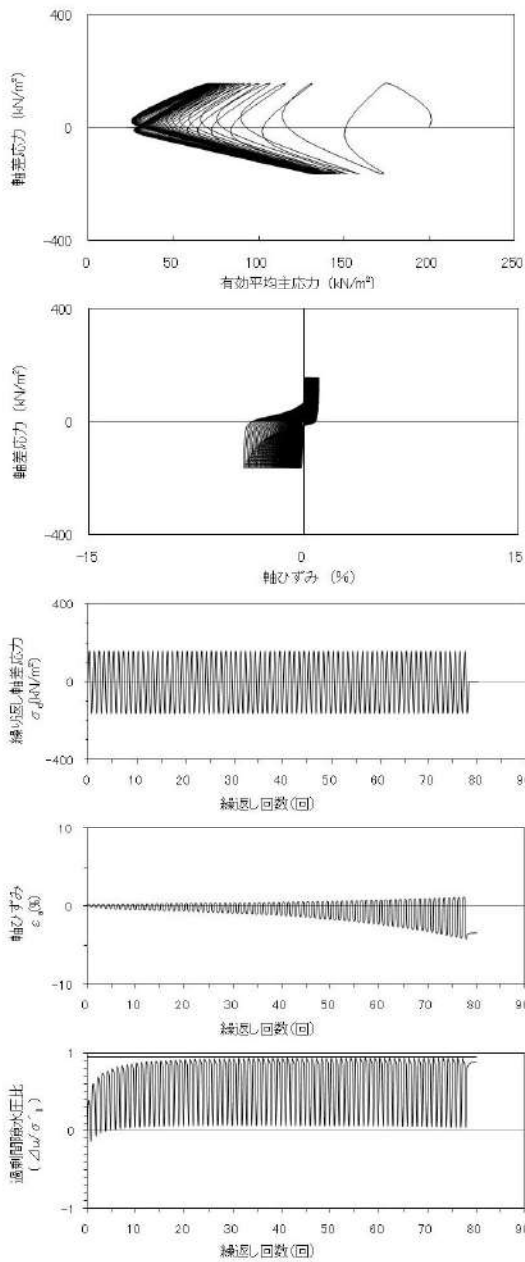
| 試験条件 | | 液状化の判断 | |
|---|--------|--------|--|
| 供試体 | No. 1' | | |
| 圧密応力 σ'_c (kN/m ²) | 200 | | |
| 繰返し応力振幅比 $\sigma_d/2\sigma'_0$ | 0.401 | | |
| 試験結果 | | 液状化の判断 | |
| 間隙水圧が上昇・蓄積する。 (過剰間隙水圧比95%を超える。) | ○ | 繰返し軟化 | |
| 有効応力がゼロまで低下する。 | × | | |
| 液体状となり流動する。 (ひずみが急増する。) | × | | |
| 正のダイレイタンス特性により せん断抵抗が作用する。 (有効応力が回復する。) | ○ | | |

添付 1-85 図 液状化強度試験結果
(RE-3(1) 試料(供試体 No. 1'))



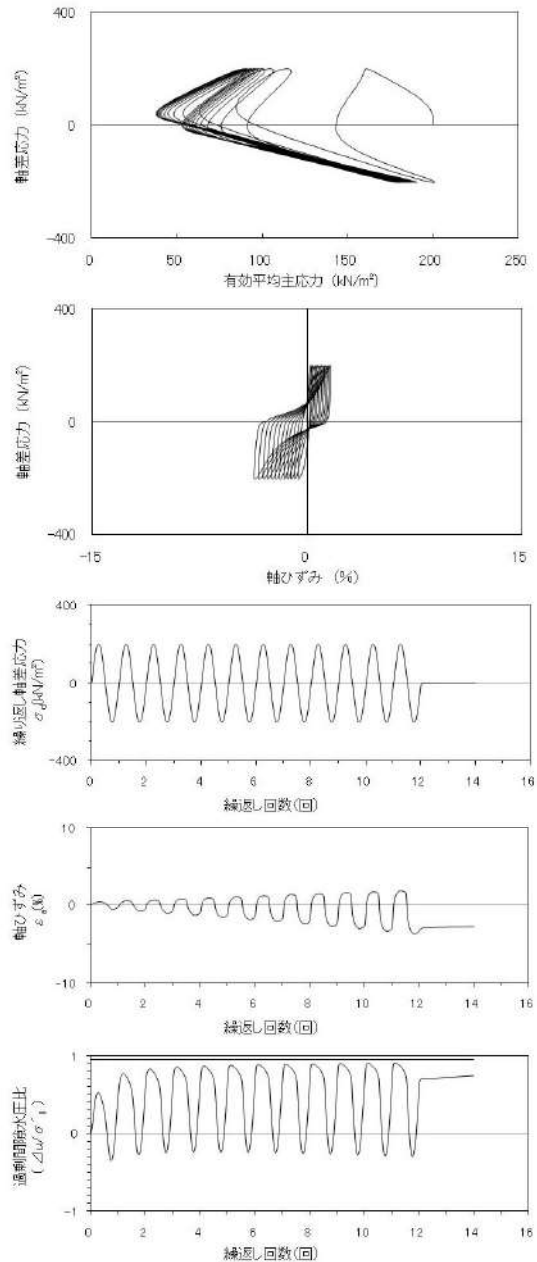
| 試験条件 | | 液状化の判断 | |
|---|--------|--------|--|
| 供試体 | No. 2' | | |
| 圧密応力 σ'_c (kN/m ²) | 200 | | |
| 繰返し応力振幅比 $\sigma_d/2\sigma'_0$ | 0.383 | | |
| 試験結果 | | 液状化の判断 | |
| 間隙水圧が上昇・蓄積する。 (過剰間隙水圧比95%を超える。) | ○ | 繰返し軟化 | |
| 有効応力がゼロまで低下する。 | × | | |
| 液体状となり流動する。 (ひずみが急増する。) | × | | |
| 正のダイレイタンス特性により せん断抵抗が作用する。 (有効応力が回復する。) | ○ | | |

添付 1-86 図 液状化強度試験結果
(RE-3(1) 試料(供試体 No. 2'))



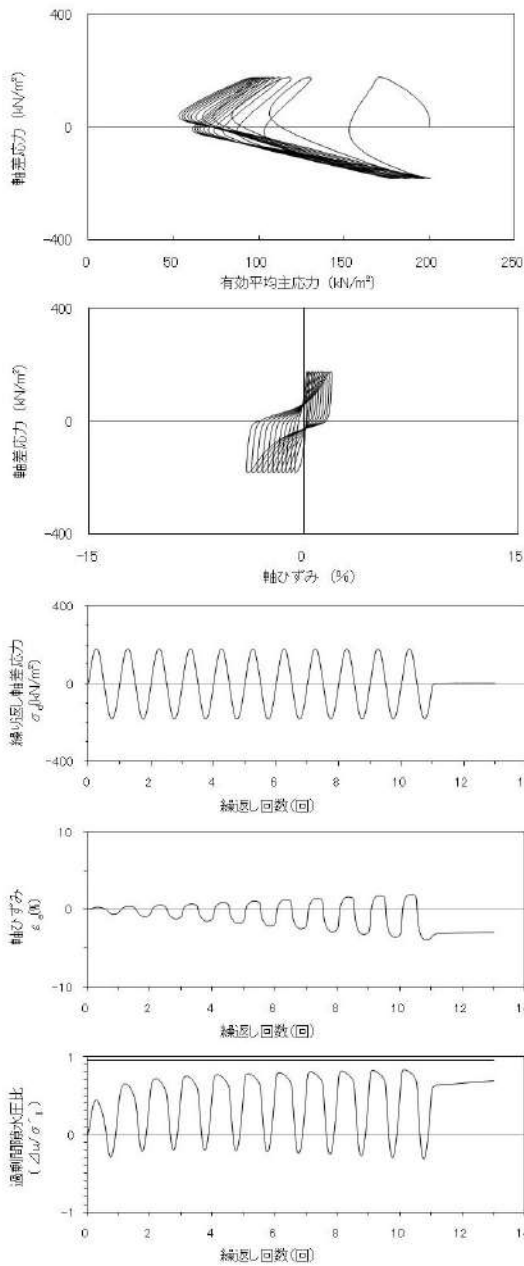
| 試験条件 | | |
|---|-------|--------|
| 供試体 | No.6 | |
| 圧密応力 σ'_c (kN/m ²) | 200 | |
| 繰返し応力振幅比 $\sigma_d/2\sigma'_0$ | 0.401 | |
| 試験結果 | | 液状化の判断 |
| 間隙水圧が上昇・蓄積する。 (過剰間隙水圧比95%を超える。) | × | 非液状化 |
| 有効応力がゼロまで低下する。 | × | |
| 液体状となり流動する。 (ひずみが急増する。) | × | |
| 正のダイレイタンス特性によりせん断抵抗が作用する。 (有効応力が回復する。) | ○ | |

添付 1-87 図 液状化強度試験結果
(RE-3(2) 試料(供試体 No. 6))



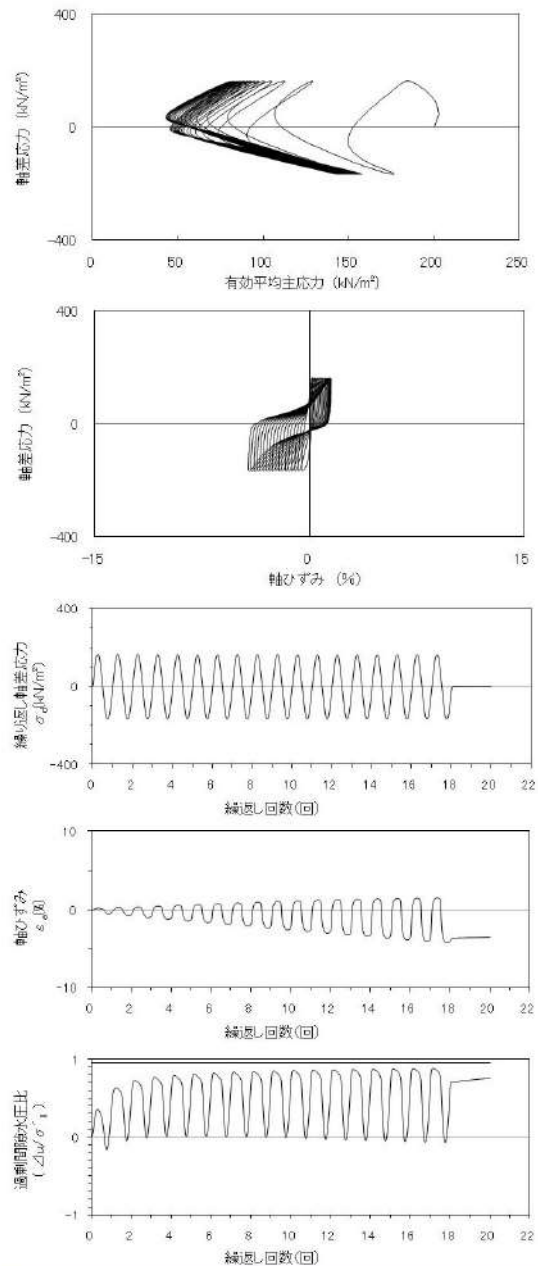
| 試験条件 | | |
|---|-------|--------|
| 供試体 | No.7 | |
| 圧密応力 σ'_c (kN/m ²) | 200 | |
| 繰返し応力振幅比 $\sigma_d/2\sigma'_0$ | 0.502 | |
| 試験結果 | | 液状化の判断 |
| 間隙水圧が上昇・蓄積する。 (過剰間隙水圧比95%を超える。) | × | 非液状化 |
| 有効応力がゼロまで低下する。 | × | |
| 液体状となり流動する。 (ひずみが急増する。) | × | |
| 正のダイレイタンス特性によりせん断抵抗が作用する。 (有効応力が回復する。) | ○ | |

添付 1-88 図 液状化強度試験結果
(RE-3(2) 試料(供試体 No. 7))



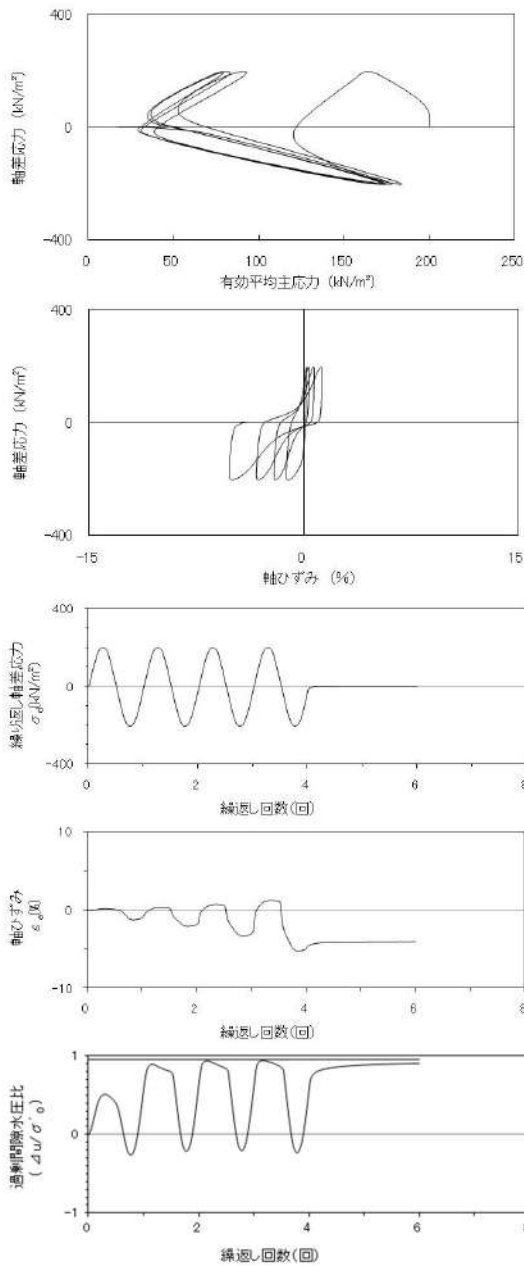
| 試験条件 | | 液状化の判断 |
|---|-------|--------|
| 供試体 | No.8 | 非液状化 |
| 圧密応力 σ'_c (kN/m ²) | 200 | |
| 繰返し応力振幅比 $\sigma_d/2\sigma'_0$ | 0.451 | |
| 間隙水圧が上昇・蓄積する。 (過剰間隙水圧比95%を超える。) | × | |
| 有効応力がゼロまで低下する。 液体状となり流動する。 (ひずみが急増する。) | × | |
| 正のダイレイタンス特性により せん断抵抗が作用する。 (有効応力が回復する。) | ○ | |

添付 1-89 図 液状化強度試験結果
(RE-3(2) 試料(供試体 No. 8))



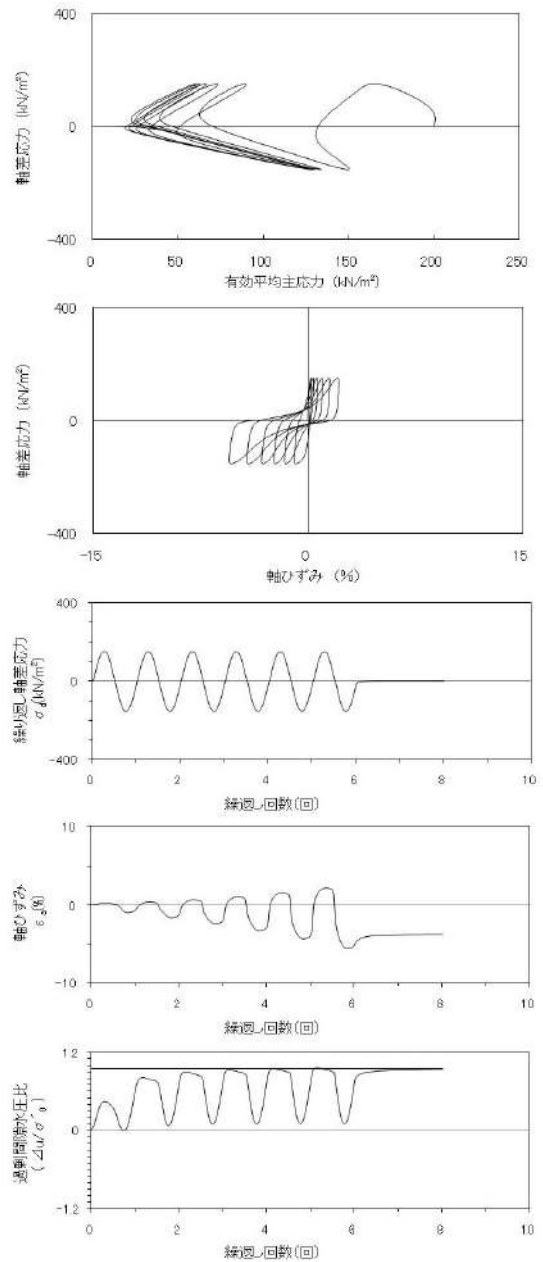
| 試験条件 | | 液状化の判断 |
|---|-------|--------|
| 供試体 | No.9 | 非液状化 |
| 圧密応力 σ'_c (kN/m ²) | 200 | |
| 繰返し応力振幅比 $\sigma_d/2\sigma'_0$ | 0.413 | |
| 間隙水圧が上昇・蓄積する。 (過剰間隙水圧比95%を超える。) | × | |
| 有効応力がゼロまで低下する。 液体状となり流動する。 (ひずみが急増する。) | × | |
| 正のダイレイタンス特性により せん断抵抗が作用する。 (有効応力が回復する。) | ○ | |

添付 1-90 図 液状化強度試験結果
(RE-3(2) 試料(供試体 No. 9))



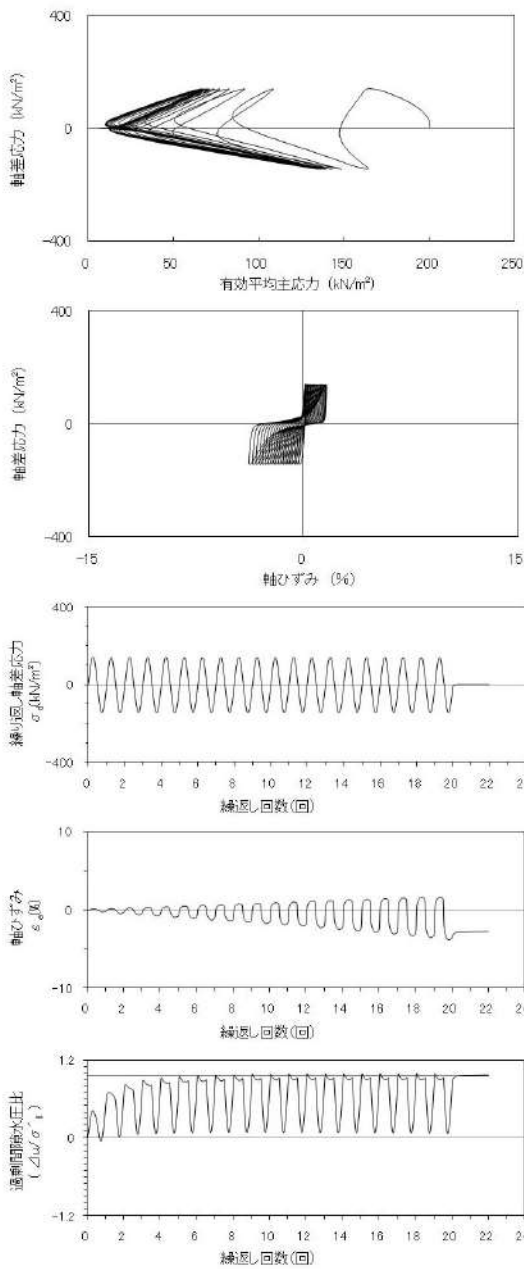
| 試験条件 | | 液状化の判断 | |
|---|-------|--------|------|
| 供試体 | No.11 | | 非液状化 |
| 圧密応力 σ'_c (kN/m ²) | 200 | | |
| 繰返し応力振幅比 $\sigma_d/2\sigma'_o$ | 0.502 | | |
| 試験結果 | | | |
| 間隙水圧が上昇・蓄積する。 (過剰間隙水圧比95%を超える。) | × | | |
| 有効応力がゼロまで低下する。 | × | | |
| 液体状となり流動する。 (ひずみが急増する。) | × | | |
| 正のダイレイタンス特性により せん断抵抗が作用する。 (有効応力が回復する。) | ○ | | |

添付 1-91 図 液状化強度試験結果
(RE-3(3) 試料(供試体 No. 11))



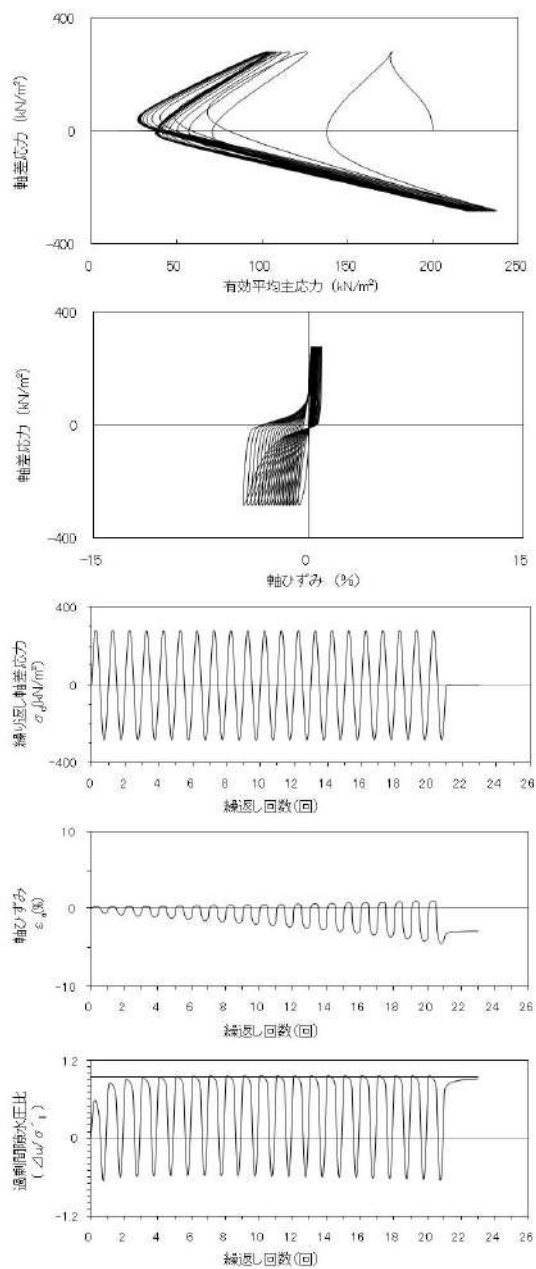
| 試験条件 | | 液状化の判断 | |
|---|-------|--------|-------|
| 供試体 | No.14 | | 繰返し軟化 |
| 圧密応力 σ'_c (kN/m ²) | 200 | | |
| 繰返し応力振幅比 $\sigma_d/2\sigma'_o$ | 0.381 | | |
| 試験結果 | | | |
| 間隙水圧が上昇・蓄積する。 (過剰間隙水圧比95%を超える。) | ○ | | |
| 有効応力がゼロまで低下する。 | × | | |
| 液体状となり流動する。 (ひずみが急増する。) | × | | |
| 正のダイレイタンス特性により せん断抵抗が作用する。 (有効応力が回復する。) | ○ | | |

添付 1-92 図 液状化強度試験結果
(RE-3(3) 試料(供試体 No. 14))



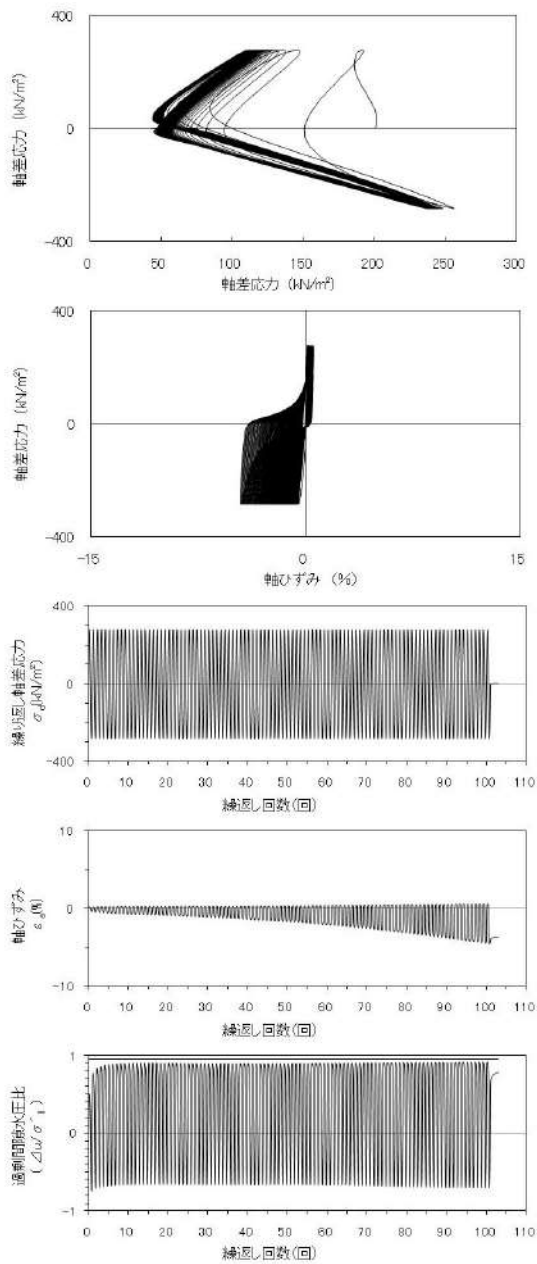
| 試験条件 | | 液状化の判断 | |
|--|-------|--------|-------|
| 供試体 | No.18 | ○ | 繰返し軟化 |
| 圧密応力 σ'_c (kN/m ²) | 200 | | |
| 繰返し応力振幅比 $\sigma_d/2\sigma'_0$ | 0.352 | | |
| 試験結果 | | | |
| 間隙水圧が上昇・蓄積する。 (過剰間隙水圧比95%を超える。) | ○ | × | 繰返し軟化 |
| 有効応力がゼロまで低下する。 | × | | |
| 液体状となり流動する。 (ひずみが急増する。) | × | | |
| 正のダイレイタンスー特性により せん断抵抗が作用する。 (有効応力が回復する。) | ○ | | |

添付 1-93 図 液状化強度試験結果
(RE-3(3) 試料(供試体 No. 18))



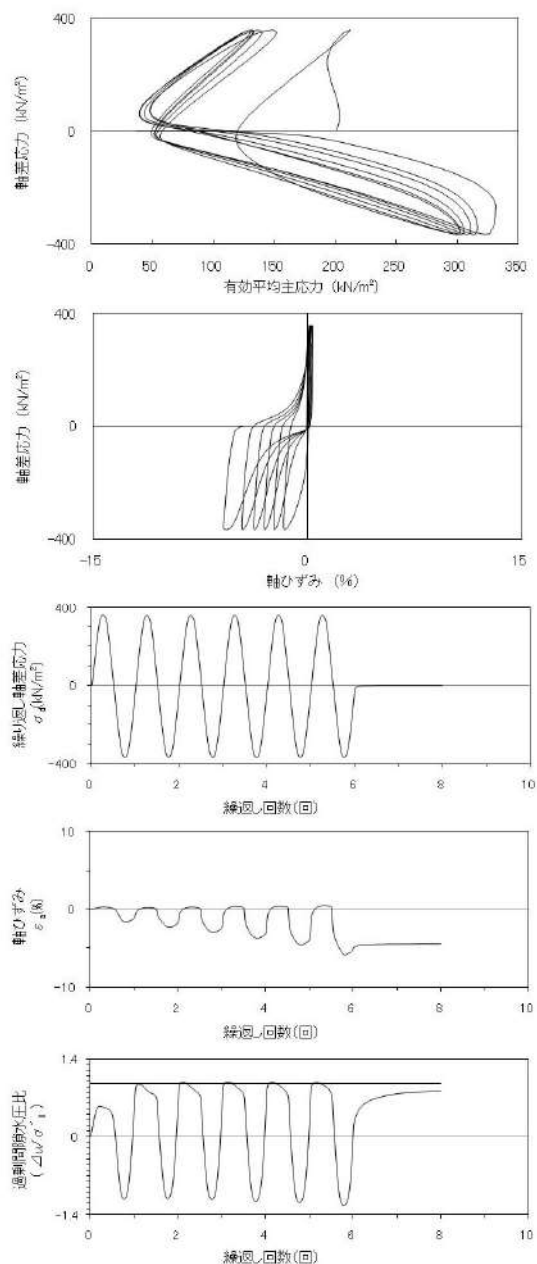
| 試験条件 | | 液状化の判断 | |
|--|-------|--------|-------|
| 供試体 | No.17 | ○ | 繰返し軟化 |
| 圧密応力 σ'_c (kN/m ²) | 200 | | |
| 繰返し応力振幅比 $\sigma_d/2\sigma'_0$ | 0.705 | | |
| 試験結果 | | | |
| 間隙水圧が上昇・蓄積する。 (過剰間隙水圧比95%を超える。) | ○ | × | 繰返し軟化 |
| 有効応力がゼロまで低下する。 | × | | |
| 液体状となり流動する。 (ひずみが急増する。) | × | | |
| 正のダイレイタンスー特性により せん断抵抗が作用する。 (有効応力が回復する。) | ○ | | |

添付 1-94 図 液状化強度試験結果
(RE-4 試料(供試体 No. 17))



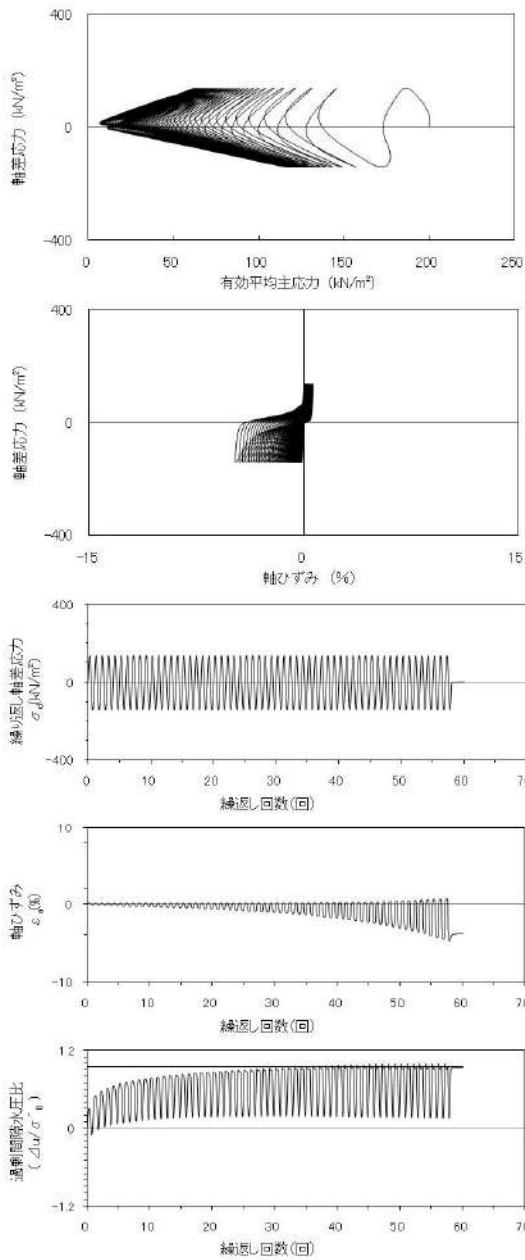
| 試験条件 | | 液状化の判断 |
|---|-------|--------|
| 供試体 | No.6 | 非液状化 |
| 圧密応力 σ'_c (kN/m ²) | 200 | |
| 繰返し応力振幅比 $\sigma_d/2\sigma'_0$ | 0.702 | |
| 間隙水圧が上昇・蓄積する。 (過剰間隙水圧比95%を超える。) | × | |
| 有効応力がゼロまで低下する。 (ひずみが急増する。) | × | |
| 液体状となり流動する。 (ひずみが急増する。) | × | 繰返し軟化 |
| 正のダイレイタンス特性によりせん断抵抗が作用する。 (有効応力が回復する。) | ○ | |

添付 1-95 図 液状化強度試験結果
(RE-5(1) 試料(供試体 No. 6))



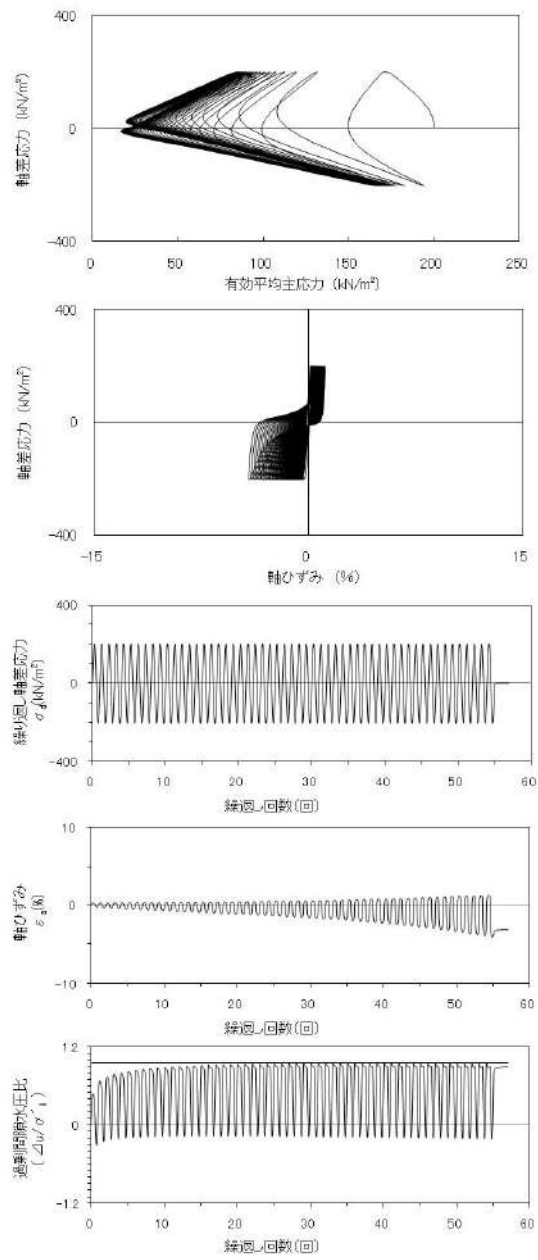
| 試験条件 | | 液状化の判断 |
|---|-------|--------|
| 供試体 | No.7 | 繰返し軟化 |
| 圧密応力 σ'_c (kN/m ²) | 200 | |
| 繰返し応力振幅比 $\sigma_d/2\sigma'_0$ | 0.908 | |
| 間隙水圧が上昇・蓄積する。 (過剰間隙水圧比95%を超える。) | ○ | |
| 有効応力がゼロまで低下する。 (ひずみが急増する。) | × | |
| 液体状となり流動する。 (ひずみが急増する。) | × | 繰返し軟化 |
| 正のダイレイタンス特性によりせん断抵抗が作用する。 (有効応力が回復する。) | ○ | |

添付 1-96 図 液状化強度試験結果
(RE-5(1) 試料(供試体 No. 7))



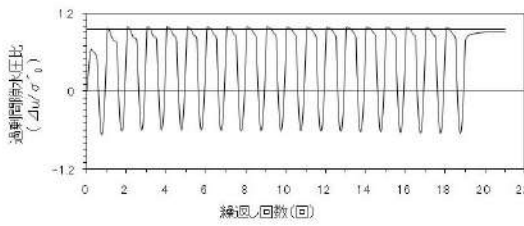
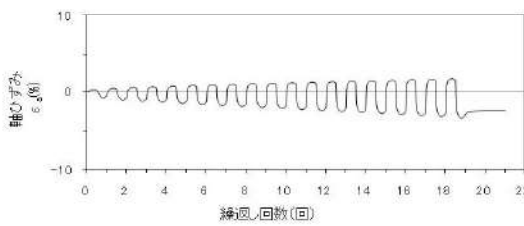
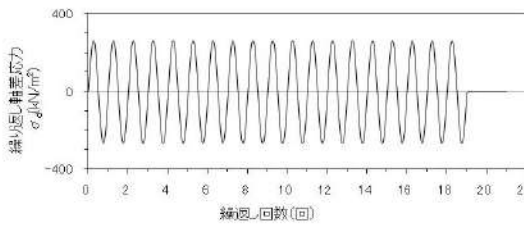
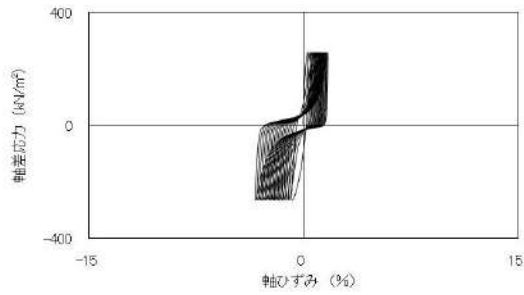
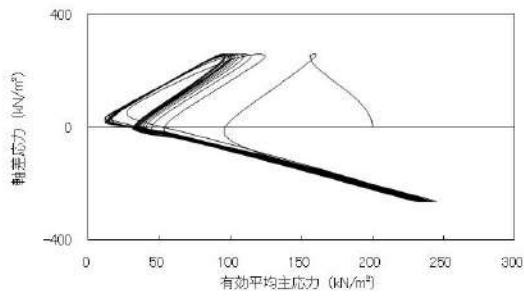
| 試験条件 | | 液状化の判断 |
|---|-------|--------|
| 供試体 | No.8 | |
| 圧密応力 σ'_c (kN/m ²) | 200 | |
| 繰返し応力振幅比 $\sigma_d/2\sigma'_0$ | 0.349 | |
| 試験結果 | | 繰返し軟化 |
| 間隙水圧が上昇・蓄積する。 (過剰間隙水圧比95%を超える。) | ○ | |
| 有効応力がゼロまで低下する。 | × | |
| 液体状となり流動する。 (ひずみが急増する。) | × | |
| 正のダイレイタンス特性によりせん断抵抗が作用する。 (有効応力が回復する。) | ○ | |

添付 1-97 図 液状化強度試験結果
(RE-5(2) 試料(供試体 No. 8))



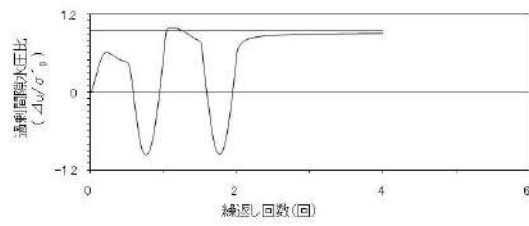
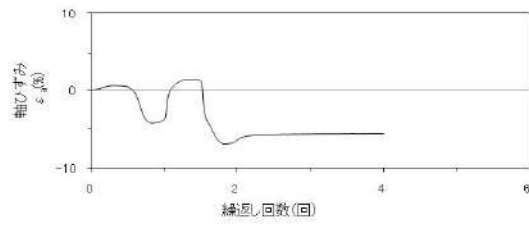
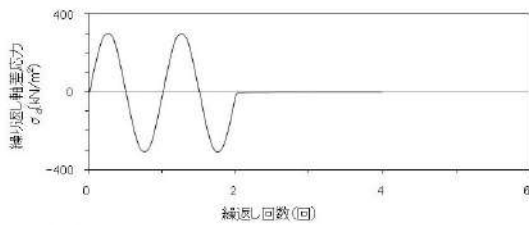
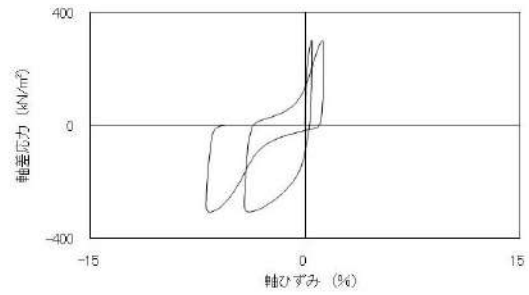
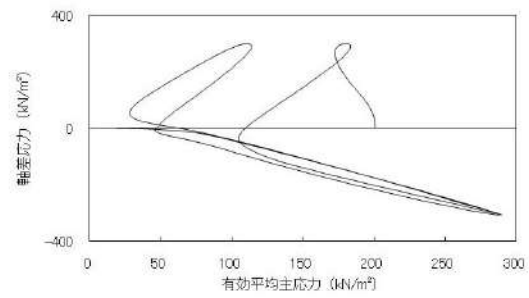
| 試験条件 | | 液状化の判断 |
|---|-------|--------|
| 供試体 | No.9 | |
| 圧密応力 σ'_c (kN/m ²) | 200 | |
| 繰返し応力振幅比 $\sigma_d/2\sigma'_0$ | 0.503 | |
| 試験結果 | | 繰返し軟化 |
| 間隙水圧が上昇・蓄積する。 (過剰間隙水圧比95%を超える。) | ○ | |
| 有効応力がゼロまで低下する。 | × | |
| 液体状となり流動する。 (ひずみが急増する。) | × | |
| 正のダイレイタンス特性によりせん断抵抗が作用する。 (有効応力が回復する。) | ○ | |

添付 1-98 図 液状化強度試験結果
(RE-5(2) 試料(供試体 No. 9))



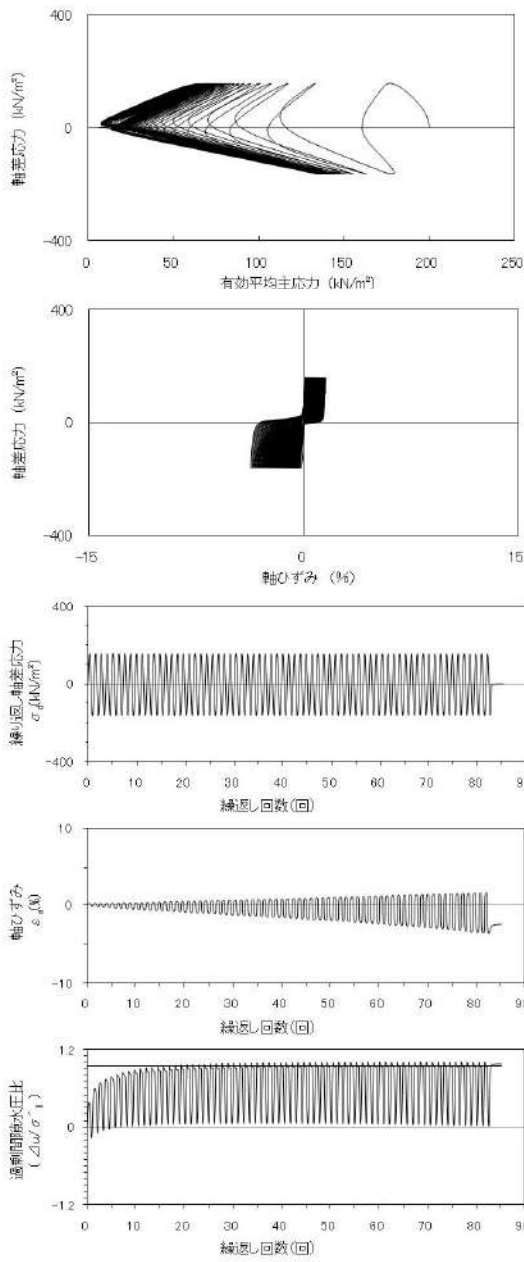
| 試験条件 | | 液状化の判断 |
|---|-------|--------|
| 供試体 | No.18 | |
| 圧密応力 σ'_c (kN/m ²) | 200 | |
| 繰返し応力振幅比 $\sigma_d/2\sigma'_c$ | 0.653 | |
| 試験結果 | | 繰返し軟化 |
| 間隙水圧が上昇・蓄積する。 (過剰間隙水圧比95%を超える。) | ○ | |
| 有効応力がゼロまで低下する。 | × | |
| 液体状となり流動する。 (ひずみが急増する。) | × | |
| 正のダイレイタンス特性によりせん断抵抗が作用する。 (有効応力が回復する。) | ○ | |

添付 1-99 図 液状化強度試験結果
(RE-5(2) 試料(供試体 No. 18))



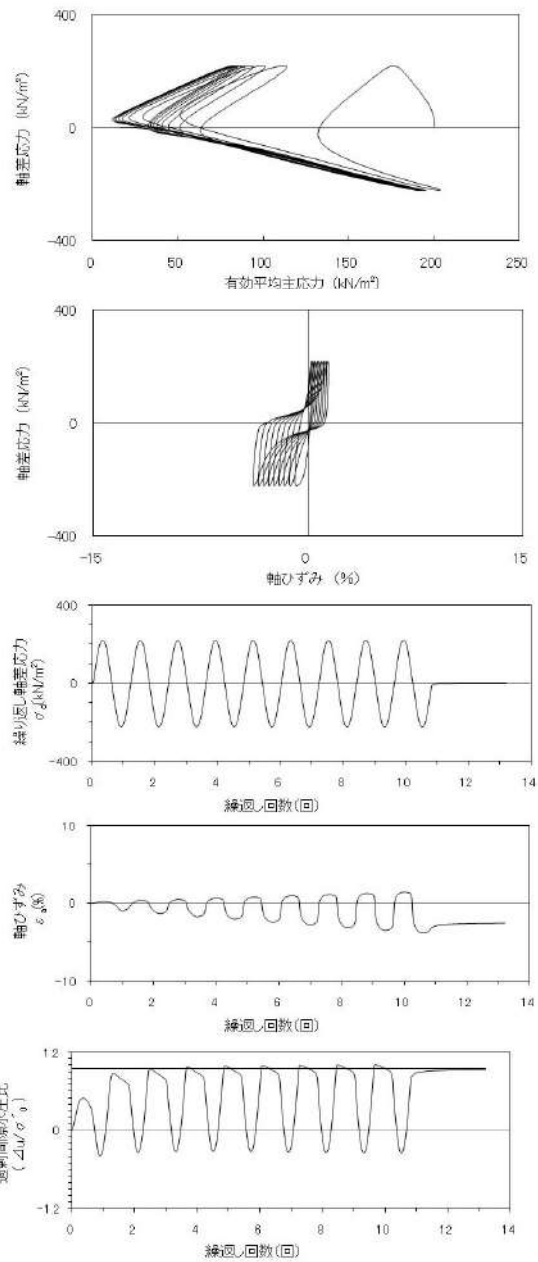
| 試験条件 | | 液状化の判断 |
|---|-------|--------|
| 供試体 | No.20 | |
| 圧密応力 σ'_c (kN/m ²) | 200 | |
| 繰返し応力振幅比 $\sigma_d/2\sigma'_c$ | 0.756 | |
| 試験結果 | | 繰返し軟化 |
| 間隙水圧が上昇・蓄積する。 (過剰間隙水圧比95%を超える。) | ○ | |
| 有効応力がゼロまで低下する。 | × | |
| 液体状となり流動する。 (ひずみが急増する。) | × | |
| 正のダイレイタンス特性によりせん断抵抗が作用する。 (有効応力が回復する。) | ○ | |

添付 1-100 図 液状化強度試験結果
(RE-5(2) 試料(供試体 No. 20))



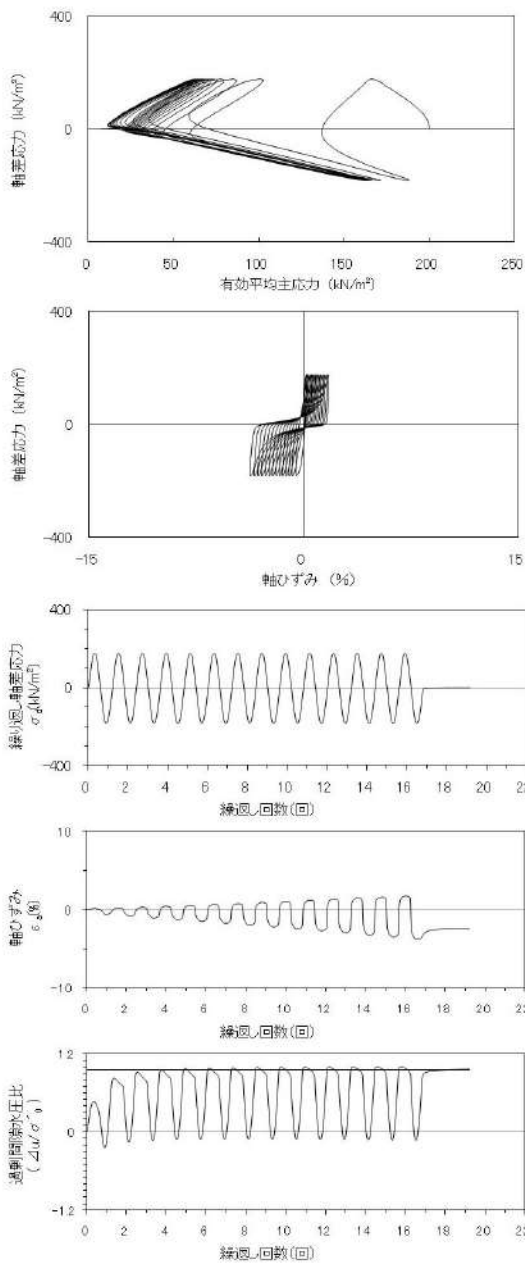
| 試験条件 | | 液状化の判断 |
|--|-------|--------|
| 供試体 | No.10 | |
| 圧密応力 σ'_c (kN/m ²) | 200 | |
| 繰返し応力振幅比 $\sigma_d/2\sigma'_0$ | 0.402 | 繰返し軟化 |
| 試験結果 | | |
| 間隙水圧が上昇・蓄積する。 (過剰間隙水圧比95%を超える。) | ○ | |
| 有効応力がゼロまで低下する。 | × | |
| 液体状となり流動する。 (ひずみが急増する。) | × | 繰返し軟化 |
| 正のダイレイタンスー特性によりせん断抵抗が作用する。 (有効応力が回復する。) | ○ | |

添付 1-101 図 液状化強度試験結果
(RE-5(3) 試料(供試体 No. 10))



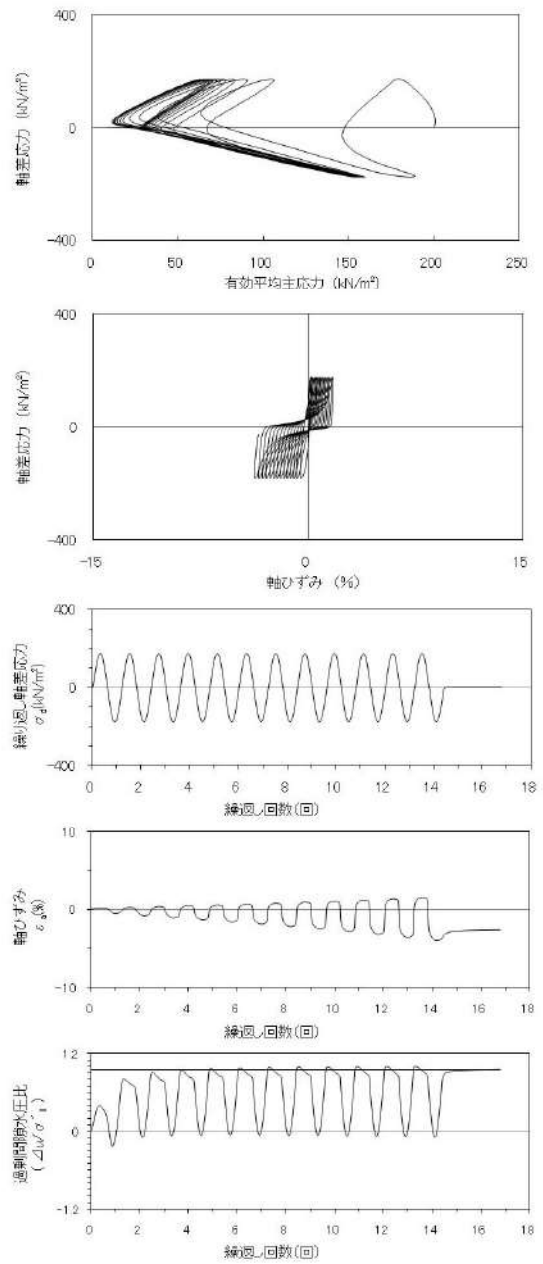
| 試験条件 | | 液状化の判断 |
|--|-------|--------|
| 供試体 | No.13 | |
| 圧密応力 σ'_c (kN/m ²) | 200 | |
| 繰返し応力振幅比 $\sigma_d/2\sigma'_0$ | 0.553 | 繰返し軟化 |
| 試験結果 | | |
| 間隙水圧が上昇・蓄積する。 (過剰間隙水圧比95%を超える。) | ○ | |
| 有効応力がゼロまで低下する。 | × | |
| 液体状となり流動する。 (ひずみが急増する。) | × | 繰返し軟化 |
| 正のダイレイタンスー特性によりせん断抵抗が作用する。 (有効応力が回復する。) | ○ | |

添付 1-102 図 液状化強度試験結果
(RE-5(3) 試料(供試体 No. 13))



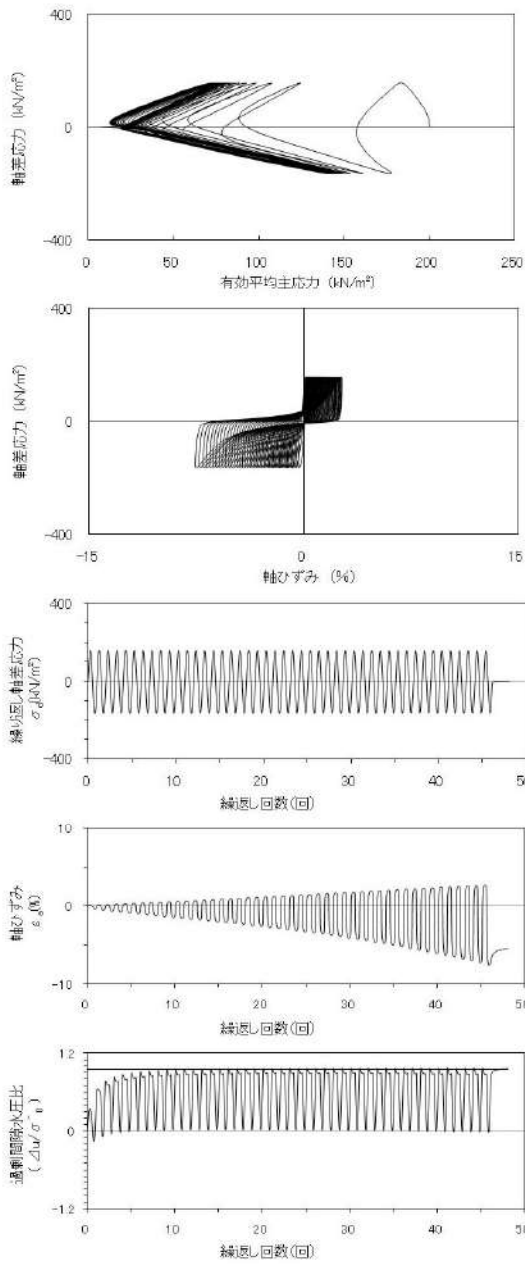
| 試験条件 | | 液状化の判断 |
|---|-------|--------|
| 供試体 | No.16 | 繰返し軟化 |
| 圧密応力 σ'_c (kN/m ²) | 200 | |
| 繰返し応力振幅比 $\sigma_d/2\sigma'_o$ | 0.450 | |
| 間隙水圧が上昇・蓄積する。 (過剰間隙水圧比95%を超える。) | ○ | |
| 有効応力がゼロまで低下する。 液体状となり流動する。 (ひずみが急増する。) | × | |
| 正のダイレイタンス特性により せん断抵抗が作用する。 (有効応力が回復する。) | ○ | |

添付 1-103 図 液状化強度試験結果
(RE-5(3) 試料(供試体 No. 16))



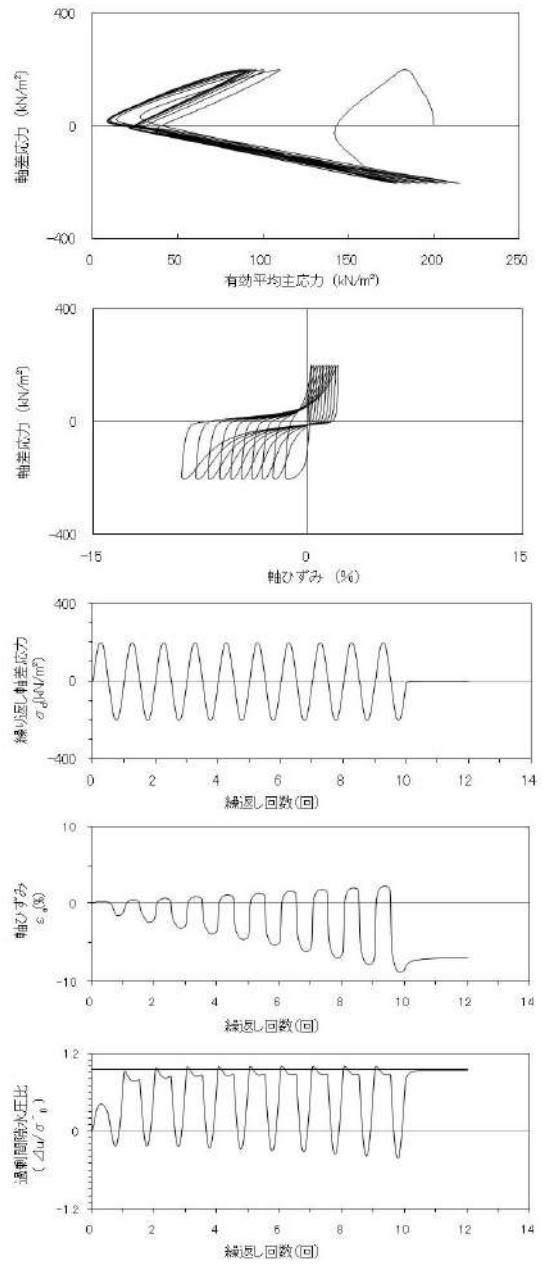
| 試験条件 | | 液状化の判断 |
|---|-------|--------|
| 供試体 | No.17 | 繰返し軟化 |
| 圧密応力 σ'_c (kN/m ²) | 200 | |
| 繰返し応力振幅比 $\sigma_d/2\sigma'_o$ | 0.433 | |
| 間隙水圧が上昇・蓄積する。 (過剰間隙水圧比95%を超える。) | ○ | |
| 有効応力がゼロまで低下する。 液体状となり流動する。 (ひずみが急増する。) | × | |
| 正のダイレイタンス特性により せん断抵抗が作用する。 (有効応力が回復する。) | ○ | |

添付 1-104 図 液状化強度試験結果
(RE-5(3) 試料(供試体 No. 17))



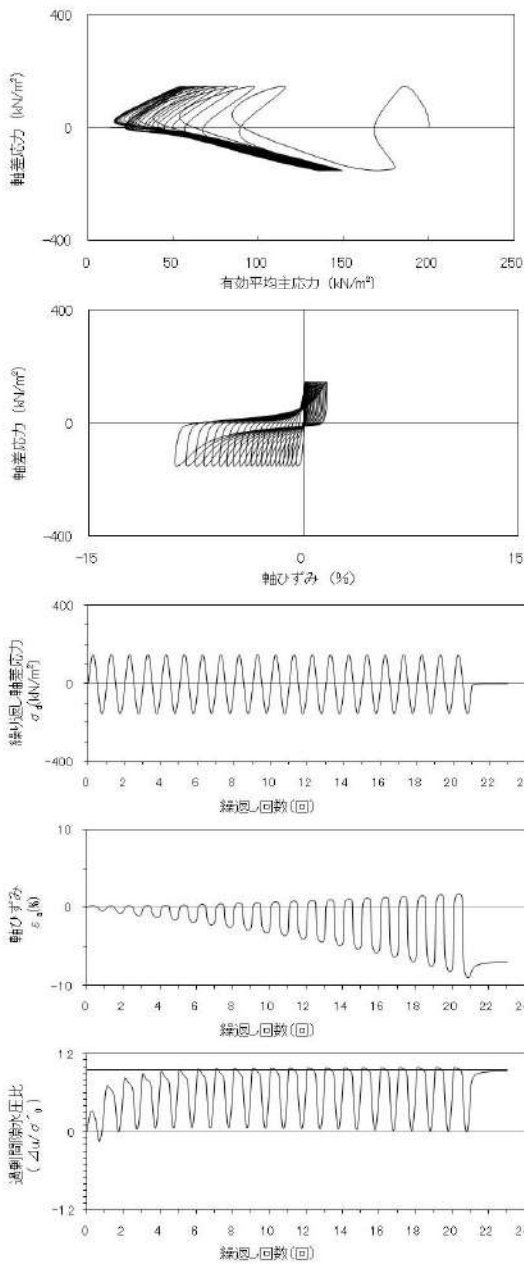
| 試験条件 | | |
|---|-------|--------|
| 供試体 | No.16 | |
| 圧密応力 σ'_c (kN/m ²) | 200 | |
| 繰返し応力振幅比 $\sigma_d/2\sigma'_c$ | 0.404 | |
| 試験結果 | | 液状化の判断 |
| 間隙水圧が上昇・蓄積する。 (過剰間隙水圧比95%を超える。) | ○ | 繰返し軟化 |
| 有効応力がゼロまで低下する。 | × | |
| 液体状となり流動する。 (ひずみが急増する。) | × | |
| 正のダイレイタンス特性によりせん断抵抗が作用する。 (有効応力が回復する。) | ○ | |

添付 1-105 図 液状化強度試験結果
(RE-6 試料(供試体 No. 16))



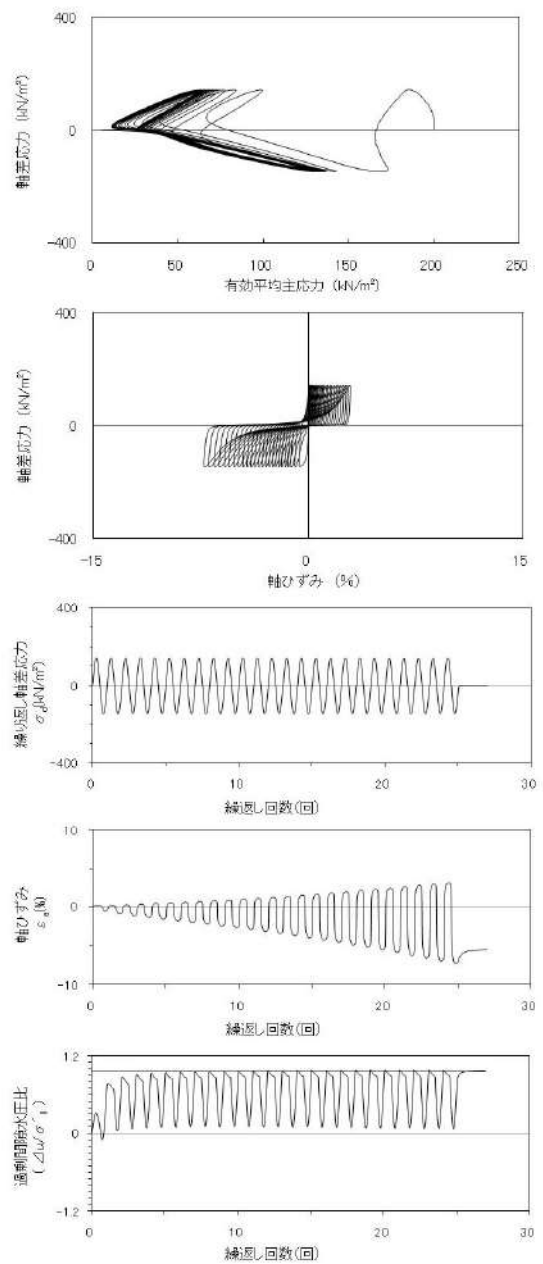
| 試験条件 | | |
|---|-------|--------|
| 供試体 | No.17 | |
| 圧密応力 σ'_c (kN/m ²) | 200 | |
| 繰返し応力振幅比 $\sigma_d/2\sigma'_c$ | 0.503 | |
| 試験結果 | | 液状化の判断 |
| 間隙水圧が上昇・蓄積する。 (過剰間隙水圧比95%を超える。) | ○ | 繰返し軟化 |
| 有効応力がゼロまで低下する。 | × | |
| 液体状となり流動する。 (ひずみが急増する。) | × | |
| 正のダイレイタンス特性によりせん断抵抗が作用する。 (有効応力が回復する。) | ○ | |

添付 1-106 図 液状化強度試験結果
(RE-6 試料(供試体 No. 17))



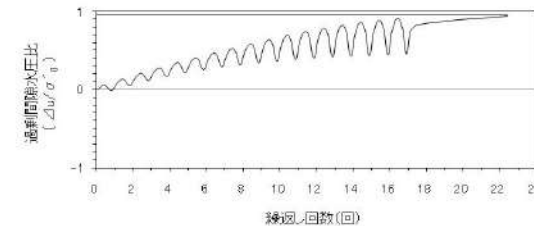
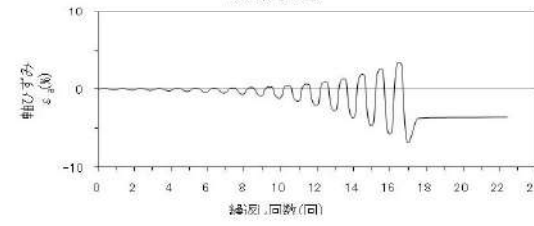
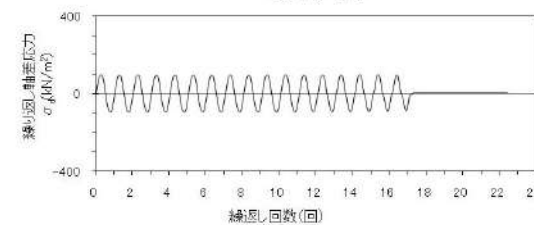
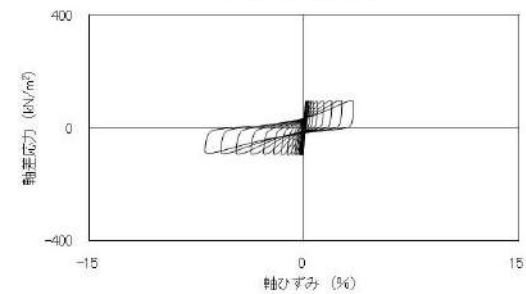
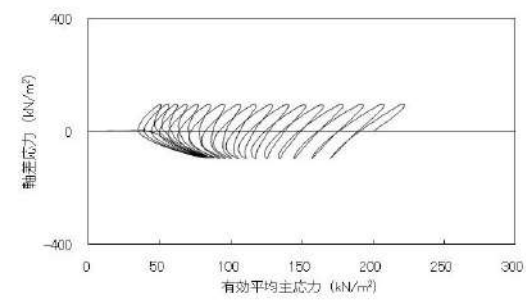
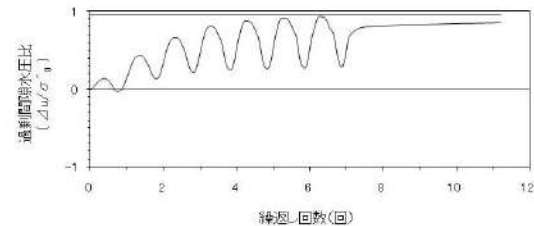
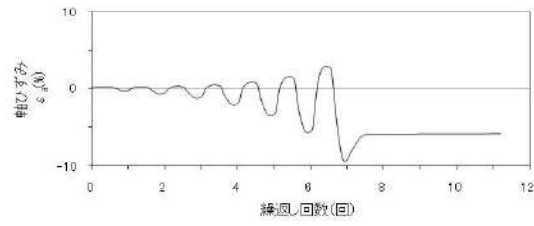
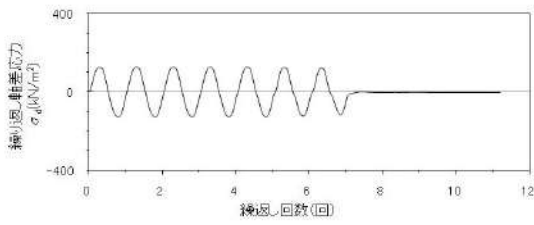
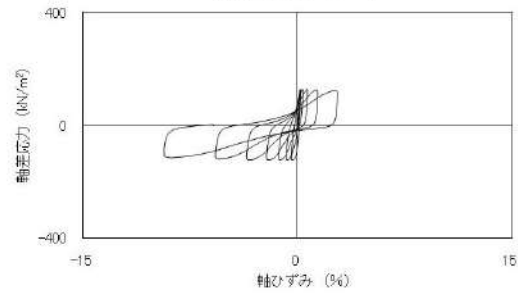
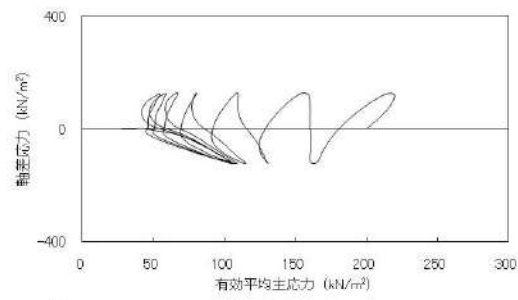
| 試験条件 | | |
|---|-------|--------|
| 供試体 | No.18 | |
| 圧密応力 σ'_c (kN/m ²) | 200 | |
| 繰返し応力振幅比 $\sigma_d/2\sigma'_o$ | 0.374 | |
| 試験結果 | | 液状化の判断 |
| 間隙水圧が上昇・蓄積する。 (過剰間隙水圧比95%を超える。) | ○ | 繰返し軟化 |
| 有効応力がゼロまで低下する。 | × | |
| 液体状となり流動する。 (ひずみが急増する。) | × | |
| 正のダイレイタンス特性によりせん断抵抗が作用する。 (有効応力が回復する。) | ○ | |

添付 1-107 図 液状化強度試験結果
(RE-6 試料(供試体 No. 18))



| 試験条件 | | |
|---|-------|--------|
| 供試体 | No.20 | |
| 圧密応力 σ'_c (kN/m ²) | 200 | |
| 繰返し応力振幅比 $\sigma_d/2\sigma'_o$ | 0.361 | |
| 試験結果 | | 液状化の判断 |
| 間隙水圧が上昇・蓄積する。 (過剰間隙水圧比95%を超える。) | ○ | 繰返し軟化 |
| 有効応力がゼロまで低下する。 | × | |
| 液体状となり流動する。 (ひずみが急増する。) | × | |
| 正のダイレイタンス特性によりせん断抵抗が作用する。 (有効応力が回復する。) | ○ | |

添付 1-108 図 液状化強度試験結果
(RE-6 試料(供試体 No. 20))

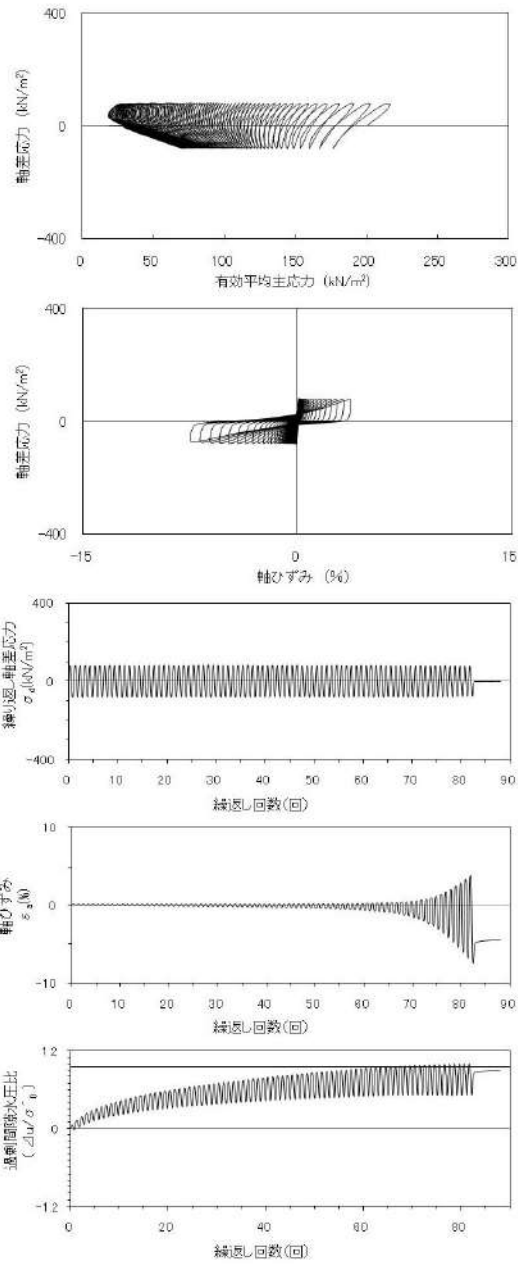


| 試験条件 | | 液状化の判断 | |
|---------------------------------------|--------|--------|------|
| 供試体 | No.1-1 | × | 非液状化 |
| 圧密応力 σ'_c (kN/m ²) | 200 | | |
| 繰返し応力振幅比 $\sigma_d/2\sigma'_0$ | 0.311 | | |
| 試験結果 | | | |
| | | × | 非液状化 |
| | | × | |
| | | × | |
| | | ○ | |

添付 1-109 図 液状化強度試験結果
(SH-1(1) 試料(供試体 No. 1-1))

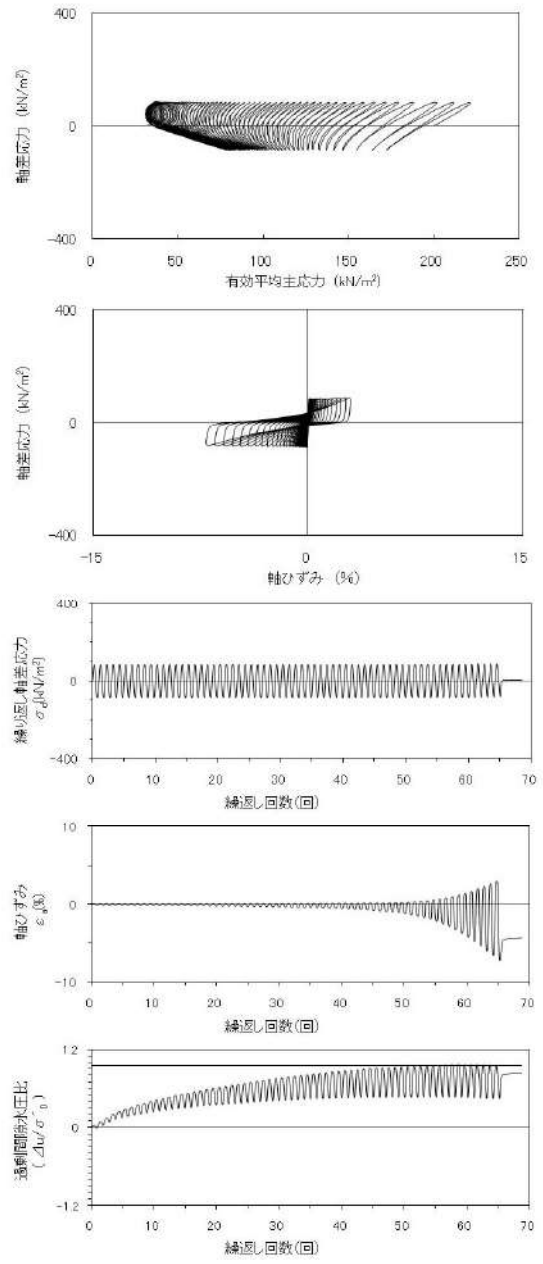
| 試験条件 | | 液状化の判断 | |
|---------------------------------------|--------|--------|------|
| 供試体 | No.1-4 | × | 非液状化 |
| 圧密応力 σ'_c (kN/m ²) | 200 | | |
| 繰返し応力振幅比 $\sigma_d/2\sigma'_0$ | 0.235 | | |
| 試験結果 | | | |
| | | × | 非液状化 |
| | | × | |
| | | × | |
| | | ○ | |

添付 1-110 図 液状化強度試験結果
(SH-1(1) 試料(供試体 No. 1-4))



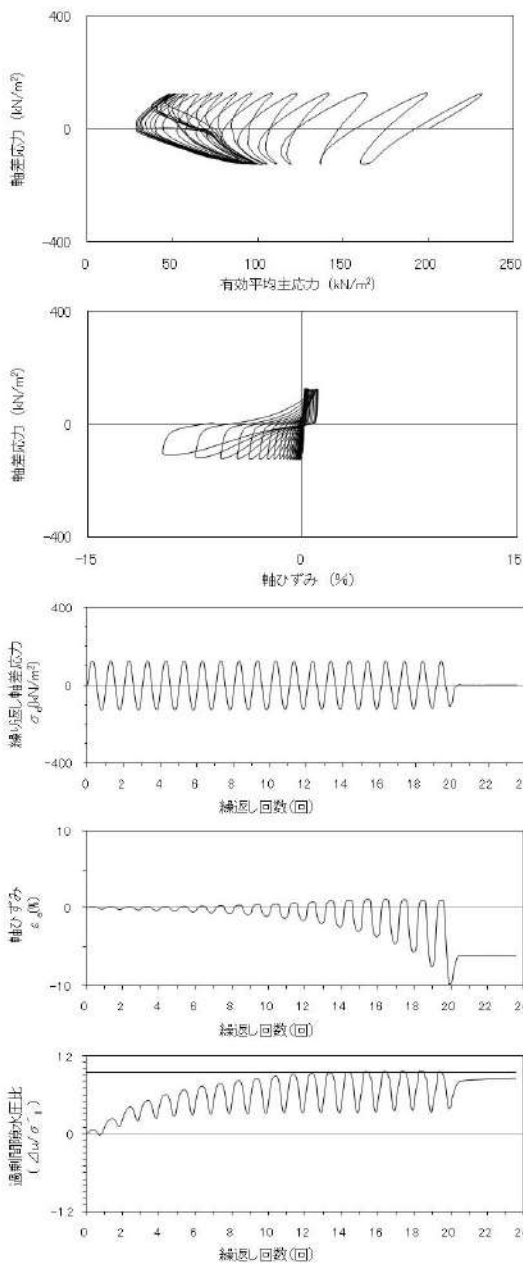
| 試験条件 | | |
|---|--------|--------|
| 供試体 | No.1-5 | |
| 圧密応力 σ'_c (kN/m ²) | 200 | |
| 繰返し応力振幅比 $\sigma_d/2\sigma'_o$ | 0.200 | |
| 試験結果 | | 液状化の判断 |
| 間隙水圧が上昇・蓄積する。 (過剰間隙水圧比95%を超える。) | ○ | 繰返し軟化 |
| 有効応力がゼロまで低下する。 | × | |
| 液体状となり流動する。 (ひずみが急増する。) | × | |
| 正のダイレイタンス特性により せん断抵抗が作用する。 (有効応力が回復する。) | ○ | |

添付 1-111 図 液状化強度試験結果
(SH-1(1) 試料(供試体 No. 1-5))



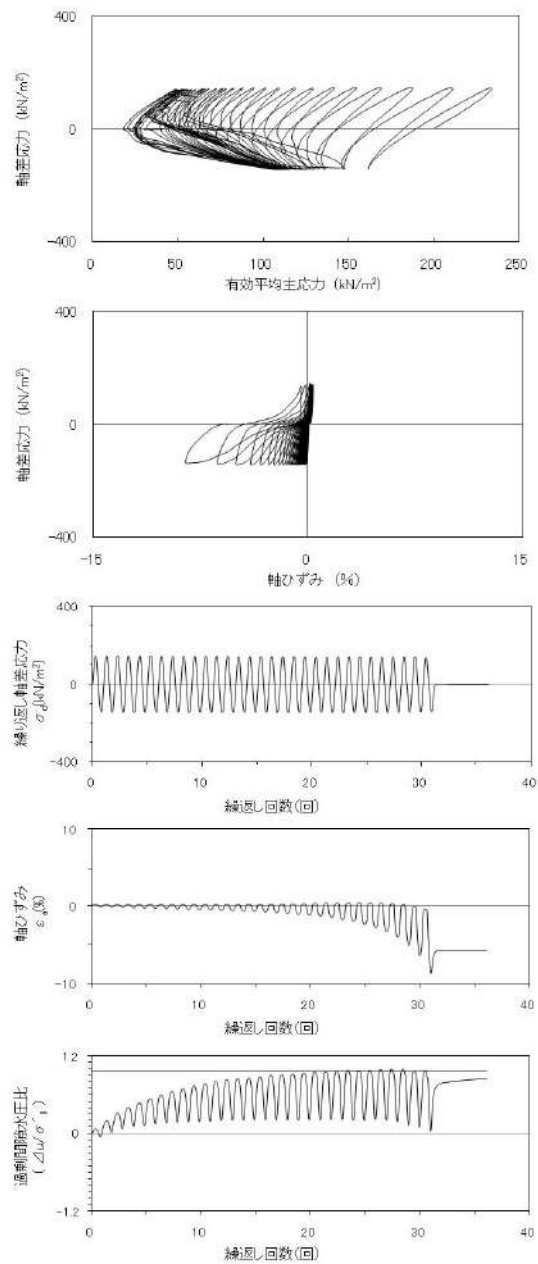
| 試験条件 | | |
|---|--------|--------|
| 供試体 | No.1-6 | |
| 圧密応力 σ'_c (kN/m ²) | 200 | |
| 繰返し応力振幅比 $\sigma_d/2\sigma'_o$ | 0.212 | |
| 試験結果 | | 液状化の判断 |
| 間隙水圧が上昇・蓄積する。 (過剰間隙水圧比95%を超える。) | ○ | 繰返し軟化 |
| 有効応力がゼロまで低下する。 | × | |
| 液体状となり流動する。 (ひずみが急増する。) | × | |
| 正のダイレイタンス特性により せん断抵抗が作用する。 (有効応力が回復する。) | ○ | |

添付 1-112 図 液状化強度試験結果
(SH-1(1) 試料(供試体 No. 1-6))



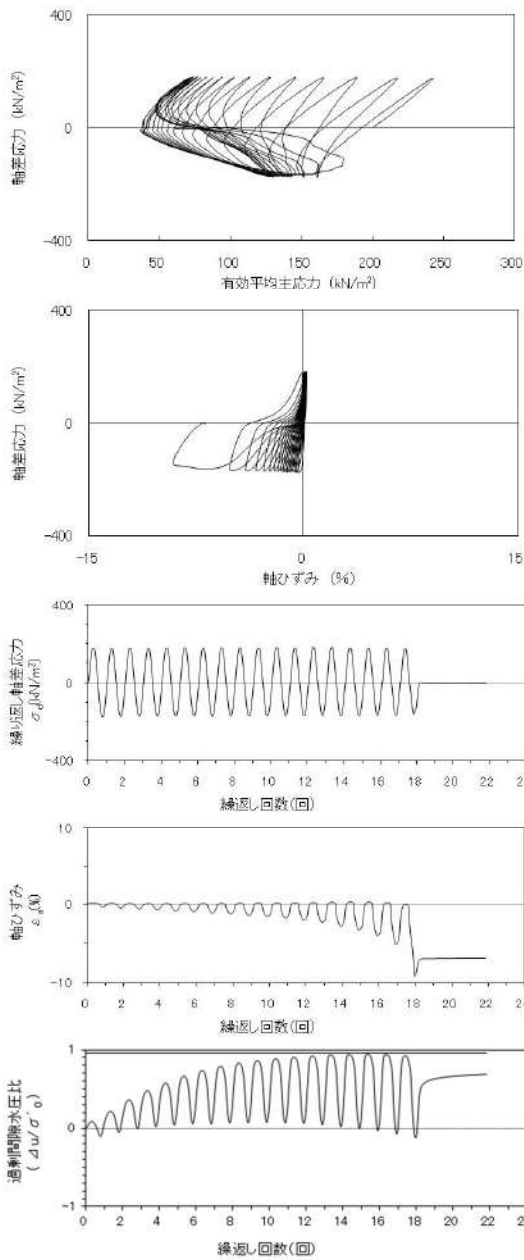
| 試験条件 | | |
|---|--------|--------|
| 供試体 | No.2-2 | |
| 圧密応力 σ'_c (kN/m ²) | 200 | |
| 繰返し応力振幅比 $\sigma_d/2\sigma'_c$ | 0.311 | |
| 試験結果 | | 液状化の判断 |
| 間隙水圧が上昇・蓄積する。 (過剰間隙水圧比95%を超える。) | ○ | 繰返し軟化 |
| 有効応力がゼロまで低下する。 | × | |
| 液体状となり流動する。 (ひずみが急増する。) | × | |
| 正のダイレイタンス特性によりせん断抵抗が作用する。 (有効応力が回復する。) | ○ | |

添付 1-113 図 液状化強度試験結果
(SH-1 (2) 試料 (供試体 No. 2-2))



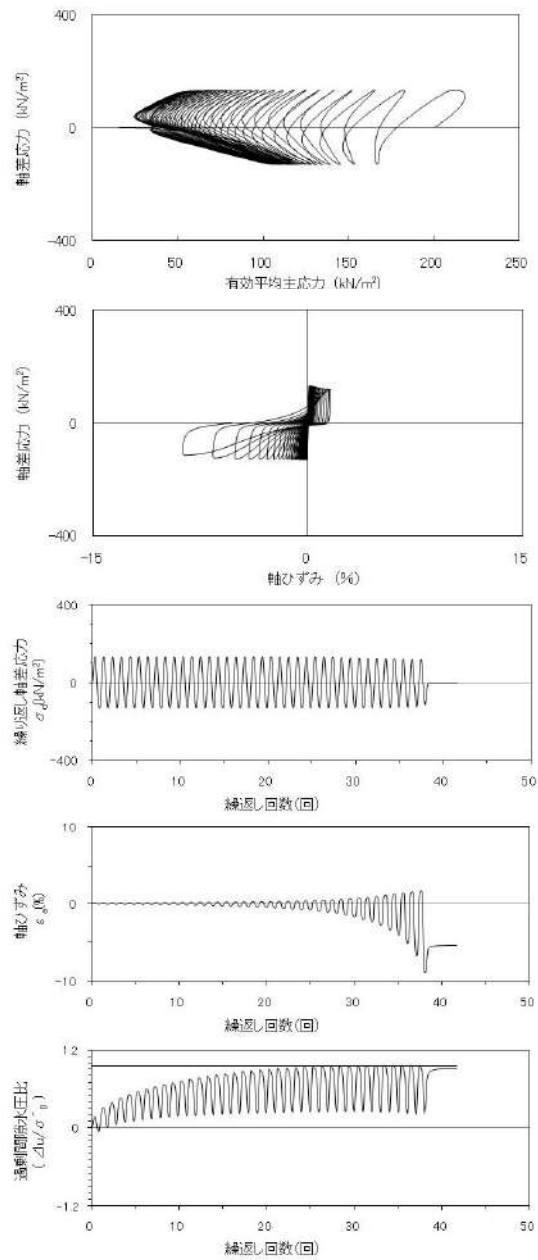
| 試験条件 | | |
|---|--------|--------|
| 供試体 | No.2-3 | |
| 圧密応力 σ'_c (kN/m ²) | 200 | |
| 繰返し応力振幅比 $\sigma_d/2\sigma'_c$ | 0.359 | |
| 試験結果 | | 液状化の判断 |
| 間隙水圧が上昇・蓄積する。 (過剰間隙水圧比95%を超える。) | ○ | 繰返し軟化 |
| 有効応力がゼロまで低下する。 | × | |
| 液体状となり流動する。 (ひずみが急増する。) | × | |
| 正のダイレイタンス特性によりせん断抵抗が作用する。 (有効応力が回復する。) | ○ | |

添付 1-114 図 液状化強度試験結果
(SH-1 (2) 試料 (供試体 No. 2-3))



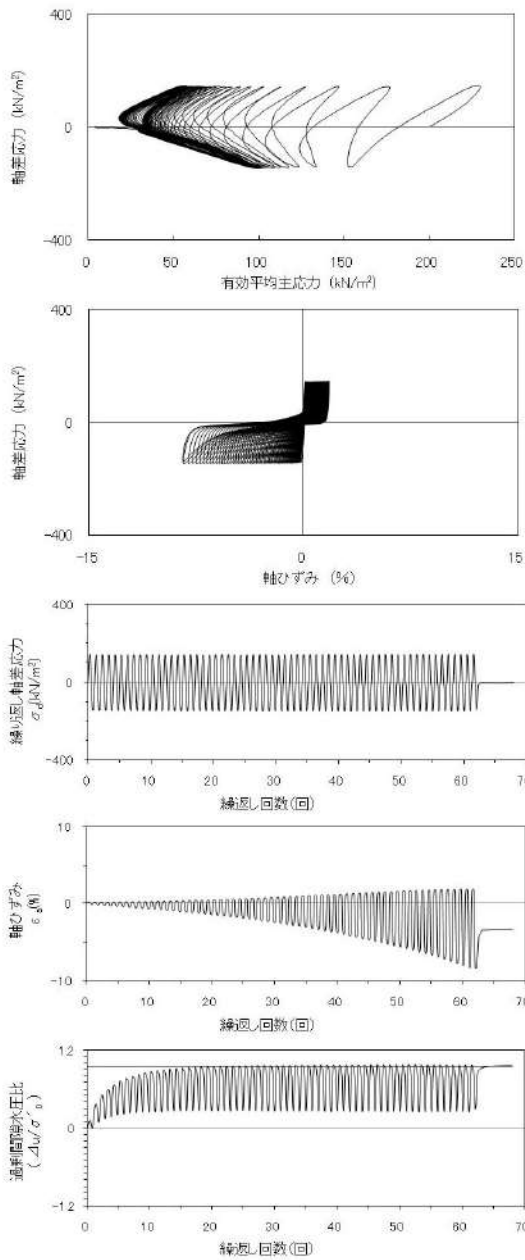
| 試験条件 | | 液状化の判断 |
|---|--------|--------|
| 供試体 | No.2-4 | |
| 圧密応力 σ'_c (kN/m ²) | 200 | |
| 繰返し応力振幅比 $\sigma_d/2\sigma'_0$ | 0.440 | |
| 試験結果 | | 非液状化 |
| 間隙水圧が上昇・蓄積する。 (過剰間隙水圧比95%を超える。) | × | |
| 有効応力がゼロまで低下する。 | × | |
| 液体状となり流動する。 (ひずみが急増する。) | × | |
| 正のダイレイタンス特性によりせん断抵抗が作用する。 (有効応力が回復する。) | ○ | |

添付 1-115 図 液状化強度試験結果
(SH-1 (2) 試料(供試体 No. 2-4))



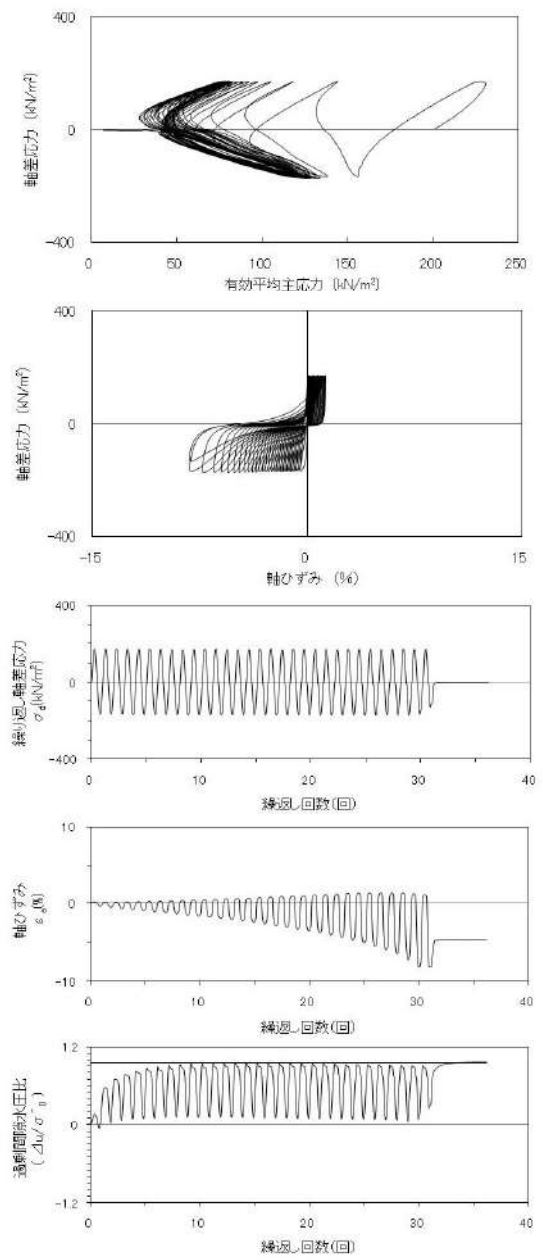
| 試験条件 | | 液状化の判断 |
|---|--------|--------|
| 供試体 | No.2-6 | |
| 圧密応力 σ'_c (kN/m ²) | 200 | |
| 繰返し応力振幅比 $\sigma_d/2\sigma'_0$ | 0.328 | |
| 試験結果 | | 繰返し軟化 |
| 間隙水圧が上昇・蓄積する。 (過剰間隙水圧比95%を超える。) | ○ | |
| 有効応力がゼロまで低下する。 | × | |
| 液体状となり流動する。 (ひずみが急増する。) | × | |
| 正のダイレイタンス特性によりせん断抵抗が作用する。 (有効応力が回復する。) | ○ | |

添付 1-116 図 液状化強度試験結果
(SH-1 (2) 試料(供試体 No. 2-6))



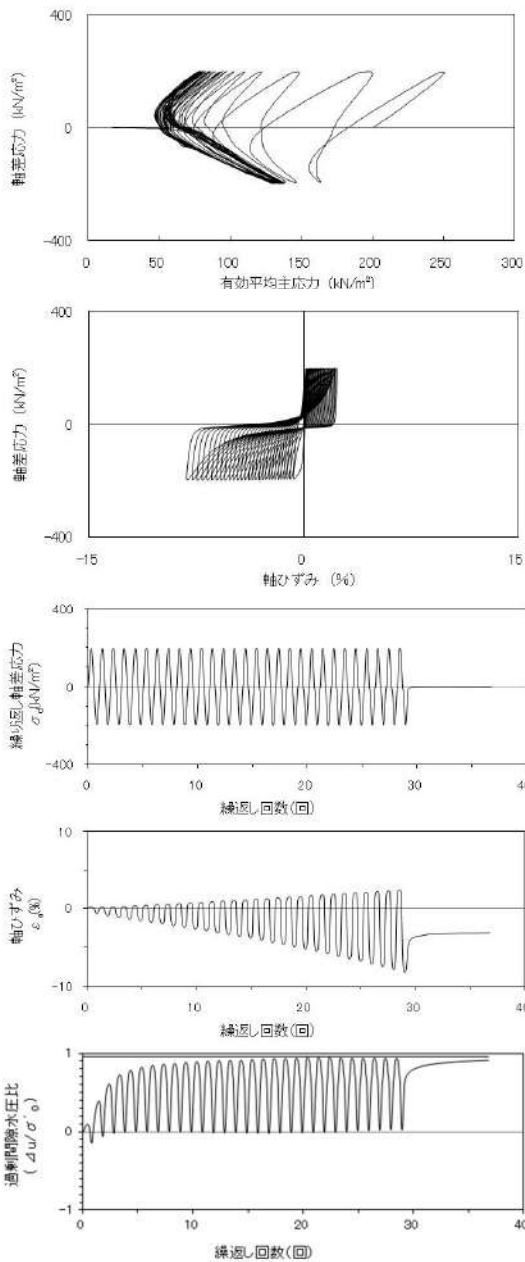
| 試験条件 | | 液状化の判断 |
|---|--------|--------|
| 供試体 | No.3-2 | |
| 圧密応力 σ'_c (kN/m ²) | 200 | |
| 繰返し応力振幅比 $\sigma_d/2\sigma'_0$ | 0.358 | 繰返し軟化 |
| 試験結果 | | |
| 間隙水圧が上昇・蓄積する。 (過剰間隙水圧比95%を超える。) | ○ | |
| 有効応力がゼロまで低下する。 | × | |
| 液体状となり流動する。 (ひずみが急増する。) | × | 繰返し軟化 |
| 正のダイレイタンス特性によりせん断抵抗が作用する。 (有効応力が回復する。) | ○ | |

添付 1-117 図 液状化強度試験結果
(SH-1 (3) 試料(供試体 No. 3-2))



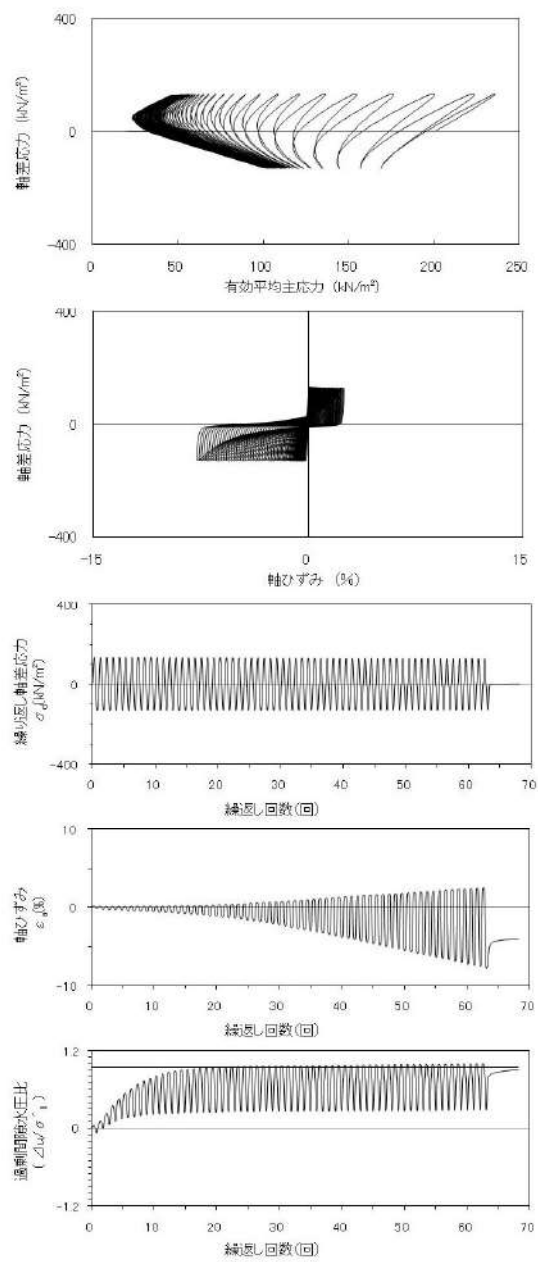
| 試験条件 | | 液状化の判断 |
|---|--------|--------|
| 供試体 | No.3-3 | |
| 圧密応力 σ'_c (kN/m ²) | 200 | |
| 繰返し応力振幅比 $\sigma_d/2\sigma'_0$ | 0.423 | 繰返し軟化 |
| 試験結果 | | |
| 間隙水圧が上昇・蓄積する。 (過剰間隙水圧比95%を超える。) | ○ | |
| 有効応力がゼロまで低下する。 | × | |
| 液体状となり流動する。 (ひずみが急増する。) | × | 繰返し軟化 |
| 正のダイレイタンス特性によりせん断抵抗が作用する。 (有効応力が回復する。) | ○ | |

添付 1-118 図 液状化強度試験結果
(SH-1 (3) 試料(供試体 No. 3-3))



| 試験条件 | | 液状化の判断 | |
|---|--------|--------|-------|
| 供試体 | No.3-4 | × | 非液状化 |
| 圧密応力 σ'_c (kN/m ²) | 200 | | |
| 繰返し応力振幅比 $\sigma_d/2\sigma'_c$ | 0.490 | | |
| 試験結果 | | | |
| 間隙水圧が上昇・蓄積する。 (過剰間隙水圧比95%を超える。) | × | ○ | 繰返し軟化 |
| 有効応力がゼロまで低下する。 | × | | |
| 液体状となり流動する。 (ひずみが急増する。) | × | | |
| 正のダイレイタンス特性により せん断抵抗が作用する。 (有効応力が回復する。) | ○ | | |

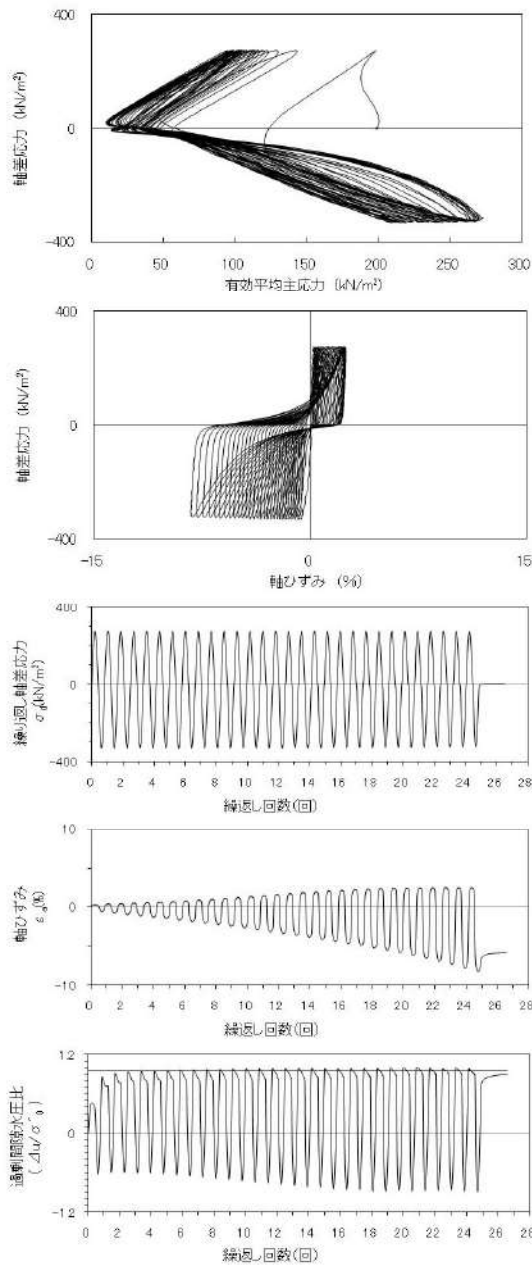
添付 1-119 図 液状化強度試験結果
(SH-1 (3) 試料(供試体 No. 3-4))



| 試験条件 | | 液状化の判断 | |
|---|--------|--------|-------|
| 供試体 | No.3-5 | ○ | 繰返し軟化 |
| 圧密応力 σ'_c (kN/m ²) | 200 | | |
| 繰返し応力振幅比 $\sigma_d/2\sigma'_c$ | 0.328 | | |
| 試験結果 | | | |
| 間隙水圧が上昇・蓄積する。 (過剰間隙水圧比95%を超える。) | ○ | × | 非液状化 |
| 有効応力がゼロまで低下する。 | × | | |
| 液体状となり流動する。 (ひずみが急増する。) | × | | |
| 正のダイレイタンス特性により せん断抵抗が作用する。 (有効応力が回復する。) | ○ | | |

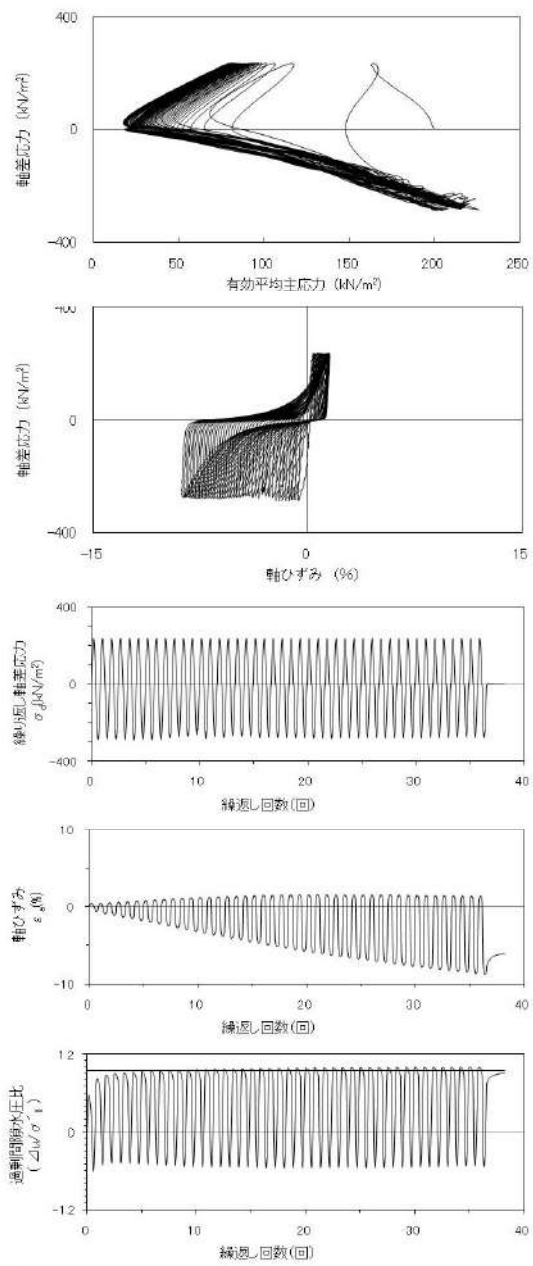
添付 1-120 図 液状化強度試験結果
(SH-1 (3) 試料(供試体 No. 3-5))

2. 液状化強度試験結果
(2) 3号埋戻土の試験データ



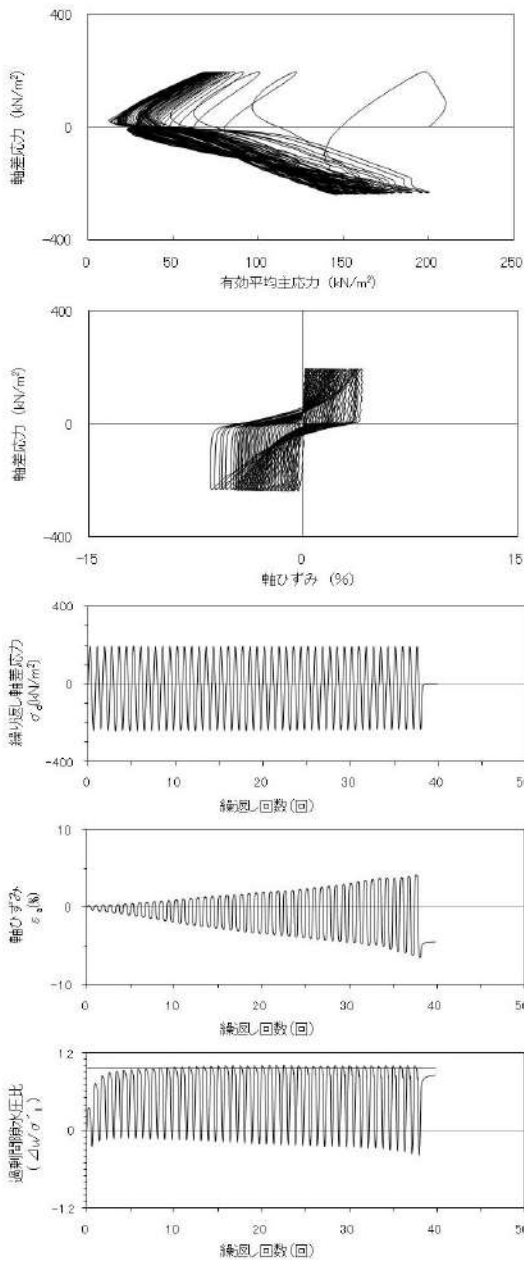
| 試験条件 | | 液状化の判断 |
|---|-------|--------|
| 供試体 | No.12 | |
| 圧密応力 σ'_c (kN/m ²) | 200 | |
| 繰返し応力振幅比 $\sigma_d/2\sigma'_0$ | 0.757 | |
| 試験結果 | | 繰返し軟化 |
| 間隙水圧が上昇・蓄積する。 (過剰間隙水圧比95%を超える。) | ○ | |
| 有効応力がゼロまで低下する。 | × | |
| 液体状となり流動する。 (ひずみが急増する。) | × | |
| 正のダイレイタンス特性により せん断抵抗が作用する。 (有効応力が回復する。) | ○ | |

添付 1-121 図 液状化強度試験結果
(SW2-1 試料(供試体 No. 12))



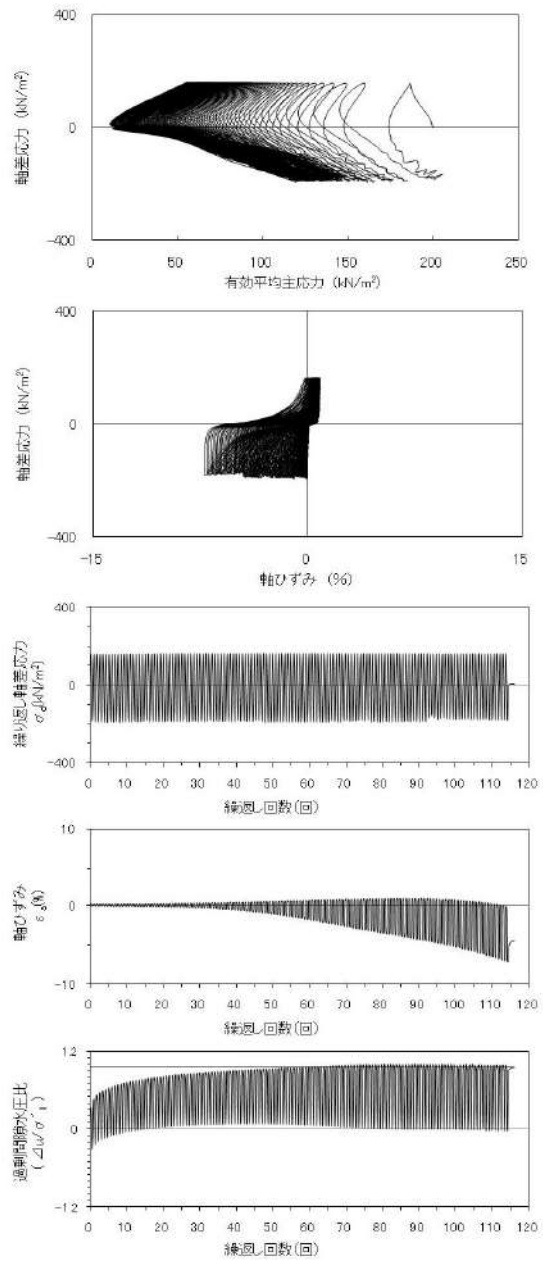
| 試験条件 | | 液状化の判断 |
|---|-------|--------|
| 供試体 | No.13 | |
| 圧密応力 σ'_c (kN/m ²) | 200 | |
| 繰返し応力振幅比 $\sigma_d/2\sigma'_0$ | 0.651 | |
| 試験結果 | | 繰返し軟化 |
| 間隙水圧が上昇・蓄積する。 (過剰間隙水圧比95%を超える。) | ○ | |
| 有効応力がゼロまで低下する。 | × | |
| 液体状となり流動する。 (ひずみが急増する。) | × | |
| 正のダイレイタンス特性により せん断抵抗が作用する。 (有効応力が回復する。) | ○ | |

添付 1-122 図 液状化強度試験結果
(SW2-1 試料(供試体 No. 13))



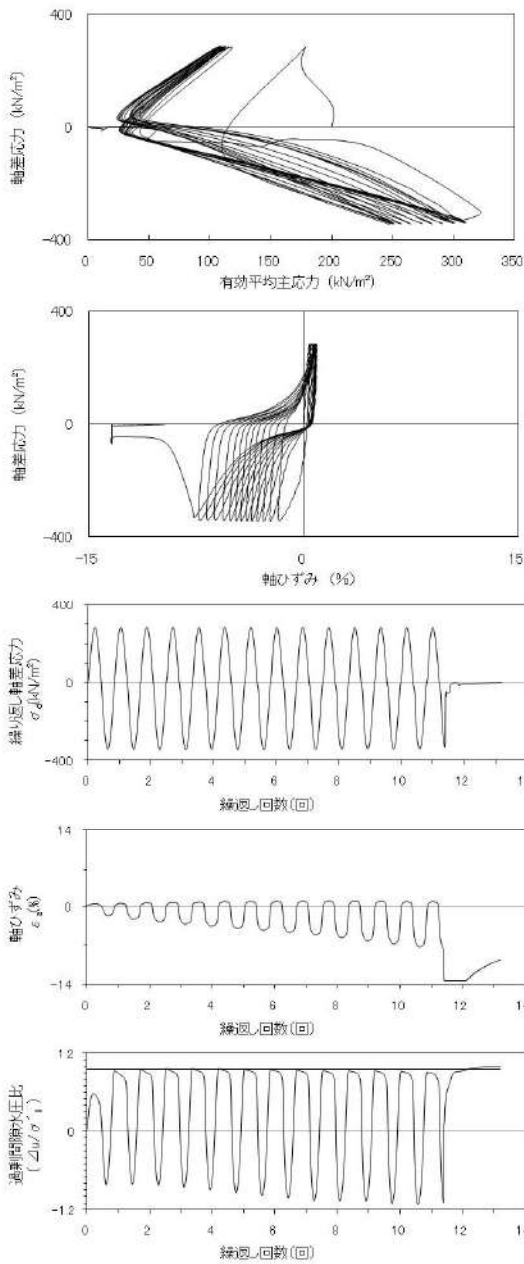
| 試験条件 | | |
|---|-------|--------|
| 供試体 | No.14 | |
| 圧密応力 σ'_c (kN/m ²) | 200 | |
| 繰返し応力振幅比 $\sigma_d/2\sigma'_o$ | 0.542 | |
| 試験結果 | | 液状化の判断 |
| 間隙水圧が上昇・蓄積する。 (過剰間隙水圧比95%を超える。) | ○ | 繰返し軟化 |
| 有効応力がゼロまで低下する。 | × | |
| 液体状となり流動する。 (ひずみが急増する。) | × | |
| 正のダイレイタンス特性により せん断抵抗が作用する。 (有効応力が回復する。) | ○ | |

添付 1-123 図 液状化強度試験結果
(SW2-1 試料(供試体 No. 14))



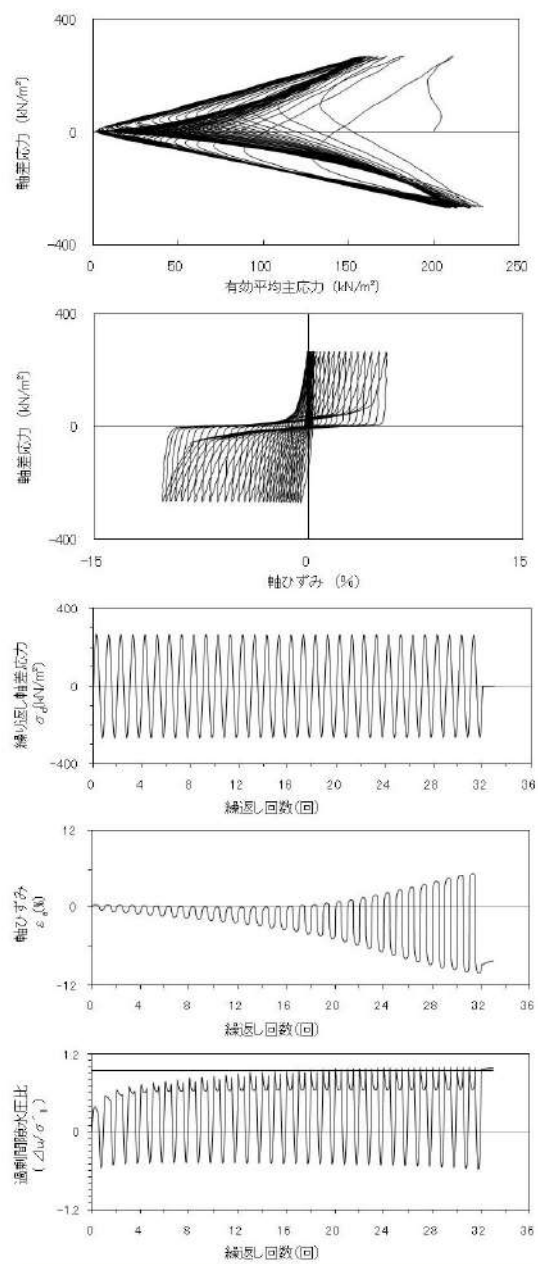
| 試験条件 | | |
|---|-------|--------|
| 供試体 | No.15 | |
| 圧密応力 σ'_c (kN/m ²) | 200 | |
| 繰返し応力振幅比 $\sigma_d/2\sigma'_o$ | 0.435 | |
| 試験結果 | | 液状化の判断 |
| 間隙水圧が上昇・蓄積する。 (過剰間隙水圧比95%を超える。) | ○ | 繰返し軟化 |
| 有効応力がゼロまで低下する。 | × | |
| 液体状となり流動する。 (ひずみが急増する。) | × | |
| 正のダイレイタンス特性により せん断抵抗が作用する。 (有効応力が回復する。) | ○ | |

添付 1-124 図 液状化強度試験結果
(SW2-1 試料(供試体 No. 15))



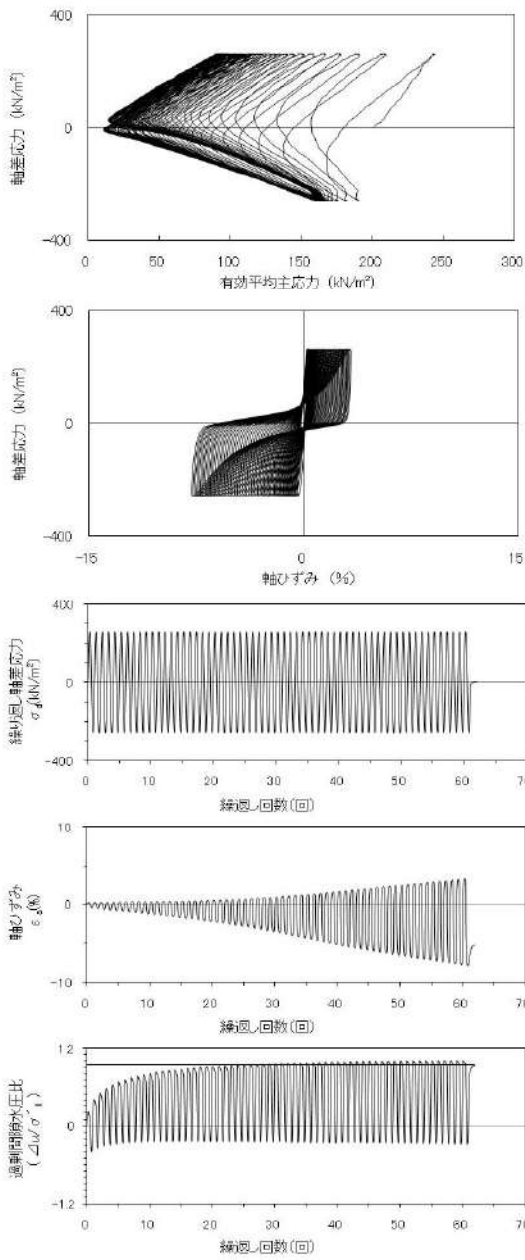
| 試験条件 | | 液状化の判断 |
|---|-------|--------|
| 供試体 | No.11 | |
| 圧密応力 σ'_c (kN/m ²) | 200 | |
| 繰返し応力振幅比 $\sigma_d/2\sigma'_0$ | 0.785 | 繰返し軟化 |
| 試験結果 | | |
| 間隙水圧が上昇・蓄積する。 (過剰間隙水圧比95%を超える。) | ○ | |
| 有効応力がゼロまで低下する。 | × | |
| 液体状となり流動する。 (ひずみが急増する。) | × | |
| 正のダイレイタンス特性によりせん断抵抗が作用する。 (有効応力が回復する。) | ○ | |

添付 1-125 図 液状化強度試験結果
(BF3-1 試料(供試体 No. 11))



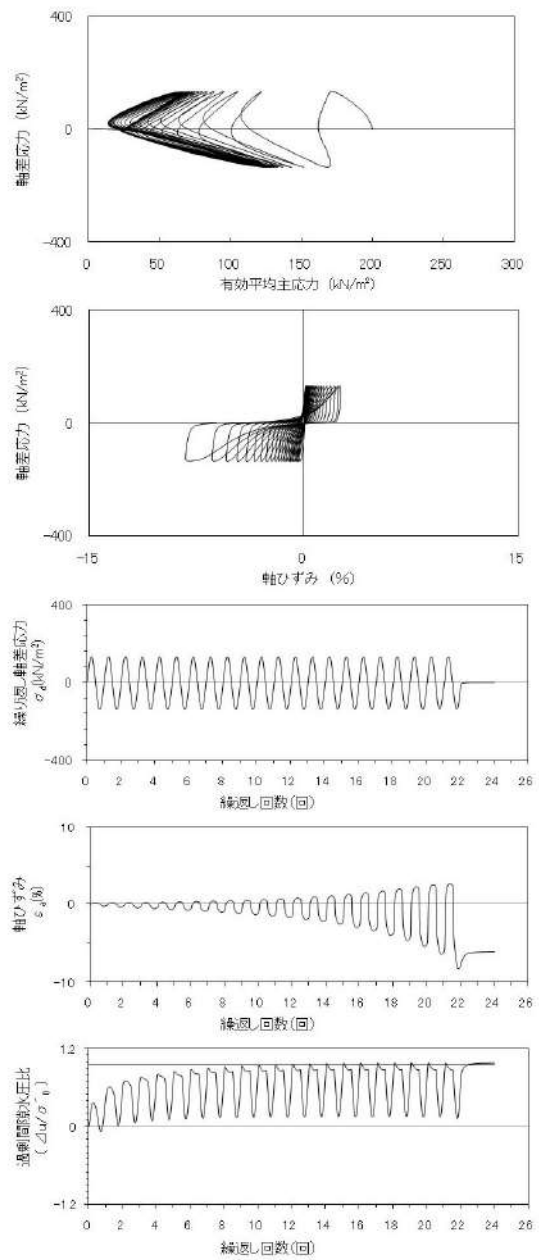
| 試験条件 | | 液状化の判断 |
|---|-------|--------|
| 供試体 | No.21 | |
| 圧密応力 σ'_c (kN/m ²) | 200 | |
| 繰返し応力振幅比 $\sigma_d/2\sigma'_0$ | 0.670 | 繰返し軟化 |
| 試験結果 | | |
| 間隙水圧が上昇・蓄積する。 (過剰間隙水圧比95%を超える。) | ○ | |
| 有効応力がゼロまで低下する。 | × | |
| 液体状となり流動する。 (ひずみが急増する。) | × | |
| 正のダイレイタンス特性によりせん断抵抗が作用する。 (有効応力が回復する。) | ○ | |

添付 1-126 図 液状化強度試験結果
(BF3-2 試料(供試体 No. 21))



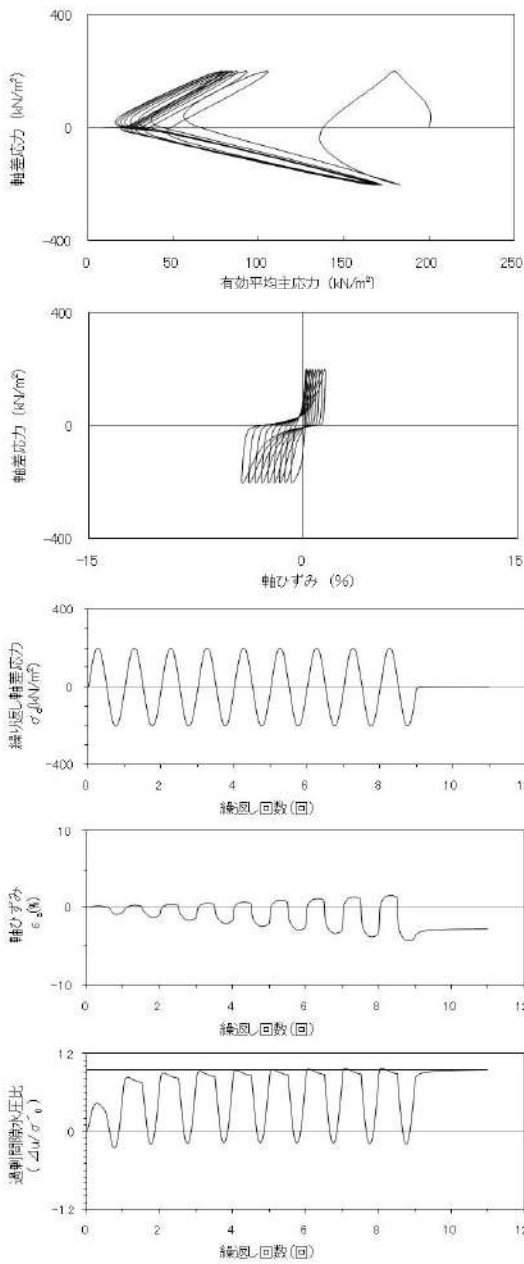
| 試験条件 | | 液状化の判断 |
|---|-------|--------|
| 供試体 | No.22 | |
| 圧密応力 σ'_c (kN/m ²) | 200 | |
| 繰返し応力振幅比 $\sigma_d/2\sigma'_0$ | 0.651 | 繰返し軟化 |
| 試験結果 | | |
| 間隙水圧が上昇・蓄積する。 (過剰間隙水圧比95%を超える。) | ○ | |
| 有効応力がゼロまで低下する。 | × | |
| 液体状となり流動する。 (ひずみが急増する。) | × | 繰返し軟化 |
| 正のダイレイタンス特性によりせん断抵抗が作用する。 (有効応力が回復する。) | ○ | |

添付 1-127 図 液状化強度試験結果
(BF3-2 試料(供試体 No. 22))



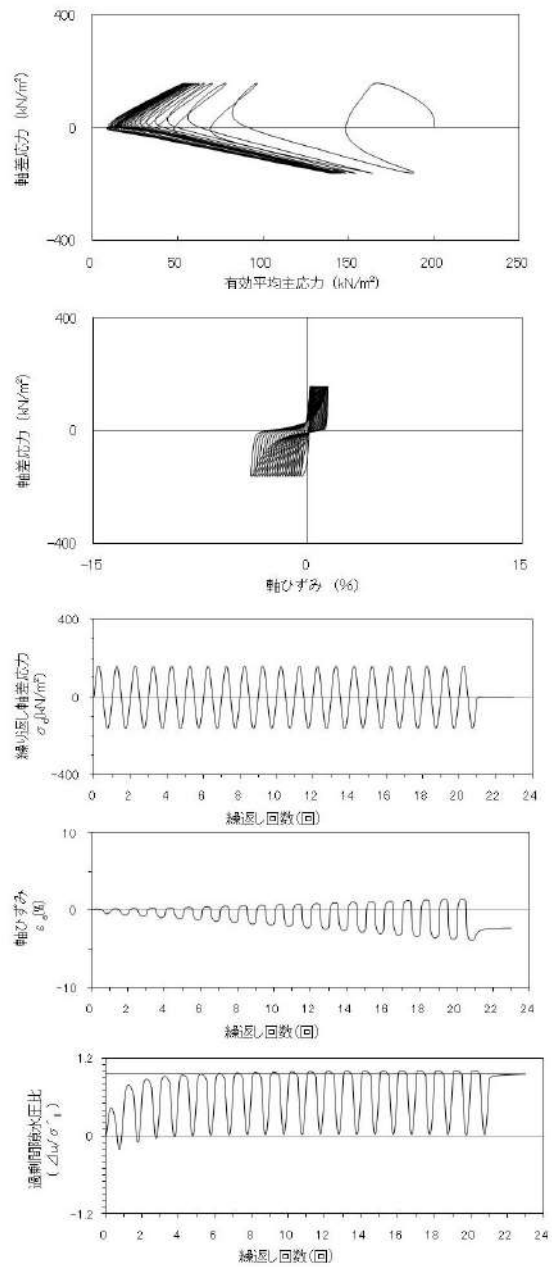
| 試験条件 | | 液状化の判断 |
|---|-------|--------|
| 供試体 | No.21 | |
| 圧密応力 σ'_c (kN/m ²) | 200 | |
| 繰返し応力振幅比 $\sigma_d/2\sigma'_0$ | 0.336 | 繰返し軟化 |
| 試験結果 | | |
| 間隙水圧が上昇・蓄積する。 (過剰間隙水圧比95%を超える。) | ○ | |
| 有効応力がゼロまで低下する。 | × | |
| 液体状となり流動する。 (ひずみが急増する。) | × | 繰返し軟化 |
| 正のダイレイタンス特性によりせん断抵抗が作用する。 (有効応力が回復する。) | ○ | |

添付 1-128 図 液状化強度試験結果
(RE-7 試料(供試体 No. 21))



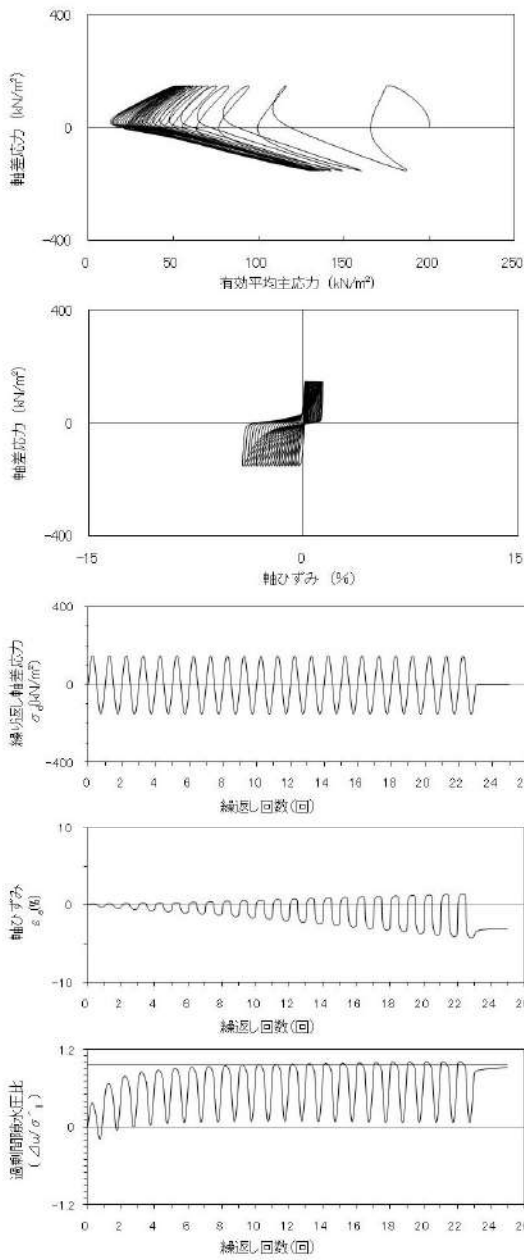
| 試験条件 | | |
|---|--------|--------|
| 供試体 | No.19' | |
| 圧密応力 σ'_c (kN/m ²) | 200 | |
| 繰返し応力振幅比 $\sigma_d/2\sigma'_o$ | 0.500 | |
| 試験結果 | | 液状化の判断 |
| 間隙水圧が上昇・蓄積する。 (過剰間隙水圧比95%を超える。) | ○ | 繰返し軟化 |
| 有効応力がゼロまで低下する。 | × | |
| 液体状となり流動する。 (ひずみが急増する。) | × | |
| 正のダイレイタンス特性によりせん断抵抗が作用する。 (有効応力が回復する。) | ○ | |

添付 1-129 図 液状化強度試験結果
(RE-8 試料(供試体 No. 19'))



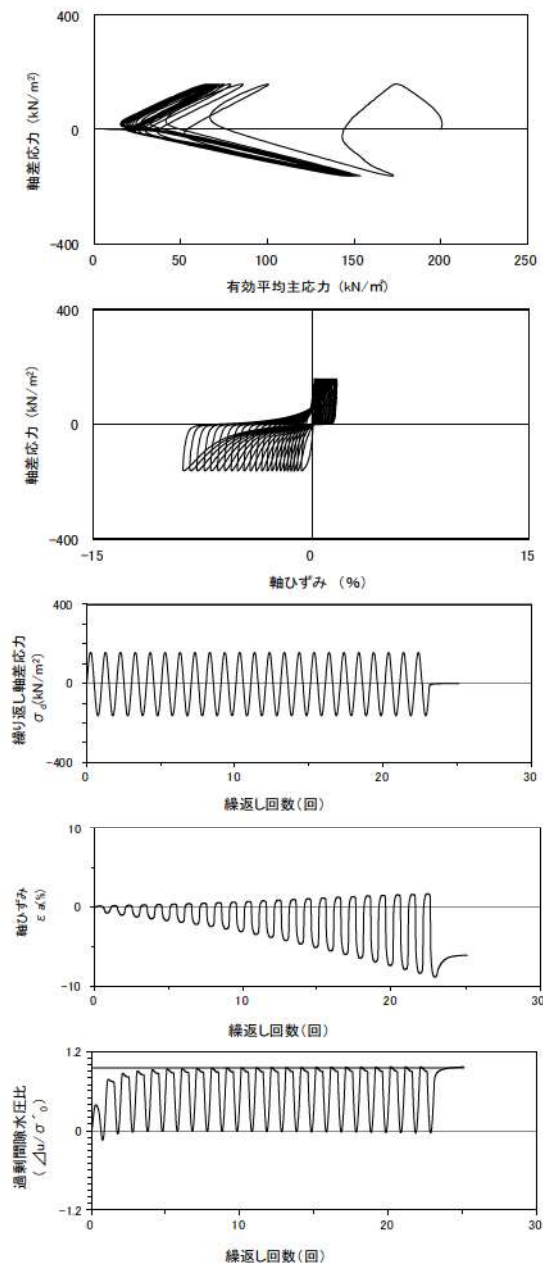
| 試験条件 | | |
|---|---------|--------|
| 供試体 | No. 20' | |
| 圧密応力 σ'_c (kN/m ²) | 200 | |
| 繰返し応力振幅比 $\sigma_d/2\sigma'_o$ | 0.399 | |
| 試験結果 | | 液状化の判断 |
| 間隙水圧が上昇・蓄積する。 (過剰間隙水圧比95%を超える。) | ○ | 繰返し軟化 |
| 有効応力がゼロまで低下する。 | × | |
| 液体状となり流動する。 (ひずみが急増する。) | × | |
| 正のダイレイタンス特性によりせん断抵抗が作用する。 (有効応力が回復する。) | ○ | |

添付 1-130 図 液状化強度試験結果
(RE-8 試料(供試体 No. 20'))



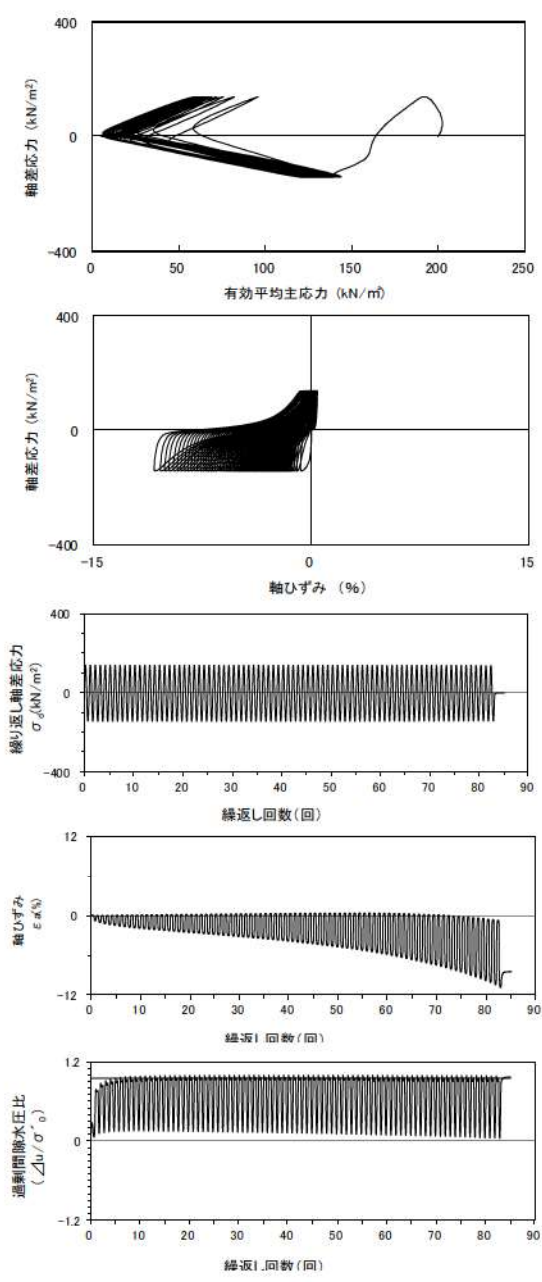
| 試験条件 | | 液状化の判断 |
|--|---------|--------|
| 供試体 | No. 21' | |
| 圧密応力 σ'_c (kN/m ²) | 200 | |
| 繰返し応力振幅比 $\sigma_d/2\sigma'_o$ | 0.376 | 繰返し軟化 |
| 試験結果 | | |
| 間隙水圧が上昇・蓄積する。 (過剰間隙水圧比95%を超える。) | ○ | |
| 有効応力がゼロまで低下する。 | × | |
| 液体状となり流動する。 (ひずみが急増する。) | × | 繰返し軟化 |
| 正のダイレイタンスー特性によりせん断抵抗が作用する。 (有効応力が回復する。) | ○ | |

添付 1-131 図 液状化強度試験結果
(RE-8 試料(供試体 No. 21'))



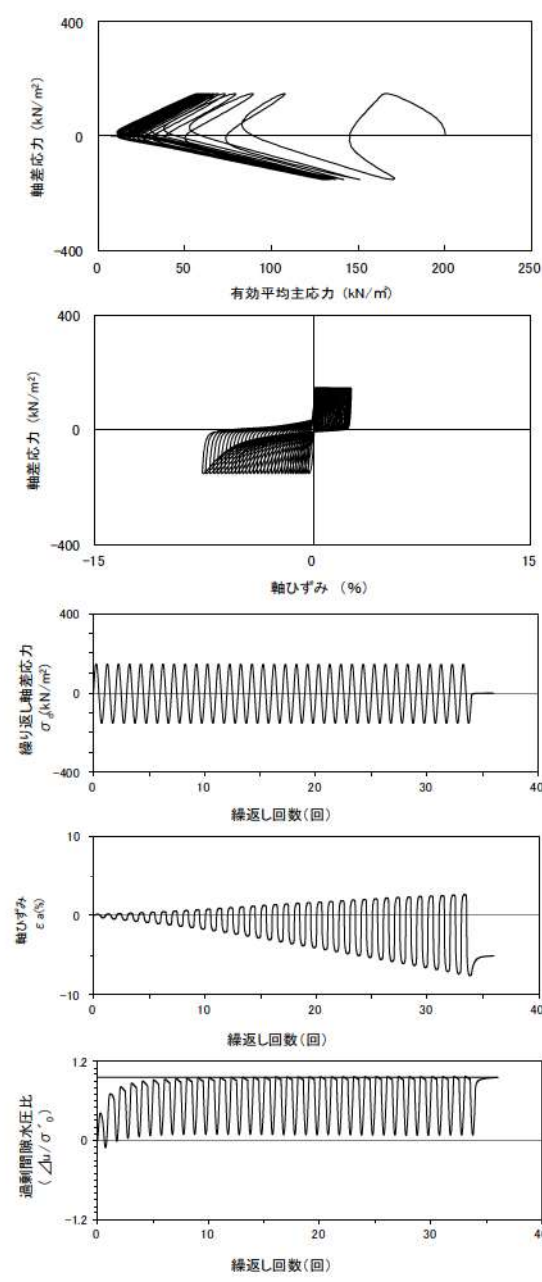
| 試験条件 | | 液状化の判断 |
|--|-------|--------|
| 供試体 | No. 3 | |
| 圧密応力 σ'_c (kN/m ²) | 200 | |
| 繰返し応力振幅比 $\sigma_d/2\sigma'_o$ | 0.401 | 繰返し軟化 |
| 試験結果 | | |
| 間隙水圧が上昇・蓄積する。 (過剰間隙水圧比95%を超える。) | ○ | |
| 有効応力がゼロまで低下する。 | × | |
| 液体状となり流動する。 (ひずみが急増する。) | × | 繰返し軟化 |
| 正のダイレイタンスー特性によりせん断抵抗が作用する。 (有効応力が回復する。) | ○ | |

添付 1-132 図 液状化強度試験結果
(RE-8'' (1) 試料(供試体 No. 3))



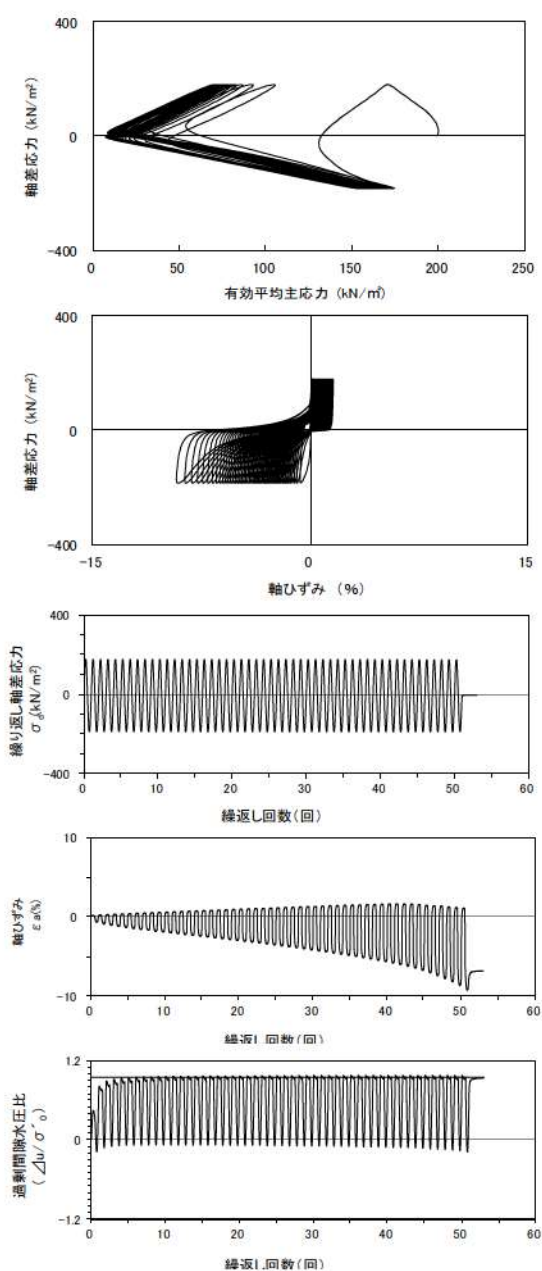
| 試験条件 | | 液状化の判断 | |
|---|-------|--------|--|
| 供試体 | No. 4 | | |
| 圧密応力 σ'_c (kN/m ²) | 200 | | |
| 繰返し応力振幅比 $\sigma_d/2\sigma'_0$ | 0.351 | | |
| 試験結果 | | 液状化の判断 | |
| 間隙水圧が上昇・蓄積する。 (過剰間隙水圧比95%を超える。) | ○ | 繰返し軟化 | |
| 有効応力がゼロまで低下する。 | × | | |
| 液体状となり流動する。 (ひずみが急増する。) | × | | |
| 正のダイレイタンス特性によりせん断抵抗が作用する。 (有効応力が回復する。) | ○ | | |

添付 1-133 図 液状化強度試験結果 (RE-8" (1) 試料(供試体 No. 4))



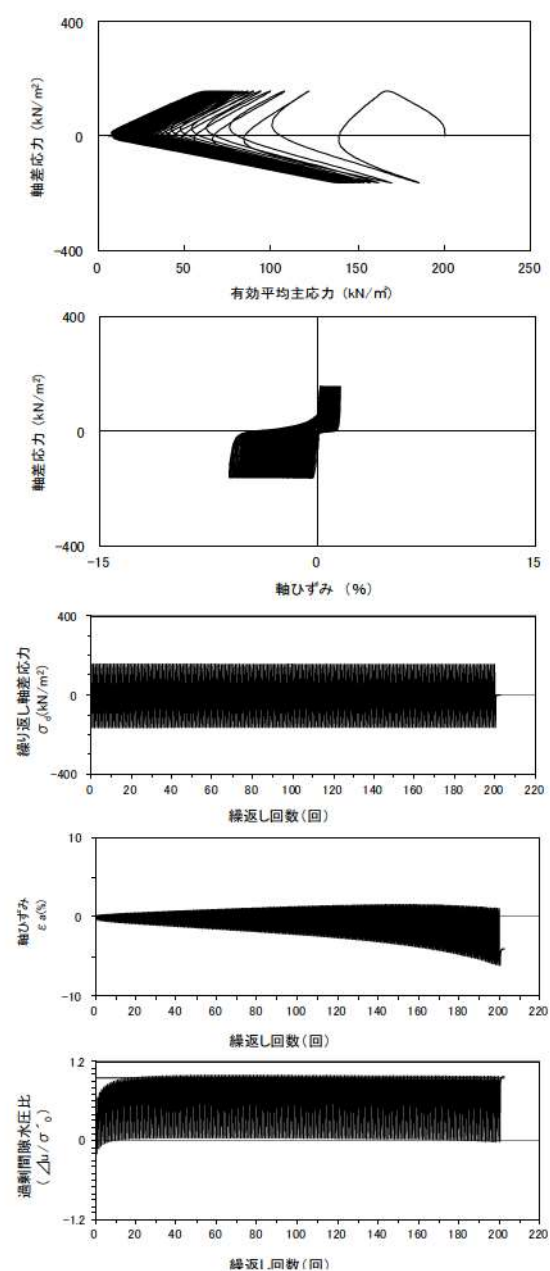
| 試験条件 | | 液状化の判断 | |
|---|--------|--------|--|
| 供試体 | No. 1' | | |
| 圧密応力 σ'_c (kN/m ²) | 200 | | |
| 繰返し応力振幅比 $\sigma_d/2\sigma'_0$ | 0.374 | | |
| 試験結果 | | 液状化の判断 | |
| 間隙水圧が上昇・蓄積する。 (過剰間隙水圧比95%を超える。) | ○ | 繰返し軟化 | |
| 有効応力がゼロまで低下する。 | × | | |
| 液体状となり流動する。 (ひずみが急増する。) | × | | |
| 正のダイレイタンス特性によりせん断抵抗が作用する。 (有効応力が回復する。) | ○ | | |

添付 1-134 図 液状化強度試験結果 (RE-8" (1) 試料(供試体 No. 1'))



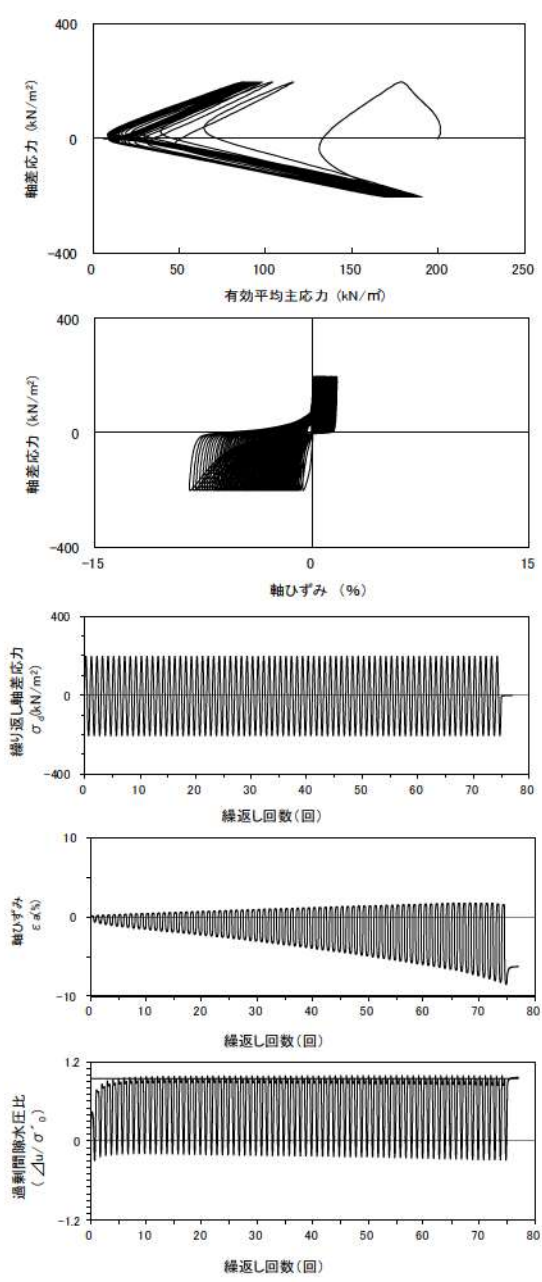
| 試験条件 | | 液状化の判断 |
|---|--------|--------|
| 供試体 | No. 3' | 繰返し軟化 |
| 圧密応力 σ'_c (kN/m ²) | 200 | |
| 繰返し応力振幅比 $\sigma_d/2\sigma'_o$ | 0.454 | |
| 間隙水圧が上昇・蓄積する。 (過剰間隙水圧比95%を超える。) | ○ | |
| 有効応力がゼロまで低下する。 | × | |
| 液体状となり流動する。 (ひずみが急増する。) | × | 繰返し軟化 |
| 正のダイレイタンス特性によりせん断抵抗が作用する。 (有効応力が回復する。) | ○ | |

添付 1-135 図 液状化強度試験結果 (RE-8" (1) 試料(供試体 No. 3'))



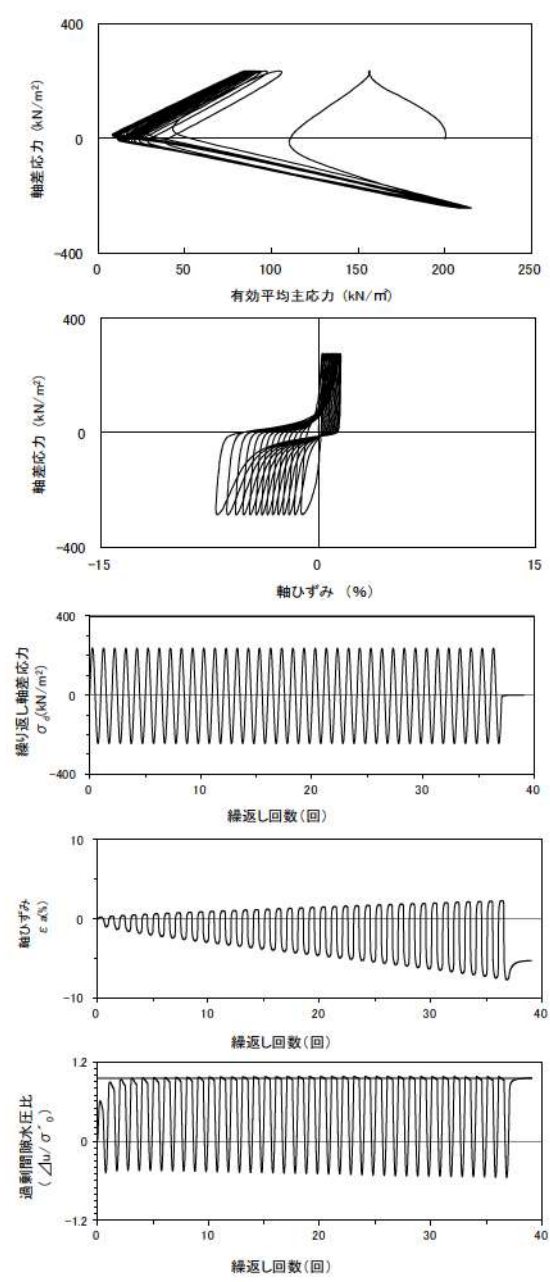
| 試験条件 | | 液状化の判断 |
|---|-------|--------|
| 供試体 | No. 5 | 繰返し軟化 |
| 圧密応力 σ'_c (kN/m ²) | 200 | |
| 繰返し応力振幅比 $\sigma_d/2\sigma'_o$ | 0.400 | |
| 間隙水圧が上昇・蓄積する。 (過剰間隙水圧比95%を超える。) | ○ | |
| 有効応力がゼロまで低下する。 | × | |
| 液体状となり流動する。 (ひずみが急増する。) | × | 繰返し軟化 |
| 正のダイレイタンス特性によりせん断抵抗が作用する。 (有効応力が回復する。) | ○ | |

添付 1-136 図 液状化強度試験結果 (RE-8" (2) 試料(供試体 No. 5))



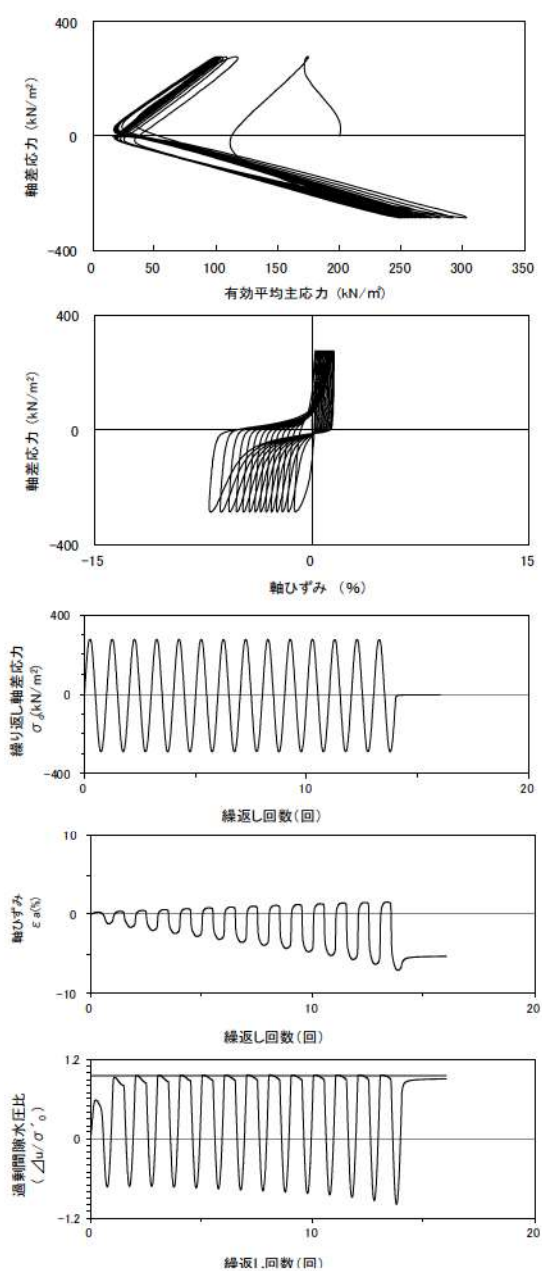
| 試験条件 | | |
|---|-------|--------|
| 供試体 | No. 6 | |
| 圧密応力 σ'_c (kN/m ²) | 200 | |
| 繰返し応力振幅比 $\sigma_d/2\sigma'_0$ | 0.502 | |
| 試験結果 | | 液状化の判断 |
| 間隙水圧が上昇・蓄積する。 (過剰間隙水圧比95%を超える。) | ○ | 繰返し軟化 |
| 有効応力がゼロまで低下する。 | × | |
| 液体状となり流動する。 (ひずみが急増する。) | × | |
| 正のダイレイタンス特性によりせん断抵抗が作用する。 (有効応力が回復する。) | ○ | |

添付 1-137 図 液状化強度試験結果 (RE-8” (2) 試料(供試体 No. 6))



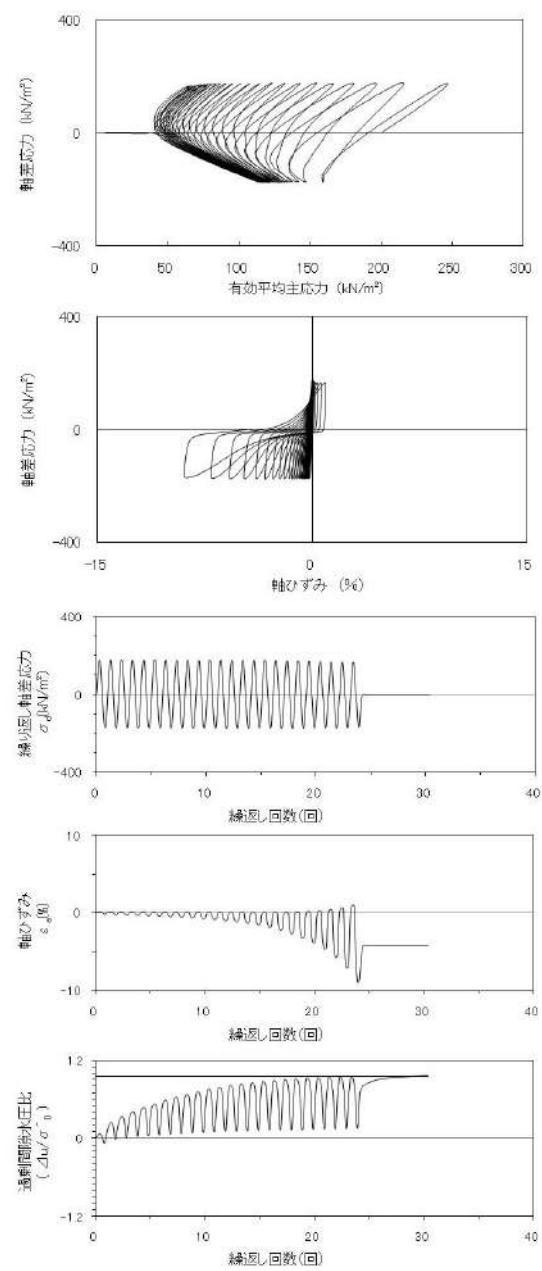
| 試験条件 | | |
|---|--------|--------|
| 供試体 | No. 4' | |
| 圧密応力 σ'_c (kN/m ²) | 200 | |
| 繰返し応力振幅比 $\sigma_d/2\sigma'_0$ | 0.602 | |
| 試験結果 | | 液状化の判断 |
| 間隙水圧が上昇・蓄積する。 (過剰間隙水圧比95%を超える。) | ○ | 繰返し軟化 |
| 有効応力がゼロまで低下する。 | × | |
| 液体状となり流動する。 (ひずみが急増する。) | × | |
| 正のダイレイタンス特性によりせん断抵抗が作用する。 (有効応力が回復する。) | ○ | |

添付 1-138 図 液状化強度試験結果 (RE-8” (2) 試料(供試体 No. 4'))



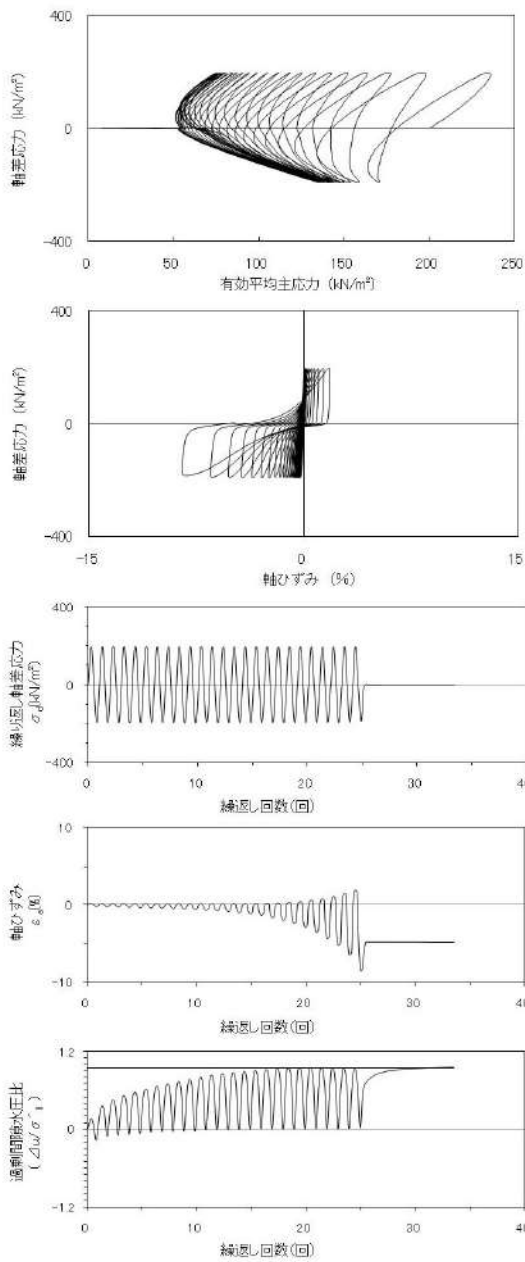
| 試験条件 | | |
|---|--------|--------|
| 供試体 | No. 5' | |
| 圧密応力 σ'_c (kN/m ²) | 200 | |
| 繰返し応力振幅比 $\sigma_d/2\sigma'_0$ | 0.706 | |
| 試験結果 | | 液状化の判断 |
| 間隙水圧が上昇・蓄積する。 (過剰間隙水圧比95%を超える。) | ○ | 繰返し軟化 |
| 有効応力がゼロまで低下する。 | × | |
| 液体状となり流動する。 (ひずみが急増する。) | × | |
| 正のダイレイタンス特性によりせん断抵抗が作用する。 (有効応力が回復する。) | ○ | |

添付 1-139 図 液状化強度試験結果
(RE-8'' (2) 試料(供試体 No. 5'))



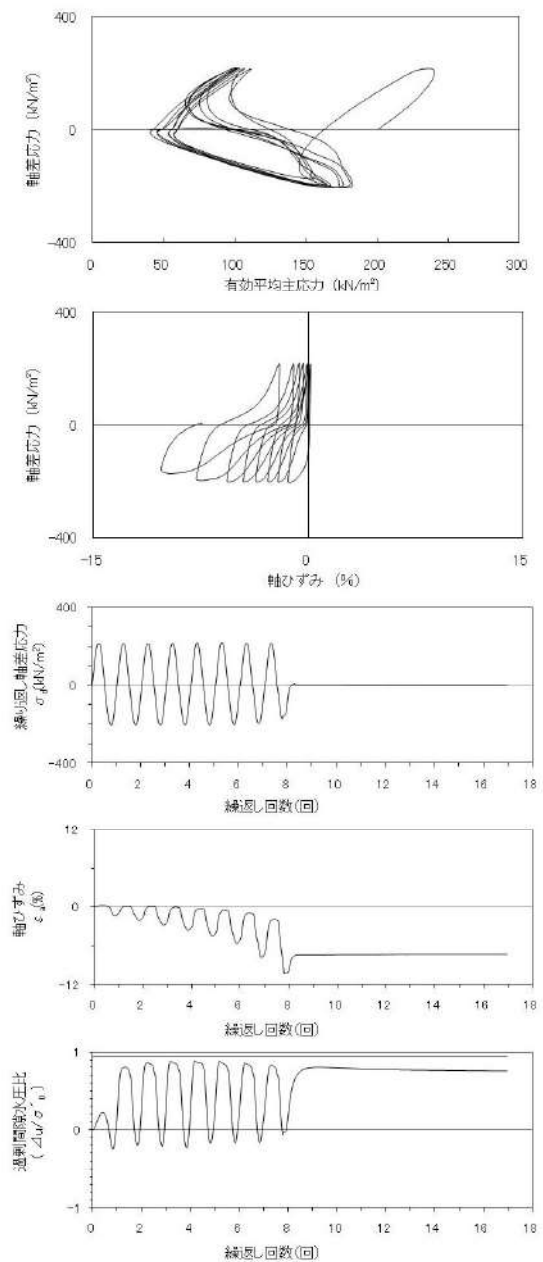
| 試験条件 | | |
|---|--------|--------|
| 供試体 | No.1-5 | |
| 圧密応力 σ'_c (kN/m ²) | 200 | |
| 繰返し応力振幅比 $\sigma_d/2\sigma'_0$ | 0.438 | |
| 試験結果 | | 液状化の判断 |
| 間隙水圧が上昇・蓄積する。 (過剰間隙水圧比95%を超える。) | ○ | 繰返し軟化 |
| 有効応力がゼロまで低下する。 | × | |
| 液体状となり流動する。 (ひずみが急増する。) | × | |
| 正のダイレイタンス特性によりせん断抵抗が作用する。 (有効応力が回復する。) | ○ | |

添付 1-140 図 液状化強度試験結果
(SH-2 試料(供試体 No. 1-5))



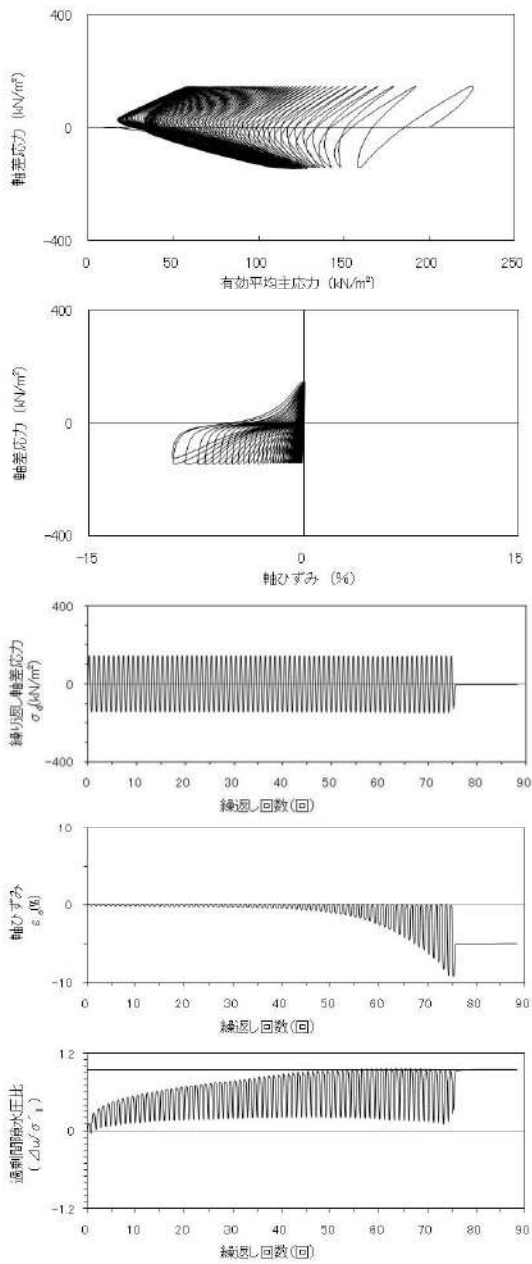
| 試験条件 | | 液状化の判断 |
|--|--------|--------|
| 供試体 | No.1-6 | |
| 圧密応力 σ'_c (kN/m ²) | 200 | |
| 繰返し応力振幅比 $\sigma_d/2\sigma'_0$ | 0.485 | |
| 試験結果 | | 繰返し軟化 |
| 間隙水圧が上昇・蓄積する。 (過剰間隙水圧比95%を超える。) | ○ | |
| 有効応力がゼロまで低下する。 | × | |
| 液体状となり流動する。 (ひずみが急増する。) | × | |
| 正のダイレイタンスー特性によりせん断抵抗が作用する。 (有効応力が回復する。) | ○ | |

添付 1-141 図 液状化強度試験結果
(SH-2 試料(供試体 No. 1-6))



| 試験条件 | | 液状化の判断 |
|--|--------|--------|
| 供試体 | No.3-1 | |
| 圧密応力 σ'_c (kN/m ²) | 200 | |
| 繰返し応力振幅比 $\sigma_d/2\sigma'_0$ | 0.526 | |
| 試験結果 | | 非液状化 |
| 間隙水圧が上昇・蓄積する。 (過剰間隙水圧比95%を超える。) | × | |
| 有効応力がゼロまで低下する。 | × | |
| 液体状となり流動する。 (ひずみが急増する。) | × | |
| 正のダイレイタンスー特性によりせん断抵抗が作用する。 (有効応力が回復する。) | ○ | |

添付 1-142 図 液状化強度試験結果
(SH-2 試料(供試体 No. 3-1))

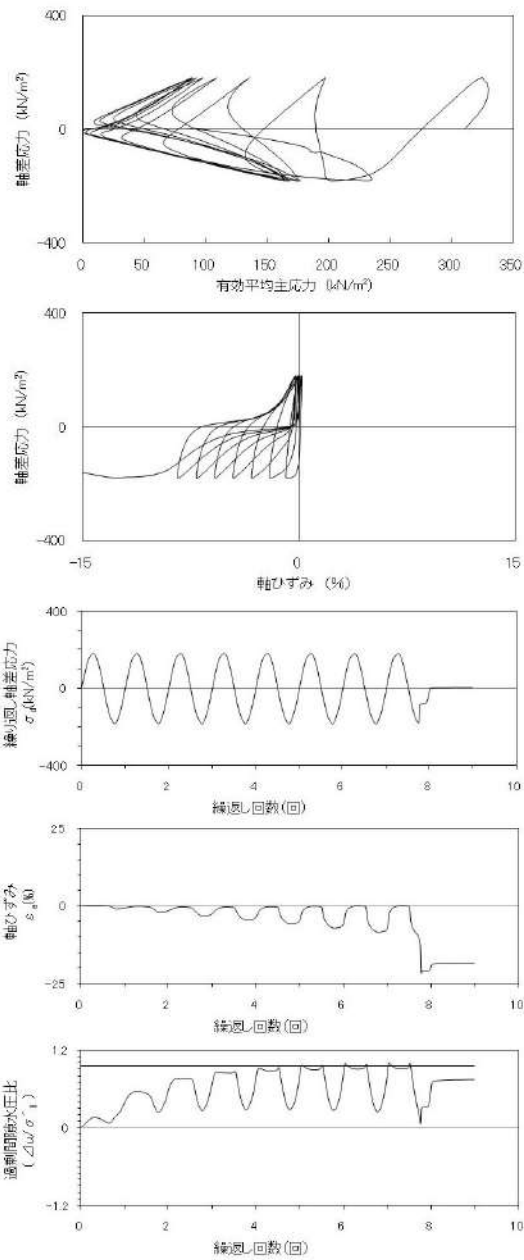


| 試験条件 | | |
|--|---|--------|
| 供試体 | | No.3-4 |
| 圧密応力 σ'_c (kN/m ²) | | 200 |
| 繰返し応力振幅比 $\sigma_d/2\sigma'_0$ | | 0.359 |
| 試験結果 | | 液状化の判断 |
| 間隙水圧が上昇・蓄積する。 (過剰間隙水圧比95%を超える。) | ○ | 繰返し軟化 |
| 有効応力がゼロまで低下する。 | × | |
| 液体状となり流動する。 (ひずみが急増する。) | × | |
| 正のダイレイタンスー特性により せん断抵抗が作用する。 (有効応力が回復する。) | ○ | |

添付 1-143 図 液状化強度試験結果
(SH-2 試料(供試体 No. 3-4))

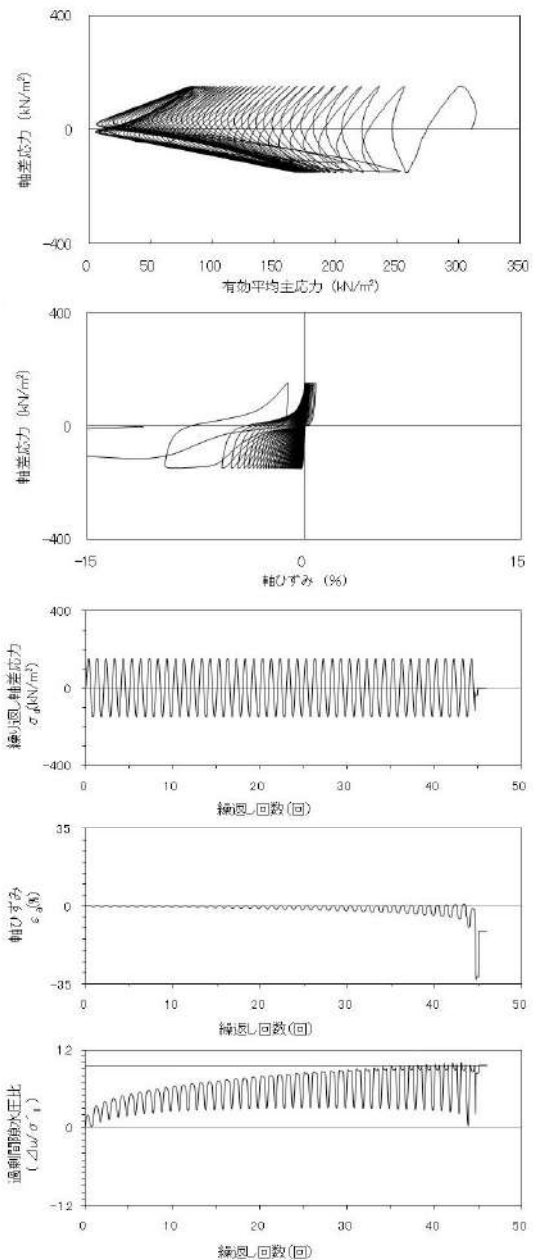
2. 液状化強度試験結果

(3) As1 層の試験データ



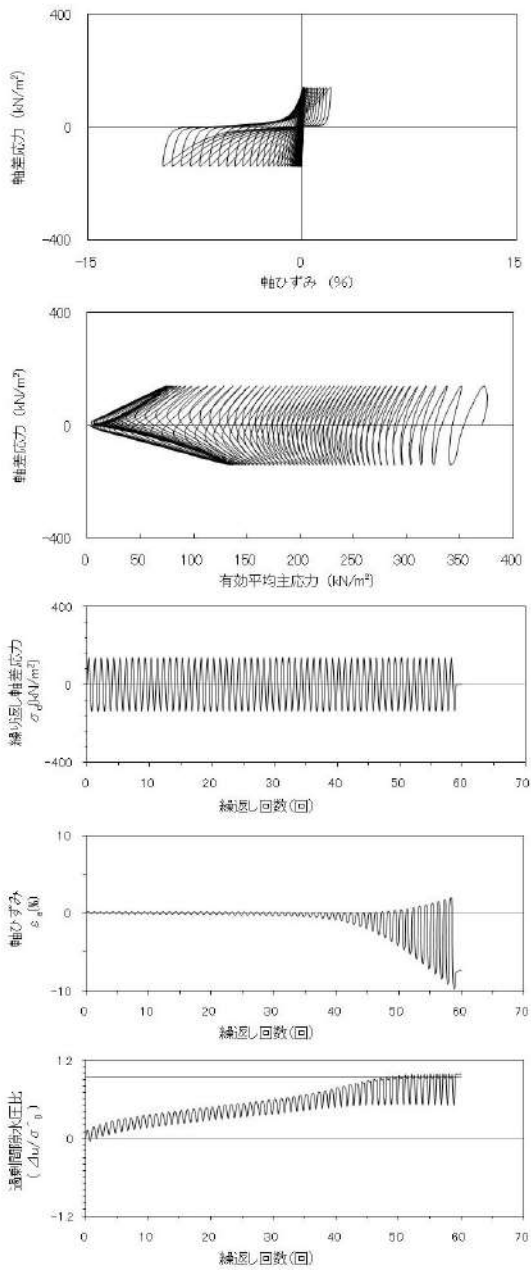
| 試験条件 | | 液状化の判断 |
|---|-------|--------|
| 供試体 | No.2 | |
| 圧密応力 σ'_c (kN/m ²) | 310 | |
| 繰返し応力振幅比 $\sigma_d/2\sigma'_0$ | 0.292 | 繰返し軟化 |
| 試験結果 | | |
| 間隙水圧が上昇・蓄積する。 (過剰間隙水圧比95%を超える。) | ○ | |
| 有効応力がゼロまで低下する。 | × | |
| 液体状となり流動する。 (ひずみが急増する。) | × | |
| 正のダイレイタンス特性によりせん断抵抗が作用する。 (有効応力が回復する。) | ○ | |

添付 1-144 図 液状化強度試験結果
(SW-4-1 試料(供試体 No. 2))



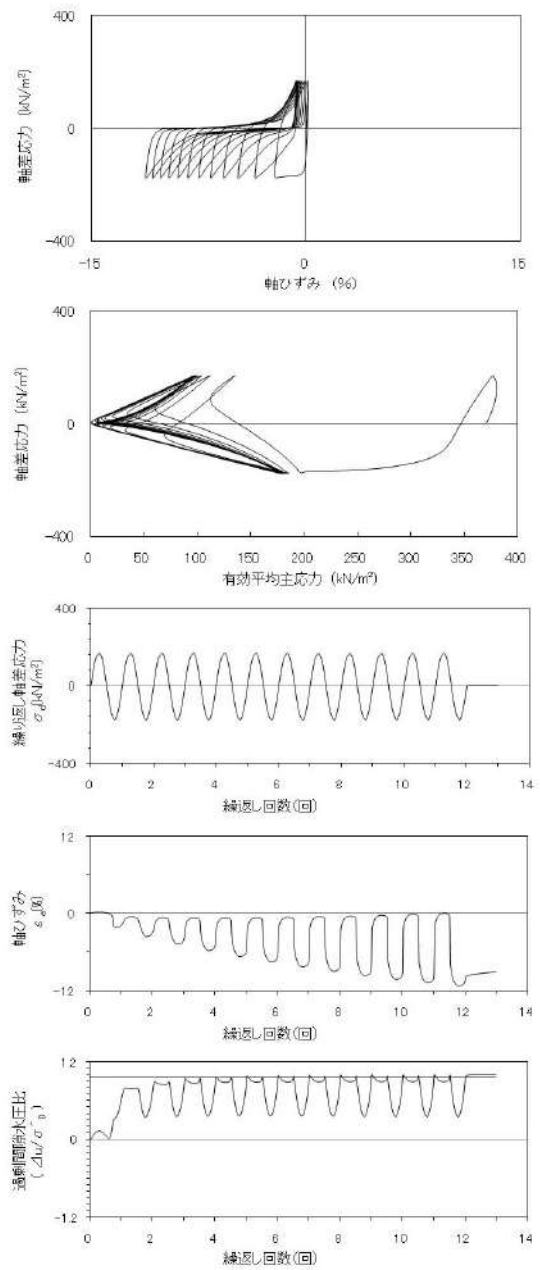
| 試験条件 | | 液状化の判断 |
|---|-------|--------|
| 供試体 | No.4 | |
| 圧密応力 σ'_c (kN/m ²) | 310 | |
| 繰返し応力振幅比 $\sigma_d/2\sigma'_0$ | 0.243 | 繰返し軟化 |
| 試験結果 | | |
| 間隙水圧が上昇・蓄積する。 (過剰間隙水圧比95%を超える。) | ○ | |
| 有効応力がゼロまで低下する。 | × | |
| 液体状となり流動する。 (ひずみが急増する。) | × | |
| 正のダイレイタンス特性によりせん断抵抗が作用する。 (有効応力が回復する。) | ○ | |

添付 1-145 図 液状化強度試験結果
(SW-4-1 試料(供試体 No. 4))



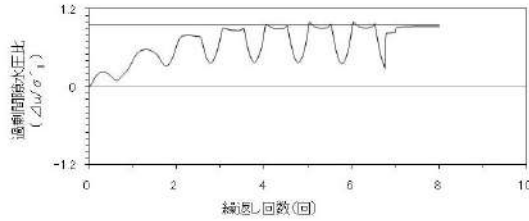
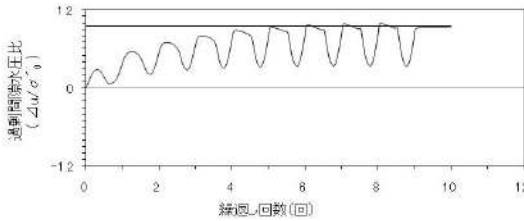
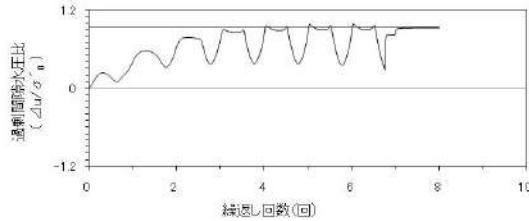
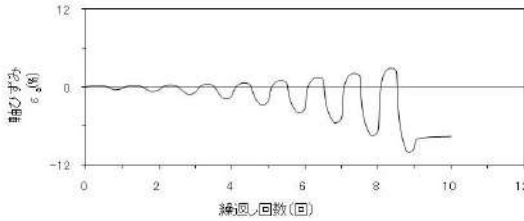
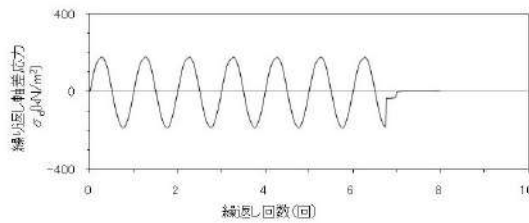
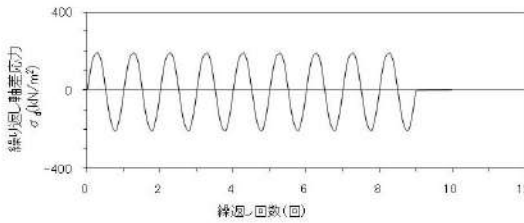
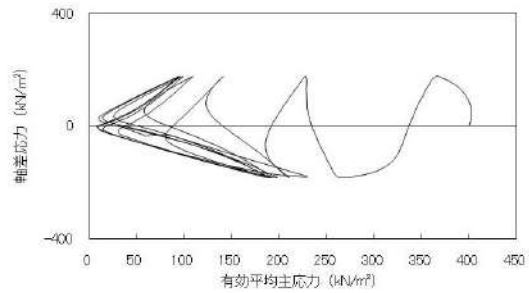
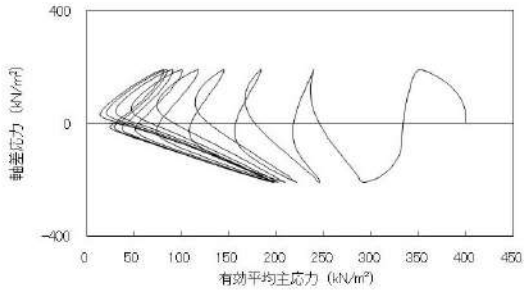
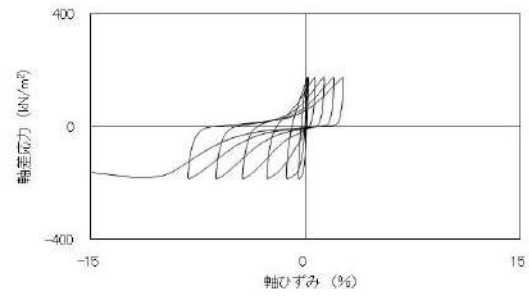
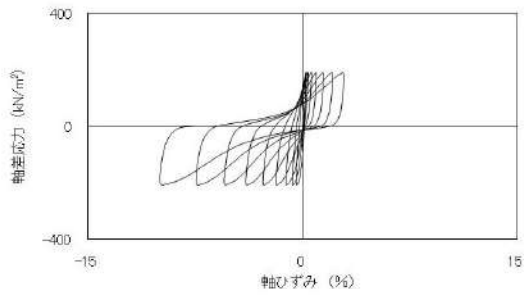
| 試験条件 | | |
|---|---|--------|
| 供試体 | | No.3 |
| 圧密応力 σ'_c (kN/m ²) | | 370 |
| 繰返し応力振幅比 $\sigma_d/2\sigma'_0$ | | 0.188 |
| 試験結果 | | 液状化の判断 |
| 間隙水圧が上昇・蓄積する。 (過剰間隙水圧比95%を超える。) | ○ | 繰返し軟化 |
| 有効応力がゼロまで低下する。 | × | |
| 液体状となり流動する。 (ひずみが急増する。) | × | |
| 正のダイレイタンス特性により せん断抵抗が作用する。 (有効応力が回復する。) | ○ | |

添付 1-146 図 液状化強度試験結果
(SW-4-7 試料(供試体 No. 3))



| 試験条件 | | |
|---|---|--------|
| 供試体 | | No.4 |
| 圧密応力 σ'_c (kN/m ²) | | 370 |
| 繰返し応力振幅比 $\sigma_d/2\sigma'_0$ | | 0.233 |
| 試験結果 | | 液状化の判断 |
| 間隙水圧が上昇・蓄積する。 (過剰間隙水圧比95%を超える。) | ○ | 繰返し軟化 |
| 有効応力がゼロまで低下する。 | × | |
| 液体状となり流動する。 (ひずみが急増する。) | × | |
| 正のダイレイタンス特性により せん断抵抗が作用する。 (有効応力が回復する。) | ○ | |

添付 1-147 図 液状化強度試験結果
(SW-4-7 試料(供試体 No. 4))

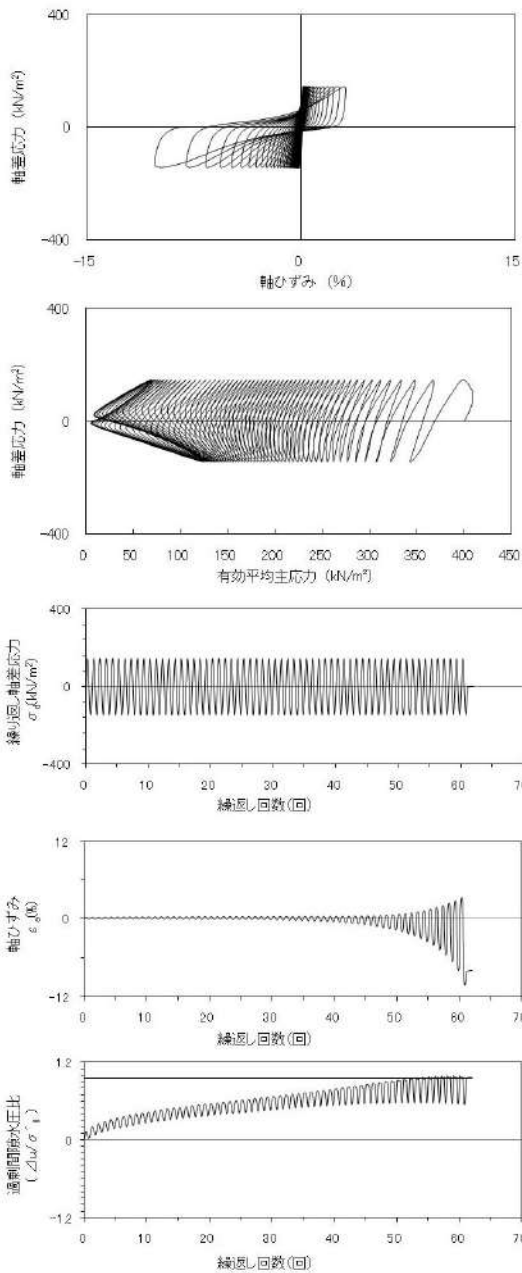


| 試験条件 | | 試験結果 | | 液状化の判断 | |
|---------------------------------------|-------|---|---|--------|--|
| 供試体 | No.1 | 間隙水圧が上昇・蓄積する。 (過剰間隙水圧比95%を超える。) | ○ | 繰返し軟化 | |
| 圧密応力 σ'_c (kN/m ²) | 400 | 有効応力がゼロまで低下する。 | × | | |
| 繰返し応力振幅比 $\sigma_d/2\sigma'_0$ | 0.250 | 液体状となり流動する。 (ひずみが急増する。) | × | | |
| | | 正のダイレイタンス特性によりせん断抵抗が作用する。 (有効応力が回復する。) | ○ | | |

| 試験条件 | | 試験結果 | | 液状化の判断 | |
|---------------------------------------|-------|---|---|--------|--|
| 供試体 | No.2 | 間隙水圧が上昇・蓄積する。 (過剰間隙水圧比95%を超える。) | ○ | 繰返し軟化 | |
| 圧密応力 σ'_c (kN/m ²) | 400 | 有効応力がゼロまで低下する。 | × | | |
| 繰返し応力振幅比 $\sigma_d/2\sigma'_0$ | 0.226 | 液体状となり流動する。 (ひずみが急増する。) | × | | |
| | | 正のダイレイタンス特性によりせん断抵抗が作用する。 (有効応力が回復する。) | ○ | | |

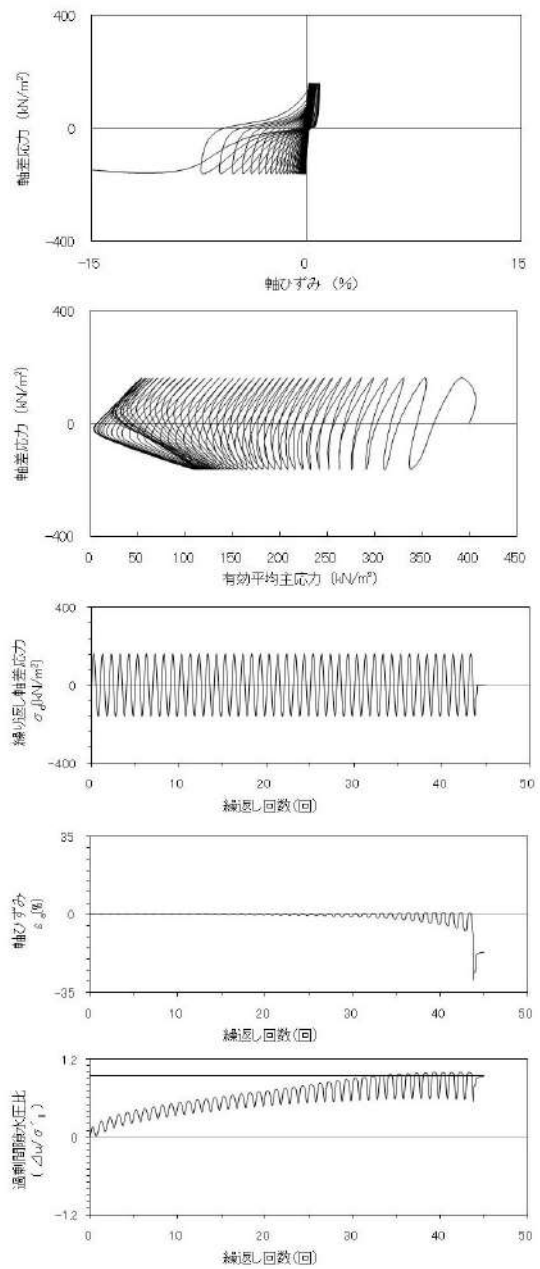
添付 1-148 図 液状化強度試験結果
(SW-4-10 試料(供試体 No. 1))

添付 1-149 図 液状化強度試験結果
(SW-4-10 試料(供試体 No. 2))



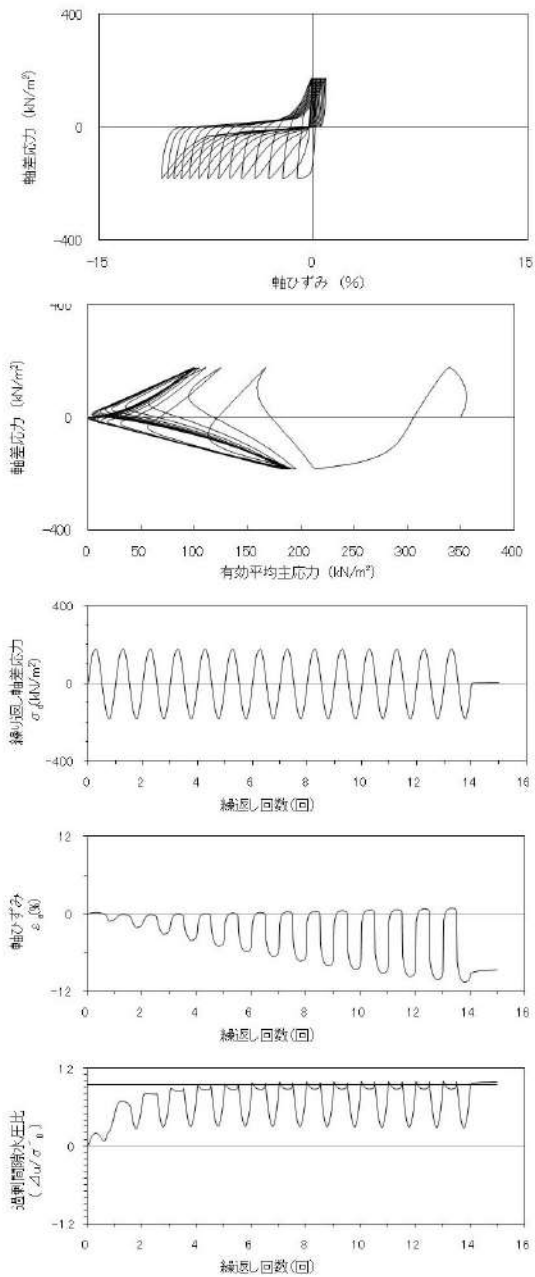
| 試験条件 | | |
|---|-------|--------|
| 供試体 | No.3 | |
| 圧密応力 σ'_c (kN/m ²) | 400 | |
| 繰返し応力振幅比 $\sigma_d/2\sigma'_c$ | 0.182 | |
| 試験結果 | | 液状化の判断 |
| 間隙水圧が上昇・蓄積する。 (過剰間隙水圧比95%を超える。) | ○ | 繰返し軟化 |
| 有効応力がゼロまで低下する。 | × | |
| 液体状となり流動する。 (ひずみが急増する。) | × | |
| 正のダイレイタンス特性によりせん断抵抗が作用する。 (有効応力が回復する。) | ○ | |

添付 1-150 図 液状化強度試験結果
(SW-4-10 試料(供試体 No. 3))



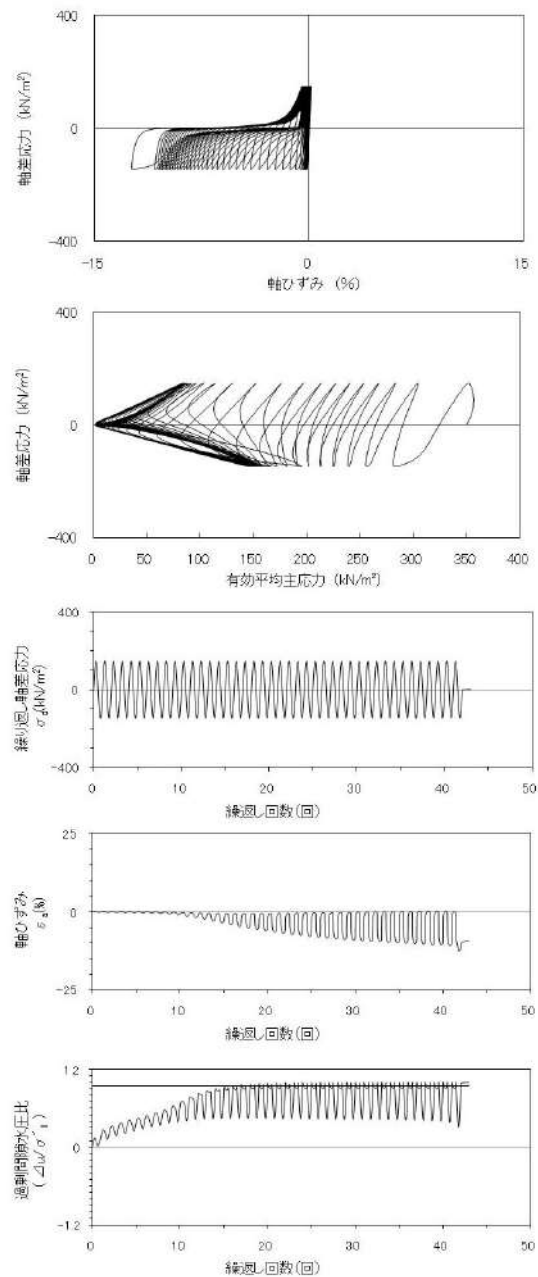
| 試験条件 | | |
|---|-------|--------|
| 供試体 | No.4 | |
| 圧密応力 σ'_c (kN/m ²) | 400 | |
| 繰返し応力振幅比 $\sigma_d/2\sigma'_c$ | 0.202 | |
| 試験結果 | | 液状化の判断 |
| 間隙水圧が上昇・蓄積する。 (過剰間隙水圧比95%を超える。) | ○ | 繰返し軟化 |
| 有効応力がゼロまで低下する。 | × | |
| 液体状となり流動する。 (ひずみが急増する。) | × | |
| 正のダイレイタンス特性によりせん断抵抗が作用する。 (有効応力が回復する。) | ○ | |

添付 1-151 図 液状化強度試験結果
(SW-4-10 試料(供試体 No. 4))



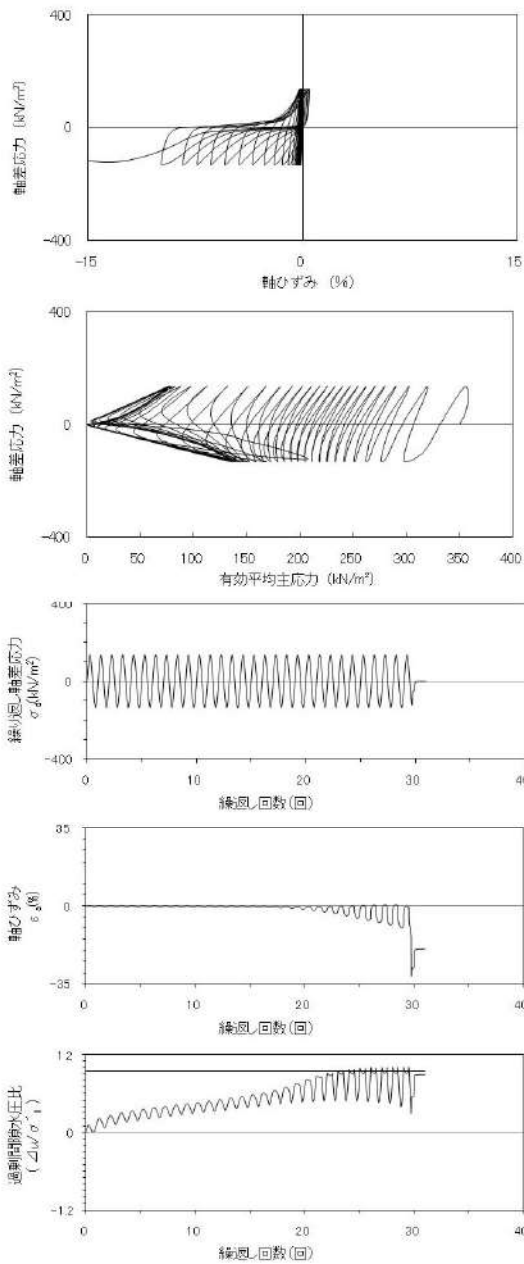
| 試験条件 | | |
|--|-------|----------------------------|
| 供試体 | No.1 | |
| 圧密応力 σ'_c (kN/m ²) | 350 | |
| 繰返し応力振幅比 $\sigma_d/2\sigma'_0$ | 0.257 | |
| 試験結果 | | 液状化の判断 |
| 間隙水圧が上昇・蓄積する。(過剰間隙水圧比95%を超える。) | ○ | 繰返し軟化 (サイクリック モビリティ) |
| 有効応力がゼロまで低下する。 | ○ | |
| 液体状となり流動する。(ひずみが急増する。) | × | |
| 正のダイレイタンスー特性によりせん断抵抗が作用する。(有効応力が回復する。) | ○ | |

添付 1-152 図 液状化強度試験結果
(SW-6-5 試料(供試体 No. 1))



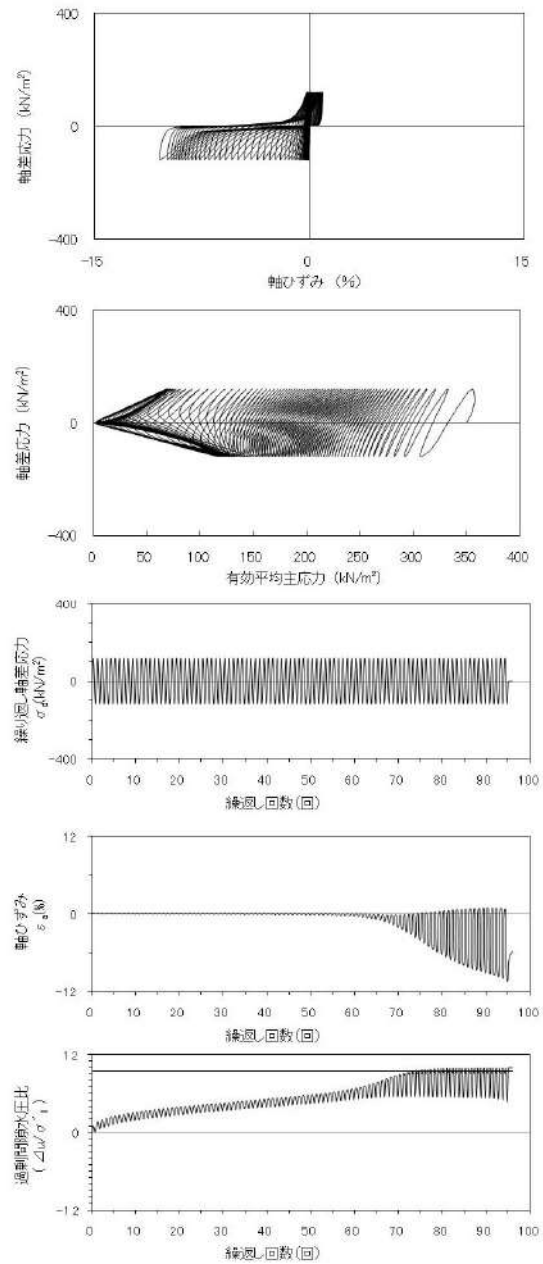
| 試験条件 | | |
|--|-------|--------|
| 供試体 | No.2 | |
| 圧密応力 σ'_c (kN/m ²) | 350 | |
| 繰返し応力振幅比 $\sigma_d/2\sigma'_0$ | 0.213 | |
| 試験結果 | | 液状化の判断 |
| 間隙水圧が上昇・蓄積する。(過剰間隙水圧比95%を超える。) | ○ | 繰返し軟化 |
| 有効応力がゼロまで低下する。 | × | |
| 液体状となり流動する。(ひずみが急増する。) | × | |
| 正のダイレイタンスー特性によりせん断抵抗が作用する。(有効応力が回復する。) | ○ | |

添付 1-153 図 液状化強度試験結果
(SW-6-5 試料(供試体 No. 2))



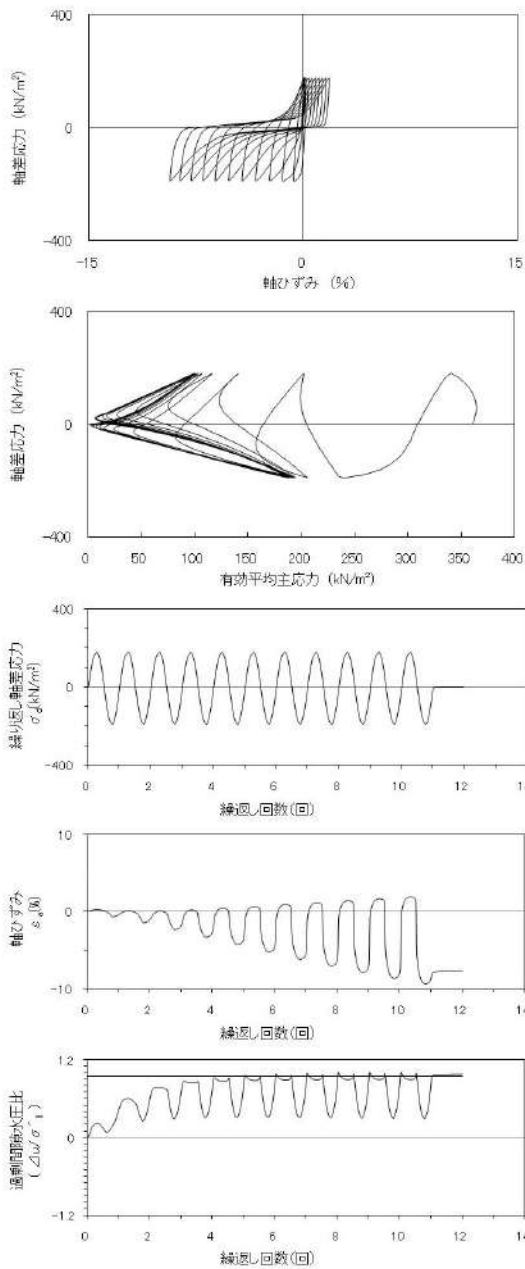
| 試験条件 | | 液状化の判断 | |
|---|-------|--------|-------|
| 供試体 | No.3 | | 繰返し軟化 |
| 圧密応力 σ'_c (kN/m ²) | 350 | | |
| 繰返し応力振幅比 $\sigma_d/2\sigma'_0$ | 0.192 | | |
| 試験結果 | | | |
| 間隙水圧が上昇・蓄積する。 (過剰間隙水圧比95%を超える。) | ○ | | |
| 有効応力がゼロまで低下する。 | × | | |
| 液体状となり流動する。 (ひずみが急増する。) | × | | |
| 正のダイレイタンス特性により せん断抵抗が作用する。 (有効応力が回復する。) | ○ | | |

添付 1-154 図 液状化強度試験結果
(SW-6-5 試料(供試体 No. 3))



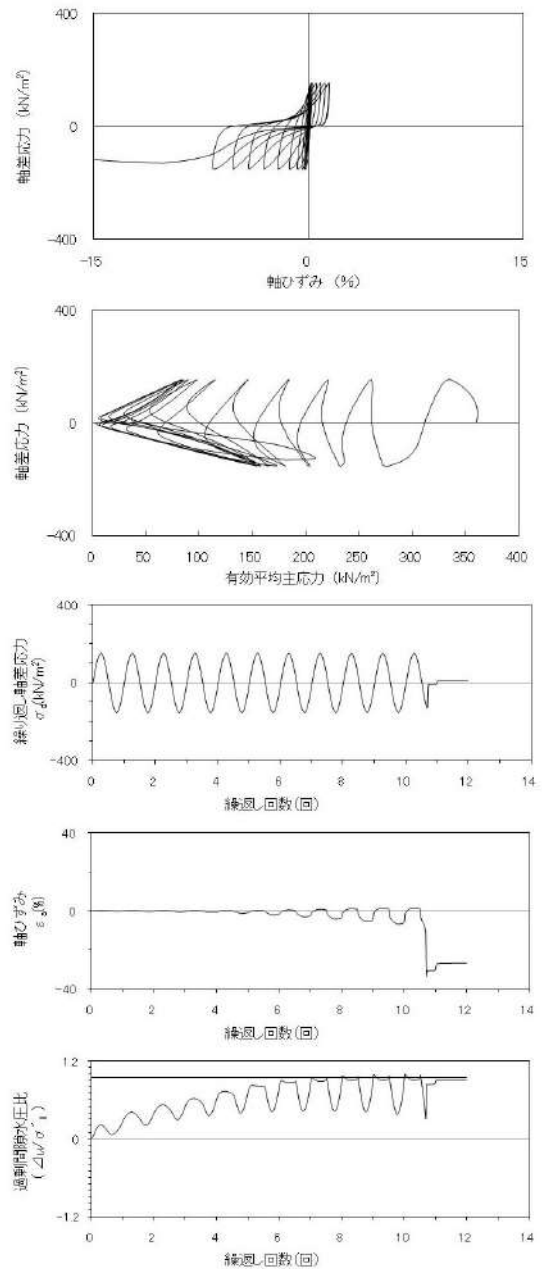
| 試験条件 | | 液状化の判断 | |
|---|-------|--------|-------|
| 供試体 | No.4 | | 繰返し軟化 |
| 圧密応力 σ'_c (kN/m ²) | 350 | | |
| 繰返し応力振幅比 $\sigma_d/2\sigma'_0$ | 0.171 | | |
| 試験結果 | | | |
| 間隙水圧が上昇・蓄積する。 (過剰間隙水圧比95%を超える。) | ○ | | |
| 有効応力がゼロまで低下する。 | × | | |
| 液体状となり流動する。 (ひずみが急増する。) | × | | |
| 正のダイレイタンス特性により せん断抵抗が作用する。 (有効応力が回復する。) | ○ | | |

添付 1-155 図 液状化強度試験結果
(SW-6-5 試料(供試体 No. 4))



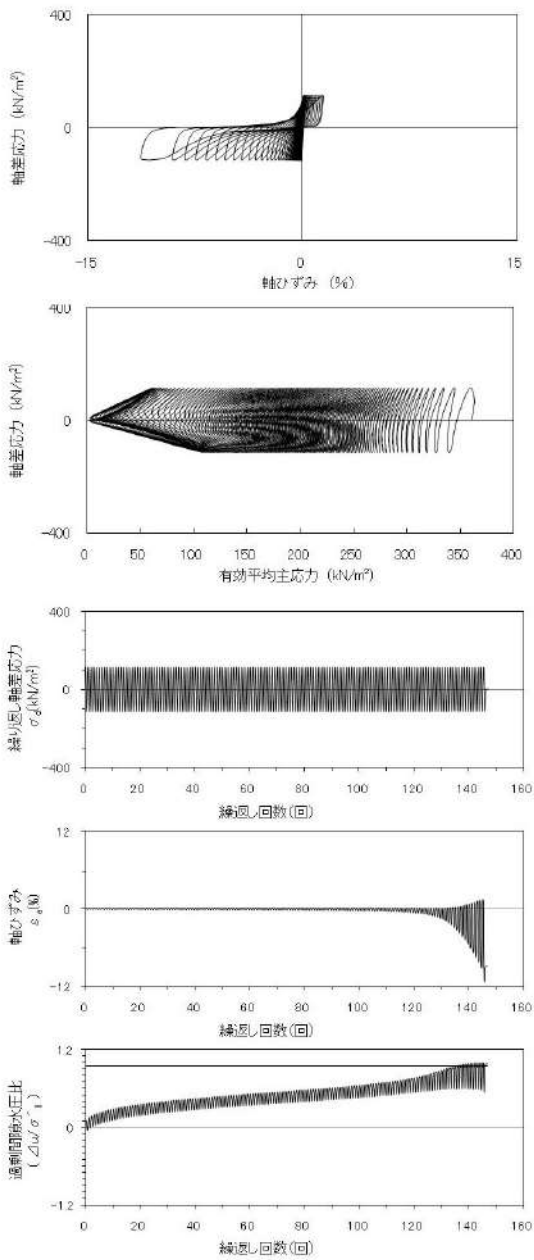
| 試験条件 | | 液状化の判断 | |
|---|-------|--------|-------|
| 供試体 | No.1 | | 繰返し軟化 |
| 圧密応力 σ'_c (kN/m ²) | 360 | | |
| 繰返し応力振幅比 $\sigma_d/2\sigma'_c$ | 0.256 | | |
| 試験結果 | | | |
| 間隙水圧が上昇・蓄積する。 (過剰間隙水圧比95%を超える。) | ○ | | |
| 有効応力がゼロまで低下する。 | × | | |
| 液体状となり流動する。 (ひずみが急増する。) | × | | |
| 正のダイレイタンス特性によりせん断抵抗が作用する。 (有効応力が回復する。) | ○ | | |

添付 1-156 図 液状化強度試験結果
(SW-6-6 試料(供試体 No. 1))



| 試験条件 | | 液状化の判断 | |
|---|-------|--------|-------|
| 供試体 | No.2 | | 繰返し軟化 |
| 圧密応力 σ'_c (kN/m ²) | 360 | | |
| 繰返し応力振幅比 $\sigma_d/2\sigma'_c$ | 0.213 | | |
| 試験結果 | | | |
| 間隙水圧が上昇・蓄積する。 (過剰間隙水圧比95%を超える。) | ○ | | |
| 有効応力がゼロまで低下する。 | × | | |
| 液体状となり流動する。 (ひずみが急増する。) | × | | |
| 正のダイレイタンス特性によりせん断抵抗が作用する。 (有効応力が回復する。) | ○ | | |

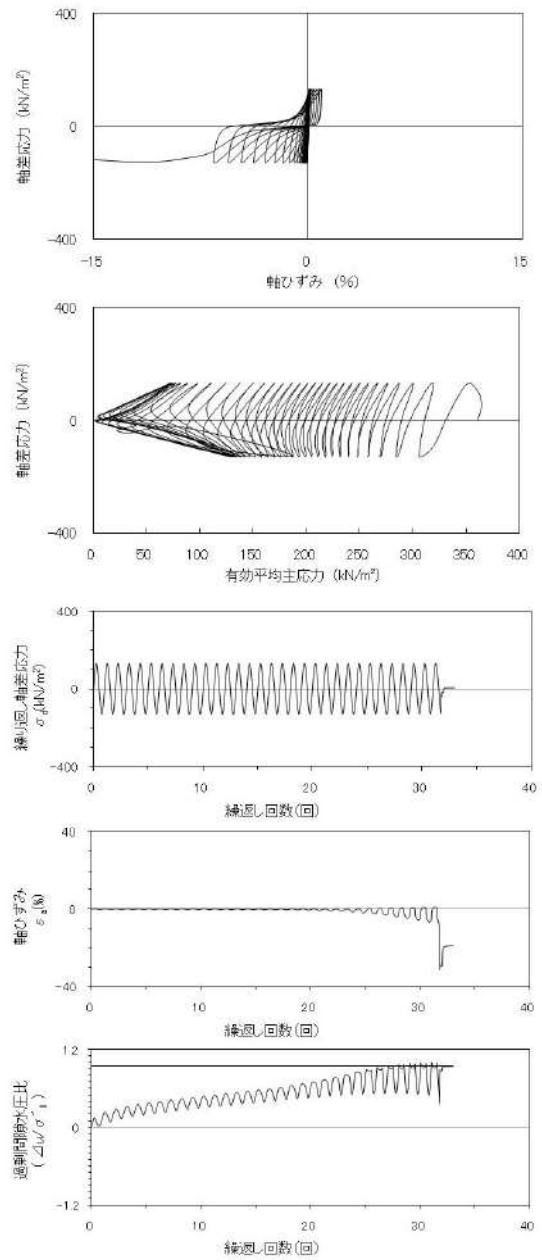
添付 1-157 図 液状化強度試験結果
(SW-6-6 試料(供試体 No. 2))



| 試験条件 | | 液状化の判断 | |
|--|-------|--------|-----|
| 供試体 | No.3 | | 液状化 |
| 圧密応力 σ'_c (kN/m ²) | 360 | | |
| 繰返し応力振幅比 $\sigma_d/2\sigma'_0$ | 0.160 | | |
| 試験結果 | | 液状化の判断 | |
| 間隙水圧が上昇・蓄積する。 (過剰間隙水圧比95%を超える。) | ○ | | 液状化 |
| 有効応力がゼロまで低下する。 | × | | |
| 液体状となり流動する。 (ひずみが急増する。) | ○ | | |
| 正のダイレイタンスー特性によりせん断抵抗が作用する。 (有効応力が回復する。) | × | | |

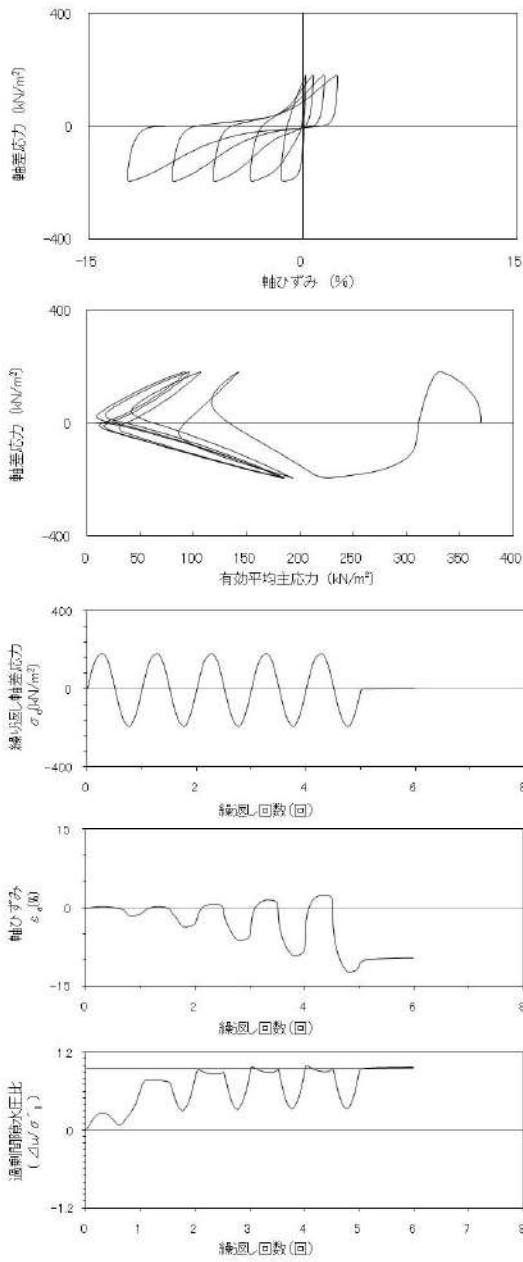
※有効応力がゼロまで低下していないが保守的に液状化に区分した。

添付 1-158 図 液状化強度試験結果
(SW-6-6 試料(供試体 No. 3))



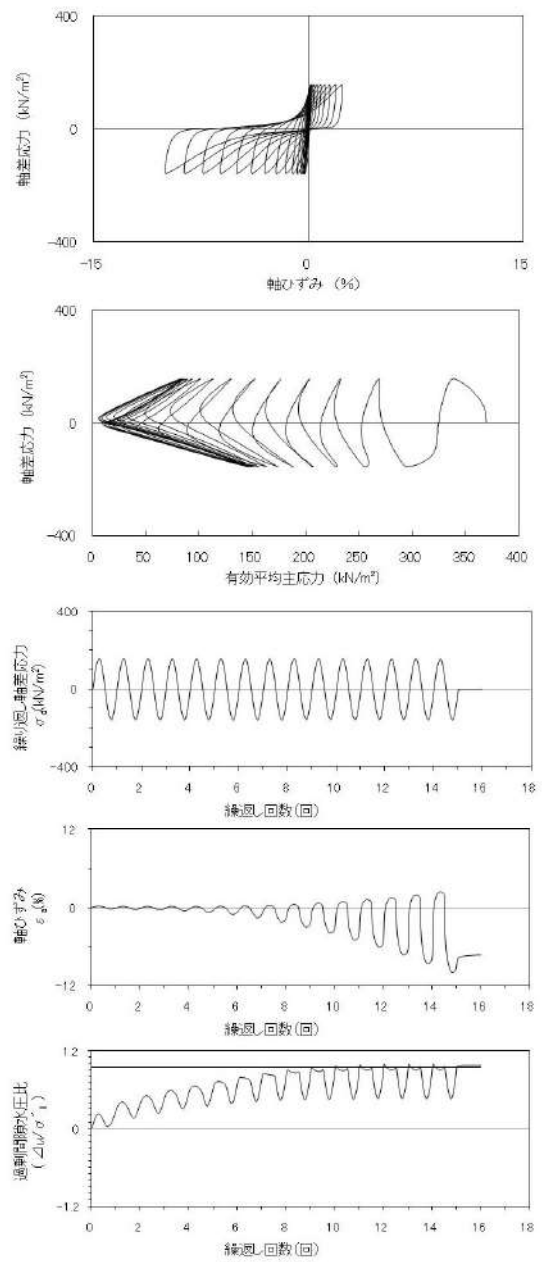
| 試験条件 | | 液状化の判断 | |
|--|-------|--------|-------|
| 供試体 | No.4 | | 繰返し軟化 |
| 圧密応力 σ'_c (kN/m ²) | 360 | | |
| 繰返し応力振幅比 $\sigma_d/2\sigma'_0$ | 0.182 | | |
| 試験結果 | | 液状化の判断 | |
| 間隙水圧が上昇・蓄積する。 (過剰間隙水圧比95%を超える。) | ○ | | 繰返し軟化 |
| 有効応力がゼロまで低下する。 | × | | |
| 液体状となり流動する。 (ひずみが急増する。) | × | | |
| 正のダイレイタンスー特性によりせん断抵抗が作用する。 (有効応力が回復する。) | ○ | | |

添付 1-159 図 液状化強度試験結果
(SW-6-6 試料(供試体 No. 4))



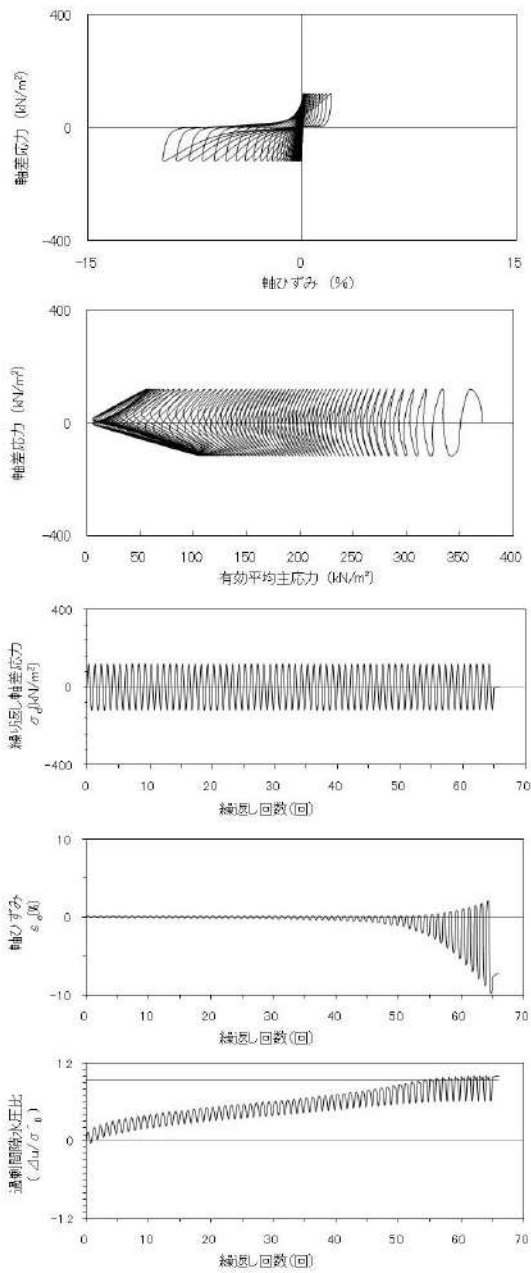
| 試験条件 | | 液状化の判断 | |
|---|-------|--------|-------|
| 供試体 | No.1 | | 繰返し軟化 |
| 圧密応力 σ'_c (kN/m ²) | 370 | | |
| 繰返し応力振幅比 $\sigma_d/2\sigma'_c$ | 0.255 | | |
| 試験結果 | | | |
| 間隙水圧が上昇・蓄積する。 (過剰間隙水圧比95%を超える。) | ○ | | 繰返し軟化 |
| 有効応力がゼロまで低下する。 | × | | |
| 液体状となり流動する。 (ひずみが急増する。) | × | | |
| 正のダイレイタンス特性によりせん断抵抗が作用する。 (有効応力が回復する。) | ○ | | |

添付 1-160 図 液状化強度試験結果
(SW-6-7 試料(供試体 No. 1))



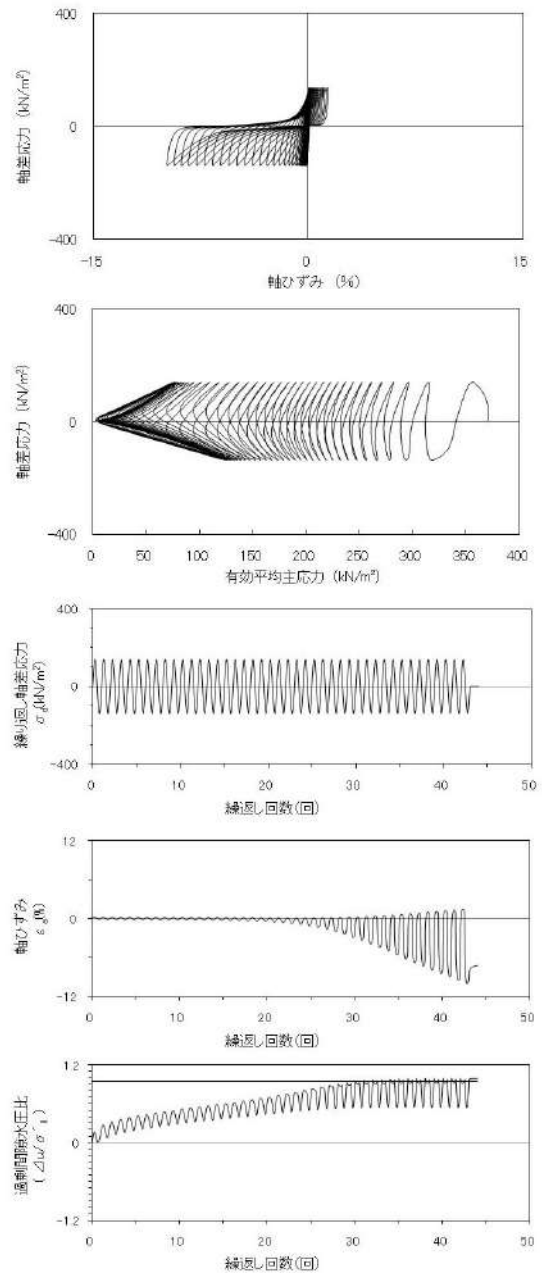
| 試験条件 | | 液状化の判断 | |
|---|-------|--------|-------|
| 供試体 | No.2 | | 繰返し軟化 |
| 圧密応力 σ'_c (kN/m ²) | 370 | | |
| 繰返し応力振幅比 $\sigma_d/2\sigma'_c$ | 0.212 | | |
| 試験結果 | | | |
| 間隙水圧が上昇・蓄積する。 (過剰間隙水圧比95%を超える。) | ○ | | 繰返し軟化 |
| 有効応力がゼロまで低下する。 | × | | |
| 液体状となり流動する。 (ひずみが急増する。) | × | | |
| 正のダイレイタンス特性によりせん断抵抗が作用する。 (有効応力が回復する。) | ○ | | |

添付 1-161 図 液状化強度試験結果
(SW-6-7 試料(供試体 No. 2))



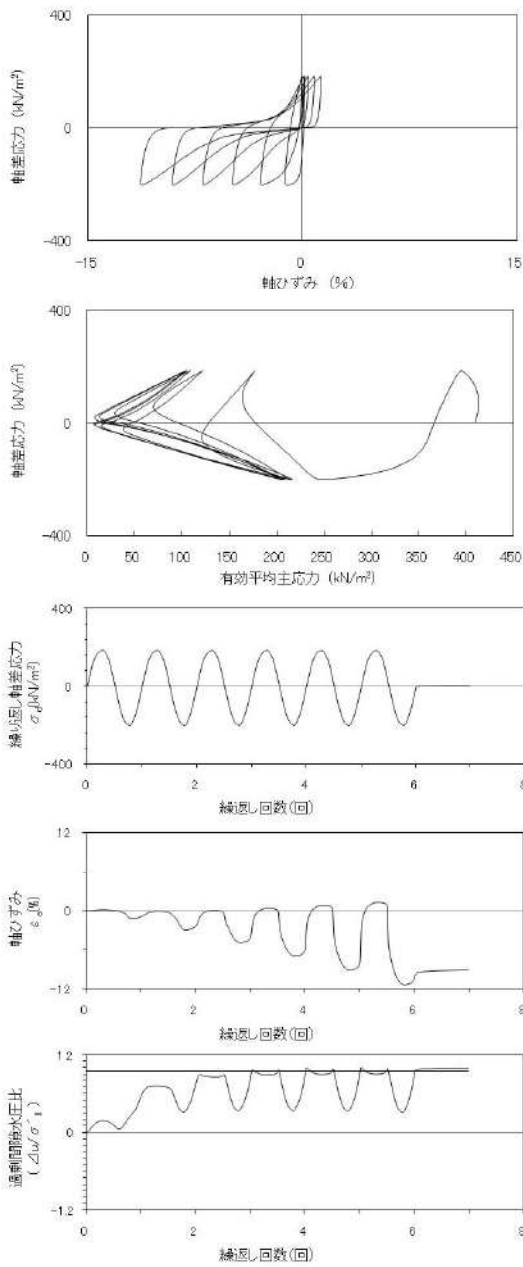
| 試験条件 | | |
|---|-------|--------|
| 供試体 | No.3 | |
| 圧密応力 σ'_c (kN/m ²) | 370 | |
| 繰返し応力振幅比 $\sigma_d/2\sigma'_c$ | 0.160 | |
| 試験結果 | | 液状化の判断 |
| 間隙水圧が上昇・蓄積する。 (過剰間隙水圧比95%を超える。) | ○ | 繰返し軟化 |
| 有効応力がゼロまで低下する。 | × | |
| 液体状となり流動する。 (ひずみが急増する。) | × | |
| 正のダイレイタンス特性によりせん断抵抗が作用する。 (有効応力が回復する。) | ○ | |

添付 1-162 図 液状化強度試験結果
(SW-6-7 試料(供試体 No. 3))



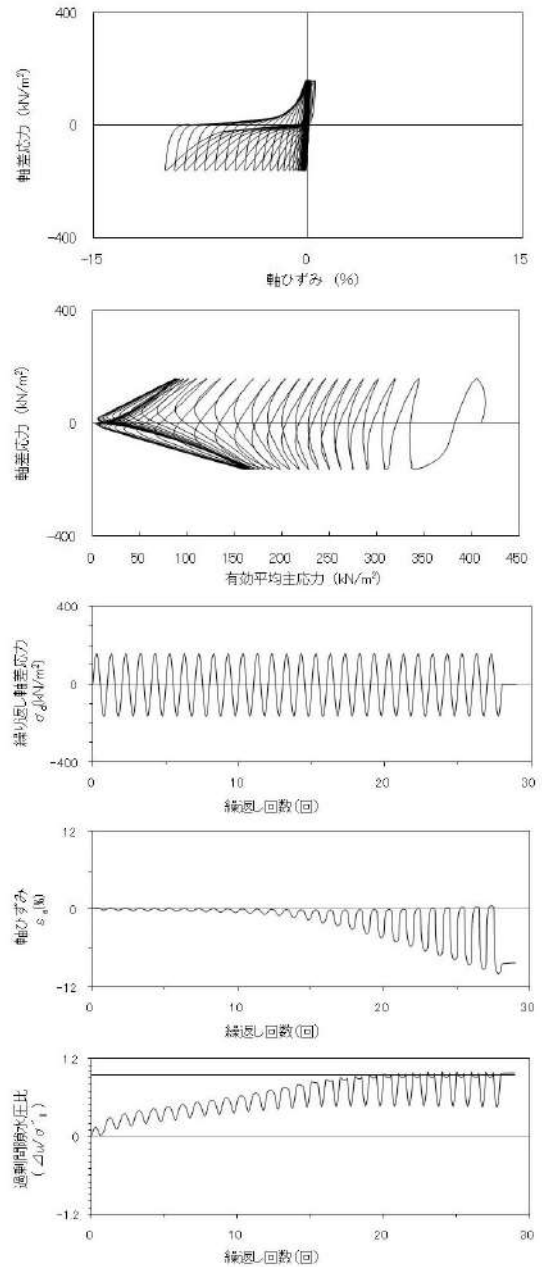
| 試験条件 | | |
|---|-------|--------|
| 供試体 | No.4 | |
| 圧密応力 σ'_c (kN/m ²) | 370 | |
| 繰返し応力振幅比 $\sigma_d/2\sigma'_c$ | 0.187 | |
| 試験結果 | | 液状化の判断 |
| 間隙水圧が上昇・蓄積する。 (過剰間隙水圧比95%を超える。) | ○ | 繰返し軟化 |
| 有効応力がゼロまで低下する。 | × | |
| 液体状となり流動する。 (ひずみが急増する。) | × | |
| 正のダイレイタンス特性によりせん断抵抗が作用する。 (有効応力が回復する。) | ○ | |

添付 1-163 図 液状化強度試験結果
(SW-6-7 試料(供試体 No. 4))



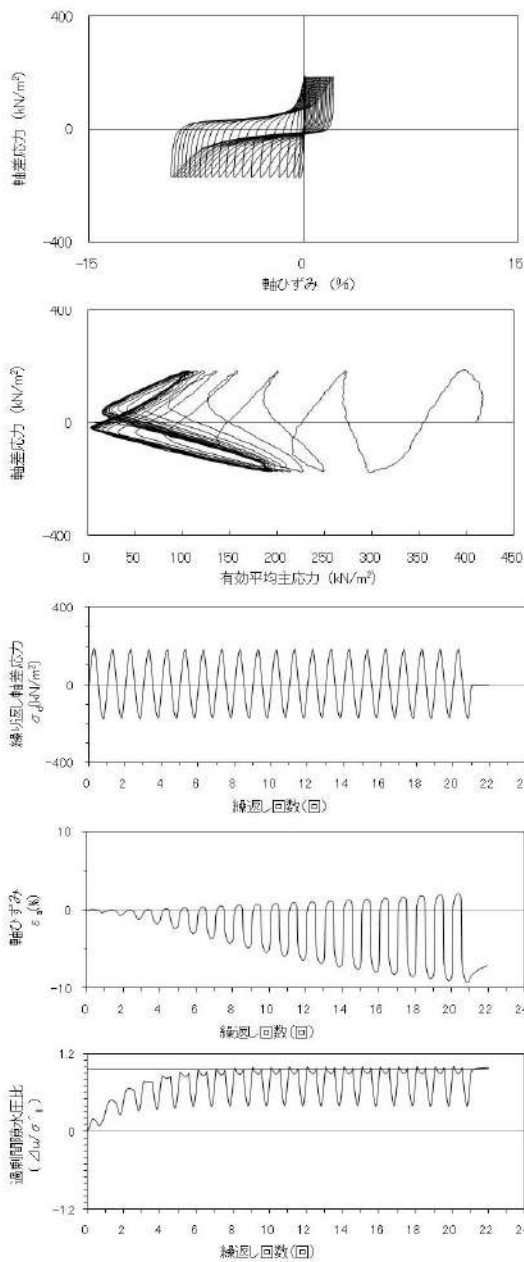
| 試験条件 | | 液状化の判断 | |
|---|-------|--------|-------|
| 供試体 | No.1 | | 繰返し軟化 |
| 圧密応力 σ'_c (kN/m ²) | 410 | | |
| 繰返し応力振幅比 $\sigma_d/2\sigma'_c$ | 0.236 | | |
| 試験結果 | | | |
| 間隙水圧が上昇・蓄積する。 (過剰間隙水圧比95%を超える。) | ○ | | 繰返し軟化 |
| 有効応力がゼロまで低下する。 | × | | |
| 液体状となり流動する。 (ひずみが急増する。) | × | | |
| 正のダイレイタンス特性によりせん断抵抗が作用する。 (有効応力が回復する。) | ○ | | |

添付 1-164 図 液状化強度試験結果
(SW-7-10 試料(供試体 No. 1))



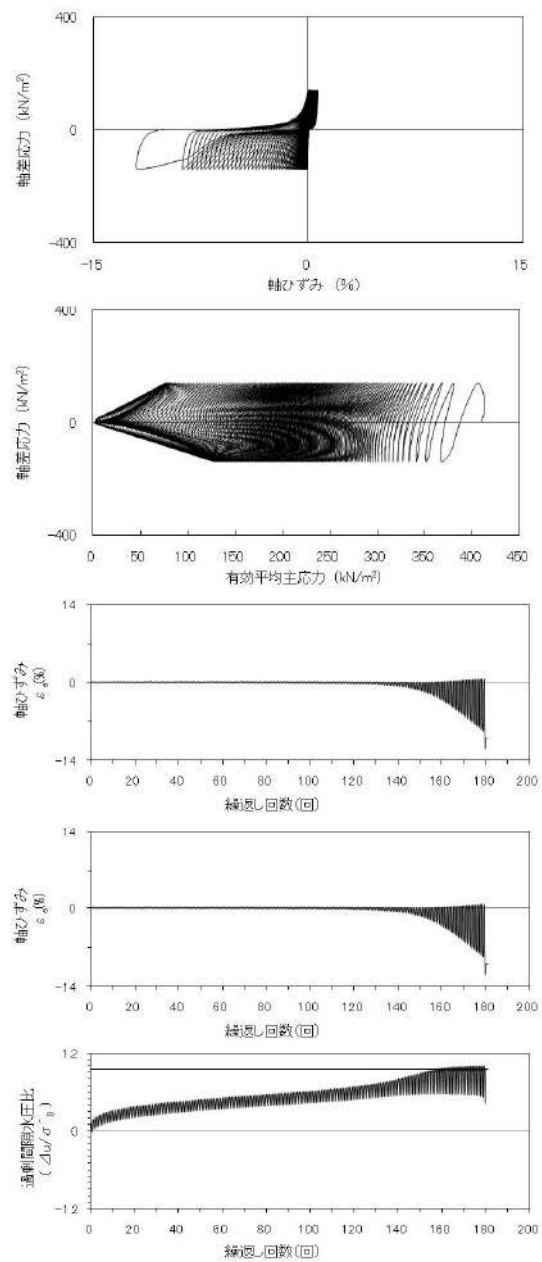
| 試験条件 | | 液状化の判断 | |
|---|-------|--------|-------|
| 供試体 | No.2 | | 繰返し軟化 |
| 圧密応力 σ'_c (kN/m ²) | 410 | | |
| 繰返し応力振幅比 $\sigma_d/2\sigma'_c$ | 0.196 | | |
| 試験結果 | | | |
| 間隙水圧が上昇・蓄積する。 (過剰間隙水圧比95%を超える。) | ○ | | 繰返し軟化 |
| 有効応力がゼロまで低下する。 | × | | |
| 液体状となり流動する。 (ひずみが急増する。) | × | | |
| 正のダイレイタンス特性によりせん断抵抗が作用する。 (有効応力が回復する。) | ○ | | |

添付 1-165 図 液状化強度試験結果
(SW-7-10 試料(供試体 No. 2))



| 試験条件 | | 液状化の判断 | |
|---|-------|--------|-------|
| 供試体 | No.3 | | 繰返し軟化 |
| 圧密応力 σ'_c (kN/m ²) | 410 | | |
| 繰返し応力振幅比 $\sigma_d/2\sigma'_0$ | 0.218 | | |
| 試験結果 | | 液状化の判断 | |
| 間隙水圧が上昇・蓄積する。 (過剰間隙水圧比95%を超える。) | ○ | 繰返し軟化 | |
| 有効応力がゼロまで低下する。 | × | | |
| 液体状となり流動する。 (ひずみが急増する。) | × | | |
| 正のダイレイタンス特性によりせん断抵抗が作用する。 (有効応力が回復する。) | ○ | | |

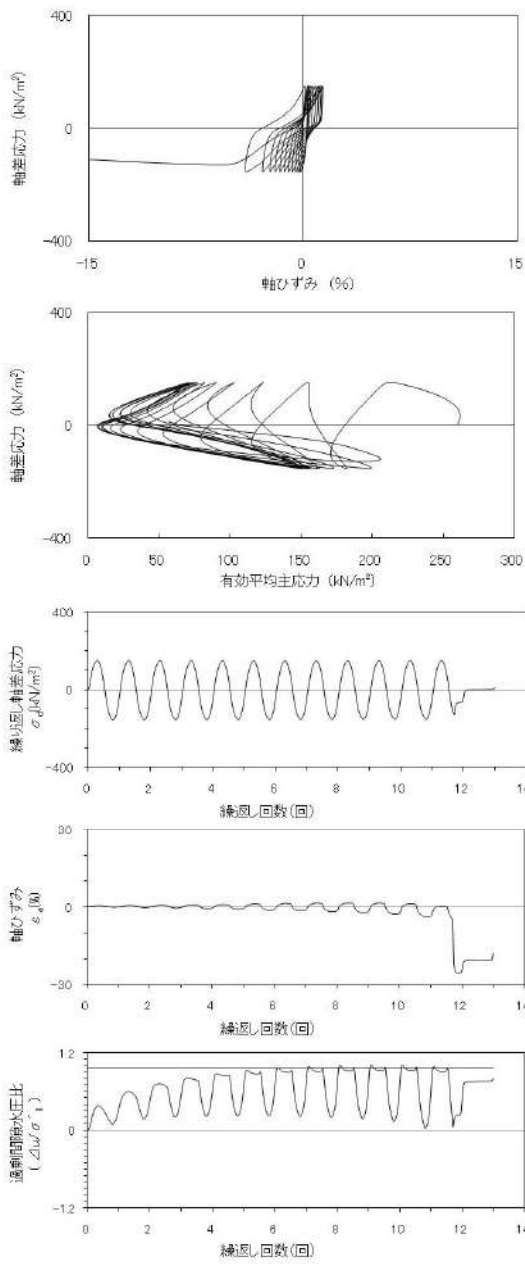
添付 1-166 図 液状化強度試験結果
(SW-7-10 試料(供試体 No. 3))



| 試験条件 | | 液状化の判断 | |
|---|-------|--------|-----|
| 供試体 | No.4 | | 液状化 |
| 圧密応力 σ'_c (kN/m ²) | 410 | | |
| 繰返し応力振幅比 $\sigma_d/2\sigma'_0$ | 0.171 | | |
| 試験結果 | | 液状化の判断 | |
| 間隙水圧が上昇・蓄積する。 (過剰間隙水圧比95%を超える。) | ○ | 液状化 | |
| 有効応力がゼロまで低下する。 | × | | |
| 液体状となり流動する。 (ひずみが急増する。) | ○ | | |
| 正のダイレイタンス特性によりせん断抵抗が作用する。 (有効応力が回復する。) | × | | |

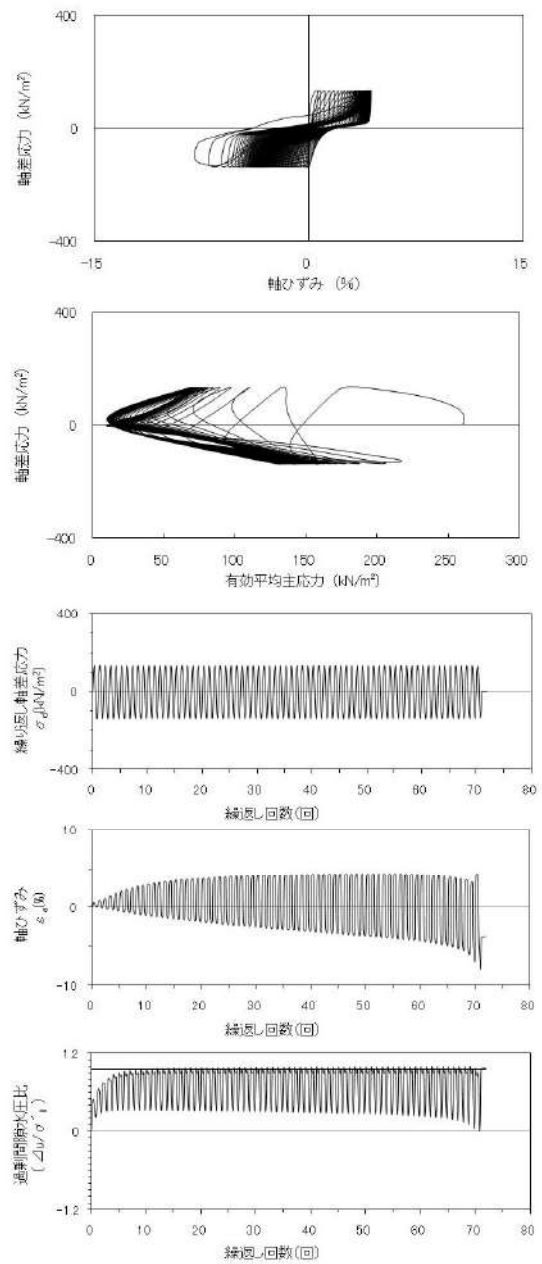
※有効応力がゼロまで低下していないが保守的に液状化に区分した。

添付 1-167 図 液状化強度試験結果
(SW-7-10 試料(供試体 No. 4))



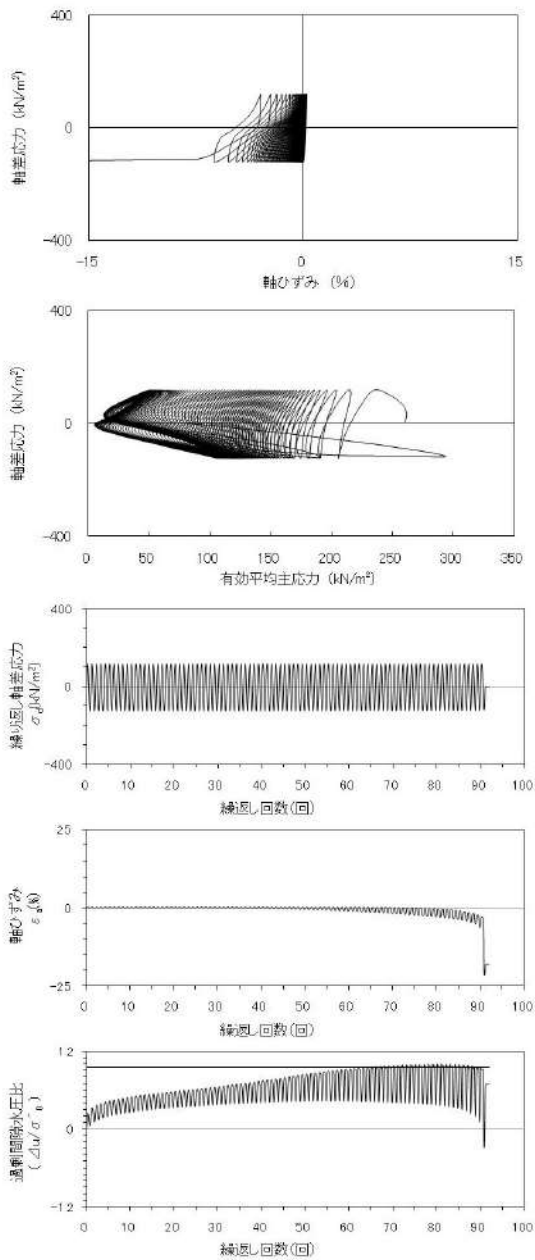
| 試験条件 | | |
|---|-------|--------|
| 供試体 | No.37 | |
| 圧密応力 σ'_c (kN/m ²) | 260 | |
| 繰返し応力振幅比 $\sigma_d/2\sigma'_0$ | 0.295 | |
| 試験結果 | | 液状化の判断 |
| 間隙水圧が上昇・蓄積する。 (過剰間隙水圧比95%を超える。) | ○ | 繰返し軟化 |
| 有効応力がゼロまで低下する。 | × | |
| 液体状となり流動する。 (ひずみが急増する。) | × | |
| 正のダイレイタンス特性によりせん断抵抗が作用する。 (有効応力が回復する。) | ○ | |

添付 1-168 図 液状化強度試験結果
(SW2-4(2) 試料(供試体 No. 37))



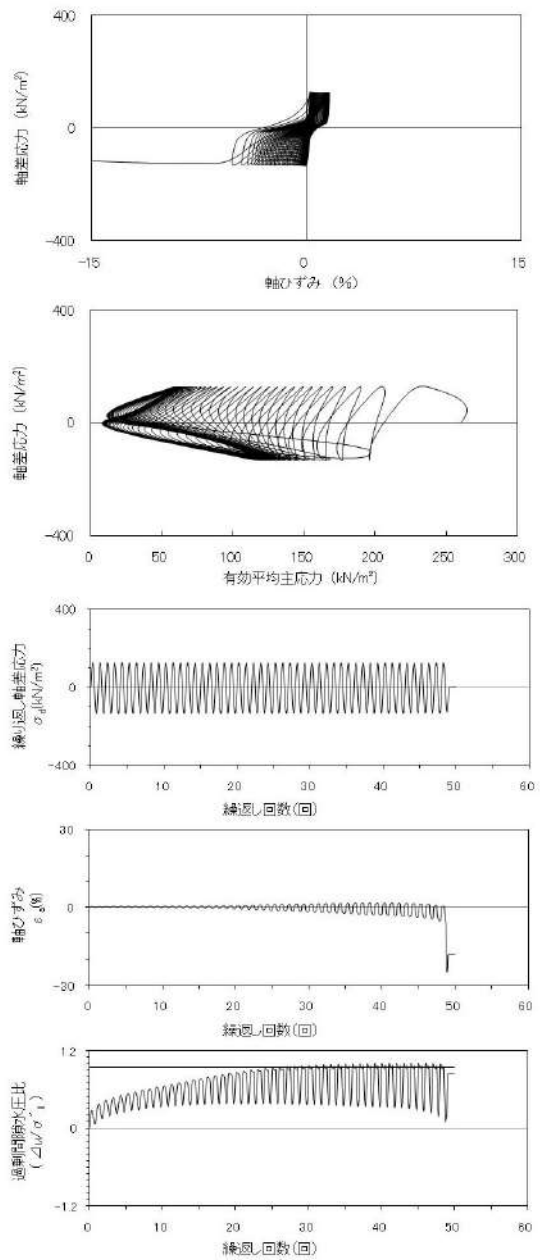
| 試験条件 | | |
|---|-------|--------|
| 供試体 | No.38 | |
| 圧密応力 σ'_c (kN/m ²) | 260 | |
| 繰返し応力振幅比 $\sigma_d/2\sigma'_0$ | 0.264 | |
| 試験結果 | | 液状化の判断 |
| 間隙水圧が上昇・蓄積する。 (過剰間隙水圧比95%を超える。) | ○ | 繰返し軟化 |
| 有効応力がゼロまで低下する。 | × | |
| 液体状となり流動する。 (ひずみが急増する。) | × | |
| 正のダイレイタンス特性によりせん断抵抗が作用する。 (有効応力が回復する。) | ○ | |

添付 1-169 図 液状化強度試験結果
(SW2-4(2) 試料(供試体 No. 38))



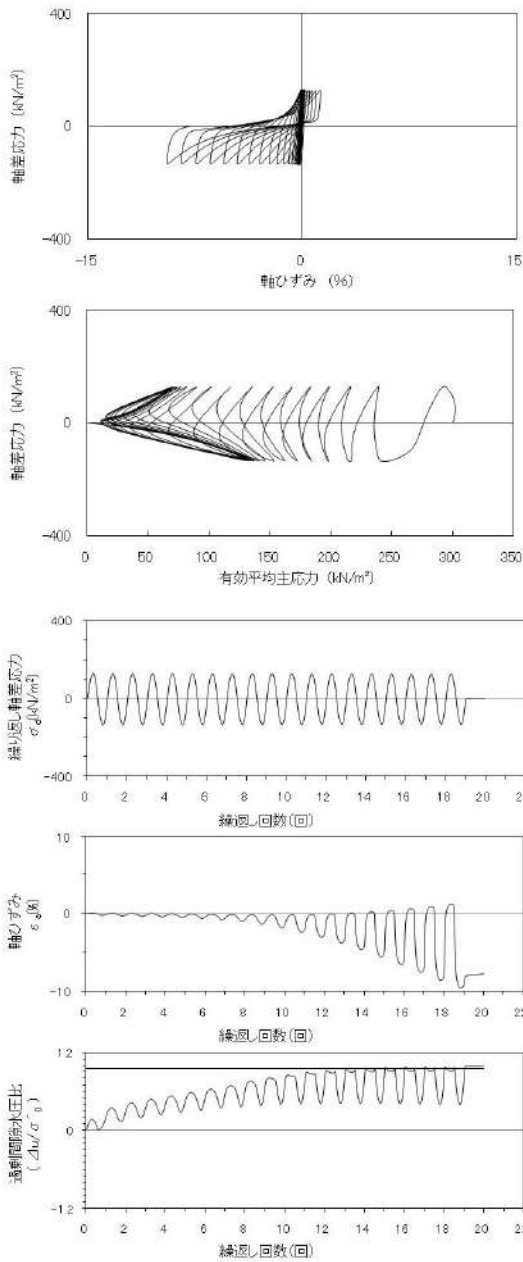
| 試験条件 | | 液状化の判断 | |
|---|-------|--------|-------|
| 供試体 | No.39 | ○ | 繰返し軟化 |
| 圧密応力 σ'_c (kN/m ²) | 260 | | |
| 繰返し応力振幅比 $\sigma_d/2\sigma'_0$ | 0.232 | | |
| 試験結果 | | | |
| 間隙水圧が上昇・蓄積する。 (過剰間隙水圧比95%を超える。) | ○ | × | 繰返し軟化 |
| 有効応力がゼロまで低下する。 | × | | |
| 液体状となり流動する。 (ひずみが急増する。) | × | | |
| 正のダイレイタンス特性によりせん断抵抗が作用する。 (有効応力が回復する。) | ○ | | |

添付 1-170 図 液状化強度試験結果
(SW2-4(2) 試料(供試体 No. 39))



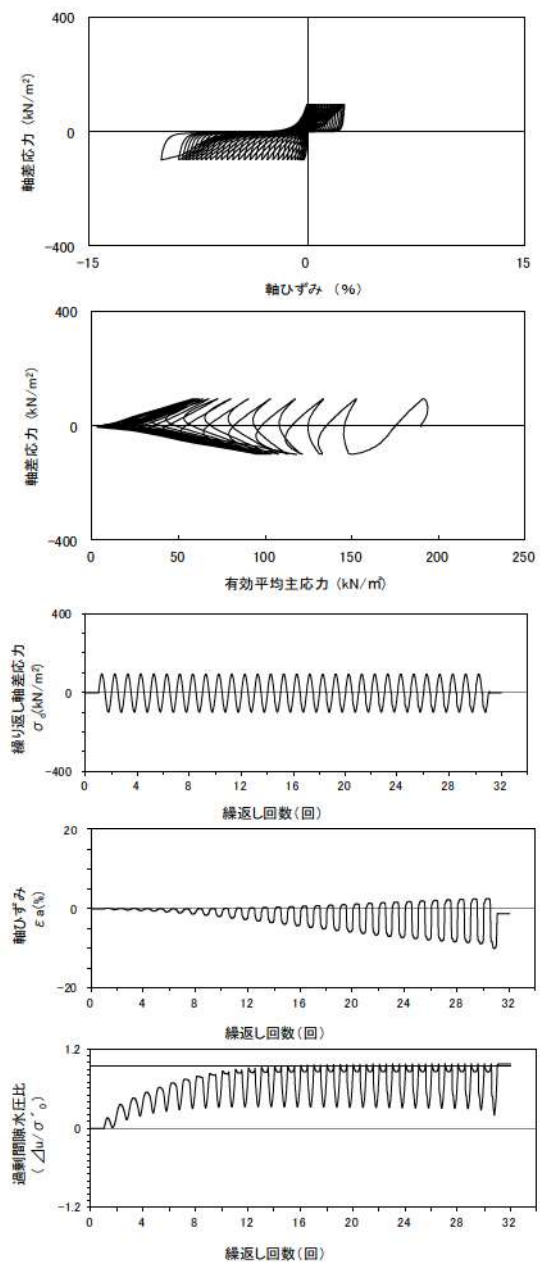
| 試験条件 | | 液状化の判断 | |
|---|-------|--------|-------|
| 供試体 | No.40 | ○ | 繰返し軟化 |
| 圧密応力 σ'_c (kN/m ²) | 260 | | |
| 繰返し応力振幅比 $\sigma_d/2\sigma'_0$ | 0.250 | | |
| 試験結果 | | | |
| 間隙水圧が上昇・蓄積する。 (過剰間隙水圧比95%を超える。) | ○ | × | 繰返し軟化 |
| 有効応力がゼロまで低下する。 | × | | |
| 液体状となり流動する。 (ひずみが急増する。) | × | | |
| 正のダイレイタンス特性によりせん断抵抗が作用する。 (有効応力が回復する。) | ○ | | |

添付 1-171 図 液状化強度試験結果
(SW2-4(2) 試料(供試体 No. 40))



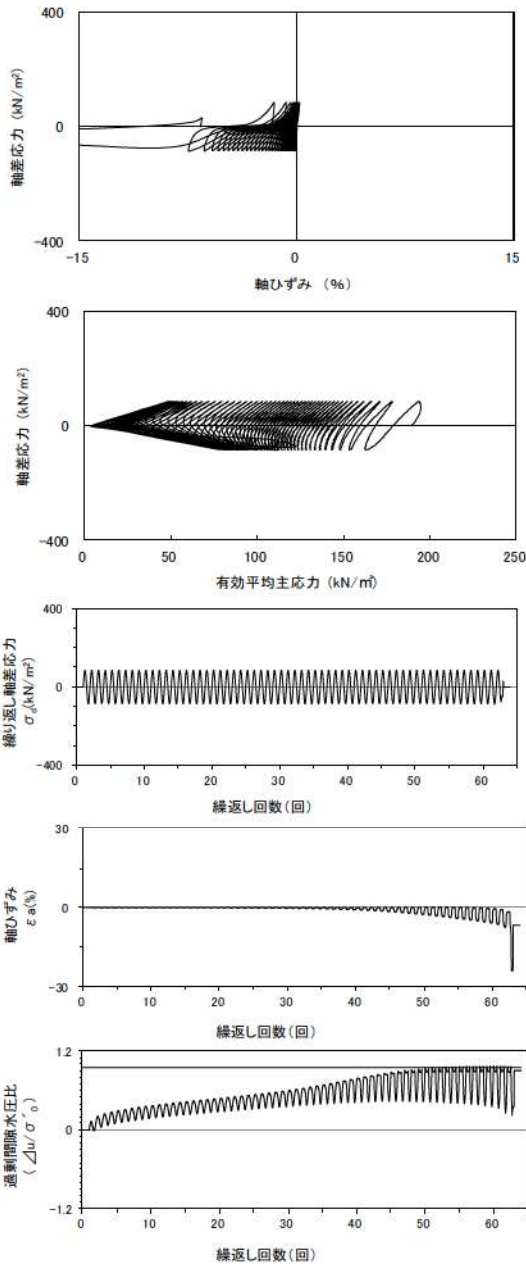
| 試験条件 | | |
|---|-------|--------|
| 供試体 | No.55 | |
| 圧密応力 σ'_c (kN/m ²) | 300 | |
| 繰返し応力振幅比 $\sigma_d/2\sigma'_c$ | 0.220 | |
| 試験結果 | | 液状化の判断 |
| 間隙水圧が上昇・蓄積する。 (過剰間隙水圧比95%を超える。) | ○ | 繰返し軟化 |
| 有効応力がゼロまで低下する。 | × | |
| 液体状となり流動する。 (ひずみが急増する。) | × | |
| 正のダイレイタンス特性によりせん断抵抗が作用する。 (有効応力が回復する。) | ○ | |

添付 1-172 図 液状化強度試験結果
(SW2-4(4) 試料(供試体 No. 55))



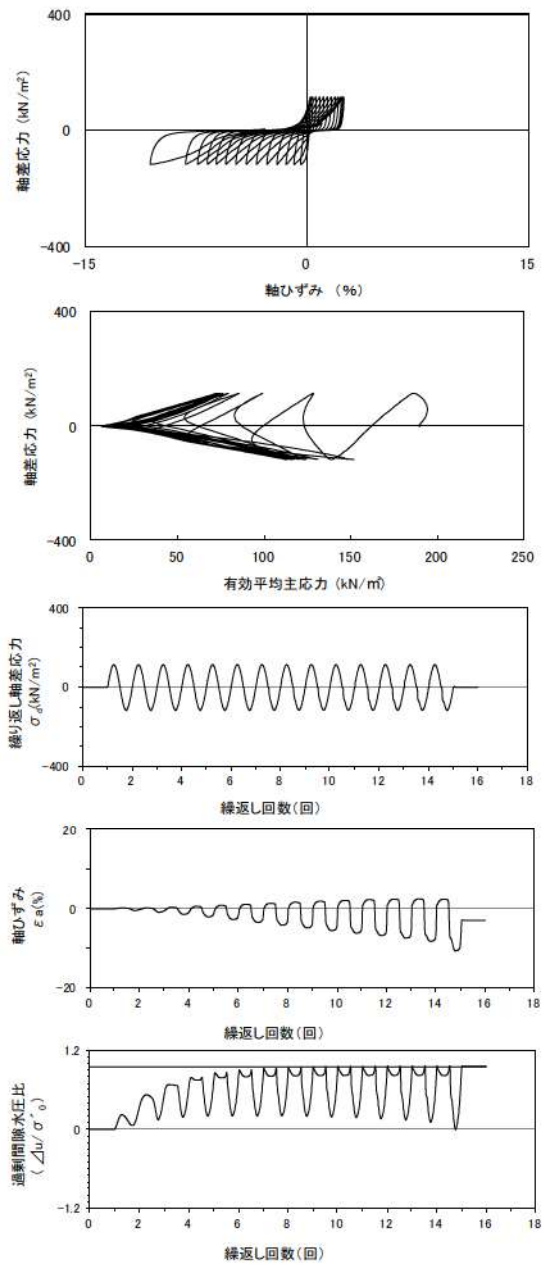
| 試験条件 | | |
|---|--------|--------|
| 供試体 | No.1-7 | |
| 圧密応力 σ'_c (kN/m ²) | 190 | |
| 繰返し応力振幅比 $\sigma_d/2\sigma'_c$ | 0.251 | |
| 試験結果 | | 液状化の判断 |
| 間隙水圧が上昇・蓄積する。 (過剰間隙水圧比95%を超える。) | ○ | 繰返し軟化 |
| 有効応力がゼロまで低下する。 | × | |
| 液体状となり流動する。 (ひずみが急増する。) | × | |
| 正のダイレイタンス特性によりせん断抵抗が作用する。 (有効応力が回復する。) | ○ | |

添付 1-173 図 液状化強度試験結果
(FS-1-②(1) 三軸試料(供試体 No. 1-7))



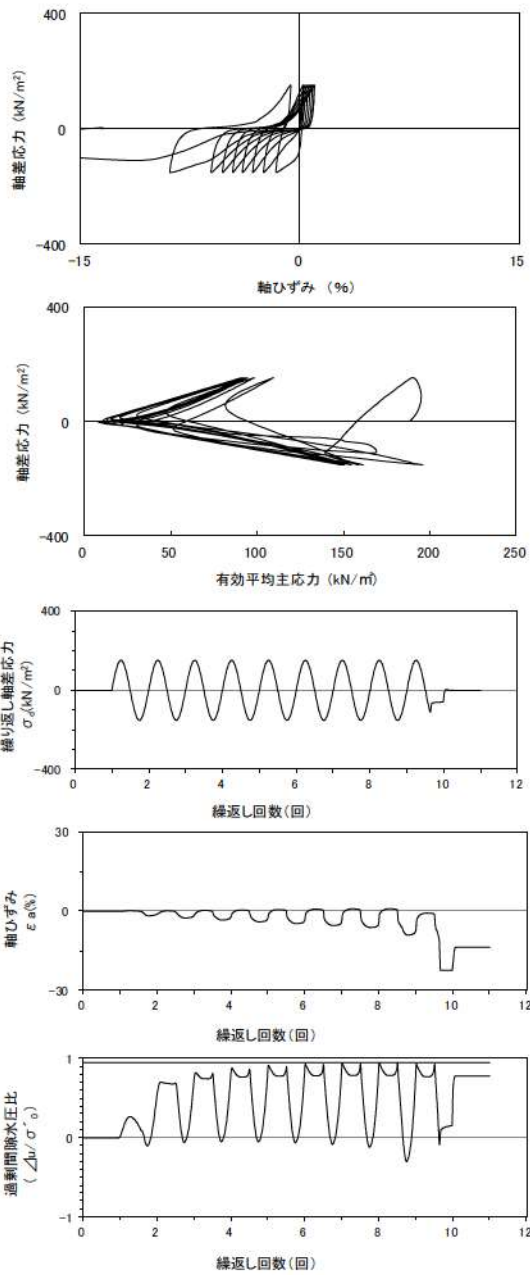
| 試験条件 | | 液状化の判断 |
|---|--------|--------|
| 供試体 | No.2-6 | |
| 圧密応力 σ'_c (kN/m ²) | 190 | |
| 繰返し応力振幅比 $\sigma_d/2\sigma'_c$ | 0.216 | 繰返し軟化 |
| 試験結果 | | |
| 間隙水圧が上昇・蓄積する。 (過剰間隙水圧比95%を超える。) | ○ | |
| 有効応力がゼロまで低下する。 | × | |
| 液体状となり流動する。 (ひずみが急増する。) | × | |
| 正のダイレイタンス特性によりせん断抵抗が作用する。 (有効応力が回復する。) | ○ | |

添付 1-174 図 液状化強度試験結果
(FS-1-②(1) 三軸試料(供試体 No. 2-6))



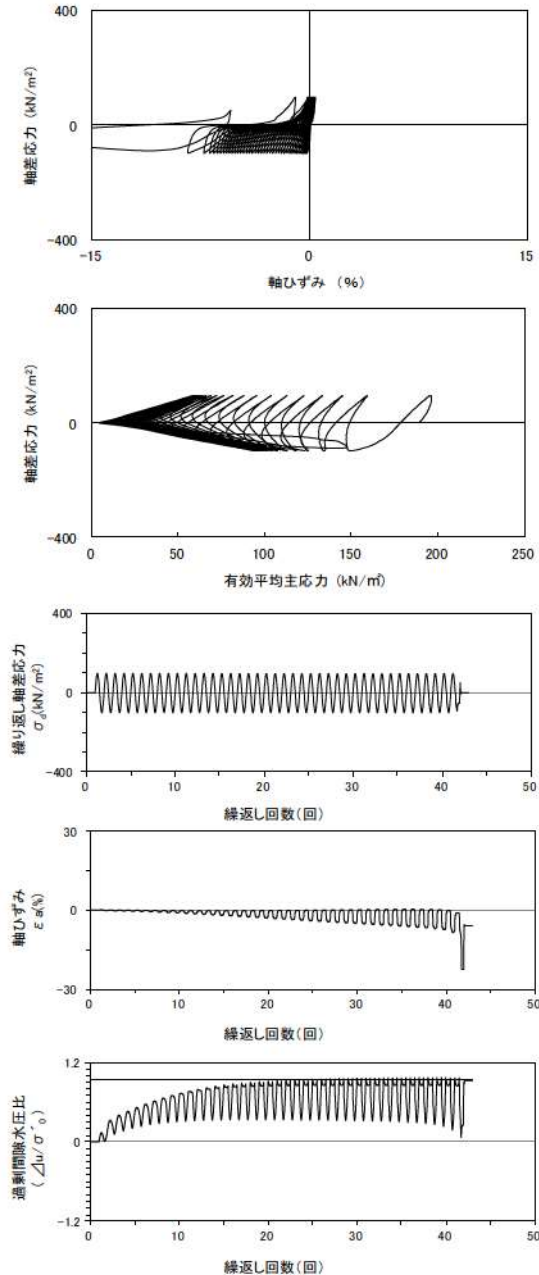
| 試験条件 | | 液状化の判断 |
|---|--------|--------|
| 供試体 | No.3-6 | |
| 圧密応力 σ'_c (kN/m ²) | 190 | |
| 繰返し応力振幅比 $\sigma_d/2\sigma'_c$ | 0.298 | 繰返し軟化 |
| 試験結果 | | |
| 間隙水圧が上昇・蓄積する。 (過剰間隙水圧比95%を超える。) | ○ | |
| 有効応力がゼロまで低下する。 | × | |
| 液体状となり流動する。 (ひずみが急増する。) | × | |
| 正のダイレイタンス特性によりせん断抵抗が作用する。 (有効応力が回復する。) | ○ | |

添付 1-175 図 液状化強度試験結果
(FS-1-②(1) 三軸試料(供試体 No. 3-6))



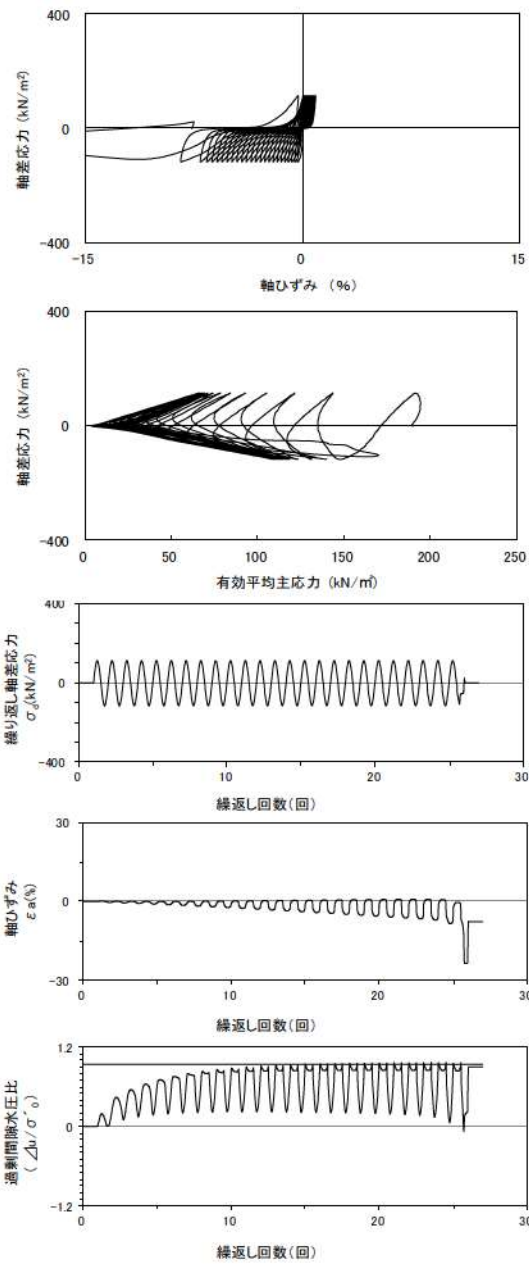
| 試験条件 | | 液状化の判断 | |
|---|--------|--------|-------|
| 供試体 | No.4-6 | ○ | 繰返し軟化 |
| 圧密応力 σ'_c (kN/m ²) | 190 | | |
| 繰返し応力振幅比 $\sigma_d/2\sigma'_c$ | 0.391 | | |
| 試験結果 | | | |
| 間隙水圧が上昇・蓄積する。 (過剰間隙水圧比95%を超える。) | ○ | ○ | 繰返し軟化 |
| 有効応力がゼロまで低下する。 | × | | |
| 液体状となり流動する。 (ひずみが急増する。) | × | | |
| 正のダイレイタンス特性によりせん断抵抗が作用する。 (有効応力が回復する。) | ○ | | |

添付 1-176 図 液状化強度試験結果
(FS-1-②)(1) 三軸試料(供試体 No. 4-6)



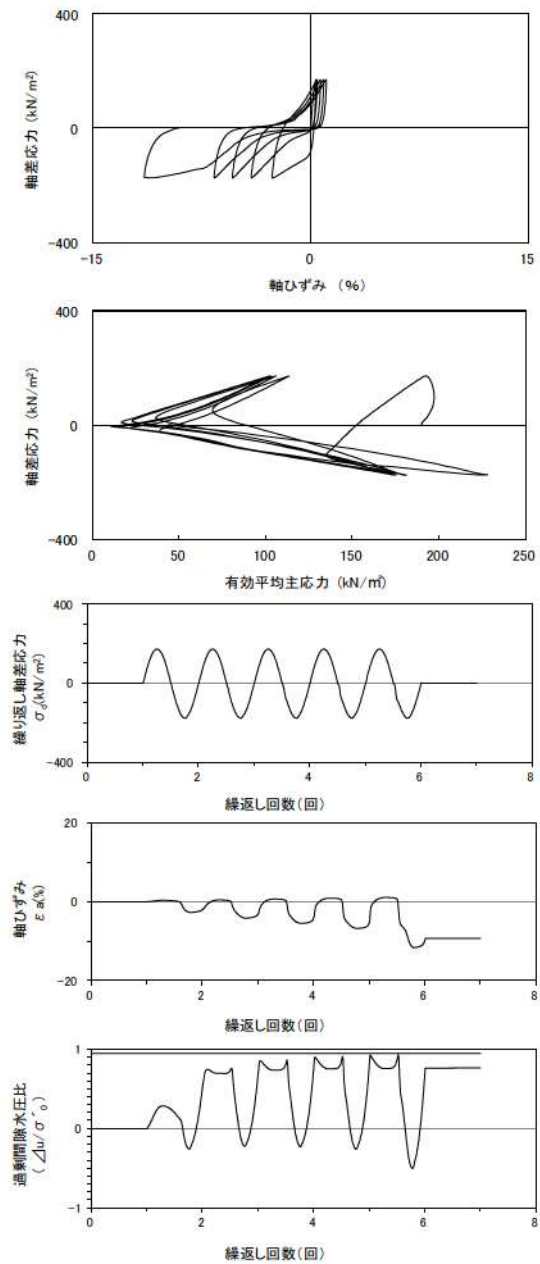
| 試験条件 | | 液状化の判断 | |
|---|--------|--------|-------|
| 供試体 | No.1-8 | ○ | 繰返し軟化 |
| 圧密応力 σ'_c (kN/m ²) | 190 | | |
| 繰返し応力振幅比 $\sigma_d/2\sigma'_c$ | 0.253 | | |
| 試験結果 | | | |
| 間隙水圧が上昇・蓄積する。 (過剰間隙水圧比95%を超える。) | ○ | ○ | 繰返し軟化 |
| 有効応力がゼロまで低下する。 | × | | |
| 液体状となり流動する。 (ひずみが急増する。) | × | | |
| 正のダイレイタンス特性によりせん断抵抗が作用する。 (有効応力が回復する。) | ○ | | |

添付 1-177 図 液状化強度試験結果
(FS-1-②)(2) 三軸試料(供試体 No. 1-8)



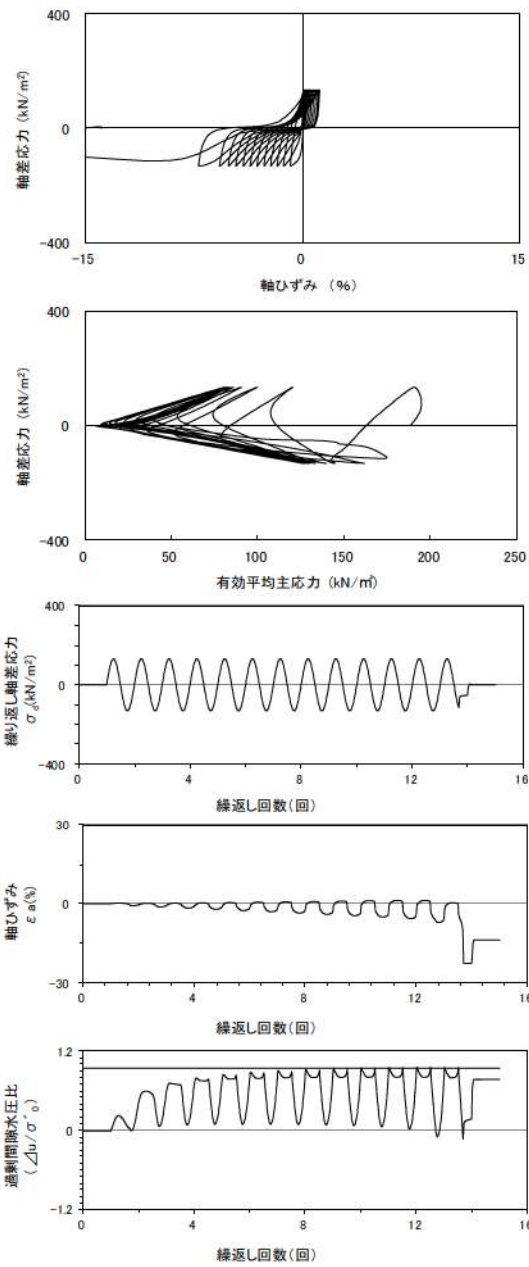
| 試験条件 | | |
|---|--------|--------|
| 供試体 | No.2-7 | |
| 圧密応力 σ'_c (kN/m ²) | 190 | |
| 繰返し応力振幅比 $\sigma_d/2\sigma'_0$ | 0.301 | |
| 試験結果 | | 液状化の判断 |
| 間隙水圧が上昇・蓄積する。 (過剰間隙水圧比95%を超える。) | ○ | 繰返し軟化 |
| 有効応力がゼロまで低下する。 | × | |
| 液体状となり流動する。 (ひずみが急増する。) | × | |
| 正のダイレイタンス特性によりせん断抵抗が作用する。 (有効応力が回復する。) | ○ | |

添付 1-178 図 液状化強度試験結果
(FS-1-②) (2) 三軸試料(供試体 No. 2-7))



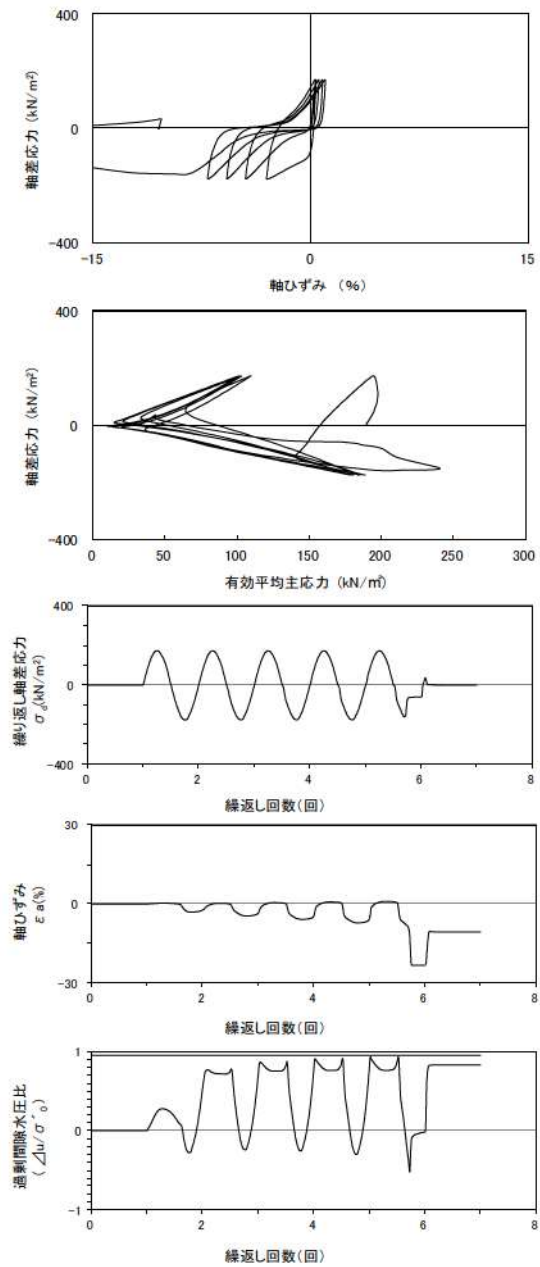
| 試験条件 | | |
|---|--------|--------|
| 供試体 | No.3-7 | |
| 圧密応力 σ'_c (kN/m ²) | 190 | |
| 繰返し応力振幅比 $\sigma_d/2\sigma'_0$ | 0.447 | |
| 試験結果 | | 液状化の判断 |
| 間隙水圧が上昇・蓄積する。 (過剰間隙水圧比95%を超える。) | × | 非液状化 |
| 有効応力がゼロまで低下する。 | × | |
| 液体状となり流動する。 (ひずみが急増する。) | × | |
| 正のダイレイタンス特性によりせん断抵抗が作用する。 (有効応力が回復する。) | ○ | |

添付 1-179 図 液状化強度試験結果
(FS-1-②) (2) 三軸試料(供試体 No. 3-7))



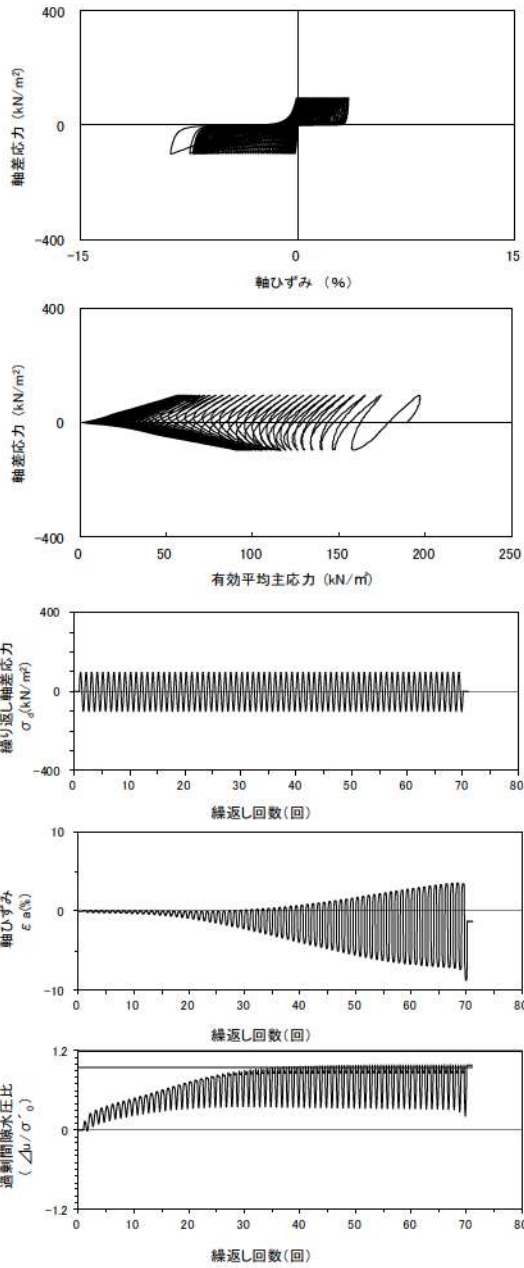
| 試験条件 | | |
|---|--------|--------|
| 供試体 | No.4-7 | |
| 圧密応力 σ'_c (kN/m ²) | 190 | |
| 繰返し応力振幅比 $\sigma_d/2\sigma'_c$ | 0.348 | |
| 試験結果 | | 液状化の判断 |
| 間隙水圧が上昇・蓄積する。 (過剰間隙水圧比95%を超える。) | ○ | 繰返し軟化 |
| 有効応力がゼロまで低下する。 | × | |
| 液体状となり流動する。 (ひずみが急増する。) | × | |
| 正のダイレイタンス特性によりせん断抵抗が作用する。 (有効応力が回復する。) | ○ | |

添付 1-180 図 液状化強度試験結果
(FS-1-②)(2) 三軸試料(供試体 No. 4-7))



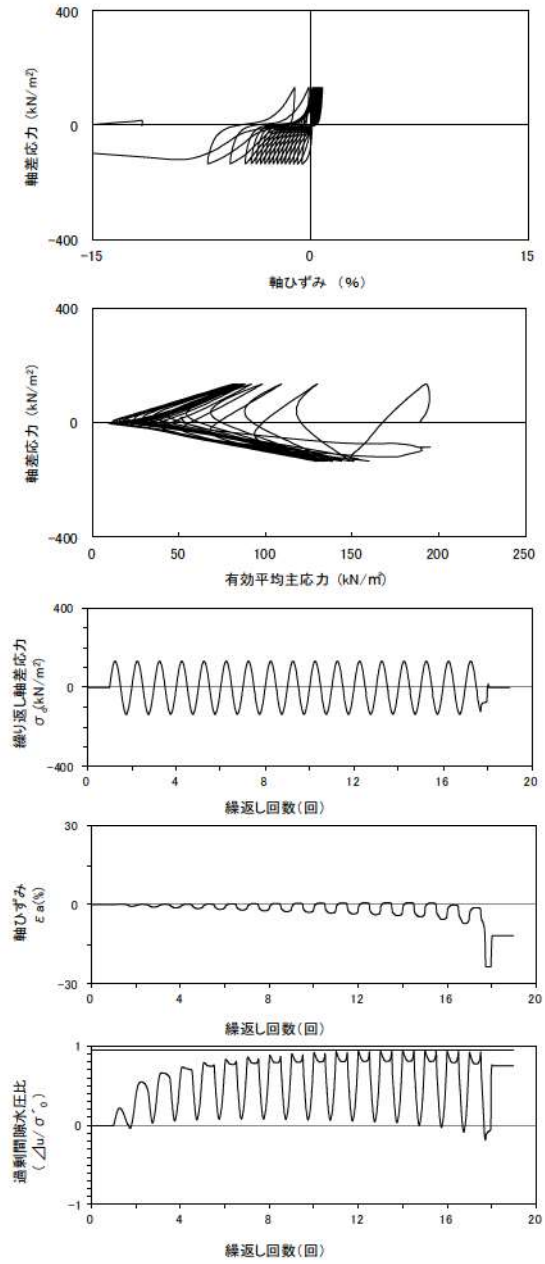
| 試験条件 | | |
|---|--------|--------|
| 供試体 | No.1-9 | |
| 圧密応力 σ'_c (kN/m ²) | 190 | |
| 繰返し応力振幅比 $\sigma_d/2\sigma'_c$ | 0.455 | |
| 試験結果 | | 液状化の判断 |
| 間隙水圧が上昇・蓄積する。 (過剰間隙水圧比95%を超える。) | × | 非液状化 |
| 有効応力がゼロまで低下する。 | × | |
| 液体状となり流動する。 (ひずみが急増する。) | × | |
| 正のダイレイタンス特性によりせん断抵抗が作用する。 (有効応力が回復する。) | ○ | |

添付 1-181 図 液状化強度試験結果
(FS-1-②)(3) 三軸試料(供試体 No. 1-9))



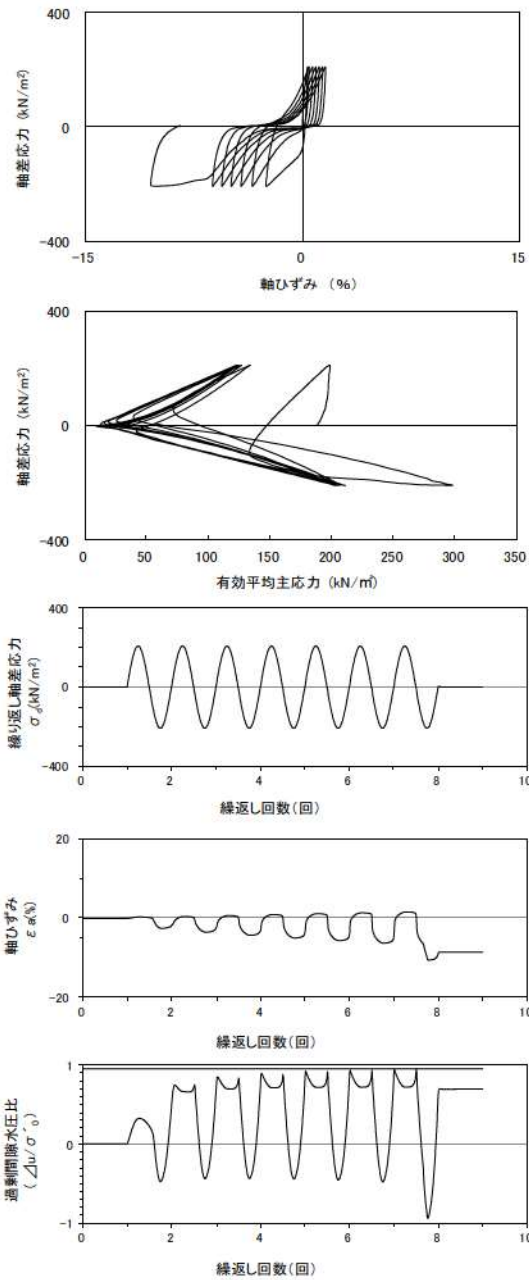
| 試験条件 | | |
|---|--------|--------|
| 供試体 | No.2-8 | |
| 圧密応力 σ'_c (kN/m^2) | 190 | |
| 繰返し応力振幅比 $\sigma_d / 2\sigma'_c$ | 0.254 | |
| 試験結果 | | 液状化の判断 |
| 間隙水圧が上昇・蓄積する。 (過剰間隙水圧比95%を超える。) | ○ | 繰返し軟化 |
| 有効応力がゼロまで低下する。 | × | |
| 液体状となり流動する。 (ひずみが急増する。) | × | |
| 正のダイレイタンス特性によりせん断抵抗が作用する。 (有効応力が回復する。) | ○ | |

添付 1-182 図 液状化強度試験結果
(FS-1-②) (3) 三軸試料(供試体 No. 2-8))



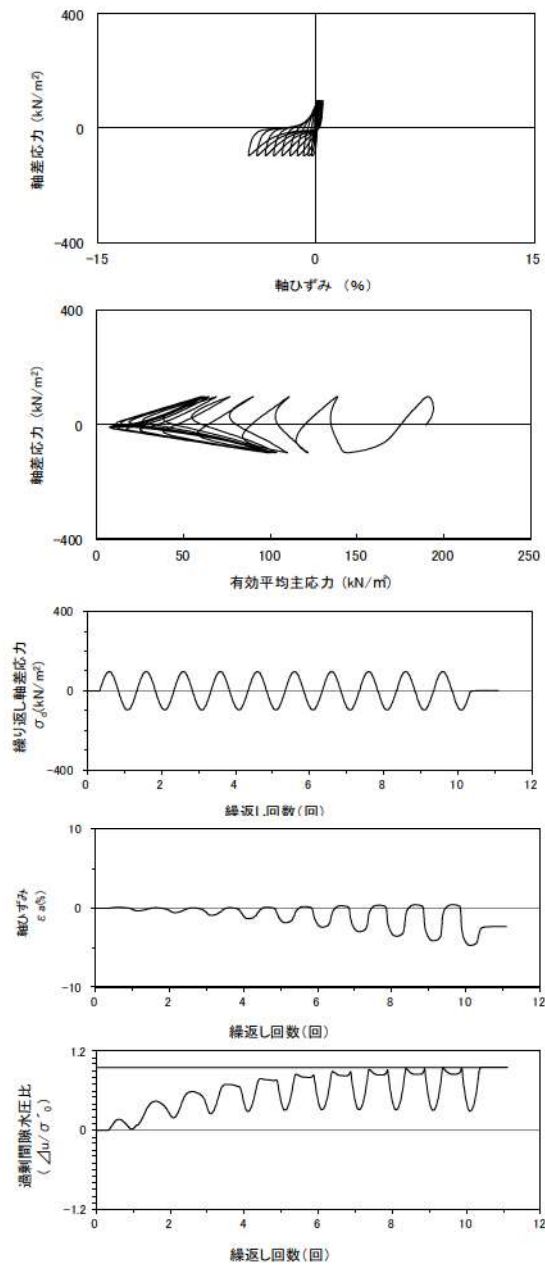
| 試験条件 | | |
|---|--------|--------|
| 供試体 | No.3-8 | |
| 圧密応力 σ'_c (kN/m^2) | 190 | |
| 繰返し応力振幅比 $\sigma_d / 2\sigma'_c$ | 0.358 | |
| 試験結果 | | 液状化の判断 |
| 間隙水圧が上昇・蓄積する。 (過剰間隙水圧比95%を超える。) | × | 非液状化 |
| 有効応力がゼロまで低下する。 | × | |
| 液体状となり流動する。 (ひずみが急増する。) | × | |
| 正のダイレイタンス特性によりせん断抵抗が作用する。 (有効応力が回復する。) | ○ | |

添付 1-183 図 液状化強度試験結果
(FS-1-②) (3) 三軸試料(供試体 No. 3-8))



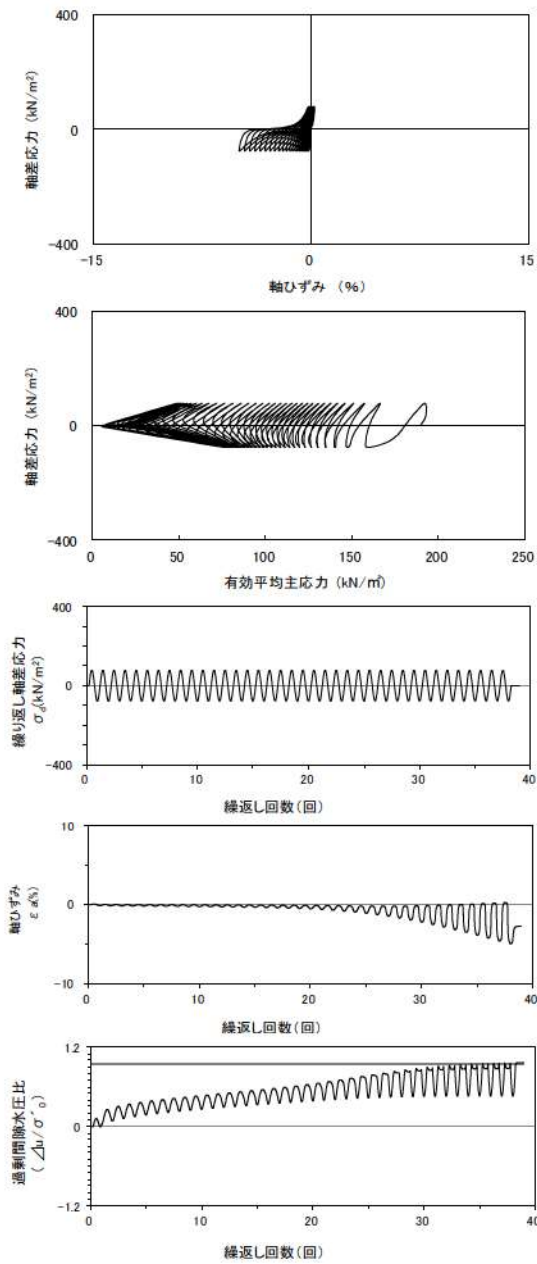
| 試験条件 | | 液状化の判断 | |
|--|--------|--------|-------|
| 供試体 | No.4-8 | × | 非液状化 |
| 圧密応力 σ'_c (kN/m ²) | 190 | | |
| 繰返し応力振幅比 $\sigma_d/2\sigma'_c$ | 0.549 | | |
| 試験結果 | | | |
| 間隙水圧が上昇・蓄積する。 (過剰間隙水圧比95%を超える。) | × | ○ | 繰返し軟化 |
| 有効応力がゼロまで低下する。 | × | | |
| 液体状となり流動する。 (ひずみが急増する。) | × | | |
| 正のダイレイタンスー特性によりせん断抵抗が作用する。 (有効応力が回復する。) | ○ | | |

添付 1-184 図 液状化強度試験結果
(FS-1-② (3) 三軸試料(供試体 No. 4-8))



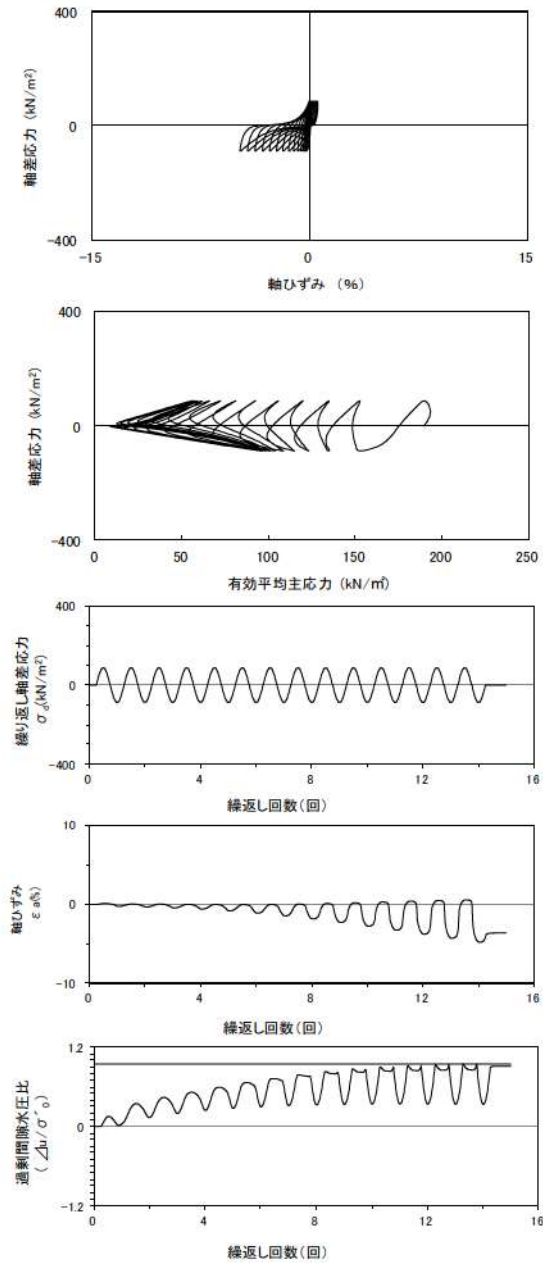
| 試験条件 | | 液状化の判断 | |
|--|---------|--------|-------|
| 供試体 | No.2-13 | ○ | 繰返し軟化 |
| 圧密応力 σ'_c (kN/m ²) | 190 | | |
| 繰返し応力振幅比 $\sigma_d/2\sigma'_c$ | 0.254 | | |
| 試験結果 | | | |
| 間隙水圧が上昇・蓄積する。 (過剰間隙水圧比95%を超える。) | ○ | × | 非液状化 |
| 有効応力がゼロまで低下する。 | × | | |
| 液体状となり流動する。 (ひずみが急増する。) | × | | |
| 正のダイレイタンスー特性によりせん断抵抗が作用する。 (有効応力が回復する。) | ○ | | |

添付 1-185 図 液状化強度試験結果
(FS-1-② A-1 三軸試料(供試体 No. 2-13))



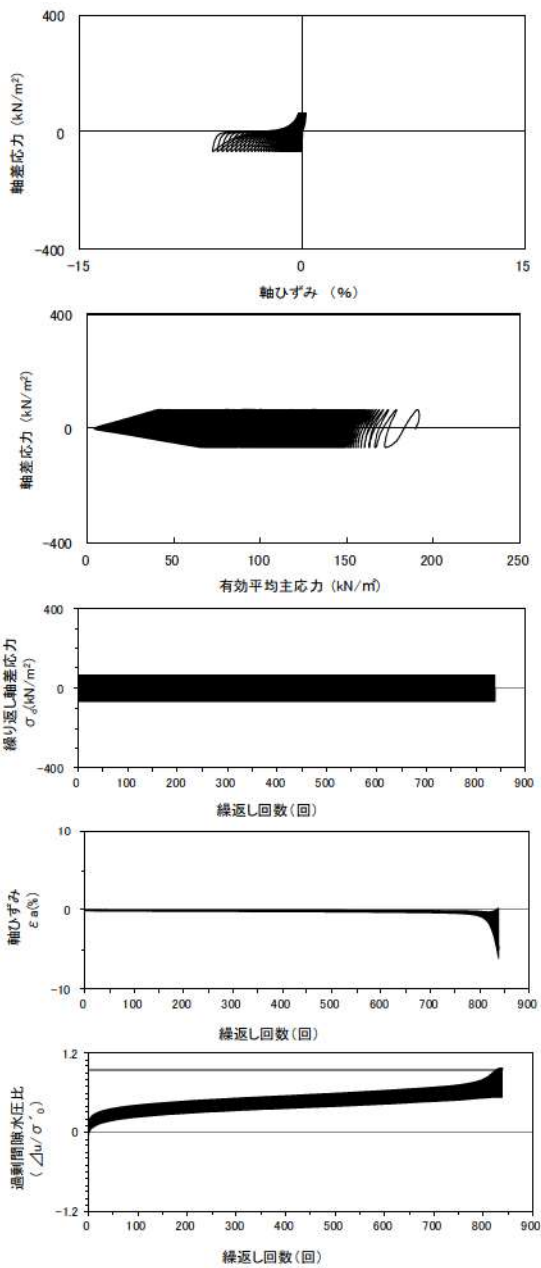
| 試験条件 | | 液状化の判断 | |
|--|---------|--------|-------|
| 供試体 | No.3-14 | ○ | 繰返し軟化 |
| 圧密応力 σ'_c (kN/m^2) | 190 | | |
| 繰返し応力振幅比 $\sigma_d/2\sigma'_0$ | 0.203 | | |
| 試験結果 | | | |
| 間隙水圧が上昇・蓄積する。 (過剰間隙水圧比95%を超える。) | ○ | ○ | 繰返し軟化 |
| 有効応力がゼロまで低下する。 | × | | |
| 液体状となり流動する。 (ひずみが急増する。) | × | | |
| 正のダイレイタンスー特性によりせん断抵抗が作用する。 (有効応力が回復する。) | ○ | | |

添付 1-186 図 液状化強度試験結果
(FS-1-② A-1 三軸試料(供試体 No. 3-14))



| 試験条件 | | 液状化の判断 | |
|--|---------|--------|-------|
| 供試体 | No.1-15 | ○ | 繰返し軟化 |
| 圧密応力 σ'_c (kN/m^2) | 190 | | |
| 繰返し応力振幅比 $\sigma_d/2\sigma'_0$ | 0.229 | | |
| 試験結果 | | | |
| 間隙水圧が上昇・蓄積する。 (過剰間隙水圧比95%を超える。) | ○ | ○ | 繰返し軟化 |
| 有効応力がゼロまで低下する。 | × | | |
| 液体状となり流動する。 (ひずみが急増する。) | × | | |
| 正のダイレイタンスー特性によりせん断抵抗が作用する。 (有効応力が回復する。) | ○ | | |

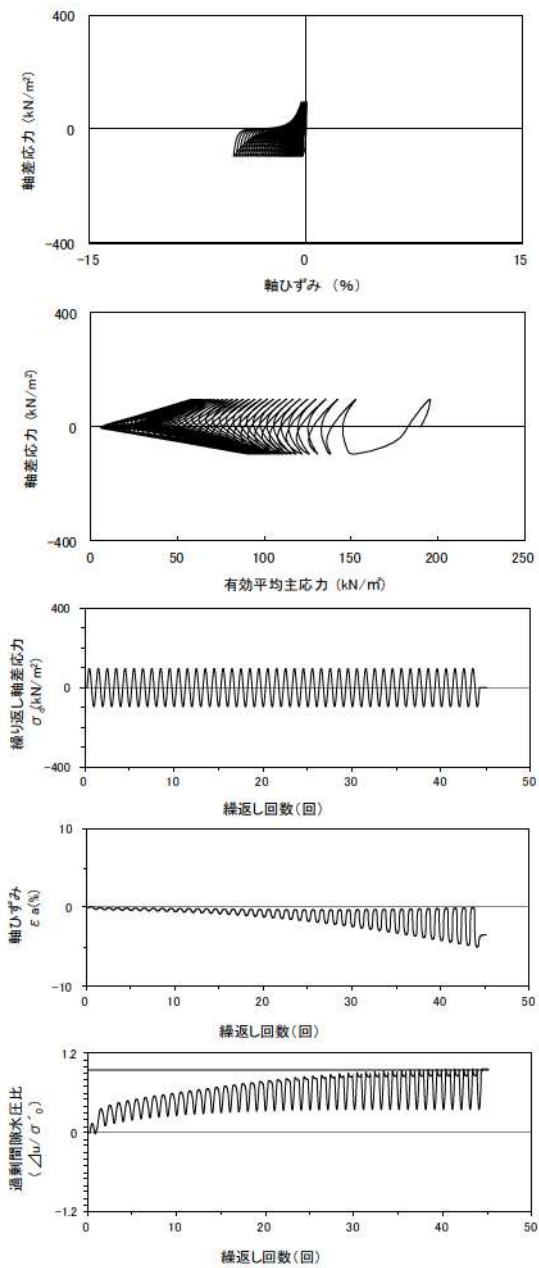
添付 1-187 図 液状化強度試験結果
(FS-1-② A-1 三軸試料(供試体 No. 1-15))



| 試験条件 | | 液状化の判断 | |
|--|---------|--------|-------|
| 供試体 | No.4-14 | × | 非液状化 |
| 圧密応力 σ'_c (kN/m ²) | 190 | | |
| 繰返し応力振幅比 $\sigma_d / 2\sigma'_0$ | 0.173 | | |
| 試験結果 | | ○ | |
| 間隙水圧が上昇・蓄積する。 (過剰間隙水圧比95%を超える。) | × | ○ | 繰返し軟化 |
| 有効応力がゼロまで低下する。 | × | | |
| 液体状となり流動する。 (ひずみが急増する。) | × | | |
| 正のダイレイタンスー特性によりせん断抵抗が作用する。 (有効応力が回復する。) | ○ | | |

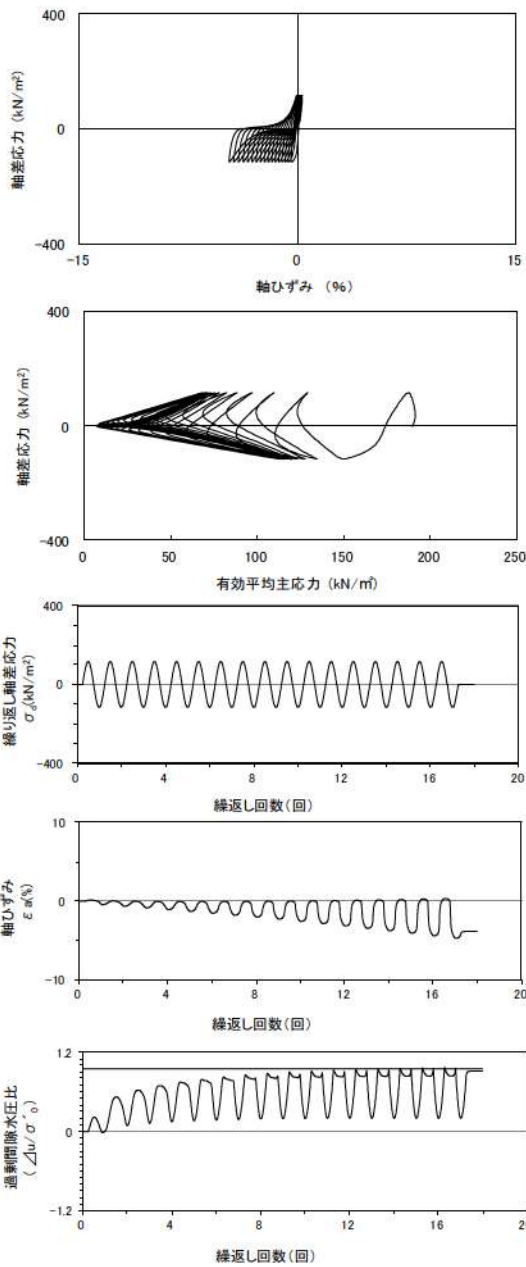
※繰返し回数 200 回で判定

添付 1-188 図 液状化強度試験結果
(FS-1-② A-1 三軸試料(供試体 No. 4-14))



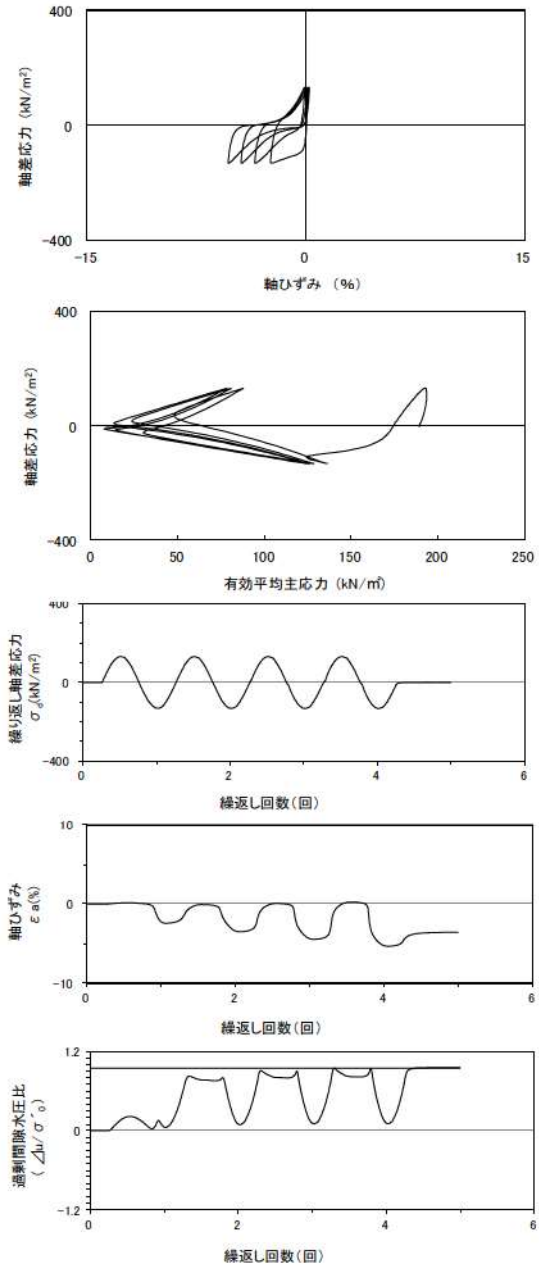
| 試験条件 | | 液状化の判断 | |
|--|---------|--------|-------|
| 供試体 | No.2-14 | ○ | 繰返し軟化 |
| 圧密応力 σ'_c (kN/m ²) | 190 | | |
| 繰返し応力振幅比 $\sigma_d / 2\sigma'_0$ | 0.251 | | |
| 試験結果 | | × | |
| 間隙水圧が上昇・蓄積する。 (過剰間隙水圧比95%を超える。) | ○ | ○ | 繰返し軟化 |
| 有効応力がゼロまで低下する。 | × | | |
| 液体状となり流動する。 (ひずみが急増する。) | × | | |
| 正のダイレイタンスー特性によりせん断抵抗が作用する。 (有効応力が回復する。) | ○ | | |

添付 1-189 図 液状化強度試験結果
(FS-1-② A-2 三軸試料(供試体 No. 2-14))



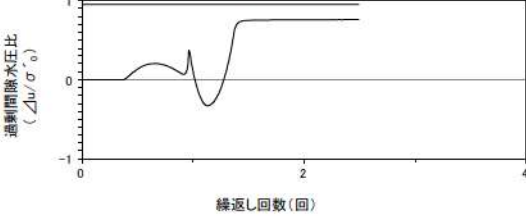
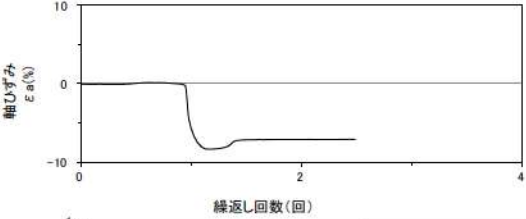
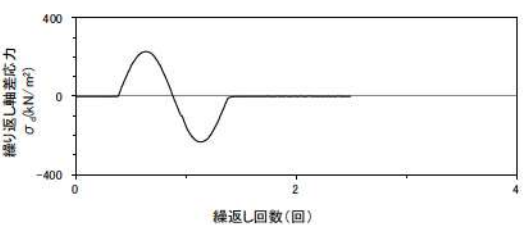
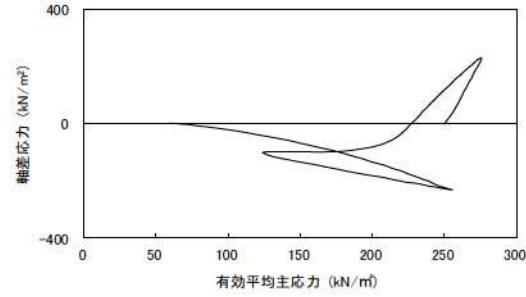
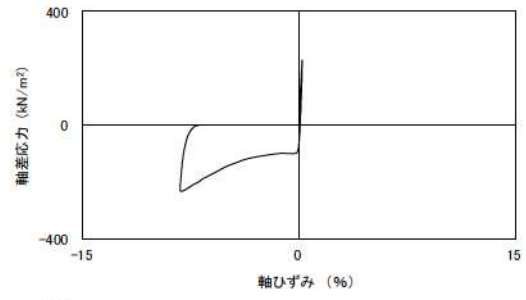
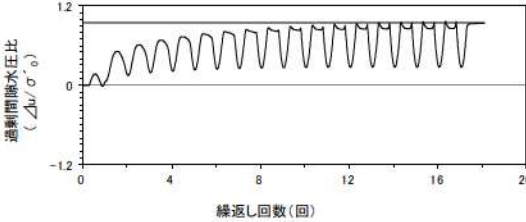
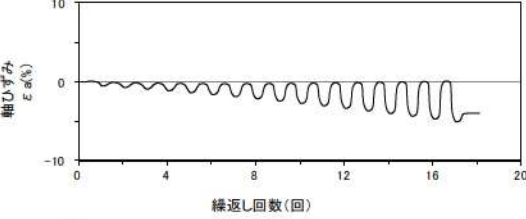
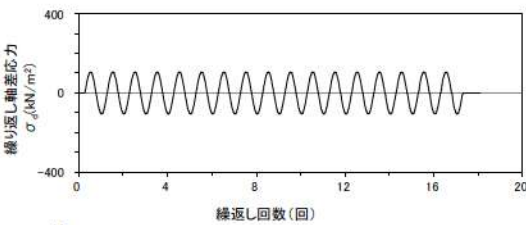
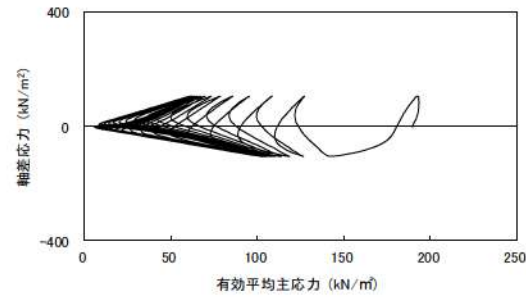
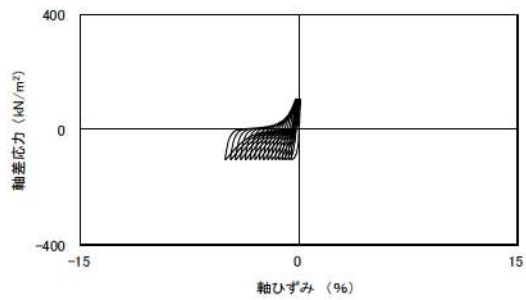
| 試験条件 | | 液状化の判断 | |
|---|---------|--------|-------|
| 供試体 | No.3-15 | ○ | 繰返し軟化 |
| 圧密応力 σ'_c (kN/m ²) | 190 | | |
| 繰返し応力振幅比 $\sigma_d/2\sigma'_c$ | 0.304 | | |
| 試験結果 | | | |
| 間隙水圧が上昇・蓄積する。 (過剰間隙水圧比95%を超える。) | ○ | ○ | 繰返し軟化 |
| 有効応力がゼロまで低下する。 | × | | |
| 液体状となり流動する。 (ひずみが急増する。) | × | | |
| 正のダイレイタンス特性によりせん断抵抗が作用する。 (有効応力が回復する。) | ○ | | |

添付 1-190 図 液状化強度試験結果
(FS-1-② A-2 三軸試料(供試体 No. 3-15))



| 試験条件 | | 液状化の判断 | |
|---|---------|--------|-------|
| 供試体 | No.4-15 | ○ | 繰返し軟化 |
| 圧密応力 σ'_c (kN/m ²) | 190 | | |
| 繰返し応力振幅比 $\sigma_d/2\sigma'_c$ | 0.347 | | |
| 試験結果 | | | |
| 間隙水圧が上昇・蓄積する。 (過剰間隙水圧比95%を超える。) | ○ | ○ | 繰返し軟化 |
| 有効応力がゼロまで低下する。 | × | | |
| 液体状となり流動する。 (ひずみが急増する。) | × | | |
| 正のダイレイタンス特性によりせん断抵抗が作用する。 (有効応力が回復する。) | ○ | | |

添付 1-191 図 液状化強度試験結果
(FS-1-② A-2 三軸試料(供試体 No. 4-15))

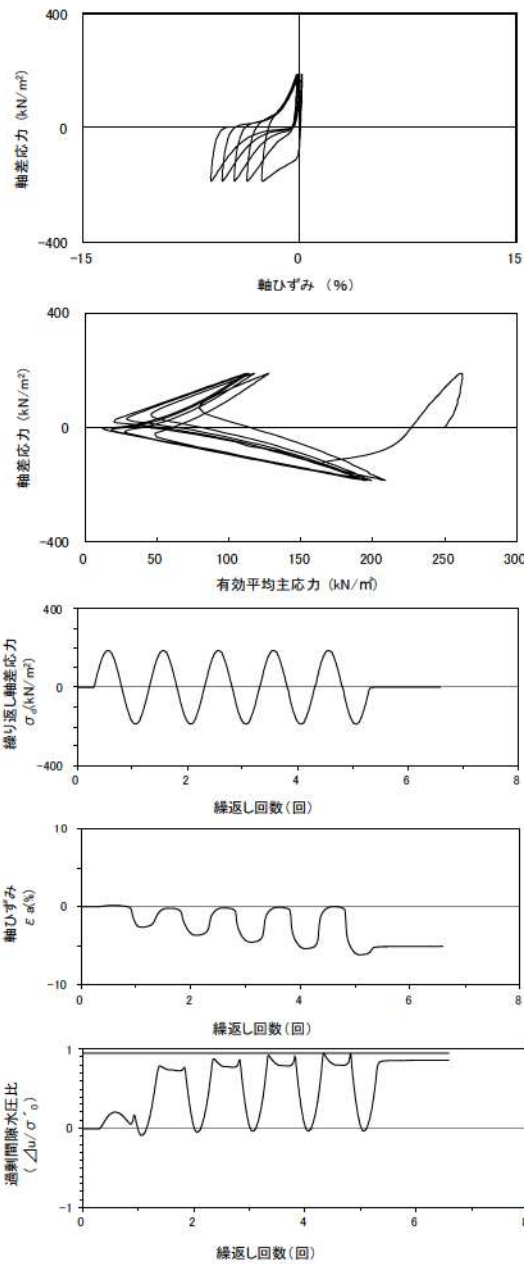


| 試験条件 | | 液状化の判断 | |
|---|---------|--------|--|
| 供試体 | No.1-16 | | |
| 圧密応力 σ'_c (kN/m ²) | 190 | | |
| 繰返し応力振幅比 $\sigma_d/2\sigma'_c$ | 0.277 | | |
| 試験結果 | | 液状化の判断 | |
| 間隙水圧が上昇・蓄積する。 (過剰間隙水圧比95%を超える。) | ○ | 繰返し軟化 | |
| 有効応力がゼロまで低下する。 | × | | |
| 液体状となり流動する。 (ひずみが急増する。) | × | | |
| 正のダイレイタンス特性によりせん断抵抗が作用する。 (有効応力が回復する。) | ○ | | |

添付 1-192 図 液状化強度試験結果 (FS-1-②) A-2 三軸試料(供試体 No. 1-16)

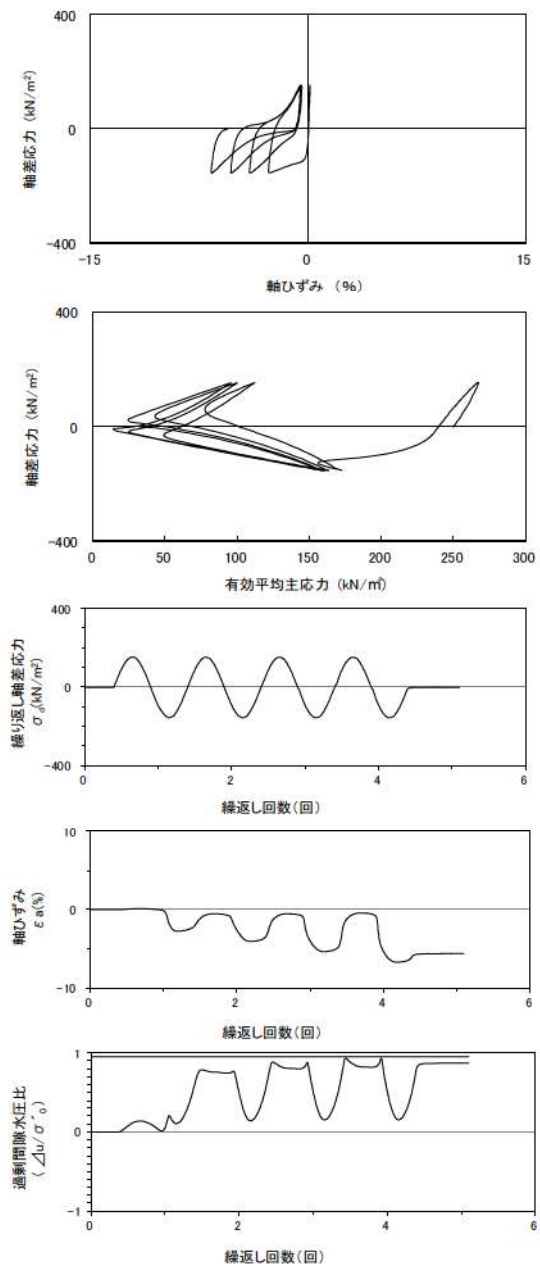
| 試験条件 | | 液状化の判断 | |
|---|---------|--------|--|
| 供試体 | No.4-41 | | |
| 圧密応力 σ'_c (kN/m ²) | 250 | | |
| 繰返し応力振幅比 $\sigma_d/2\sigma'_c$ | 0.462 | | |
| 試験結果 | | 液状化の判断 | |
| 間隙水圧が上昇・蓄積する。 (過剰間隙水圧比95%を超える。) | × | 非液状化 | |
| 有効応力がゼロまで低下する。 | × | | |
| 液体状となり流動する。 (ひずみが急増する。) | × | | |
| 正のダイレイタンス特性によりせん断抵抗が作用する。 (有効応力が回復する。) | ○ | | |

添付 1-193 図 液状化強度試験結果 (FS-1-④) A-2 三軸試料(供試体 No. 4-41)



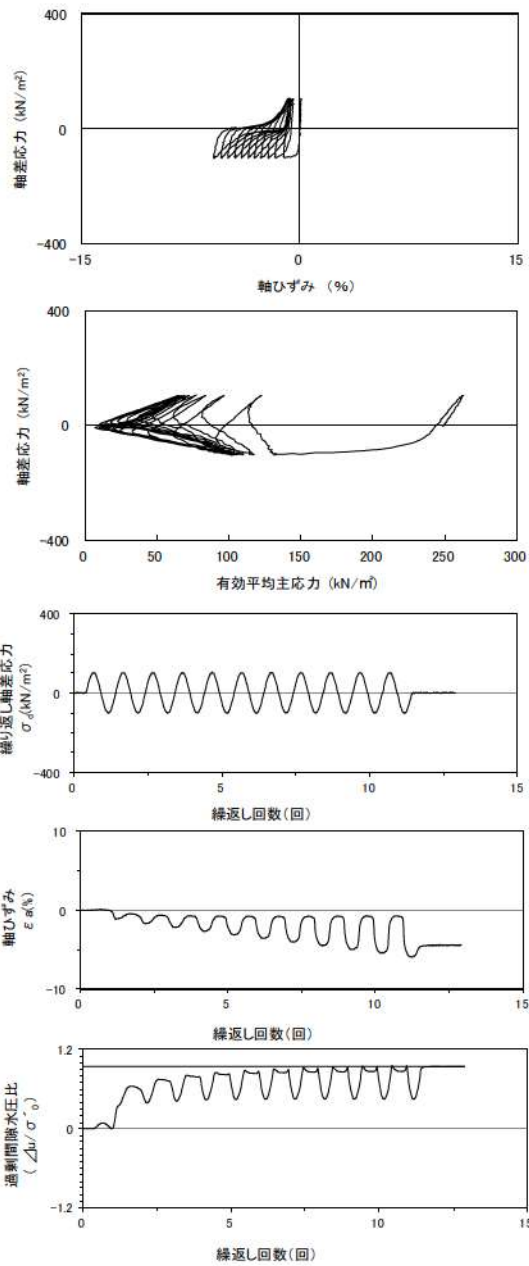
| 試験条件 | | 液状化の判断 | |
|---|---------|--------|------|
| 供試体 | No.1-38 | | 非液状化 |
| 圧密応力 σ'_c (kN/m ²) | 250 | | |
| 繰返し応力振幅比 $\sigma_d/2\sigma'_0$ | 0.375 | | |
| 試験結果 | | | |
| 間隙水圧が上昇・蓄積する。 (過剰間隙水圧比95%を超える。) | × | | 非液状化 |
| 有効応力がゼロまで低下する。 | × | | |
| 液体状となり流動する。 (ひずみが急増する。) | × | | |
| 正のダイレイタンス特性によりせん断抵抗が作用する。 (有効応力が回復する。) | ○ | | |

添付 1-194 図 液状化強度試験結果
(FS-1-④) A-2 三軸試料(供試体 No. 1-38)



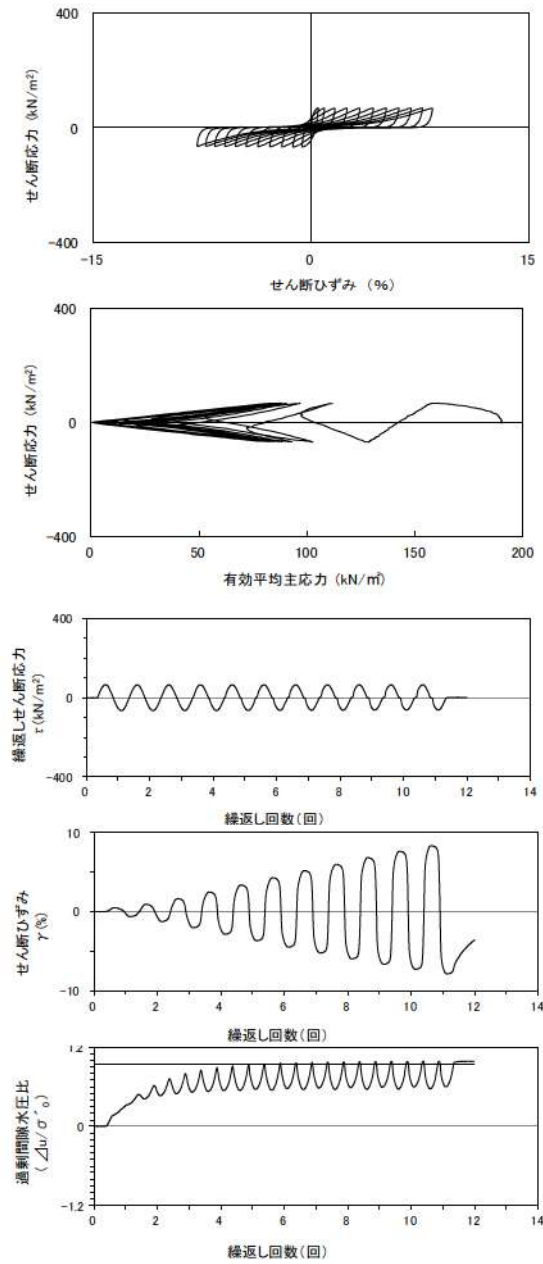
| 試験条件 | | 液状化の判断 | |
|---|---------|--------|------|
| 供試体 | No.3-40 | | 非液状化 |
| 圧密応力 σ'_c (kN/m ²) | 250 | | |
| 繰返し応力振幅比 $\sigma_d/2\sigma'_0$ | 0.308 | | |
| 試験結果 | | | |
| 間隙水圧が上昇・蓄積する。 (過剰間隙水圧比95%を超える。) | × | | 非液状化 |
| 有効応力がゼロまで低下する。 | × | | |
| 液体状となり流動する。 (ひずみが急増する。) | × | | |
| 正のダイレイタンス特性によりせん断抵抗が作用する。 (有効応力が回復する。) | ○ | | |

添付 1-195 図 液状化強度試験結果
(FS-1-④) A-2 三軸試料(供試体 No. 3-40)



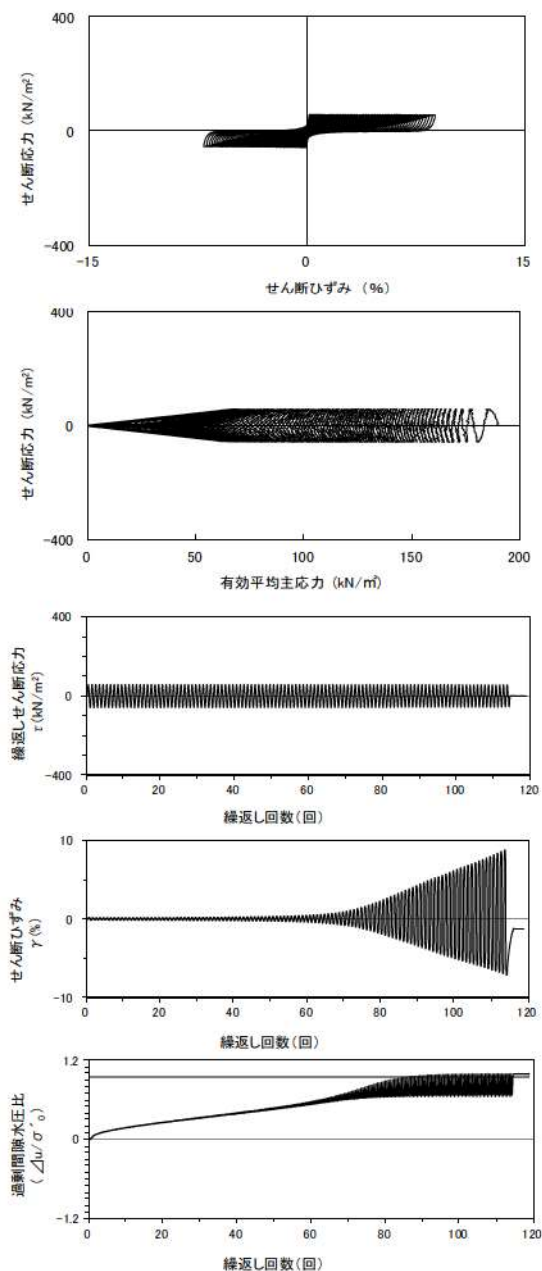
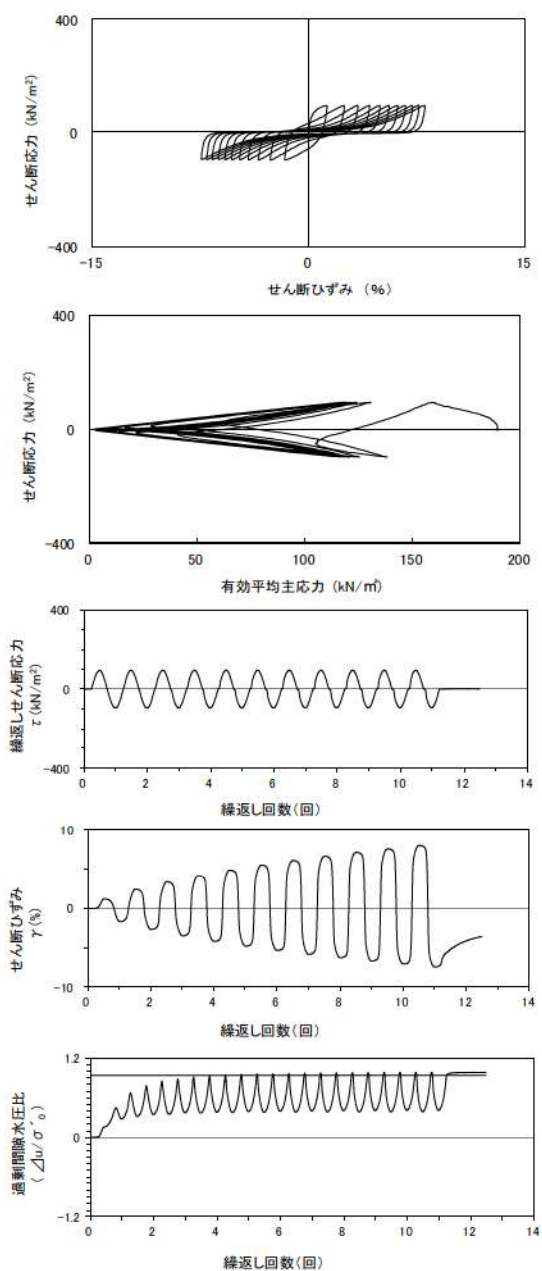
| 試験条件 | | 液状化の判断 | |
|---|---------|--------|-------|
| 供試体 | No.2-40 | ○ | 繰返し軟化 |
| 圧密応力 σ'_c (kN/m ²) | 250 | | |
| 繰返し応力振幅比 $\sigma_d/2\sigma'_c$ | 0.206 | | |
| 試験結果 | | ○ | |
| 間隙水圧が上昇・蓄積する。 (過剰間隙水圧比95%を超える。) | ○ | | |
| 有効応力がゼロまで低下する。 | × | | |
| 液体状となり流動する。 (ひずみが急増する。) | × | | |
| 正のダイレイタンス特性によりせん断抵抗が作用する。 (有効応力が回復する。) | ○ | ○ | |

添付 1-196 図 液状化強度試験結果
(FS-1-④) A-2 三軸試料(供試体 No. 2-40)



| 試験条件 | | 液状化の判断 | |
|---|---------|--------|-------|
| 供試体 | No.4-12 | ○ | 繰返し軟化 |
| 圧密応力 σ'_c (kN/m ²) | 190 | | |
| 繰返し応力振幅比 $\sigma_d/2\sigma'_c$ | 0.354 | | |
| 試験結果 | | ○ | |
| 間隙水圧が上昇・蓄積する。 (過剰間隙水圧比95%を超える。) | ○ | | |
| 有効応力がゼロまで低下する。 | × | | |
| 液体状となり流動する。 (ひずみが急増する。) | × | | |
| 正のダイレイタンス特性によりせん断抵抗が作用する。 (有効応力が回復する。) | ○ | ○ | |

添付 1-197 図 液状化強度試験結果
(FS-1-②)(1) 中空試料(供試体 No. 4-12)

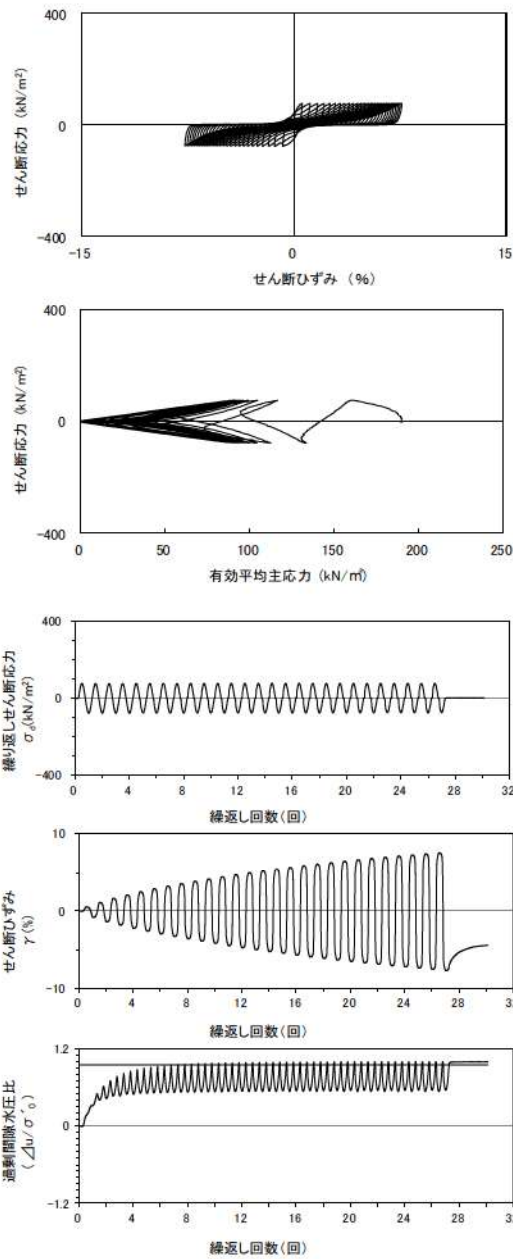


| 試験条件 | | 液状化の判断 | |
|---|---------|----------------------------|--|
| 供試体 | No.1-10 | | |
| 圧密応力 σ'_c (kN/m ²) | 190 | | |
| 繰返し応力振幅比 $\sigma_d/2\sigma'_c$ | 0.505 | | |
| 試験結果 | | 液状化の判断 | |
| 間隙水圧が上昇・蓄積する。 (過剰間隙水圧比95%を超える。) | ○ | 繰返し軟化 (サイクリック モビリティ) | |
| 有効応力がゼロまで低下する。 | × | | |
| 液体状となり流動する。 (ひずみが急増する。) | × | | |
| 正のダイレイタンス特性により せん断抵抗が作用する。 (有効応力が回復する。) | ○ | | |

添付 1-198 図 液状化強度試験結果
(FS-1-②(1)中空試料(供試体 No. 1-10))

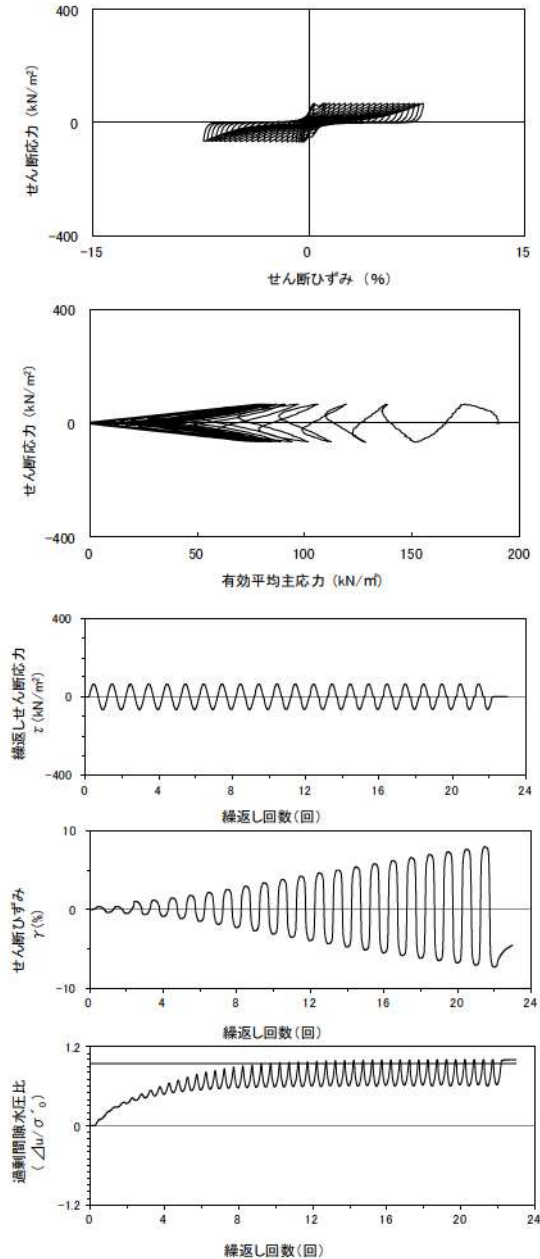
| 試験条件 | | 液状化の判断 | |
|---|--------|----------------------------|--|
| 供試体 | No.2-9 | | |
| 圧密応力 σ'_c (kN/m ²) | 190 | | |
| 繰返し応力振幅比 $\sigma_d/2\sigma'_c$ | 0.302 | | |
| 試験結果 | | 液状化の判断 | |
| 間隙水圧が上昇・蓄積する。 (過剰間隙水圧比95%を超える。) | ○ | 繰返し軟化 (サイクリック モビリティ) | |
| 有効応力がゼロまで低下する。 | ○ | | |
| 液体状となり流動する。 (ひずみが急増する。) | × | | |
| 正のダイレイタンス特性により せん断抵抗が作用する。 (有効応力が回復する。) | ○ | | |

添付 1-199 図 液状化強度試験結果
(FS-1-②(1)中空試料(供試体 No. 2-9))



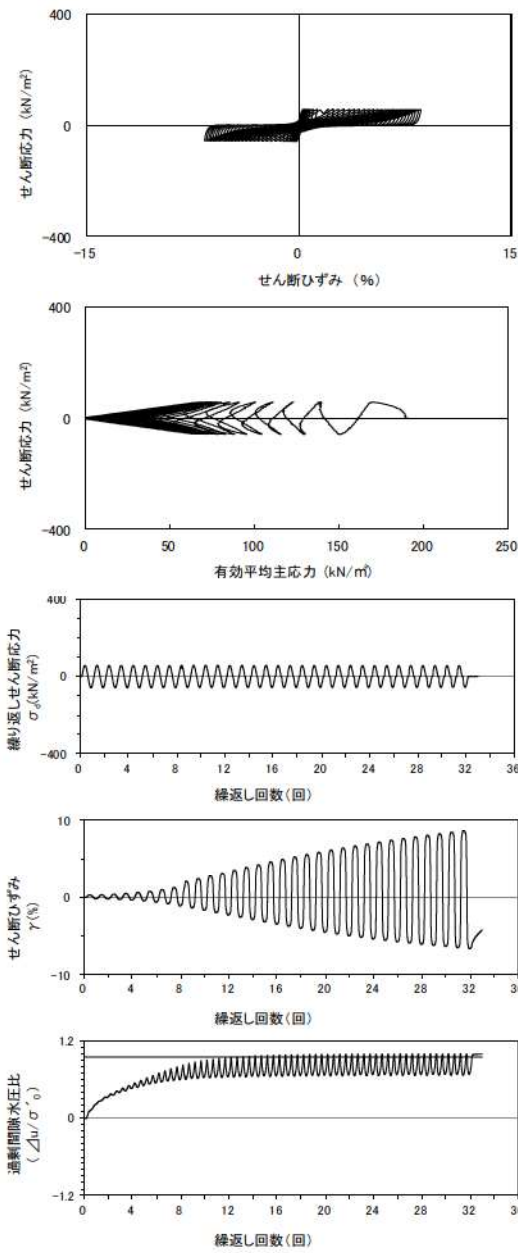
| 試験条件 | | 液状化の判断 | |
|--|--------|--------|----------------------------|
| 供試体 | No.3-9 | ○ | 繰返し軟化 (サイクリック モビリティ) |
| 圧密応力 σ'_0 (kN/m ²) | 190 | | |
| 繰返し応力振幅比 $\sigma_d/2\sigma'_0$ | 0.404 | | |
| 試験結果 | | | |
| 間隙水圧が上昇・蓄積する。 (過剰間隙水圧比95%を超える。) | ○ | ○ | 繰返し軟化 (サイクリック モビリティ) |
| 有効応力がゼロまで低下する。 | ○ | | |
| 液体状となり流動する。 (ひずみが急増する。) | × | | |
| 正のダイレイタンスー特性により せん断抵抗が作用する。 (有効応力が回復する。) | ○ | | |

添付 1-200 図 液状化強度試験結果
(FS-1-②(1) 中空試料(供試体 No. 3-9))



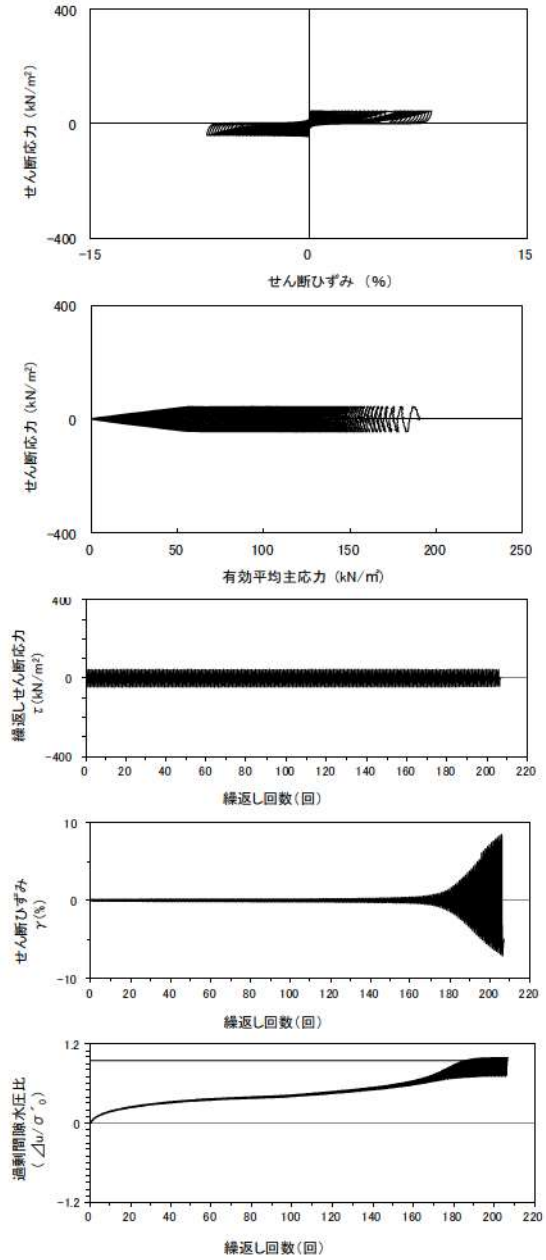
| 試験条件 | | 液状化の判断 | |
|--|---------|--------|----------------------------|
| 供試体 | No.4-10 | ○ | 繰返し軟化 (サイクリック モビリティ) |
| 圧密応力 σ'_0 (kN/m ²) | 190 | | |
| 繰返し応力振幅比 $\sigma_d/2\sigma'_0$ | 0.352 | | |
| 試験結果 | | | |
| 間隙水圧が上昇・蓄積する。 (過剰間隙水圧比95%を超える。) | ○ | ○ | 繰返し軟化 (サイクリック モビリティ) |
| 有効応力がゼロまで低下する。 | ○ | | |
| 液体状となり流動する。 (ひずみが急増する。) | × | | |
| 正のダイレイタンスー特性により せん断抵抗が作用する。 (有効応力が回復する。) | ○ | | |

添付 1-201 図 液状化強度試験結果
(FS-1-②(2) 中空試料(供試体 No. 4-10))



| 試験条件 | | 液状化の判断 | |
|---|---------|--------|----------------------------|
| 供試体 | No.1-11 | ○ | 繰返し軟化 (サイクリック モビリティ) |
| 圧密応力 σ'_c (kN/m ²) | 190 | | |
| 繰返し応力振幅比 $\sigma_d/2\sigma'_0$ | 0.304 | | |
| 試験結果 | | ○ | |
| 間隙水圧が上昇・蓄積する。 (過剰間隙水圧比95%を超える。) | | | |
| 有効応力がゼロまで低下する。 | | | |
| 液体状となり流動する。 (ひずみが急増する。) | × | | |
| 正のダイレイタンス特性により せん断抵抗が作用する。 (有効応力が回復する。) | ○ | | |

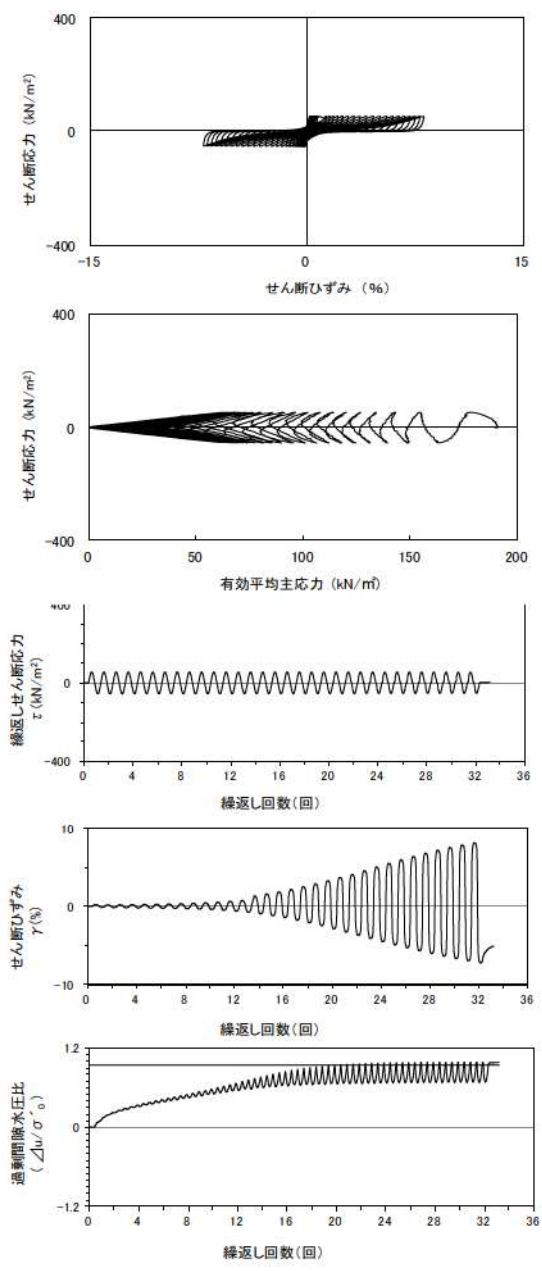
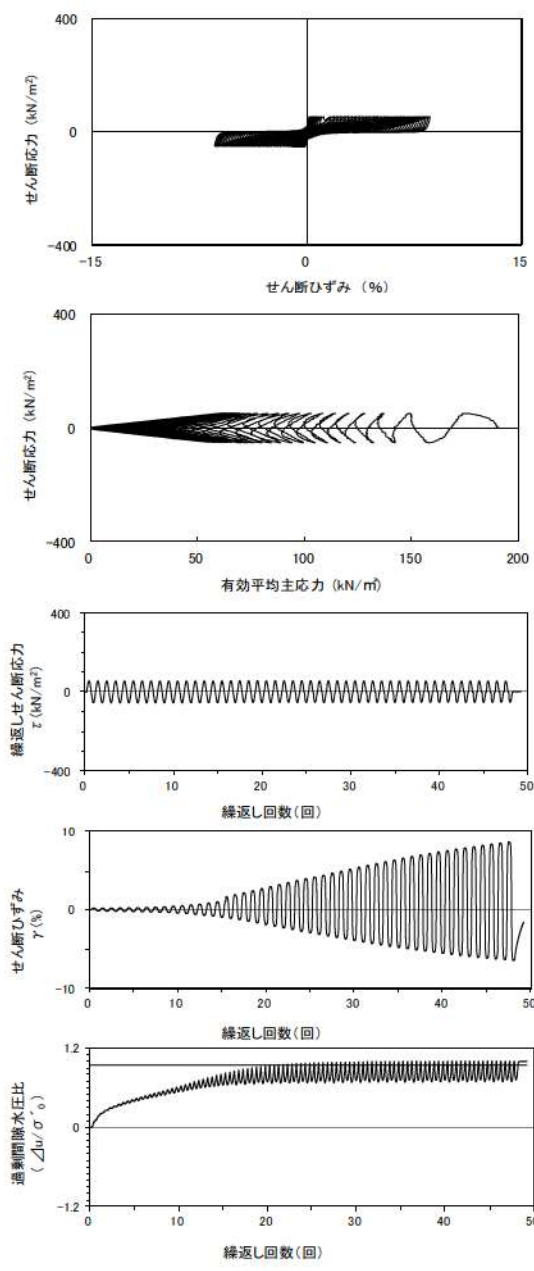
添付 1-202 図 液状化強度試験結果
(FS-1-②) (2) 中空試料(供試体 No. 1-11))



| 試験条件 | | 液状化の判断 | |
|---|---------|--------|-------|
| 供試体 | No.2-10 | ○ | 繰返し軟化 |
| 圧密応力 σ'_c (kN/m ²) | 190 | | |
| 繰返し応力振幅比 $\sigma_d/2\sigma'_0$ | 0.231 | | |
| 試験結果 | | ○ | |
| 間隙水圧が上昇・蓄積する。 (過剰間隙水圧比95%を超える。) | | | |
| 有効応力がゼロまで低下する。 | × | | |
| 液体状となり流動する。 (ひずみが急増する。) | × | | |
| 正のダイレイタンス特性により せん断抵抗が作用する。 (有効応力が回復する。) | ○ | | |

※繰返し回数 200 回で判定

添付 1-203 図 液状化強度試験結果
(FS-1-②) (2) 中空試料(供試体 No. 2-10))

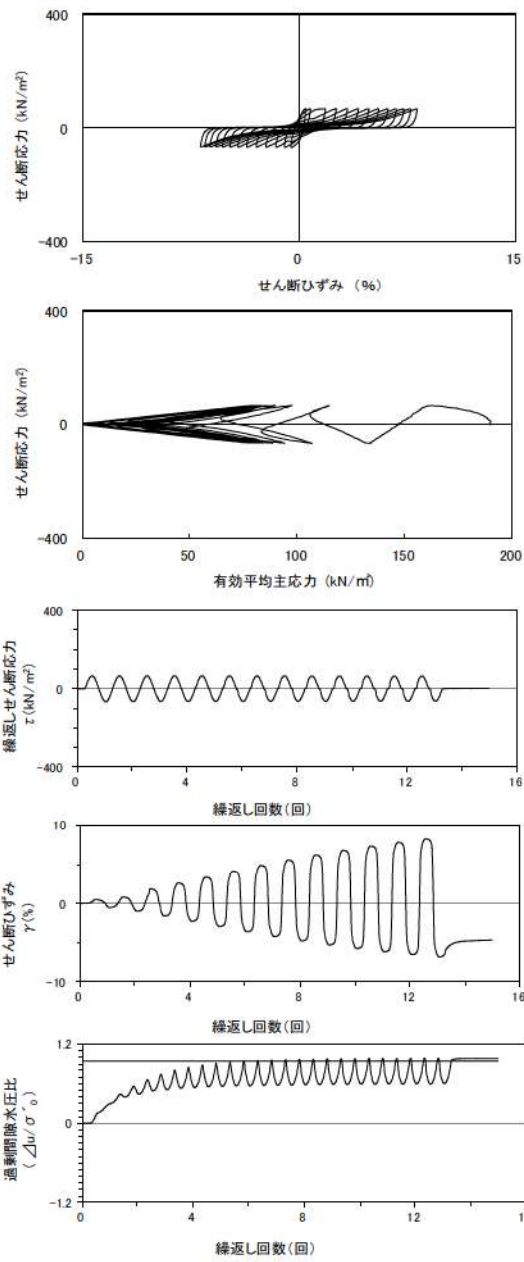


| 試験条件 | | 液状化の判断 | |
|---|---------|--------|----------------------------|
| 供試体 | No.3-10 | ○ | 繰返し軟化 (サイクリック モビリティ) |
| 圧密応力 σ'_c (kN/m ²) | 190 | | |
| 繰返し応力振幅比 $\sigma_d/2\sigma'_c$ | 0.277 | | |
| 試験結果 | | | |
| 間隙水圧が上昇・蓄積する。 (過剰間隙水圧比95%を超える。) | ○ | ○ | 繰返し軟化 |
| 有効応力がゼロまで低下する。 | ○ | | |
| 液体状となり流動する。 (ひずみが急増する。) | × | | |
| 正のダイレイタンス特性により せん断抵抗が作用する。 (有効応力が回復する。) | ○ | | |

添付 1-204 図 液状化強度試験結果
(FS-1-②(2) 中空試料(供試体 No. 3-10))

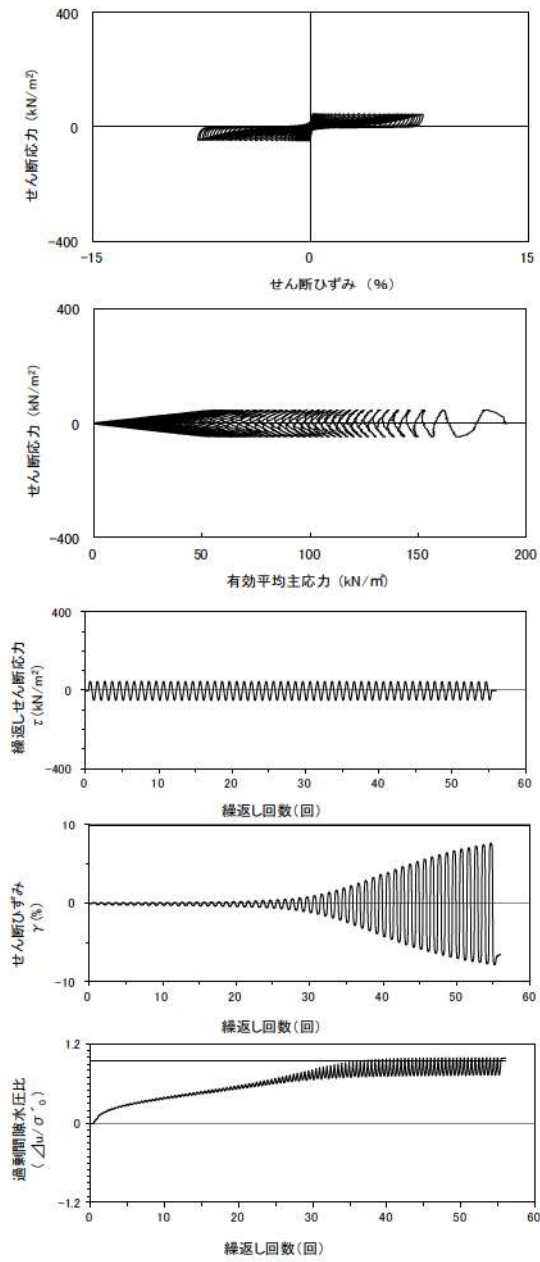
| 試験条件 | | 液状化の判断 | |
|---|---------|--------|-------|
| 供試体 | No.4-11 | ○ | 繰返し軟化 |
| 圧密応力 σ'_c (kN/m ²) | 190 | | |
| 繰返し応力振幅比 $\sigma_d/2\sigma'_c$ | 0.281 | | |
| 試験結果 | | | |
| 間隙水圧が上昇・蓄積する。 (過剰間隙水圧比95%を超える。) | ○ | ○ | 繰返し軟化 |
| 有効応力がゼロまで低下する。 | × | | |
| 液体状となり流動する。 (ひずみが急増する。) | × | | |
| 正のダイレイタンス特性により せん断抵抗が作用する。 (有効応力が回復する。) | ○ | | |

添付 1-205 図 液状化強度試験結果
(FS-1-②(3) 中空試料(供試体 No. 4-11))



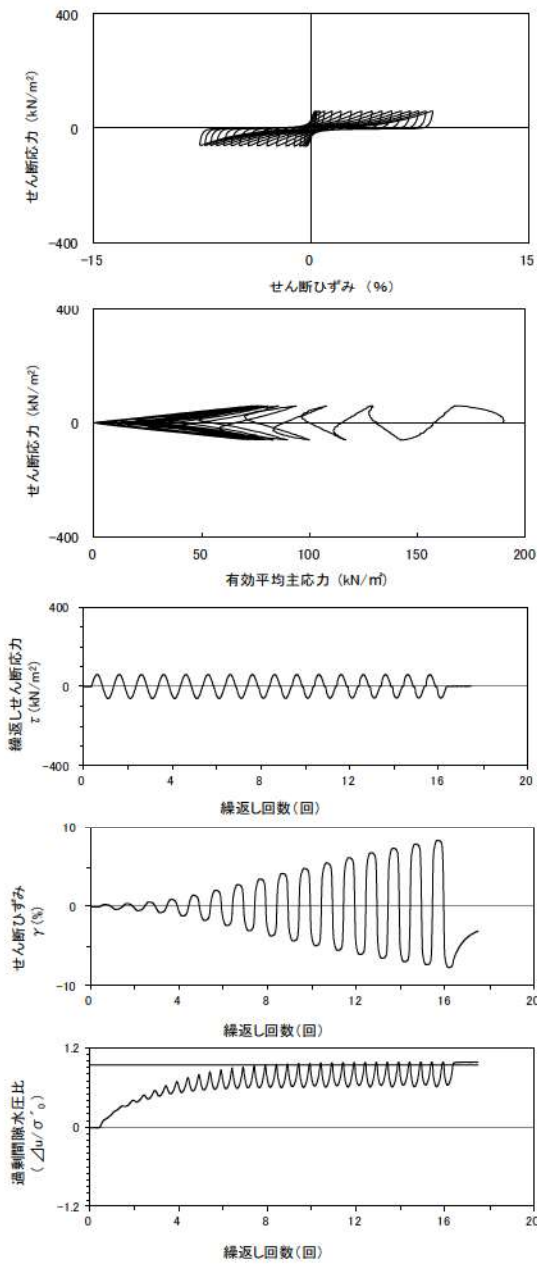
| 試験条件 | | |
|---|---------|--------|
| 供試体 | No.1-12 | |
| 圧密応力 σ'_c (kN/m ²) | 190 | |
| 繰返し応力振幅比 $\sigma_d/2\sigma'_c$ | 0.352 | |
| 試験結果 | | 液状化の判断 |
| 間隙水圧が上昇・蓄積する。 (過剰間隙水圧比95%を超える。) | ○ | 繰返し軟化 |
| 有効応力がゼロまで低下する。 | × | |
| 液体状となり流動する。 (ひずみが急増する。) | × | |
| 正のダイレイタンス特性によりせん断抵抗が作用する。 (有効応力が回復する。) | ○ | |

添付 1-206 図 液状化強度試験結果
(FS-1-②(3)中空試料(供試体 No. 1-12))



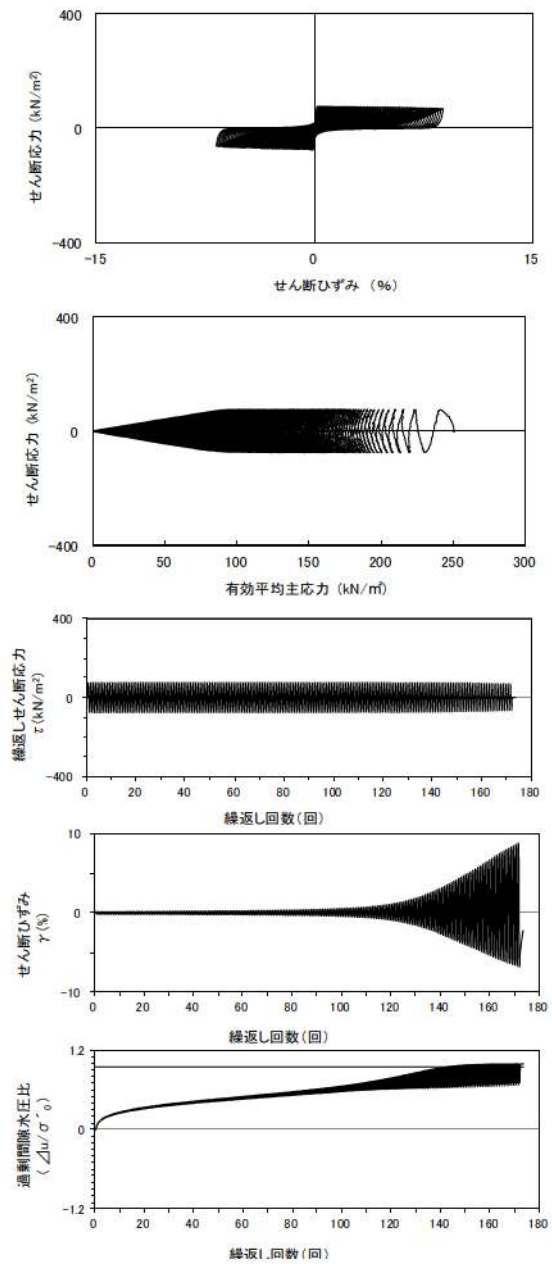
| 試験条件 | | |
|---|---------|--------|
| 供試体 | No.3-11 | |
| 圧密応力 σ'_c (kN/m ²) | 190 | |
| 繰返し応力振幅比 $\sigma_d/2\sigma'_c$ | 0.251 | |
| 試験結果 | | 液状化の判断 |
| 間隙水圧が上昇・蓄積する。 (過剰間隙水圧比95%を超える。) | ○ | 繰返し軟化 |
| 有効応力がゼロまで低下する。 | × | |
| 液体状となり流動する。 (ひずみが急増する。) | × | |
| 正のダイレイタンス特性によりせん断抵抗が作用する。 (有効応力が回復する。) | ○ | |

添付 1-207 図 液状化強度試験結果
(FS-1-②(3)中空試料(供試体 No. 3-11))



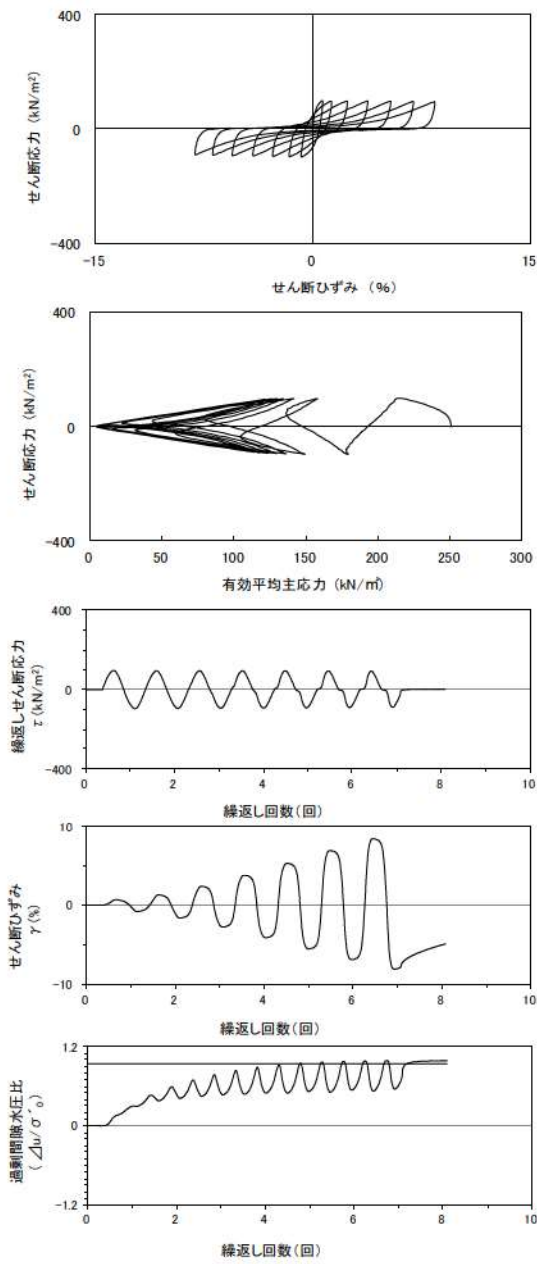
| 試験条件 | | |
|---|---------|--------|
| 供試体 | No.2-11 | |
| 圧密応力 σ'_c (kN/m ²) | 190 | |
| 繰返し応力振幅比 $\sigma_d/2\sigma'_0$ | 0.316 | |
| 試験結果 | | 液状化の判断 |
| 間隙水圧が上昇・蓄積する。 (過剰間隙水圧比95%を超える。) | ○ | 繰返し軟化 |
| 有効応力がゼロまで低下する。 | × | |
| 液体状となり流動する。 (ひずみが急増する。) | × | |
| 正のダイレイタンス特性によりせん断抵抗が作用する。 (有効応力が回復する。) | ○ | |

添付 1-208 図 液状化強度試験結果
(FS-1-②(3)中空試料(供試体 No. 2-11))



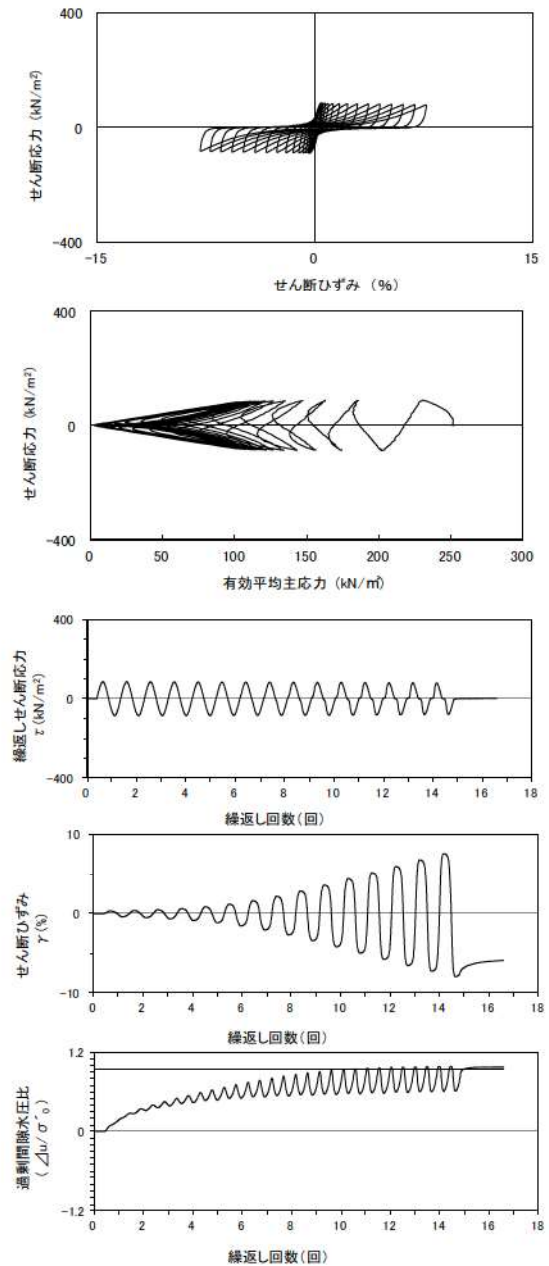
| 試験条件 | | |
|---|---------|--------|
| 供試体 | No.2-36 | |
| 圧密応力 σ'_c (kN/m ²) | 250 | |
| 繰返し応力振幅比 $\sigma_d/2\sigma'_0$ | 0.301 | |
| 試験結果 | | 液状化の判断 |
| 間隙水圧が上昇・蓄積する。 (過剰間隙水圧比95%を超える。) | ○ | 繰返し軟化 |
| 有効応力がゼロまで低下する。 | × | |
| 液体状となり流動する。 (ひずみが急増する。) | × | |
| 正のダイレイタンス特性によりせん断抵抗が作用する。 (有効応力が回復する。) | ○ | |

添付 1-209 図 液状化強度試験結果
(FS-1-④(1)中空試料(供試体 No. 2-36))



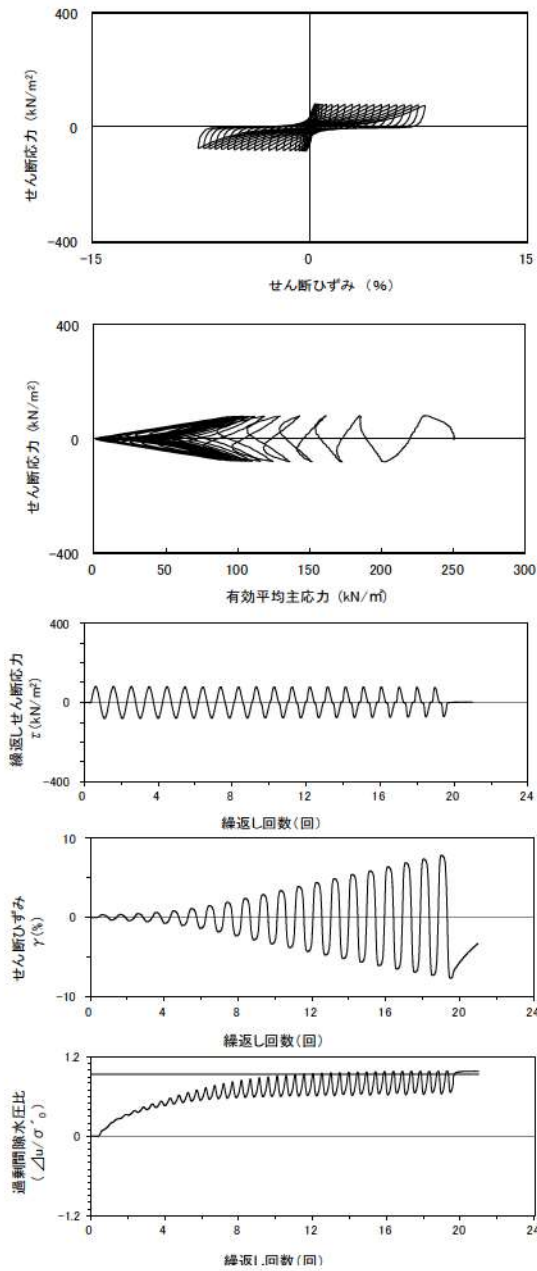
| 試験条件 | | 液状化の判断 | |
|---|---------|--------|-------|
| 供試体 | No.1-34 | ○ | 繰返し軟化 |
| 圧密応力 σ'_c (kN/m ²) | 250 | | |
| 繰返し応力振幅比 $\sigma_d/2\sigma'_c$ | 0.390 | | |
| 試験結果 | | | |
| 間隙水圧が上昇・蓄積する。 (過剰間隙水圧比95%を超える。) | ○ | ○ | 繰返し軟化 |
| 有効応力がゼロまで低下する。 | × | | |
| 液体状となり流動する。 (ひずみが急増する。) | × | | |
| 正のダイレイタンス特性によりせん断抵抗が作用する。 (有効応力が回復する。) | ○ | | |

添付 1-210 図 液状化強度試験結果
(FS-1-④(1)中空試料(供試体 No. 1-34))



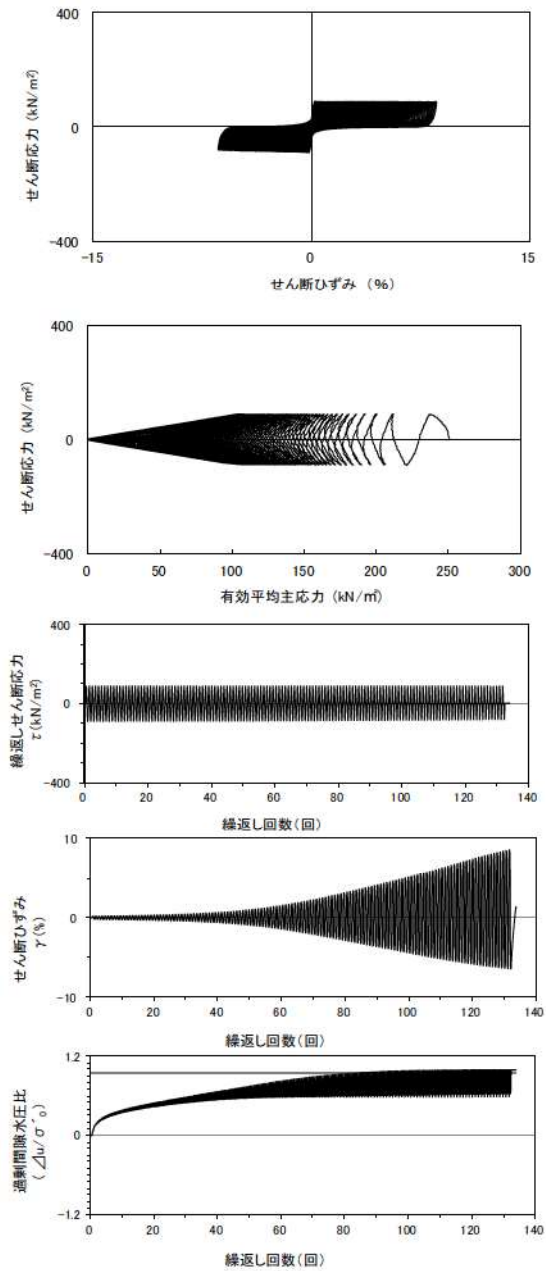
| 試験条件 | | 液状化の判断 | |
|---|---------|--------|-------|
| 供試体 | No.4-37 | ○ | 繰返し軟化 |
| 圧密応力 σ'_c (kN/m ²) | 250 | | |
| 繰返し応力振幅比 $\sigma_d/2\sigma'_c$ | 0.346 | | |
| 試験結果 | | | |
| 間隙水圧が上昇・蓄積する。 (過剰間隙水圧比95%を超える。) | ○ | ○ | 繰返し軟化 |
| 有効応力がゼロまで低下する。 | × | | |
| 液体状となり流動する。 (ひずみが急増する。) | × | | |
| 正のダイレイタンス特性によりせん断抵抗が作用する。 (有効応力が回復する。) | ○ | | |

添付 1-211 図 液状化強度試験結果
(FS-1-④(1)中空試料(供試体 No. 4-37))



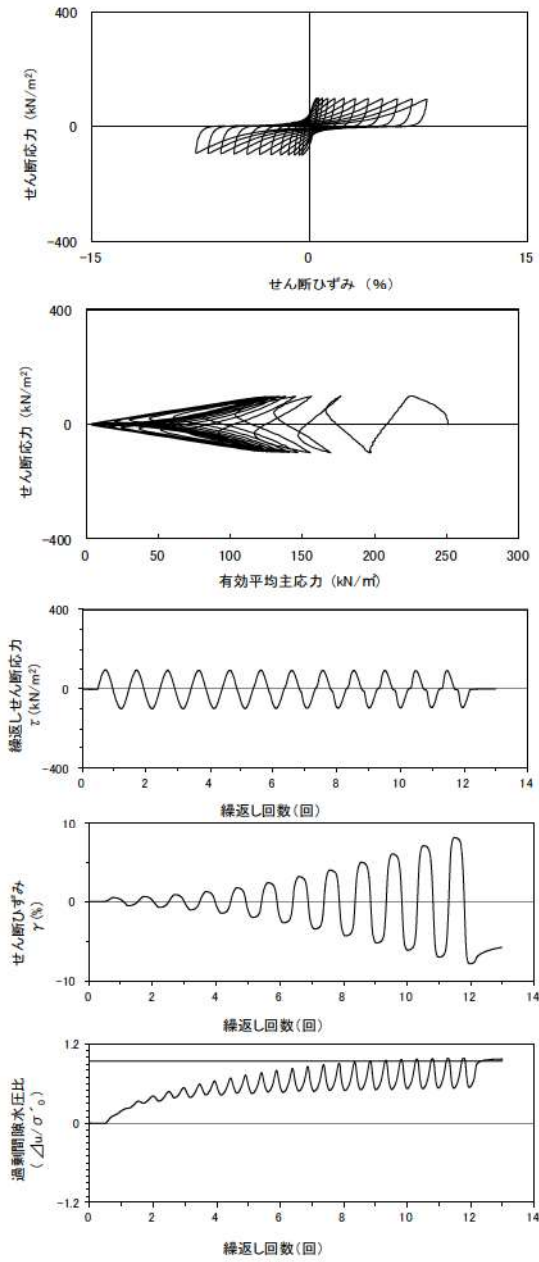
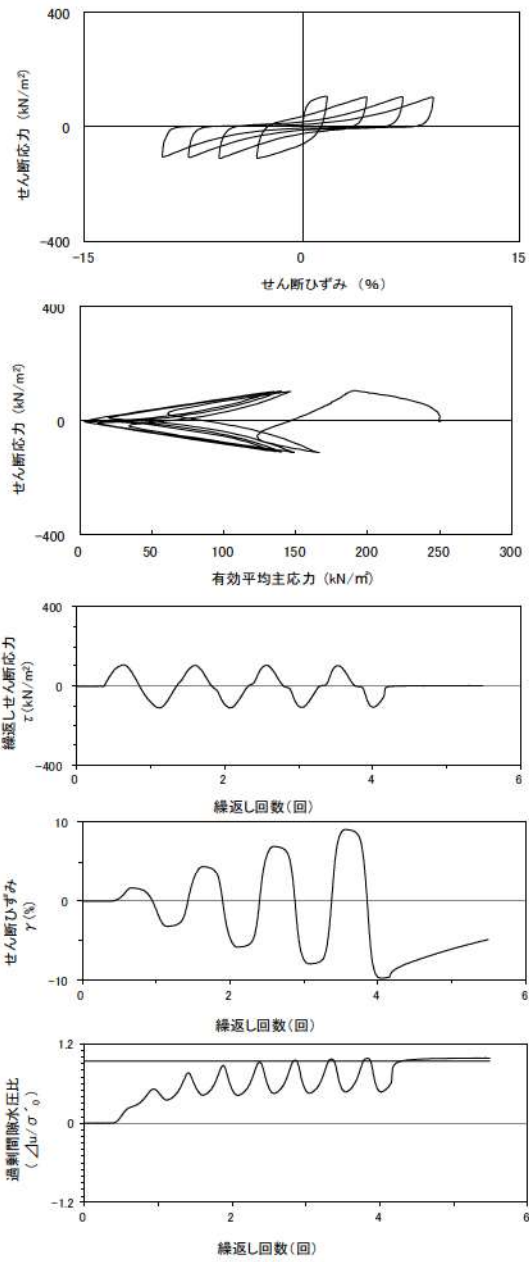
| 試験条件 | | 液状化の判断 | |
|---|---------|----------------------------|--|
| 供試体 | No.3-36 | | |
| 圧密応力 σ'_c (kN/m ²) | 250 | | |
| 繰返し応力振幅比 $\sigma_d/2\sigma'_c$ | 0.323 | | |
| 試験結果 | | 液状化の判断 | |
| 間隙水圧が上昇・蓄積する。 (過剰間隙水圧比95%を超える。) | ○ | 繰返し軟化 (サイクリック モビリティ) | |
| 有効応力がゼロまで低下する。 | × | | |
| 液体状となり流動する。 (ひずみが急増する。) | × | | |
| 正のダイレイタンス特性により せん断抵抗が作用する。 (有効応力が回復する。) | ○ | | |

添付 1-212 図 液状化強度試験結果
(FS-1-④(1)中空試料(供試体 No. 3-36))



| 試験条件 | | 液状化の判断 | |
|---|---------|----------------------------|--|
| 供試体 | No.2-37 | | |
| 圧密応力 σ'_c (kN/m ²) | 250 | | |
| 繰返し応力振幅比 $\sigma_d/2\sigma'_c$ | 0.354 | | |
| 試験結果 | | 液状化の判断 | |
| 間隙水圧が上昇・蓄積する。 (過剰間隙水圧比95%を超える。) | ○ | 繰返し軟化 (サイクリック モビリティ) | |
| 有効応力がゼロまで低下する。 | ○ | | |
| 液体状となり流動する。 (ひずみが急増する。) | × | | |
| 正のダイレイタンス特性により せん断抵抗が作用する。 (有効応力が回復する。) | ○ | | |

添付 1-213 図 液状化強度試験結果
(FS-1-④(2)中空試料(供試体 No. 2-37))

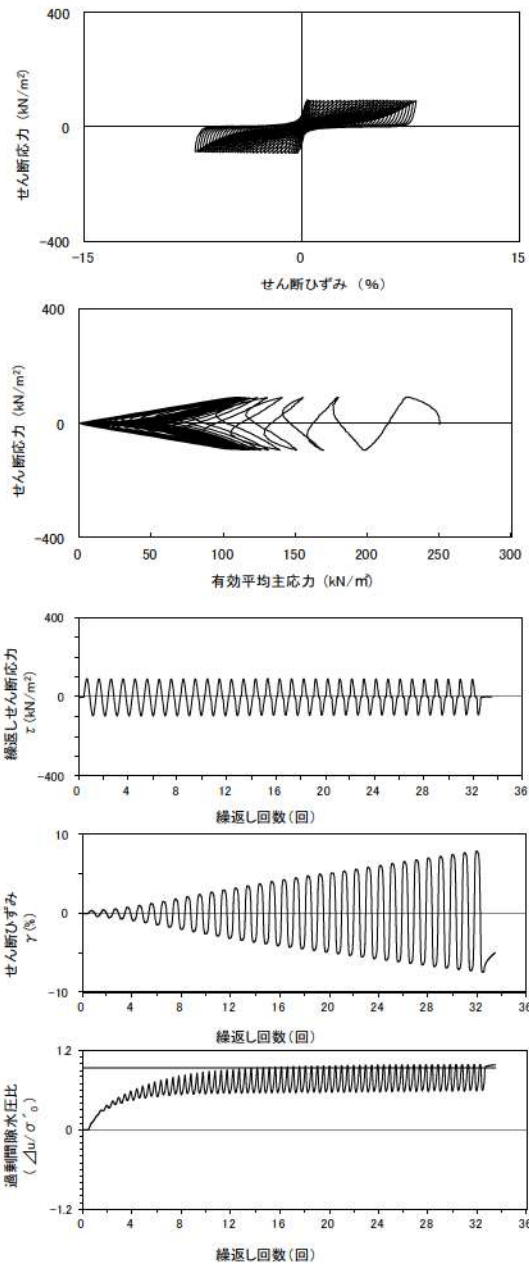


| 試験条件 | | |
|---|---------|--------|
| 供試体 | No.1-35 | |
| 圧密応力 σ'_c (kN/m ²) | 250 | |
| 繰返し応力振幅比 $\sigma_d/2\sigma'_o$ | 0.428 | |
| 試験結果 | | 液状化の判断 |
| 間隙水圧が上昇・蓄積する。 (過剰間隙水圧比95%を超える。) | ○ | 繰返し軟化 |
| 有効応力がゼロまで低下する。 | × | |
| 液体状となり流動する。 (ひずみが急増する。) | × | |
| 正のダイレイタンス特性によりせん断抵抗が作用する。 (有効応力が回復する。) | ○ | |

添付 1-214 図 液状化強度試験結果
(FS-1-④) (2) 中空試料(供試体 No. 1-35)

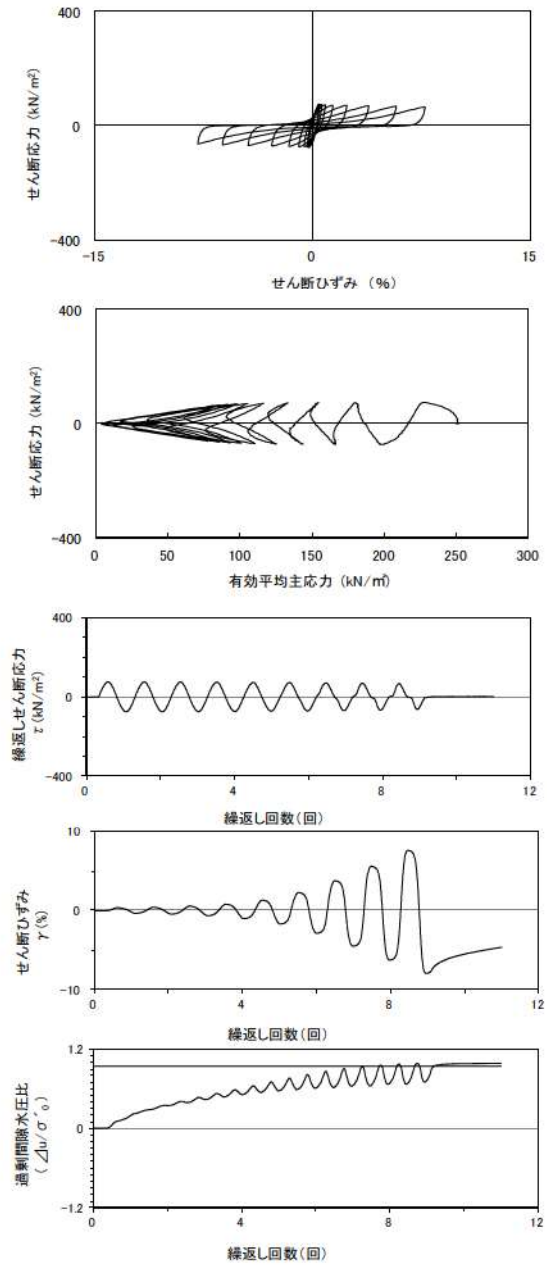
| 試験条件 | | |
|---|---------|--------|
| 供試体 | No.4-38 | |
| 圧密応力 σ'_c (kN/m ²) | 250 | |
| 繰返し応力振幅比 $\sigma_d/2\sigma'_o$ | 0.392 | |
| 試験結果 | | 液状化の判断 |
| 間隙水圧が上昇・蓄積する。 (過剰間隙水圧比95%を超える。) | ○ | 繰返し軟化 |
| 有効応力がゼロまで低下する。 | × | |
| 液体状となり流動する。 (ひずみが急増する。) | × | |
| 正のダイレイタンス特性によりせん断抵抗が作用する。 (有効応力が回復する。) | ○ | |

添付 1-215 図 液状化強度試験結果
(FS-1-④) (2) 中空試料(供試体 No. 4-38)



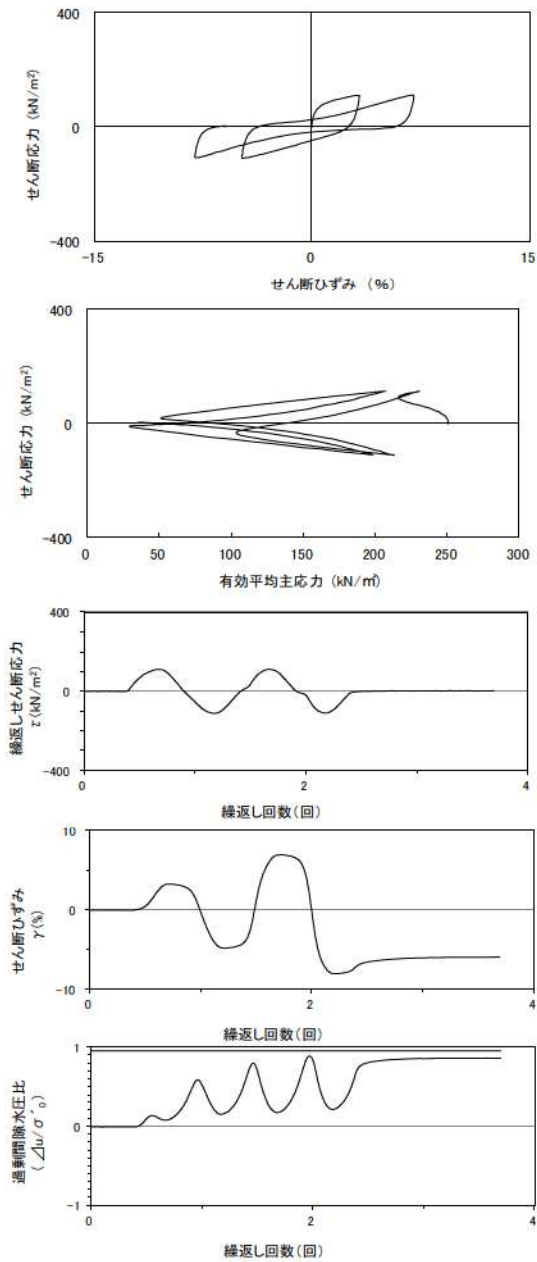
| 試験条件 | | 液状化の判断 |
|---|---------|--------|
| 供試体 | No.3-37 | |
| 圧密応力 σ'_c (kN/m ²) | 250 | |
| 繰返し応力振幅比 $\sigma_d/2\sigma'_o$ | 0.369 | 繰返し軟化 |
| 試験結果 | | |
| 間隙水圧が上昇・蓄積する。 (過剰間隙水圧比95%を超える。) | ○ | |
| 有効応力がゼロまで低下する。 | × | |
| 液体状となり流動する。 (ひずみが急増する。) | × | |
| 正のダイレイタンス特性によりせん断抵抗が作用する。 (有効応力が回復する。) | ○ | |

添付 1-216 図 液状化強度試験結果
(FS-1-④(2)中空試料(供試体 No. 3-37))



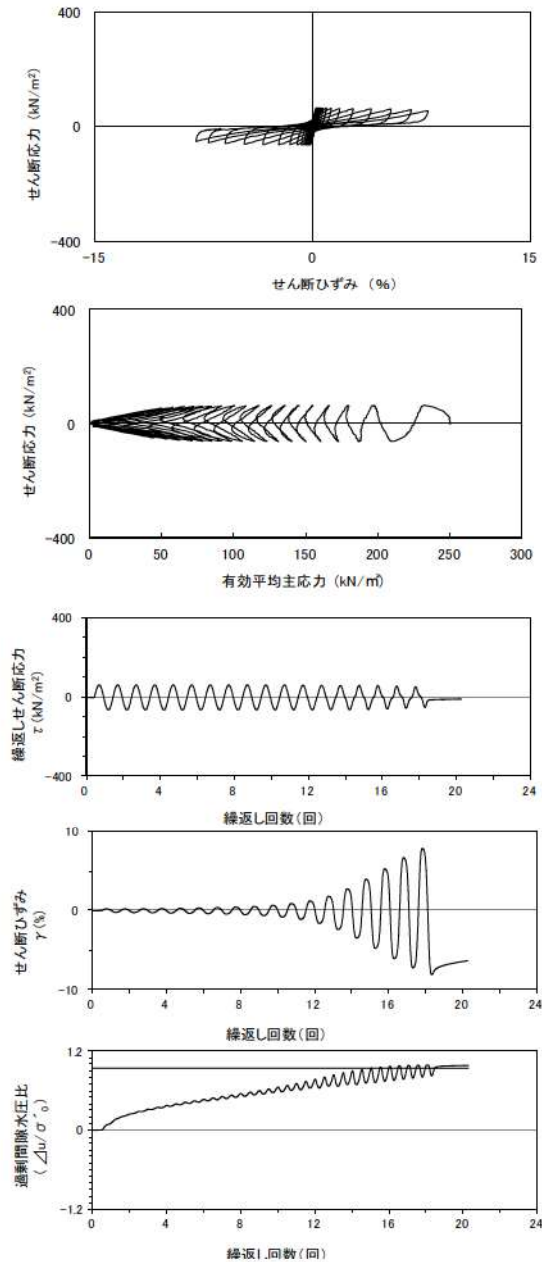
| 試験条件 | | 液状化の判断 |
|---|---------|--------|
| 供試体 | No.1-36 | |
| 圧密応力 σ'_c (kN/m ²) | 250 | |
| 繰返し応力振幅比 $\sigma_d/2\sigma'_o$ | 0.296 | 繰返し軟化 |
| 試験結果 | | |
| 間隙水圧が上昇・蓄積する。 (過剰間隙水圧比95%を超える。) | ○ | |
| 有効応力がゼロまで低下する。 | × | |
| 液体状となり流動する。 (ひずみが急増する。) | × | |
| 正のダイレイタンス特性によりせん断抵抗が作用する。 (有効応力が回復する。) | ○ | |

添付 1-217 図 液状化強度試験結果
(FS-1-④(3)中空試料(供試体 No. 1-36))



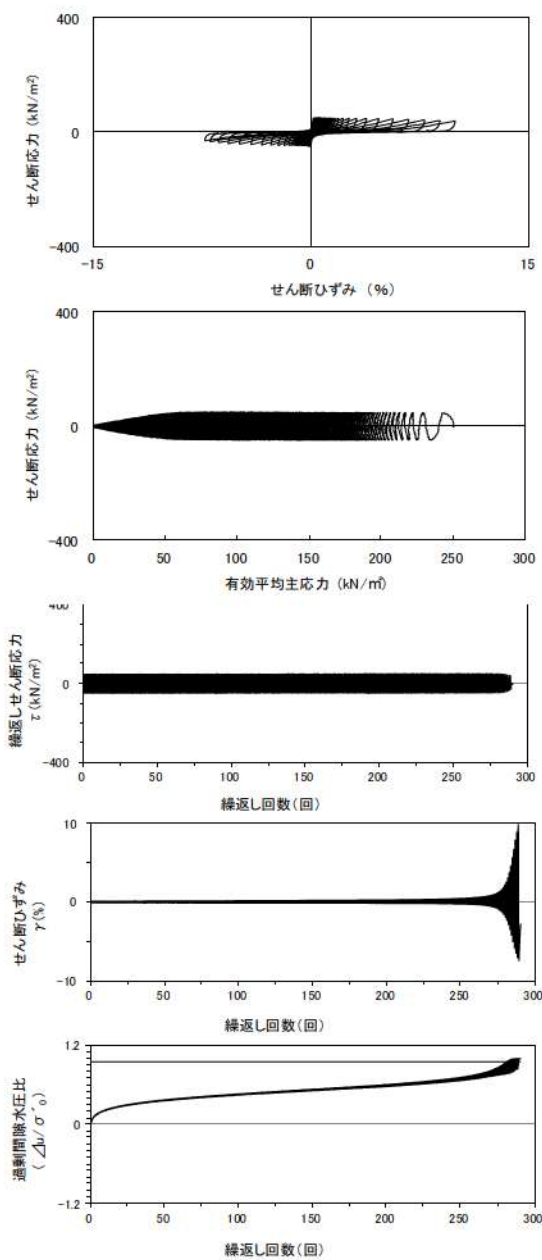
| 試験条件 | | 液状化の判断 | |
|---|---------|--------|------|
| 供試体 | No.4-39 | × | 非液状化 |
| 圧密応力 σ'_c (kN/m ²) | 250 | | |
| 繰返し応力振幅比 $\sigma_d/2\sigma'_c$ | 0.445 | | |
| 試験結果 | | | |
| 間隙水圧が上昇・蓄積する。 (過剰間隙水圧比95%を超える。) | × | | |
| 有効応力がゼロまで低下する。 | × | | |
| 液体状となり流動する。 (ひずみが急増する。) | × | | |
| 正のダイレイタンス特性によりせん断抵抗が作用する。 (有効応力が回復する。) | ○ | ○ | ○ |

添付 1-218 図 液状化強度試験結果
(FS-1-④(3)中空試料(供試体 No. 4-39))



| 試験条件 | | 液状化の判断 | |
|---|---------|--------|-------|
| 供試体 | No.3-38 | ○ | 繰返し軟化 |
| 圧密応力 σ'_c (kN/m ²) | 250 | | |
| 繰返し応力振幅比 $\sigma_d/2\sigma'_c$ | 0.252 | | |
| 試験結果 | | | |
| 間隙水圧が上昇・蓄積する。 (過剰間隙水圧比95%を超える。) | ○ | | |
| 有効応力がゼロまで低下する。 | × | | |
| 液体状となり流動する。 (ひずみが急増する。) | × | | |
| 正のダイレイタンス特性によりせん断抵抗が作用する。 (有効応力が回復する。) | ○ | ○ | ○ |

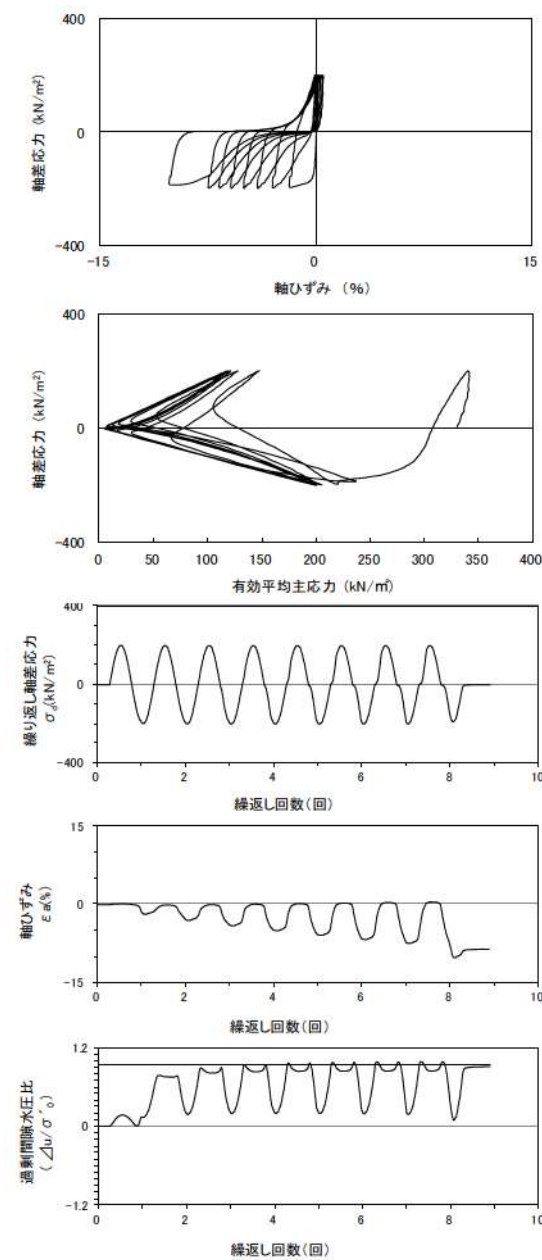
添付 1-219 図 液状化強度試験結果
(FS-1-④(3)中空試料(供試体 No. 3-38))



| 試験条件 | |
|--|---------|
| 供試体 | No.2-38 |
| 圧密応力 σ'_c (kN/m ²) | 250 |
| 繰返し応力振幅比 $\sigma_d/2\sigma'_0$ | 0.191 |
| 試験結果 | |
| 間隙水圧が上昇・蓄積する。 (過剰間隙水圧比95%を超える。) | × |
| 有効応力がゼロまで低下する。 | × |
| 液体状となり流動する。 (ひずみが急増する。) | × |
| 正のダイレイタンスー特性により せん断抵抗が作用する。 (有効応力が回復する。) | ○ |
| 液状化の判断 | |
| 非液状化 | |

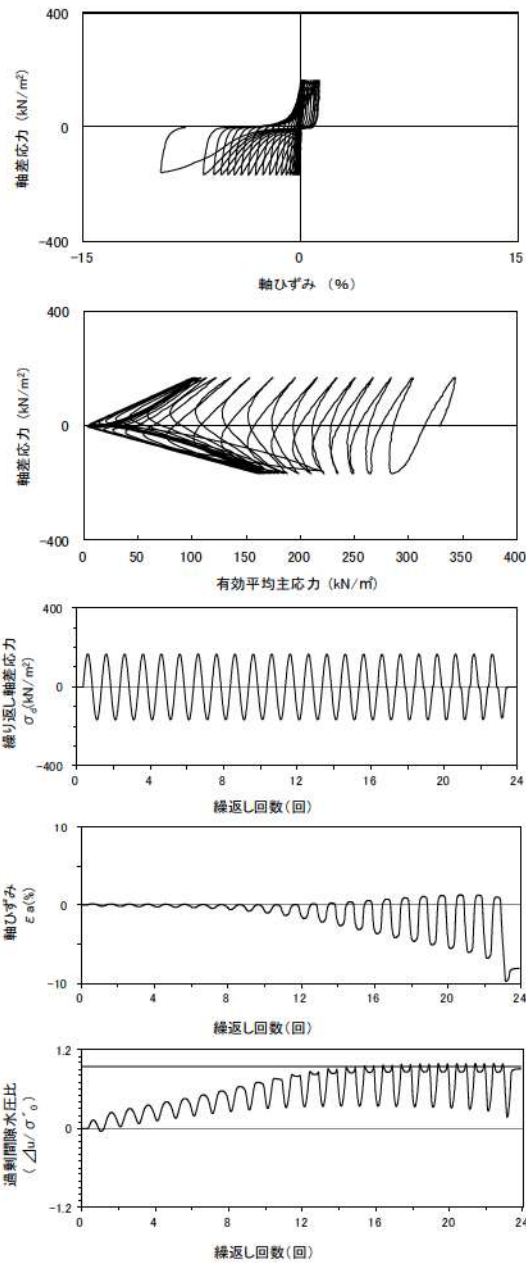
※繰返し回数 200 回で判定

添付 1-220 図 液状化強度試験結果
(FS-1-④)(3) 中空試料(供試体 No. 2-38)



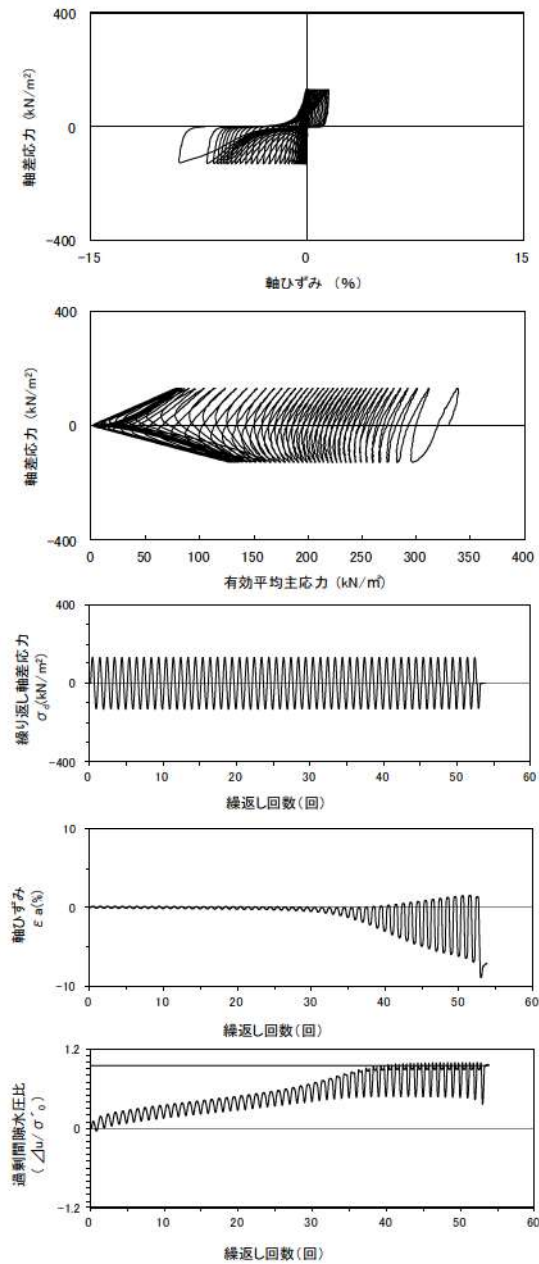
| 試験条件 | |
|--|--------|
| 供試体 | No.1-7 |
| 圧密応力 σ'_c (kN/m ²) | 330 |
| 繰返し応力振幅比 $\sigma_d/2\sigma'_0$ | 0.301 |
| 試験結果 | |
| 間隙水圧が上昇・蓄積する。 (過剰間隙水圧比95%を超える。) | ○ |
| 有効応力がゼロまで低下する。 | × |
| 液体状となり流動する。 (ひずみが急増する。) | × |
| 正のダイレイタンスー特性により せん断抵抗が作用する。 (有効応力が回復する。) | ○ |
| 液状化の判断 | |
| 繰返し軟化 | |

添付 1-221 図 液状化強度試験結果
(FS-2-③)(1) 三軸試料(供試体 No. 1-7)



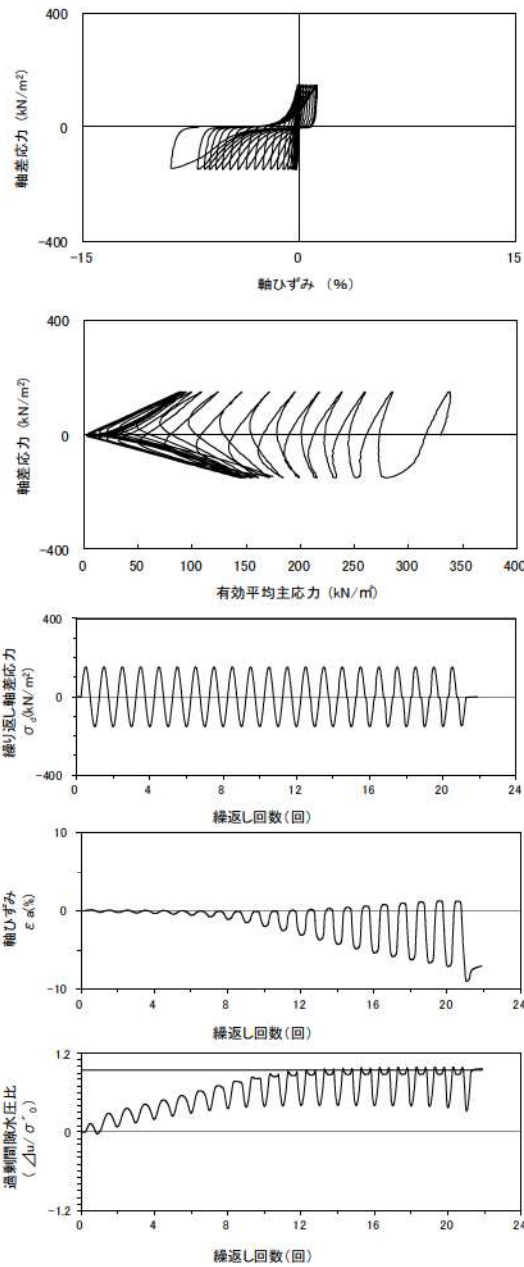
| 試験条件 | | 液状化の判断 | |
|---|--------|--------|--|
| 供試体 | No.2-5 | | |
| 圧密応力 σ'_o (kN/m ²) | 330 | | |
| 繰返し応力振幅比 $\sigma_d/2\sigma'_o$ | 0.252 | | |
| 試験結果 | | 液状化の判断 | |
| 間隙水圧が上昇・蓄積する。 (過剰間隙水圧比95%を超える。) | ○ | 繰返し軟化 | |
| 有効応力がゼロまで低下する。 | × | | |
| 液体状となり流動する。 (ひずみが急増する。) | × | | |
| 正のダイレイタンス特性によりせん断抵抗が作用する。 (有効応力が回復する。) | ○ | | |

添付 1-222 図 液状化強度試験結果
(FS-2-③(1) 三軸試料(供試体 No. 2-5))



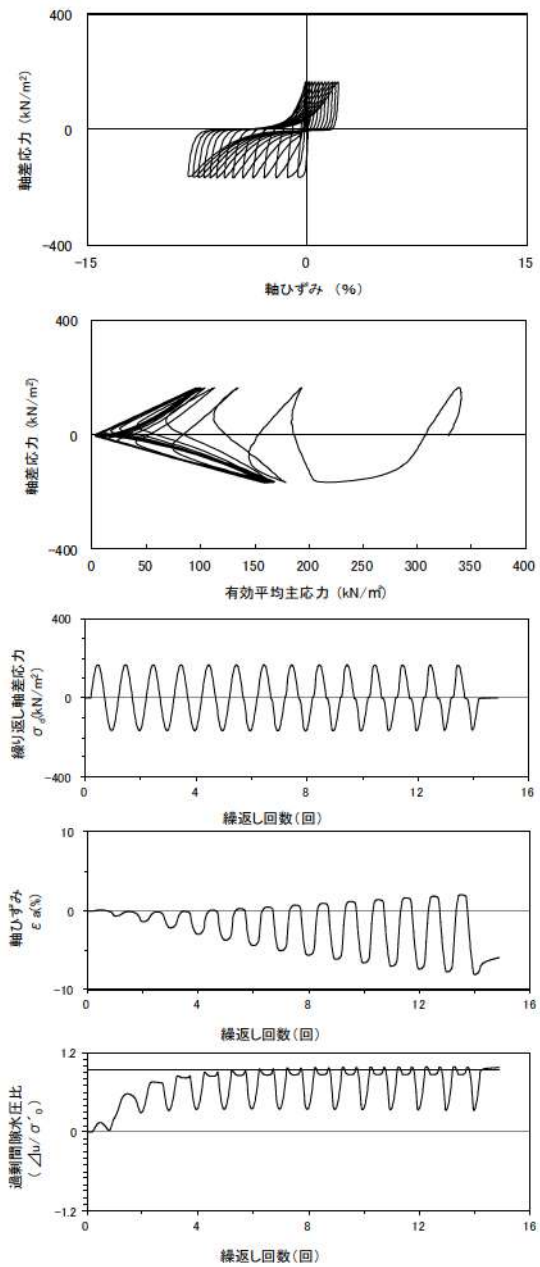
| 試験条件 | | 液状化の判断 | |
|---|--------|--------|--|
| 供試体 | No.3-5 | | |
| 圧密応力 σ'_o (kN/m ²) | 330 | | |
| 繰返し応力振幅比 $\sigma_d/2\sigma'_o$ | 0.197 | | |
| 試験結果 | | 液状化の判断 | |
| 間隙水圧が上昇・蓄積する。 (過剰間隙水圧比95%を超える。) | ○ | 繰返し軟化 | |
| 有効応力がゼロまで低下する。 | × | | |
| 液体状となり流動する。 (ひずみが急増する。) | × | | |
| 正のダイレイタンス特性によりせん断抵抗が作用する。 (有効応力が回復する。) | ○ | | |

添付 1-223 図 液状化強度試験結果
(FS-2-③(1) 三軸試料(供試体 No. 3-5))



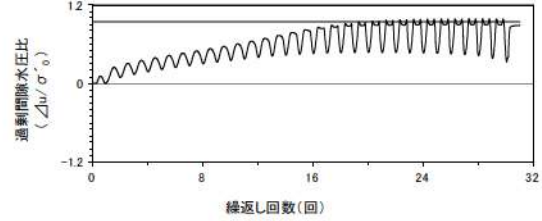
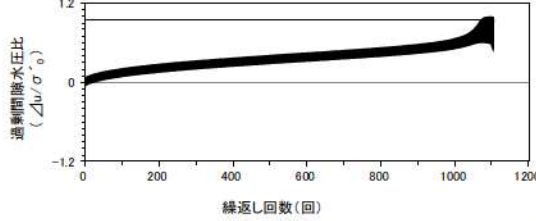
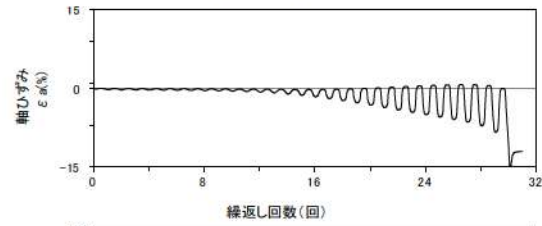
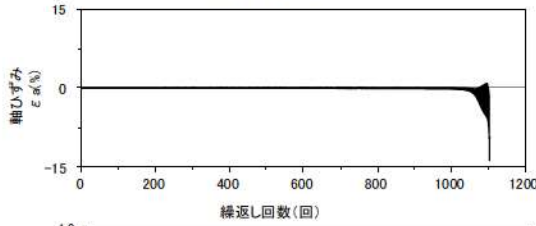
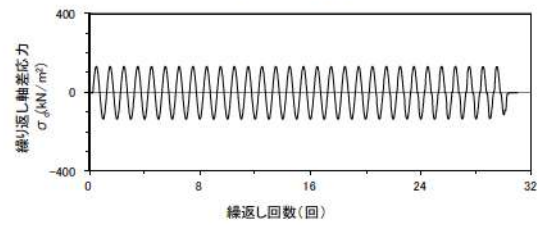
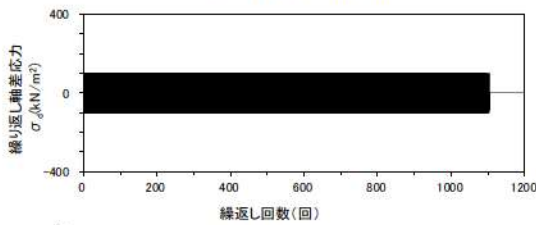
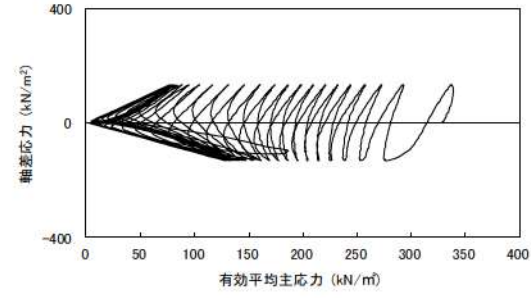
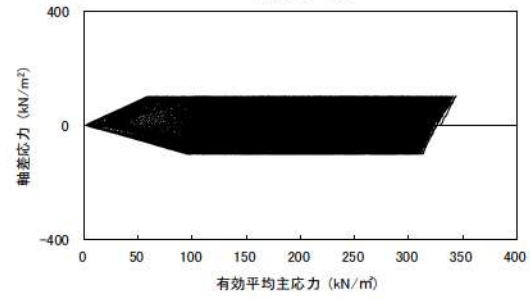
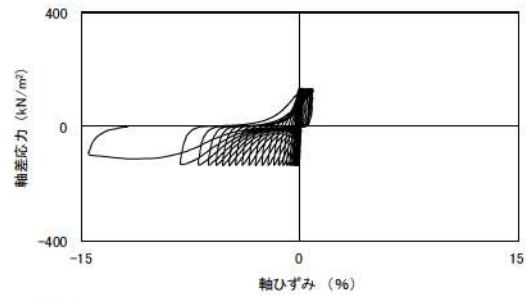
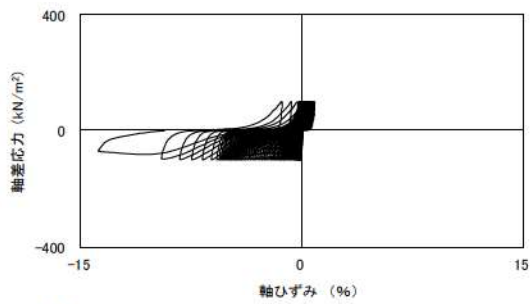
| 試験条件 | | 液状化の判断 | |
|---|--------|--------|--|
| 供試体 | No.4-8 | | |
| 圧密応力 σ'_c (kN/m ²) | 330 | | |
| 繰返し応力振幅比 $\sigma_d/2\sigma'_o$ | 0.227 | | |
| 試験結果 | | 液状化の判断 | |
| 間隙水圧が上昇・蓄積する。 (過剰間隙水圧比95%を超える。) | ○ | 繰返し軟化 | |
| 有効応力がゼロまで低下する。 | × | | |
| 液体状となり流動する。 (ひずみが急増する。) | × | | |
| 正のダイレイタンス特性によりせん断抵抗が作用する。 (有効応力が回復する。) | ○ | | |

添付 1-224 図 液状化強度試験結果
(FS-2-③(1) 三軸試料(供試体 No. 4-8))



| 試験条件 | | 液状化の判断 | |
|---|--------|--------|--|
| 供試体 | No.1-8 | | |
| 圧密応力 σ'_c (kN/m ²) | 330 | | |
| 繰返し応力振幅比 $\sigma_d/2\sigma'_o$ | 0.251 | | |
| 試験結果 | | 液状化の判断 | |
| 間隙水圧が上昇・蓄積する。 (過剰間隙水圧比95%を超える。) | ○ | 繰返し軟化 | |
| 有効応力がゼロまで低下する。 | × | | |
| 液体状となり流動する。 (ひずみが急増する。) | × | | |
| 正のダイレイタンス特性によりせん断抵抗が作用する。 (有効応力が回復する。) | ○ | | |

添付 1-225 図 液状化強度試験結果
(FS-2-③(2) 三軸試料(供試体 No. 1-8))



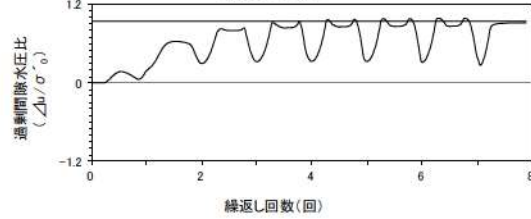
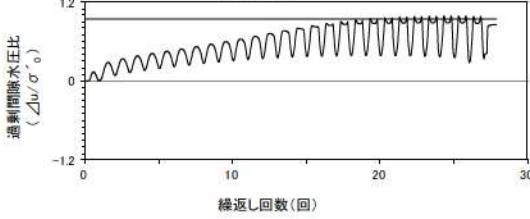
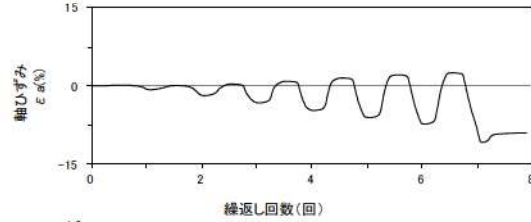
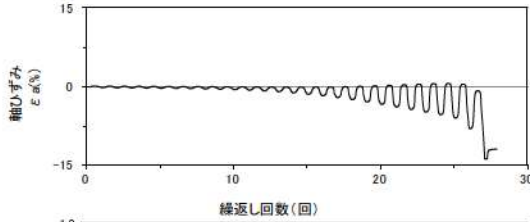
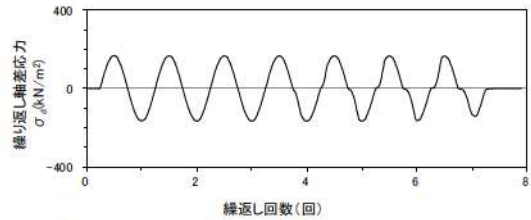
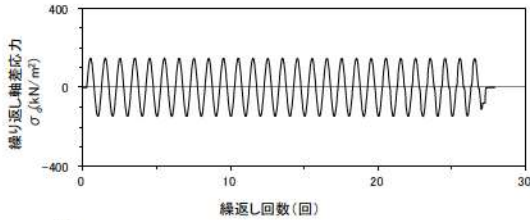
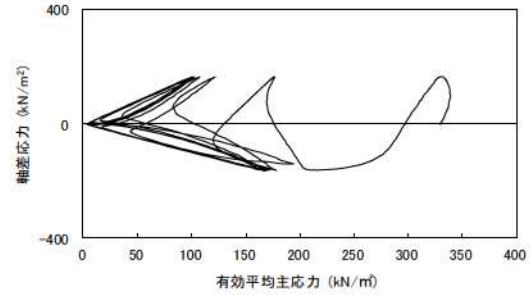
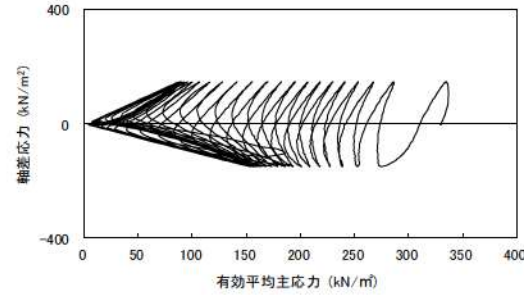
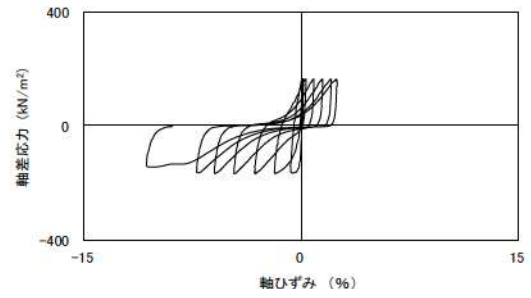
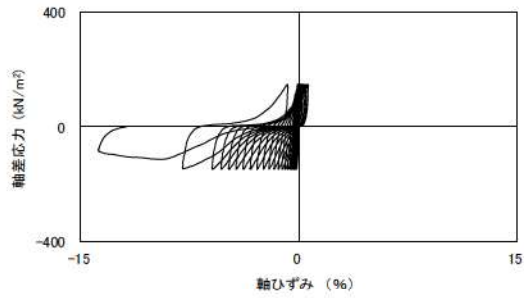
| 試験条件 | | 液状化の判断 | |
|--|--------|--------|-------|
| 供試体 | No.2-6 | × | 非液状化 |
| 圧密応力 σ'_c (kN/m ²) | 330 | | |
| 繰返し応力振幅比 $\sigma_d/2\sigma'_0$ | 0.153 | | |
| 試験結果 | | | |
| 間隙水圧が上昇・蓄積する。 (過剰間隙水圧比95%を超える。) | × | ○ | 繰返し軟化 |
| 有効応力がゼロまで低下する。 | × | | |
| 液体状となり流動する。 (ひずみが急増する。) | × | | |
| 正のダイレイタンスー特性によりせん断抵抗が作用する。 (有効応力が回復する。) | ○ | | |

※繰返し回数 200 回で判定

添付 1-226 図 液状化強度試験結果
(FS-2-③(2) 三軸試料(供試体 No. 2-6))

| 試験条件 | | 液状化の判断 | |
|--|--------|--------|-------|
| 供試体 | No.4-9 | ○ | 繰返し軟化 |
| 圧密応力 σ'_c (kN/m ²) | 330 | | |
| 繰返し応力振幅比 $\sigma_d/2\sigma'_0$ | 0.202 | | |
| 試験結果 | | | |
| 間隙水圧が上昇・蓄積する。 (過剰間隙水圧比95%を超える。) | ○ | × | 非液状化 |
| 有効応力がゼロまで低下する。 | × | | |
| 液体状となり流動する。 (ひずみが急増する。) | × | | |
| 正のダイレイタンスー特性によりせん断抵抗が作用する。 (有効応力が回復する。) | ○ | | |

添付 1-227 図 液状化強度試験結果
(FS-2-③(2) 三軸試料(供試体 No. 4-9))

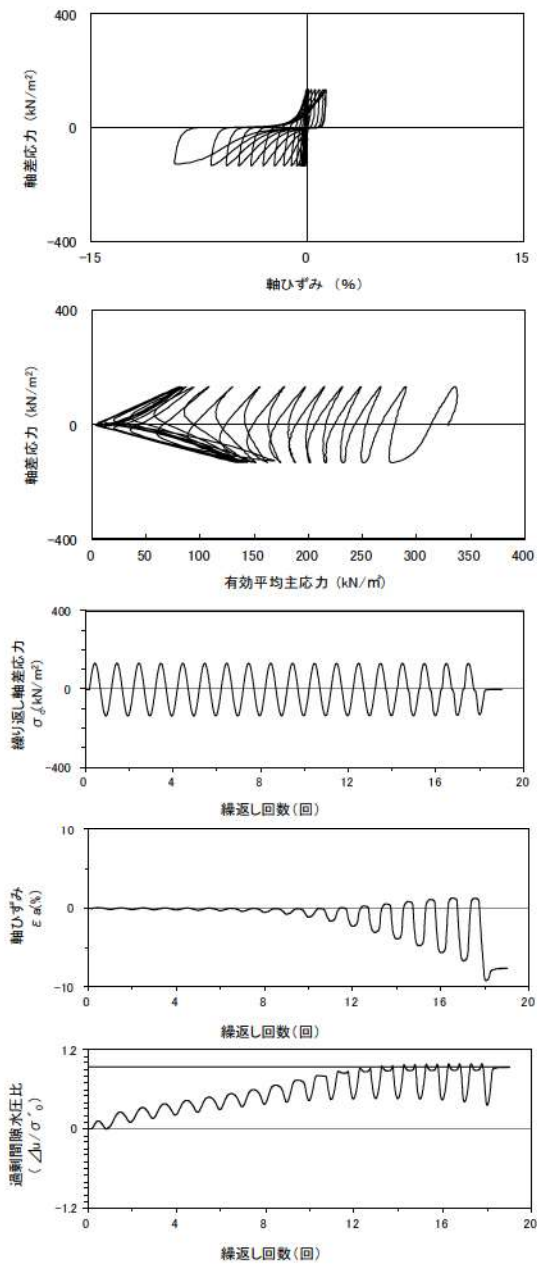


| 試験条件 | | 液状化の判断 |
|---|--------|--------|
| 供試体 | No.3-6 | |
| 圧密応力 σ'_c (kN/m ²) | 330 | |
| 繰返し応力振幅比 $\sigma_d/2\sigma'_0$ | 0.223 | |
| 試験結果 | | 繰返し軟化 |
| 間隙水圧が上昇・蓄積する。 (過剰間隙水圧比95%を超える。) | ○ | |
| 有効応力がゼロまで低下する。 | × | |
| 液体状となり流動する。 (ひずみが急増する。) | × | |
| 正のダイレイタンス特性によりせん断抵抗が作用する。 (有効応力が回復する。) | ○ | |

添付 1-228 図 液状化強度試験結果
(FS-2-③(2) 三軸試料(供試体 No. 3-6))

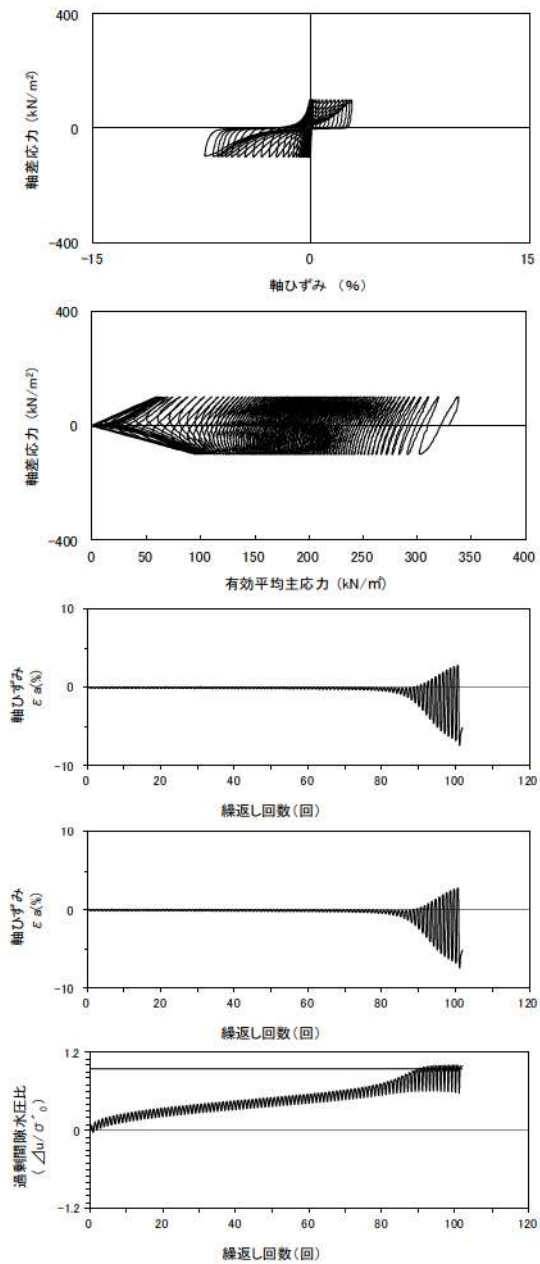
| 試験条件 | | 液状化の判断 |
|---|--------|--------|
| 供試体 | No.1-9 | |
| 圧密応力 σ'_c (kN/m ²) | 330 | |
| 繰返し応力振幅比 $\sigma_d/2\sigma'_0$ | 0.250 | |
| 試験結果 | | 繰返し軟化 |
| 間隙水圧が上昇・蓄積する。 (過剰間隙水圧比95%を超える。) | ○ | |
| 有効応力がゼロまで低下する。 | × | |
| 液体状となり流動する。 (ひずみが急増する。) | × | |
| 正のダイレイタンス特性によりせん断抵抗が作用する。 (有効応力が回復する。) | ○ | |

添付 1-229 図 液状化強度試験結果
(FS-2-③(3) 三軸試料(供試体 No. 1-9))



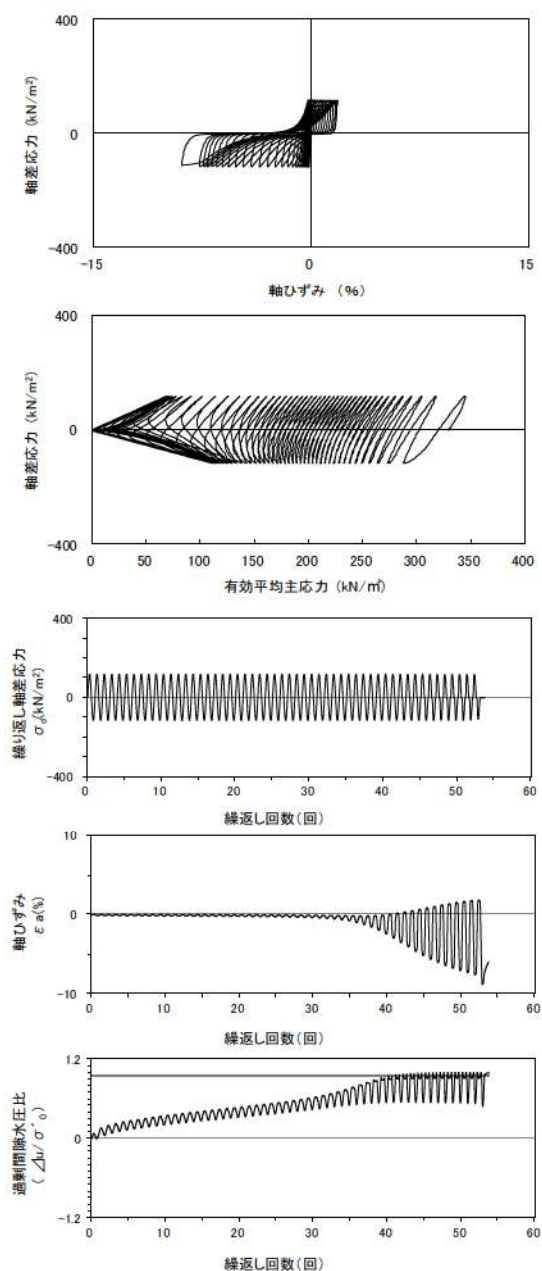
| 試験条件 | | |
|--|--------|----------------------------|
| 供試体 | No.2-7 | |
| 圧密応力 σ'_c (kN/m ²) | 330 | |
| 繰返し応力振幅比 $\sigma_d/2\sigma'_0$ | 0.202 | |
| 試験結果 | | 液状化の判断 |
| 間隙水圧が上昇・蓄積する。 (過剰間隙水圧比95%を超える。) | ○ | 繰返し軟化 (サイクリック モビリティ) |
| 有効応力がゼロまで低下する。 | × | |
| 液体状となり流動する。 (ひずみが急増する。) | × | |
| 正のダイレイタンシー特性により せん断抵抗が作用する。 (有効応力が回復する。) | ○ | |

添付 1-230 図 液状化強度試験結果
(FS-2-③(3) 三軸試料(供試体 No. 2-7))



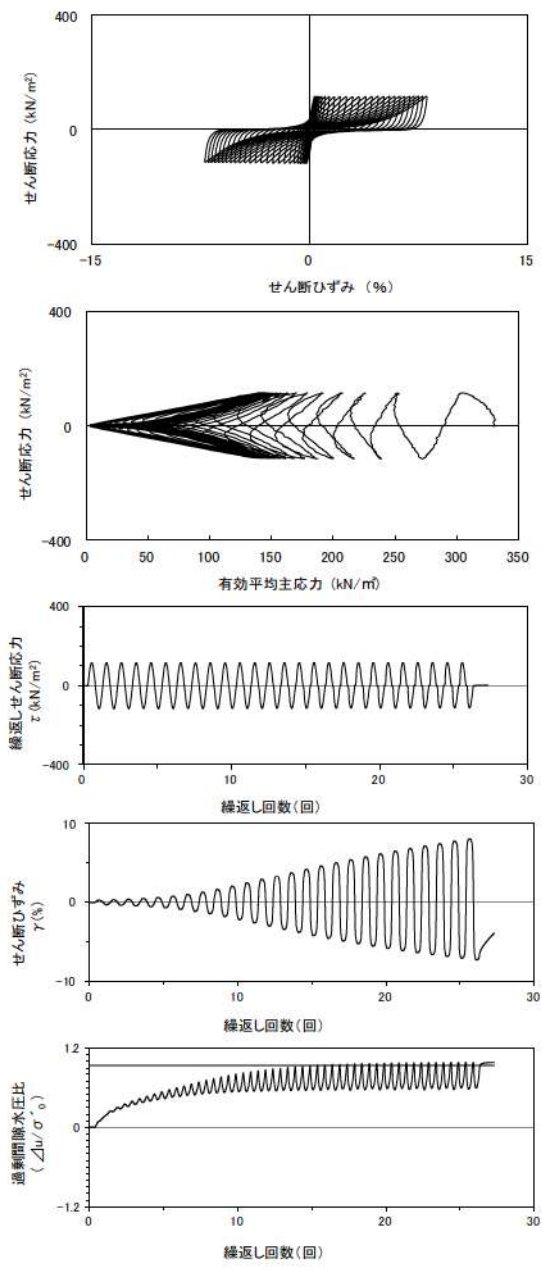
| 試験条件 | | |
|--|---------|----------------------------|
| 供試体 | No.4-10 | |
| 圧密応力 σ'_c (kN/m ²) | 330 | |
| 繰返し応力振幅比 $\sigma_d/2\sigma'_0$ | 0.152 | |
| 試験結果 | | 液状化の判断 |
| 間隙水圧が上昇・蓄積する。 (過剰間隙水圧比95%を超える。) | ○ | 繰返し軟化 (サイクリック モビリティ) |
| 有効応力がゼロまで低下する。 | ○ | |
| 液体状となり流動する。 (ひずみが急増する。) | × | |
| 正のダイレイタンシー特性により せん断抵抗が作用する。 (有効応力が回復する。) | ○ | |

添付 1-231 図 液状化強度試験結果
(FS-2-③(3) 三軸試料(供試体 No. 4-10))



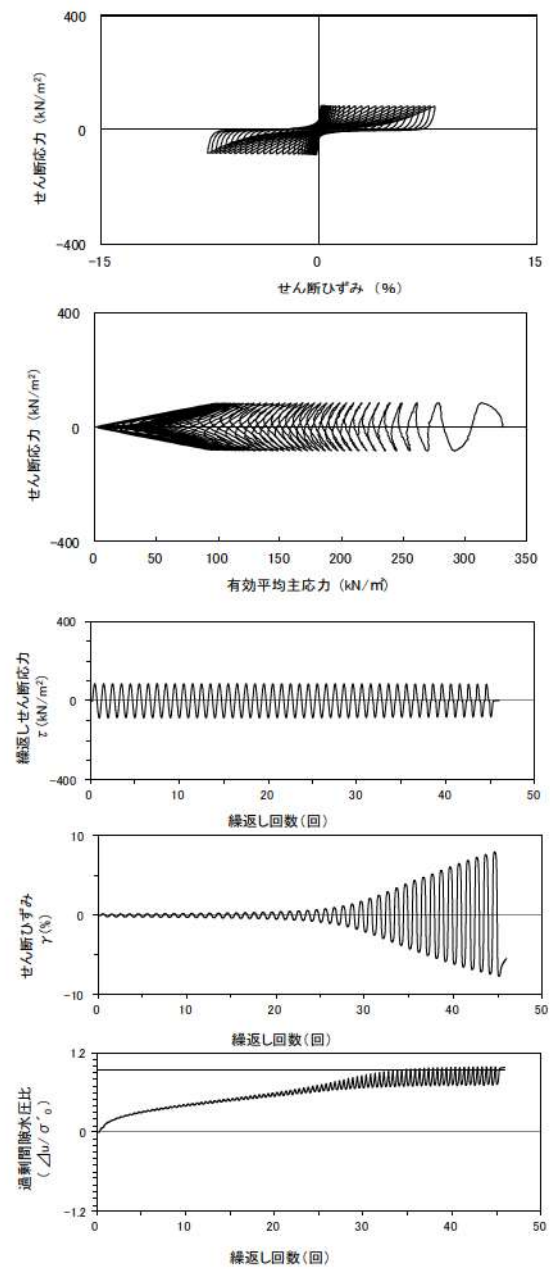
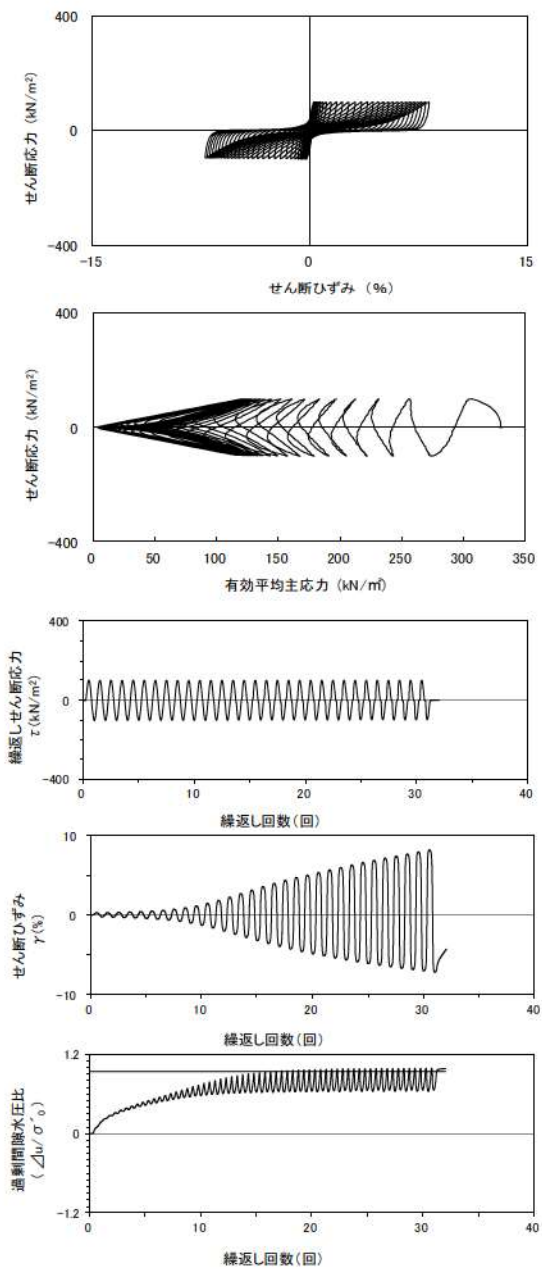
| 試験条件 | | |
|--|--------|----------------------------|
| 供試体 | No.3-7 | |
| 圧密応力 σ'_c (kN/m ²) | 330 | |
| 繰返し応力振幅比 $\sigma_d/2\sigma'_0$ | 0.177 | |
| 試験結果 | | 液状化の判断 |
| 間隙水圧が上昇・蓄積する。 (過剰間隙水圧比95%を超える。) | ○ | 繰返し軟化 (サイクリック モビリティ) |
| 有効応力がゼロまで低下する。 | ○ | |
| 液体状となり流動する。 (ひずみが急増する。) | × | |
| 正のダイレイタンスー特性により せん断抵抗が作用する。 (有効応力が回復する。) | ○ | |

添付 1-232 図 液状化強度試験結果
(FS-2-③(3) 三軸試料(供試体 No. 3-7))



| 試験条件 | | |
|--|---------|--------|
| 供試体 | No.1-16 | |
| 圧密応力 σ'_c (kN/m ²) | 330 | |
| 繰返し応力振幅比 $\sigma_d/2\sigma'_0$ | 0.351 | |
| 試験結果 | | 液状化の判断 |
| 間隙水圧が上昇・蓄積する。 (過剰間隙水圧比95%を超える。) | ○ | 繰返し軟化 |
| 有効応力がゼロまで低下する。 | × | |
| 液体状となり流動する。 (ひずみが急増する。) | × | |
| 正のダイレイタンスー特性により せん断抵抗が作用する。 (有効応力が回復する。) | ○ | |

添付 1-233 図 液状化強度試験結果
(FS-2-③(1) 中空試料(供試体 No. 1-16))

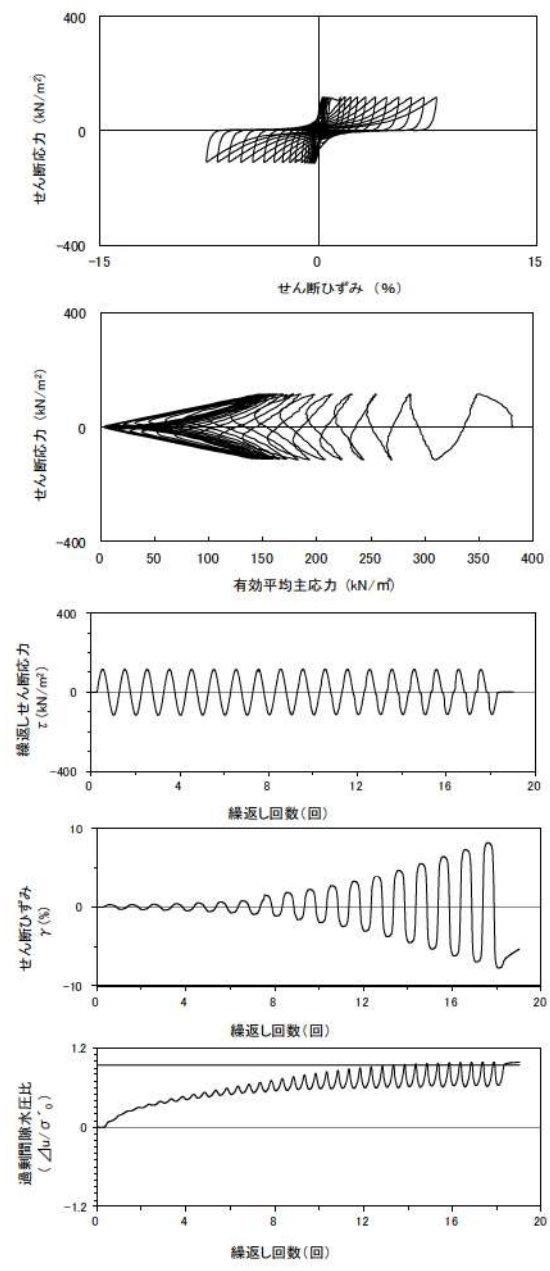
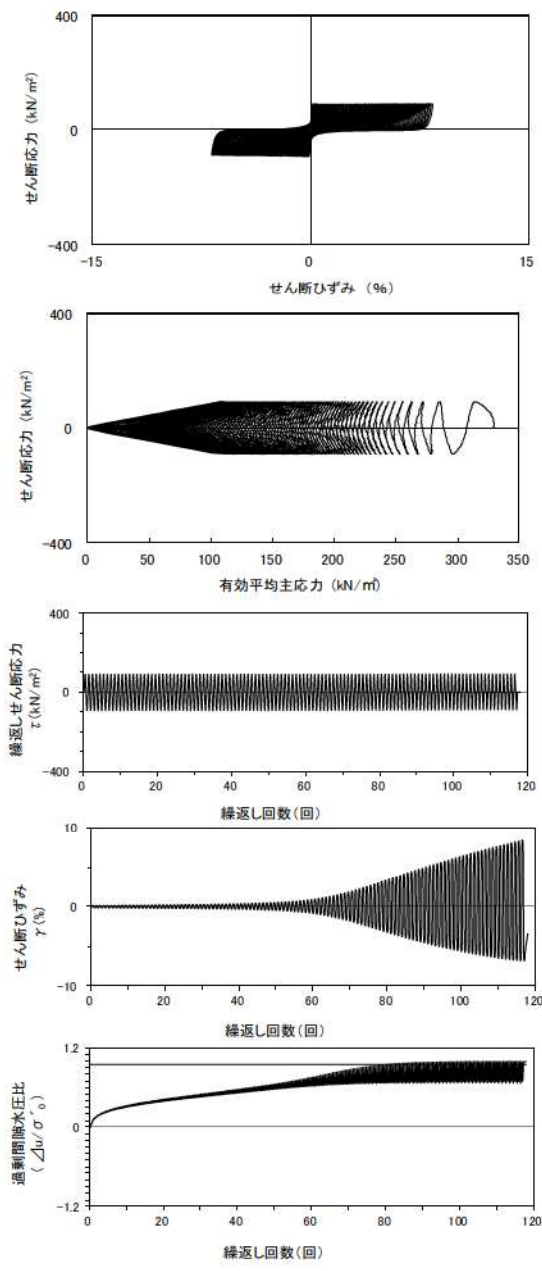


| 試験条件 | | 液状化の判断 |
|---|---------|--------|
| 供試体 | No.1-15 | |
| 圧密応力 σ'_c (kN/m ²) | 330 | |
| 繰返し応力振幅比 $\sigma_d/2\sigma'_c$ | 0.301 | 繰返し軟化 |
| 試験結果 | | |
| 間隙水圧が上昇・蓄積する。 (過剰間隙水圧比95%を超える。) | ○ | |
| 有効応力がゼロまで低下する。 | × | |
| 液体状となり流動する。 (ひずみが急増する。) | × | |
| 正のダイレイタンス特性によりせん断抵抗が作用する。 (有効応力が回復する。) | ○ | |

添付 1-234 図 液状化強度試験結果
(FS-2-③(1)中空試料(供試体 No. 1-15))

| 試験条件 | | 液状化の判断 |
|---|---------|--------|
| 供試体 | No.4-16 | |
| 圧密応力 σ'_c (kN/m ²) | 330 | |
| 繰返し応力振幅比 $\sigma_d/2\sigma'_c$ | 0.254 | 繰返し軟化 |
| 試験結果 | | |
| 間隙水圧が上昇・蓄積する。 (過剰間隙水圧比95%を超える。) | ○ | |
| 有効応力がゼロまで低下する。 | × | |
| 液体状となり流動する。 (ひずみが急増する。) | × | |
| 正のダイレイタンス特性によりせん断抵抗が作用する。 (有効応力が回復する。) | ○ | |

添付 1-235 図 液状化強度試験結果
(FS-2-③(1)中空試料(供試体 No. 4-16))

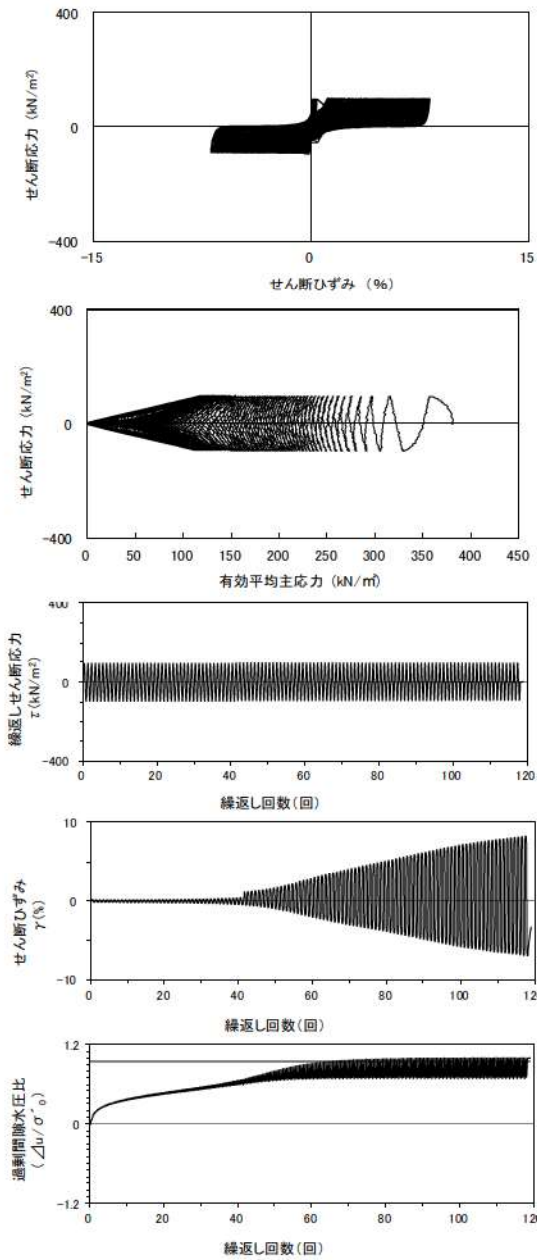


| 試験条件 | | |
|---|---------|----------------------------|
| 供試体 | No.3-13 | |
| 圧密応力 σ'_c (kN/m ²) | 330 | |
| 繰返し応力振幅比 $\sigma_d/2\sigma'_c$ | 0.277 | |
| 試験結果 | | 液状化の判断 |
| 間隙水圧が上昇・蓄積する。 (過剰間隙水圧比95%を超える。) | ○ | 繰返し軟化 (サイクリック モビリティ) |
| 有効応力がゼロまで低下する。 | ○ | |
| 液体状となり流動する。 (ひずみが急増する。) | × | |
| 正のダイレイタンス特性により せん断抵抗が作用する。 (有効応力が回復する。) | ○ | |

添付 1-236 図 液状化強度試験結果
(FS-2-③(1)中空試料(供試体 No. 3-13))

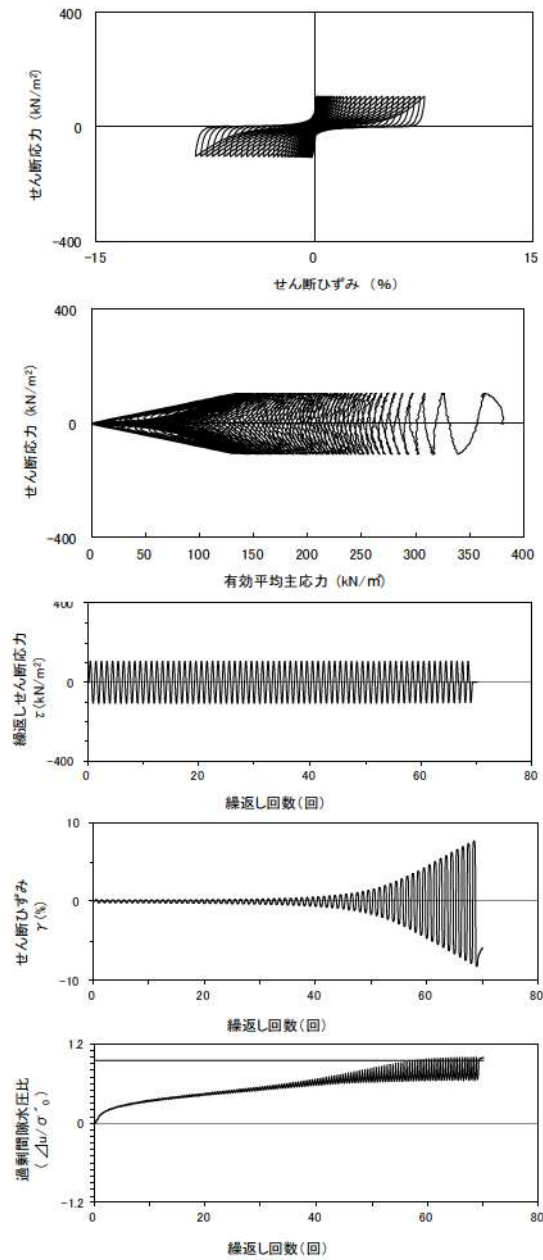
| 試験条件 | | |
|---|---------|--------|
| 供試体 | No.4-32 | |
| 圧密応力 σ'_c (kN/m ²) | 380 | |
| 繰返し応力振幅比 $\sigma_d/2\sigma'_c$ | 0.300 | |
| 試験結果 | | 液状化の判断 |
| 間隙水圧が上昇・蓄積する。 (過剰間隙水圧比95%を超える。) | ○ | 繰返し軟化 |
| 有効応力がゼロまで低下する。 | × | |
| 液体状となり流動する。 (ひずみが急増する。) | × | |
| 正のダイレイタンス特性により せん断抵抗が作用する。 (有効応力が回復する。) | ○ | |

添付 1-237 図 液状化強度試験結果
(FS-2-⑤(1)中空試料(供試体 No. 4-32))



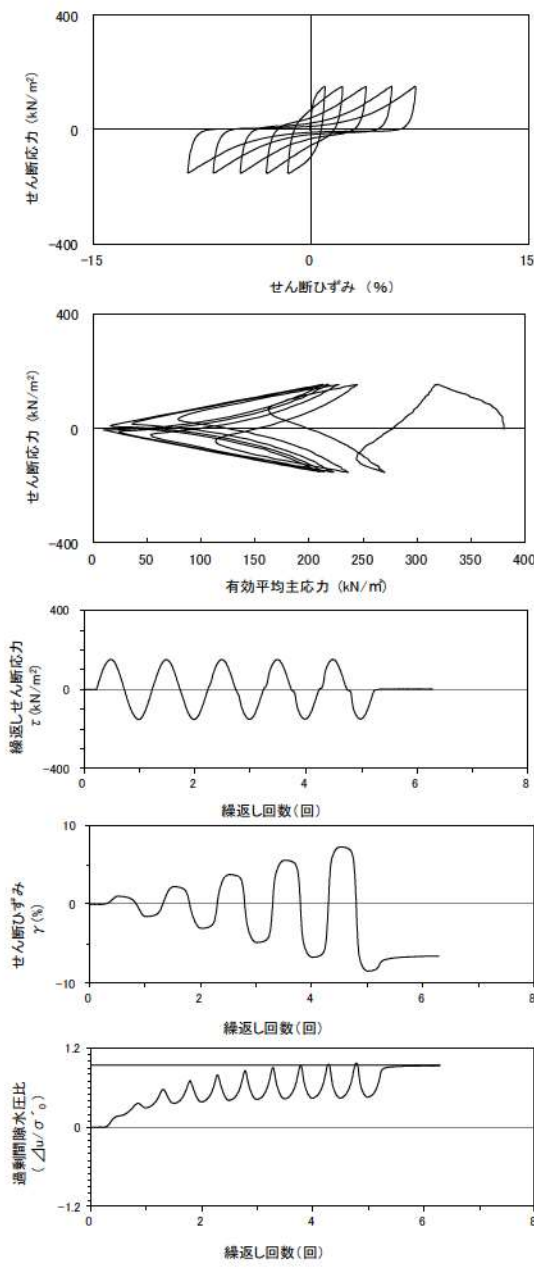
| 試験条件 | | |
|--|---------|----------------------------|
| 供試体 | No.3-30 | |
| 圧密応力 σ'_c (kN/m ²) | 380 | |
| 繰返し応力振幅比 $\sigma_d / 2\sigma'_0$ | 0.251 | |
| 試験結果 | | 液状化の判断 |
| 間隙水圧が上昇・蓄積する。 (過剰間隙水圧比95%を超える。) | ○ | 繰返し軟化 (サイクリック モビリティ) |
| 有効応力がゼロまで低下する。 | ○ | |
| 液体状となり流動する。 (ひずみが急増する。) | × | |
| 正のダイレイタンスー特性により せん断抵抗が作用する。 (有効応力が回復する。) | ○ | |

添付 1-238 図 液状化強度試験結果
(FS-2-⑤(1)中空試料(供試体 No. 3-30))



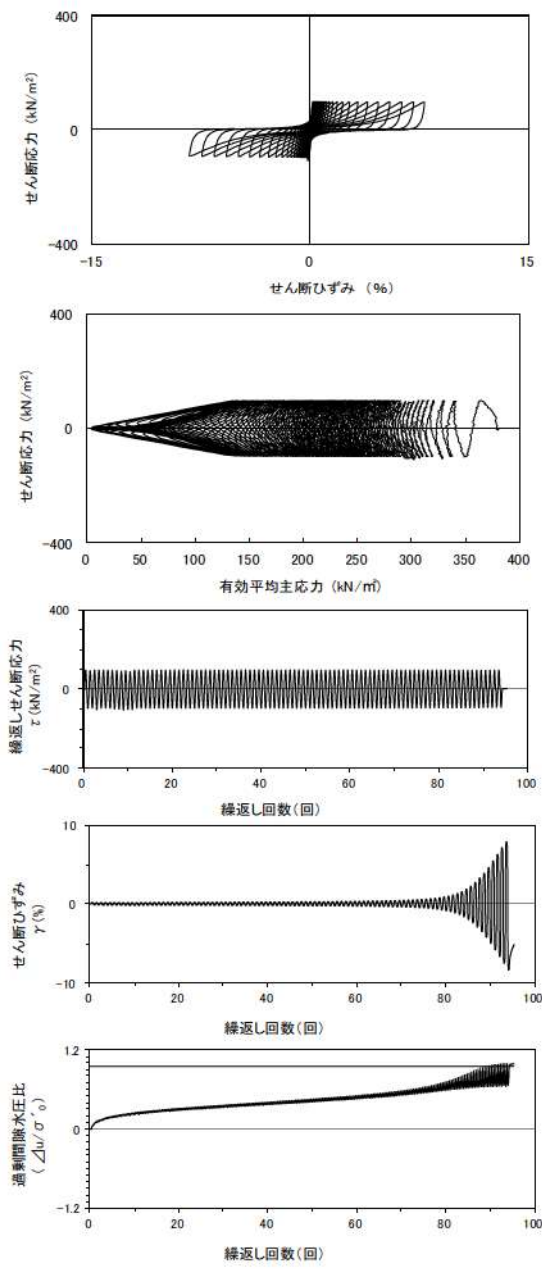
| 試験条件 | | |
|--|---------|--------|
| 供試体 | No.2-31 | |
| 圧密応力 σ'_c (kN/m ²) | 380 | |
| 繰返し応力振幅比 $\sigma_d / 2\sigma'_0$ | 0.278 | |
| 試験結果 | | 液状化の判断 |
| 間隙水圧が上昇・蓄積する。 (過剰間隙水圧比95%を超える。) | ○ | 繰返し軟化 |
| 有効応力がゼロまで低下する。 | × | |
| 液体状となり流動する。 (ひずみが急増する。) | × | |
| 正のダイレイタンスー特性により せん断抵抗が作用する。 (有効応力が回復する。) | ○ | |

添付 1-239 図 液状化強度試験結果
(FS-2-⑤(1)中空試料(供試体 No. 2-31))



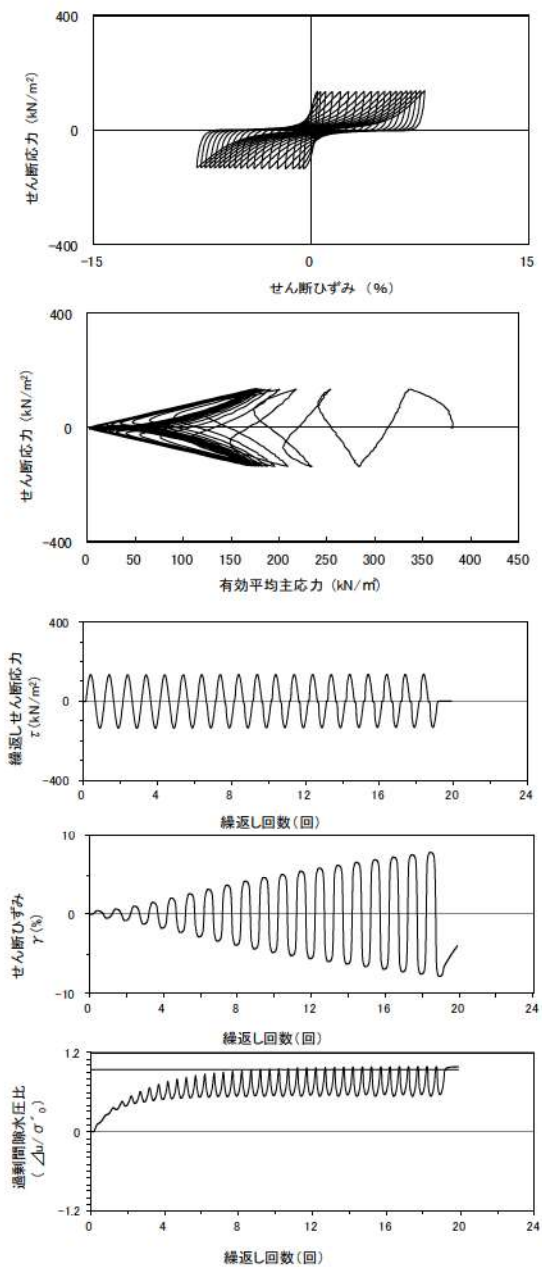
| 試験条件 | | 液状化の判断 | |
|--|---------|--------|--|
| 供試体 | No.1-32 | | |
| 圧密応力 σ'_c (kN/m ²) | 380 | | |
| 繰返し応力振幅比 $\sigma_d/2\sigma'_0$ | 0.402 | | |
| 試験結果 | | 液状化の判断 | |
| 間隙水圧が上昇・蓄積する。 (過剰間隙水圧比95%を超える。) | ○ | 繰返し軟化 | |
| 有効応力がゼロまで低下する。 | × | | |
| 液体状となり流動する。 (ひずみが急増する。) | × | | |
| 正のダイレイタンシー特性によりせん断抵抗が作用する。 (有効応力が回復する。) | ○ | | |

添付 1-240 図 液状化強度試験結果
(FS-2-⑤)(1) 中空試料(供試体 No. 1-32)



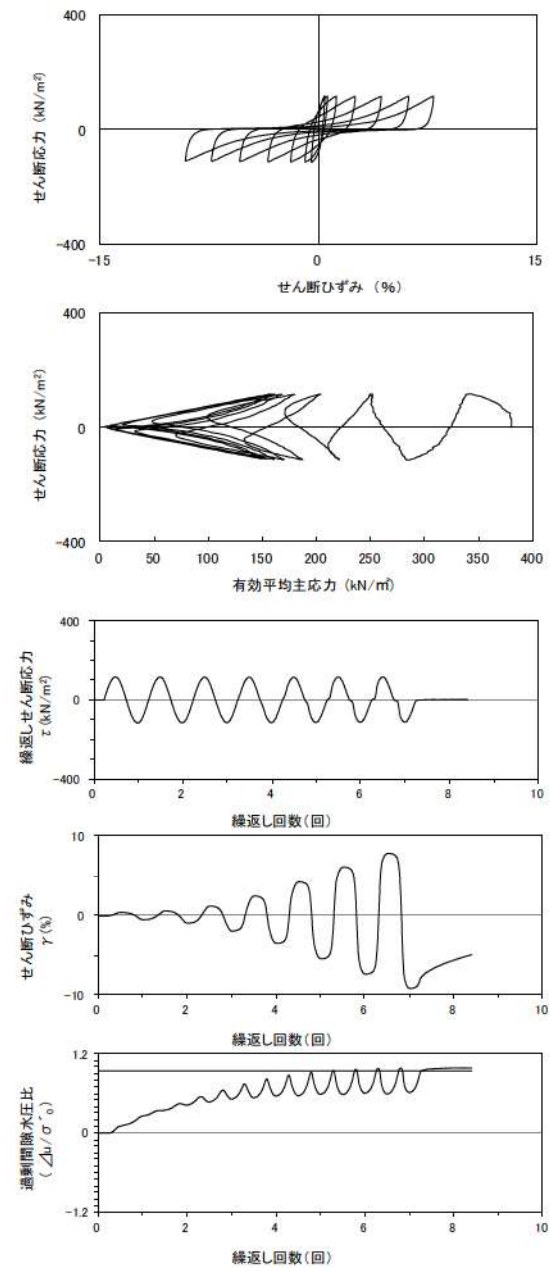
| 試験条件 | | 液状化の判断 | |
|--|---------|--------|--|
| 供試体 | No.4-33 | | |
| 圧密応力 σ'_c (kN/m ²) | 380 | | |
| 繰返し応力振幅比 $\sigma_d/2\sigma'_0$ | 0.257 | | |
| 試験結果 | | 液状化の判断 | |
| 間隙水圧が上昇・蓄積する。 (過剰間隙水圧比95%を超える。) | ○ | 繰返し軟化 | |
| 有効応力がゼロまで低下する。 | × | | |
| 液体状となり流動する。 (ひずみが急増する。) | × | | |
| 正のダイレイタンシー特性によりせん断抵抗が作用する。 (有効応力が回復する。) | ○ | | |

添付 1-241 図 液状化強度試験結果
(FS-2-⑤)(2) 中空試料(供試体 No. 4-33)



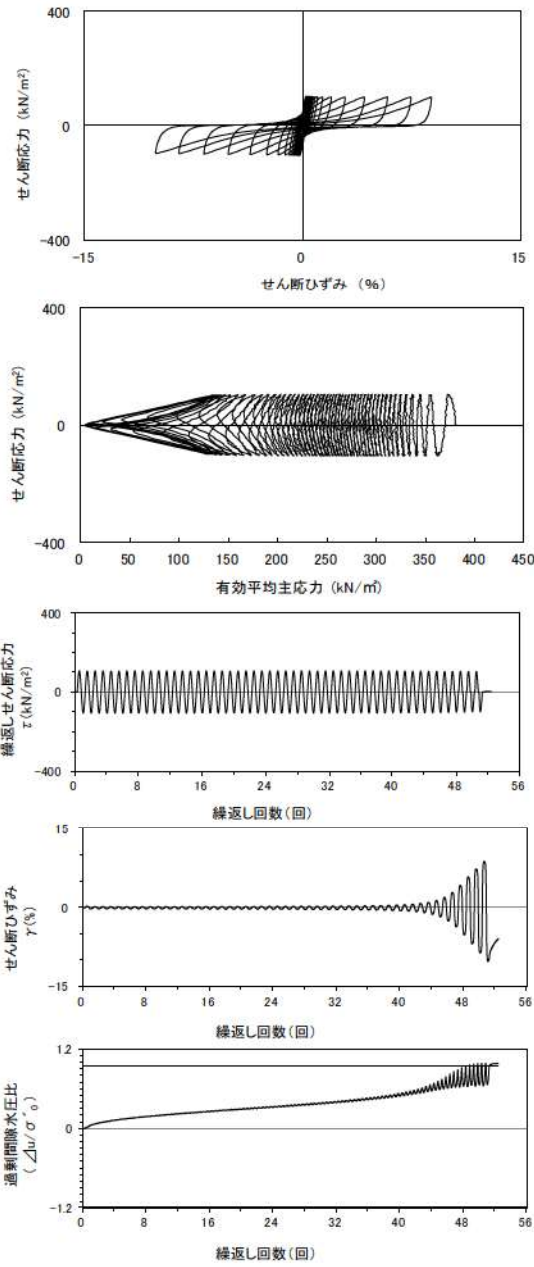
| 試験条件 | | 液状化の判断 | |
|---|---------|--------|--|
| 供試体 | No.3-31 | | |
| 圧密応力 σ'_c (kN/m ²) | 380 | | |
| 繰返し応力振幅比 $\sigma_d / 2\sigma'_0$ | 0.354 | | |
| 試験結果 | | 液状化の判断 | |
| 間隙水圧が上昇・蓄積する。 (過剰間隙水圧比95%を超える。) | ○ | 繰返し軟化 | |
| 有効応力がゼロまで低下する。 | × | | |
| 液体状となり流動する。 (ひずみが急増する。) | × | | |
| 正のダイレイタンス特性によりせん断抵抗が作用する。 (有効応力が回復する。) | ○ | | |

添付 1-242 図 液状化強度試験結果
(FS-2-⑤(2)中空試料(供試体 No. 3-31))



| 試験条件 | | 液状化の判断 | |
|---|---------|--------|--|
| 供試体 | No.1-33 | | |
| 圧密応力 σ'_c (kN/m ²) | 380 | | |
| 繰返し応力振幅比 $\sigma_d / 2\sigma'_0$ | 0.303 | | |
| 試験結果 | | 液状化の判断 | |
| 間隙水圧が上昇・蓄積する。 (過剰間隙水圧比95%を超える。) | ○ | 繰返し軟化 | |
| 有効応力がゼロまで低下する。 | × | | |
| 液体状となり流動する。 (ひずみが急増する。) | × | | |
| 正のダイレイタンス特性によりせん断抵抗が作用する。 (有効応力が回復する。) | ○ | | |

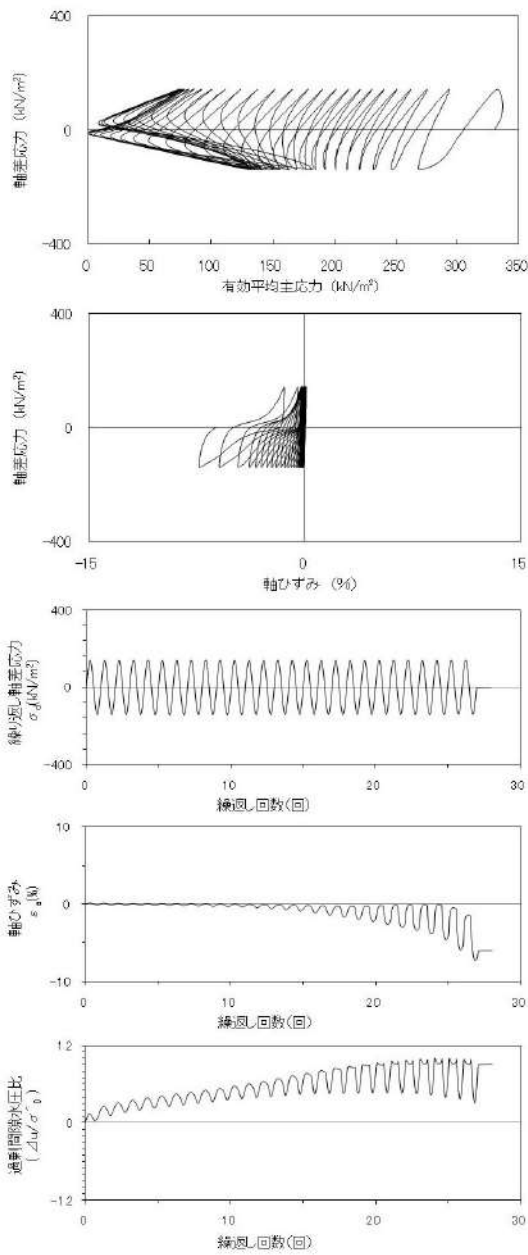
添付 1-243 図 液状化強度試験結果
(FS-2-⑤(2)中空試料(供試体 No. 1-33))



| 試験条件 | | |
|--|---------|--------|
| 供試体 | No.2-33 | |
| 圧密応力 σ'_c (kN/m^2) | 380 | |
| 繰返し応力振幅比 $\sigma_d/2\sigma'_0$ | 0.274 | |
| 試験結果 | | 液状化の判断 |
| 間隙水圧が上昇・蓄積する。 (過剰間隙水圧比95%を超える。) | ○ | 繰返し軟化 |
| 有効応力がゼロまで低下する。 | × | |
| 液体状となり流動する。 (ひずみが急増する。) | × | |
| 正のダイレイタンスー特性により せん断抵抗が作用する。 (有効応力が回復する。) | ○ | |

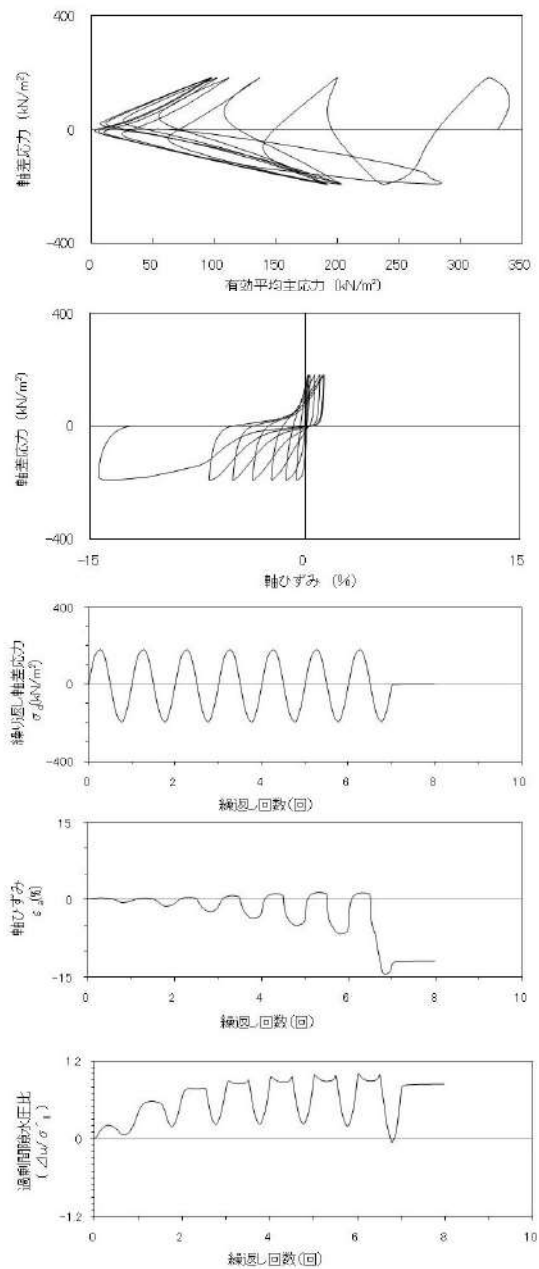
添付 1-244 図 液状化強度試験結果
(FS-2-⑤(2)中空試料(供試体 No. 2-33))

2. 液状化強度試験結果
(4) As2層の試験データ



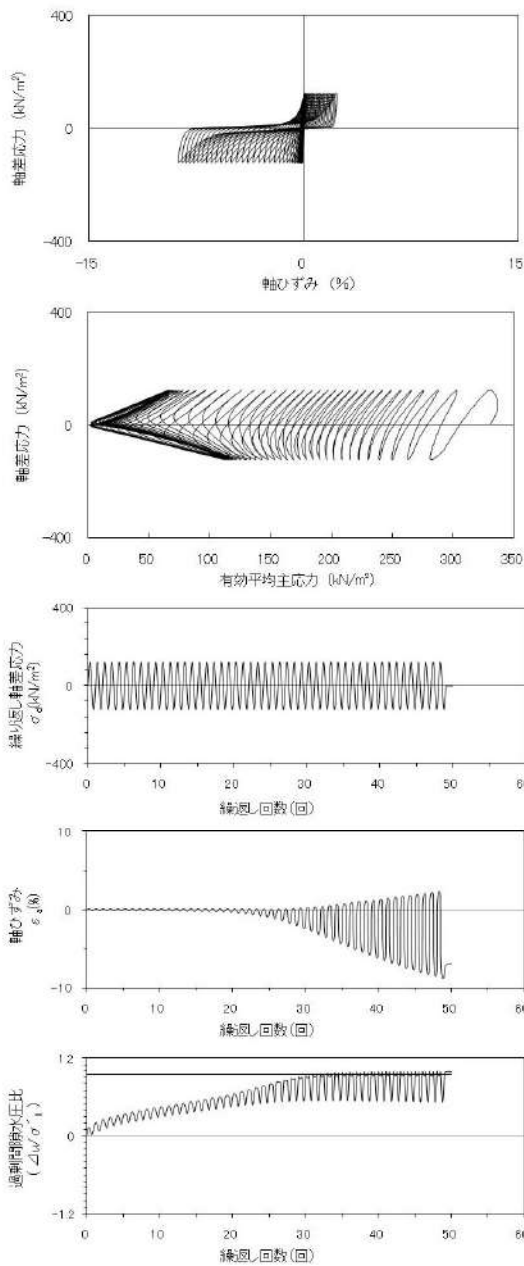
| 試験条件 | | |
|--|-------|----------------------------|
| 供試体 | No.2 | |
| 圧密応力 σ'_c (kN/m ²) | 330 | |
| 繰返し応力振幅比 $\sigma_d/2\sigma'_c$ | 0.214 | |
| 試験結果 | | 液状化の判断 |
| 間隙水圧が上昇・蓄積する。 (過剰間隙水圧比95%を超える。) | ○ | 繰返し軟化 (サイクリック モビリティ) |
| 有効応力がゼロまで低下する。 | ○ | |
| 液体状となり流動する。 (ひずみが急増する。) | × | |
| 正のダイレイタンスー特性により せん断抵抗が作用する。 (有効応力が回復する。) | ○ | |

添付 1-245 図 液状化強度試験結果
(SW-6-2 試料(供試体 No. 2))



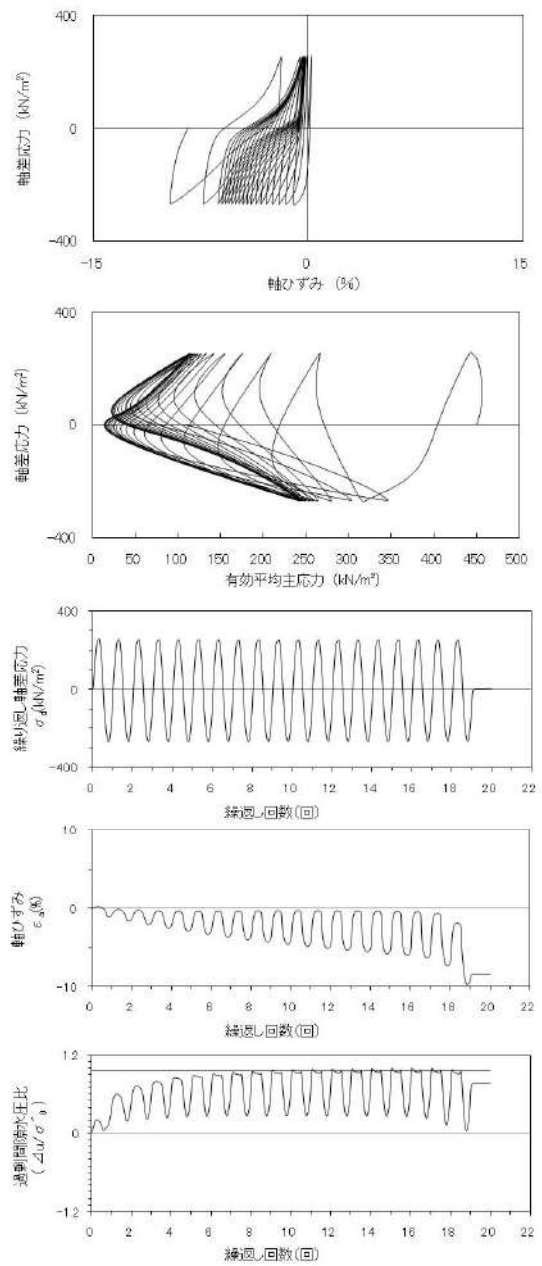
| 試験条件 | | |
|--|-------|--------|
| 供試体 | No.3 | |
| 圧密応力 σ'_c (kN/m ²) | 330 | |
| 繰返し応力振幅比 $\sigma_d/2\sigma'_c$ | 0.285 | |
| 試験結果 | | 液状化の判断 |
| 間隙水圧が上昇・蓄積する。 (過剰間隙水圧比95%を超える。) | ○ | 繰返し軟化 |
| 有効応力がゼロまで低下する。 | × | |
| 液体状となり流動する。 (ひずみが急増する。) | × | |
| 正のダイレイタンスー特性により せん断抵抗が作用する。 (有効応力が回復する。) | ○ | |

添付 1-246 図 液状化強度試験結果
(SW-6-2 試料(供試体 No. 3))



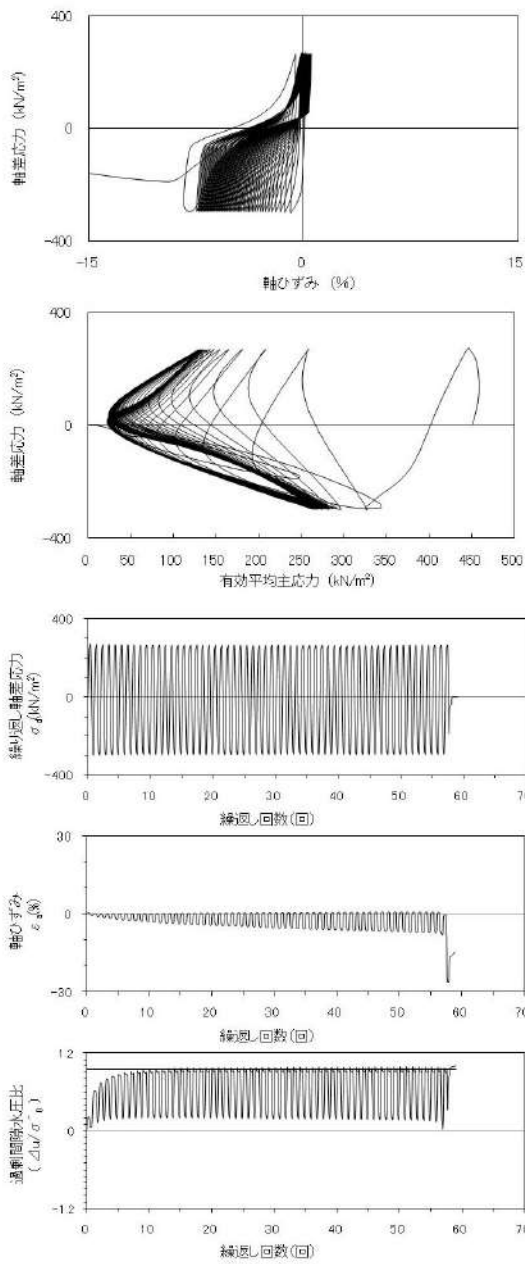
| 試験条件 | | |
|---------------------------------------|-------|--------|
| 供試体 | No.4 | |
| 圧密応力 σ'_c (kN/m ²) | 330 | |
| 繰返し応力振幅比 $\sigma_d/2\sigma'_o$ | 0.186 | |
| 試験結果 | | 液状化の判断 |
| 間隙水圧が上昇・蓄積する。(過剰間隙水圧比95%を超える。) | ○ | 繰返し軟化 |
| 有効応力がゼロまで低下する。 | × | |
| 液体状となり流動する。(ひずみが急増する。) | × | |
| 正のダイレイタンス特性によりせん断抵抗が作用する。(有効応力が回復する。) | ○ | |

添付 1-247 図 液状化強度試験結果
(SW-6-2 試料(供試体 No. 4))



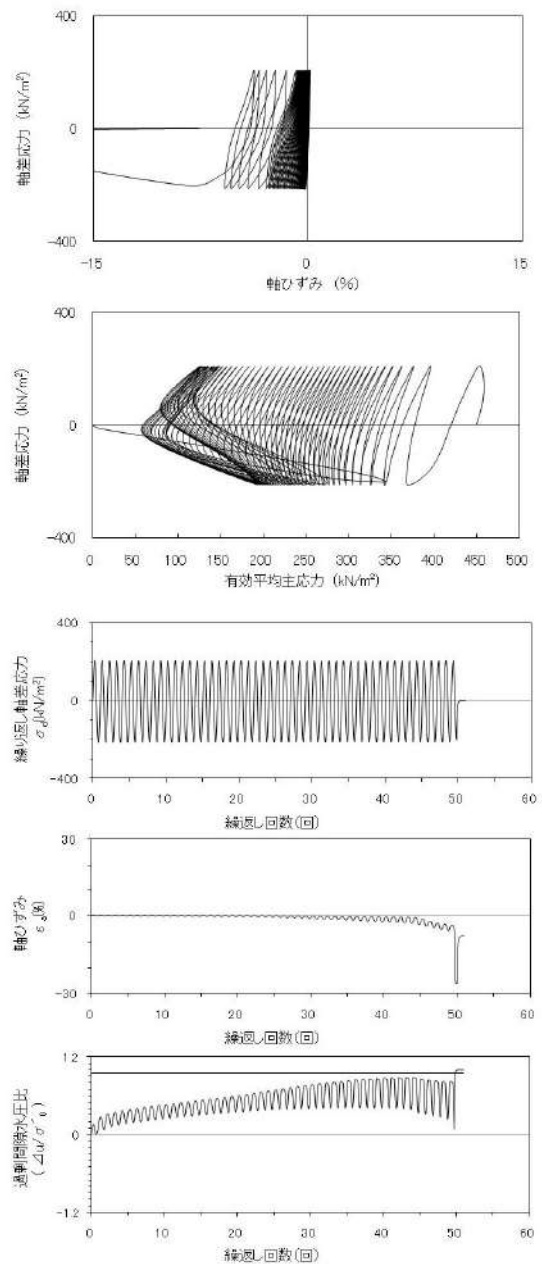
| 試験条件 | | |
|---------------------------------------|-------|--------|
| 供試体 | No.1 | |
| 圧密応力 σ'_c (kN/m ²) | 450 | |
| 繰返し応力振幅比 $\sigma_d/2\sigma'_o$ | 0.294 | |
| 試験結果 | | 液状化の判断 |
| 間隙水圧が上昇・蓄積する。(過剰間隙水圧比95%を超える。) | ○ | 繰返し軟化 |
| 有効応力がゼロまで低下する。 | × | |
| 液体状となり流動する。(ひずみが急増する。) | × | |
| 正のダイレイタンス特性によりせん断抵抗が作用する。(有効応力が回復する。) | ○ | |

添付 1-248 図 液状化強度試験結果
(SW2-1(T5) 試料(供試体 No. 1))



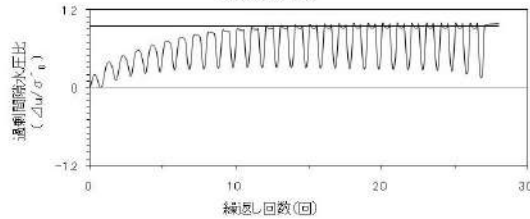
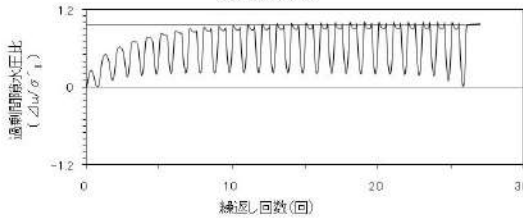
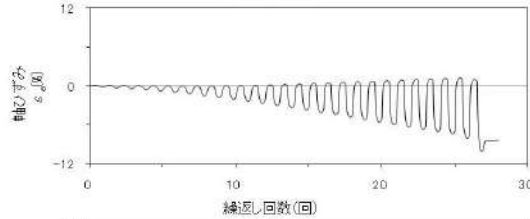
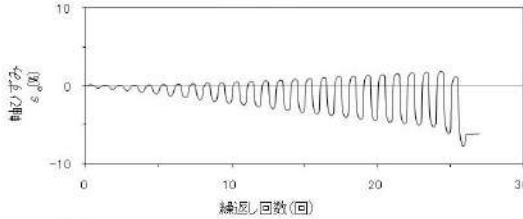
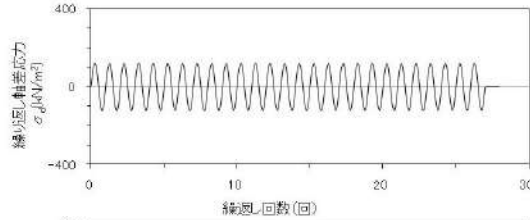
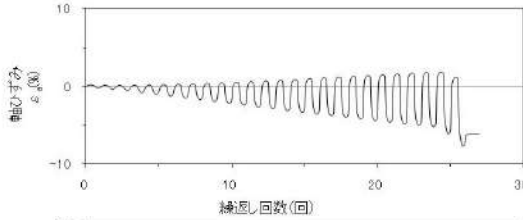
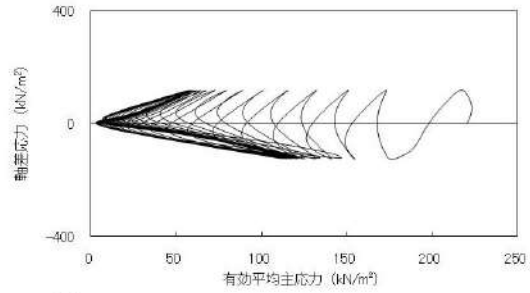
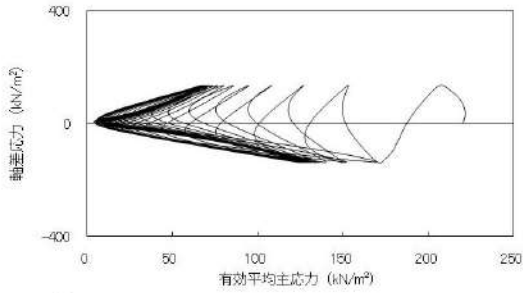
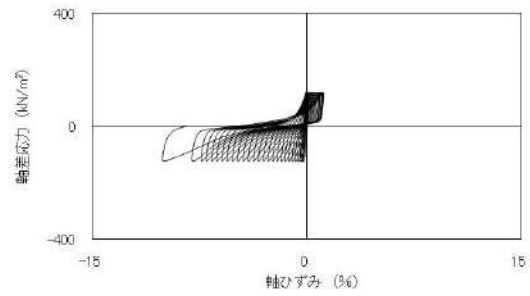
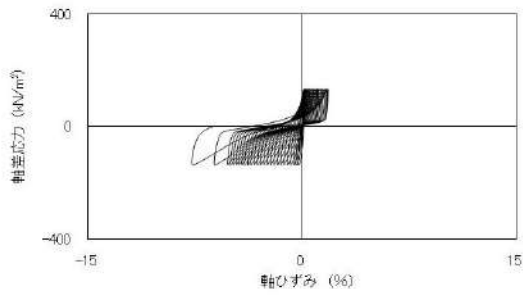
| 試験条件 | | 液状化の判断 | |
|---|-------|--------|-------|
| 供試体 | No.2 | | 繰返し軟化 |
| 圧密応力 σ'_c (kN/m ²) | 450 | | |
| 繰返し応力振幅比 $\sigma_d/2\sigma'_c$ | 0.318 | | |
| 試験結果 | | | |
| 間隙水圧が上昇・蓄積する。 (過剰間隙水圧比95%を超える。) | ○ | 繰返し軟化 | |
| 有効応力がゼロまで低下する。 | × | | |
| 液体状となり流動する。 (ひずみが急増する。) | × | | |
| 正のダイレイタンス特性によりせん断抵抗が作用する。 (有効応力が回復する。) | ○ | | |

添付 1-249 図 液状化強度試験結果
(SW2-1(T5) 試料(供試体 No. 2))



| 試験条件 | | 液状化の判断 | |
|---|-------|--------|------|
| 供試体 | No.3 | | 非液状化 |
| 圧密応力 σ'_c (kN/m ²) | 450 | | |
| 繰返し応力振幅比 $\sigma_d/2\sigma'_c$ | 0.234 | | |
| 試験結果 | | | |
| 間隙水圧が上昇・蓄積する。 (過剰間隙水圧比95%を超える。) | × | 非液状化 | |
| 有効応力がゼロまで低下する。 | × | | |
| 液体状となり流動する。 (ひずみが急増する。) | × | | |
| 正のダイレイタンス特性によりせん断抵抗が作用する。 (有効応力が回復する。) | ○ | | |

添付 1-250 図 液状化強度試験結果
(SW2-1(T5) 試料(供試体 No. 3))

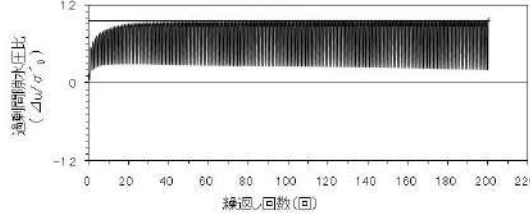
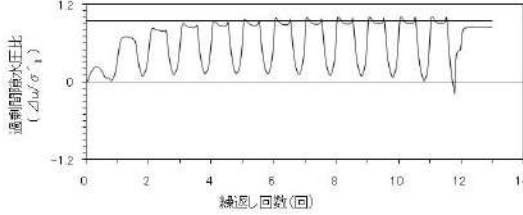
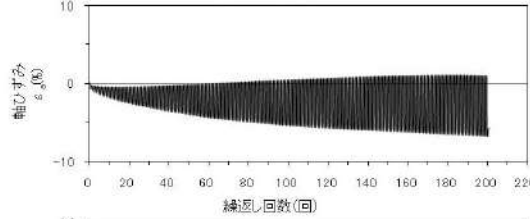
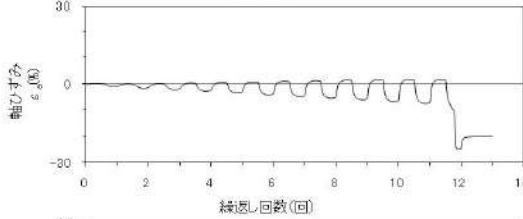
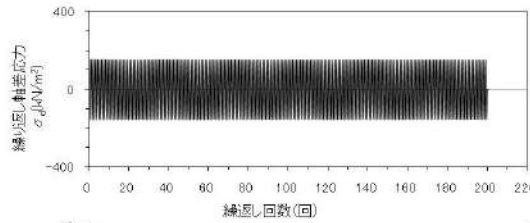
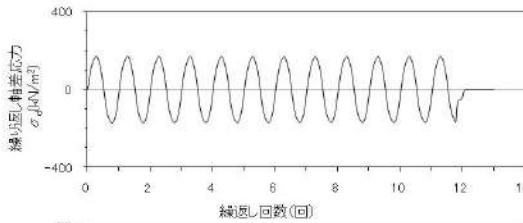
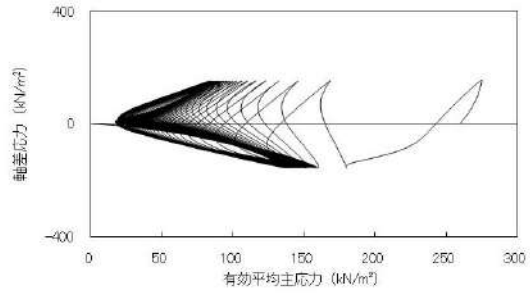
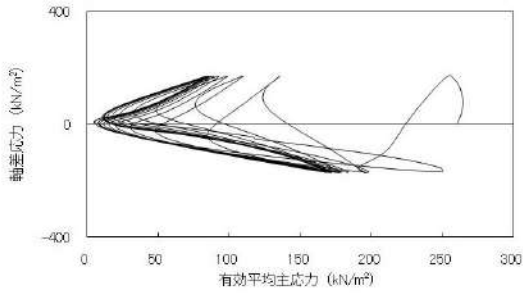
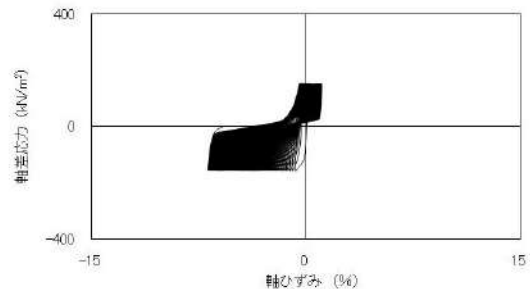
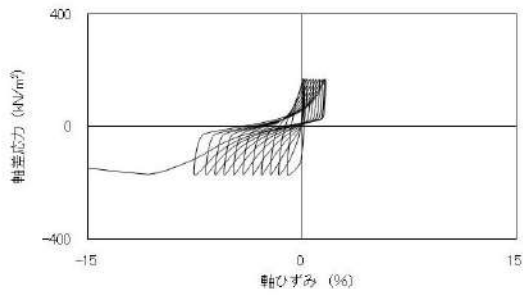


| 試験条件 | | |
|---|-------|--------|
| 供試体 | No.20 | |
| 圧密応力 σ'_c (kN/m ²) | 220 | |
| 繰返し応力振幅比 $\sigma_d/2\sigma'_c$ | 0.309 | |
| 試験結果 | | 液状化の判断 |
| 間隙水圧が上昇・蓄積する。 (過剰間隙水圧比95%を超える。) | ○ | 繰返し軟化 |
| 有効応力がゼロまで低下する。 | × | |
| 液体状となり流動する。 (ひずみが急増する。) | × | |
| 正のダイレイタンス特性により せん断抵抗が作用する。 (有効応力が回復する。) | ○ | |

添付 1-251 図 液状化強度試験結果
(SW2-4(1) 試料(供試体 No. 20))

| 試験条件 | | |
|---|-------|--------|
| 供試体 | No.21 | |
| 圧密応力 σ'_c (kN/m ²) | 220 | |
| 繰返し応力振幅比 $\sigma_d/2\sigma'_c$ | 0.277 | |
| 試験結果 | | 液状化の判断 |
| 間隙水圧が上昇・蓄積する。 (過剰間隙水圧比95%を超える。) | ○ | 繰返し軟化 |
| 有効応力がゼロまで低下する。 | × | |
| 液体状となり流動する。 (ひずみが急増する。) | × | |
| 正のダイレイタンス特性により せん断抵抗が作用する。 (有効応力が回復する。) | ○ | |

添付 1-252 図 液状化強度試験結果
(SW2-4(1) 試料(供試体 No. 21))

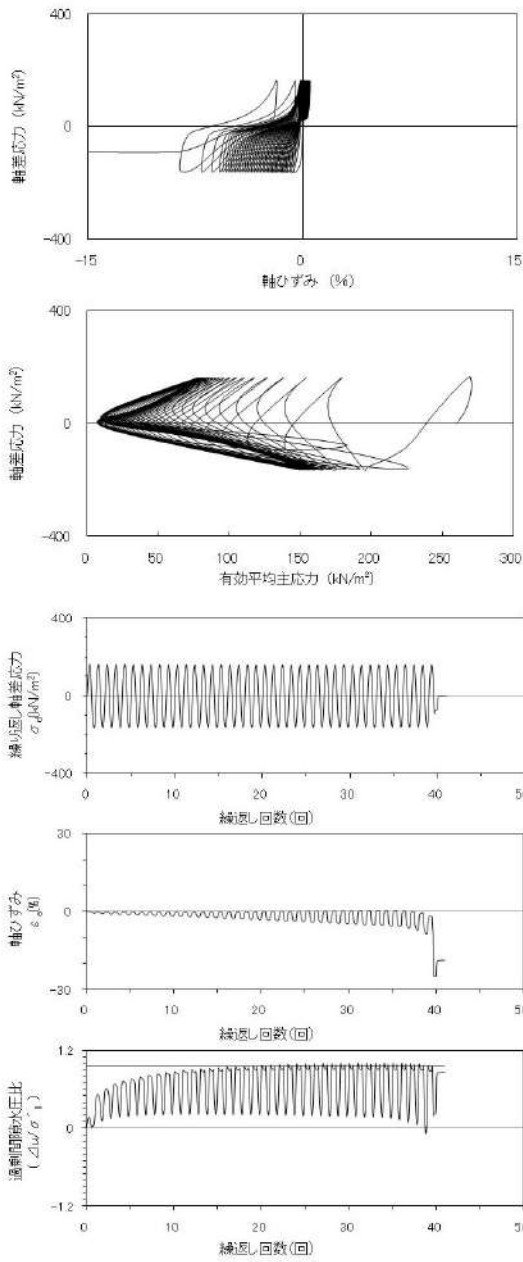


| 試験条件 | | |
|---|-------|--------|
| 供試体 | No.42 | |
| 圧密応力 σ'_c (kN/m ²) | 260 | |
| 繰返し応力振幅比 $\sigma_d/2\sigma'_c$ | 0.332 | |
| 試験結果 | | 液状化の判断 |
| 間隙水圧が上昇・蓄積する。 (過剰間隙水圧比95%を超える。) | ○ | 繰返し軟化 |
| 有効応力がゼロまで低下する。 | × | |
| 液体状となり流動する。 (ひずみが急増する。) | × | |
| 正のダイレイタンス特性によりせん断抵抗が作用する。 (有効応力が回復する。) | ○ | |

| 試験条件 | | |
|---|-------|--------|
| 供試体 | No.43 | |
| 圧密応力 σ'_c (kN/m ²) | 260 | |
| 繰返し応力振幅比 $\sigma_d/2\sigma'_c$ | 0.297 | |
| 試験結果 | | 液状化の判断 |
| 間隙水圧が上昇・蓄積する。 (過剰間隙水圧比95%を超える。) | ○ | 繰返し軟化 |
| 有効応力がゼロまで低下する。 | × | |
| 液体状となり流動する。 (ひずみが急増する。) | × | |
| 正のダイレイタンス特性によりせん断抵抗が作用する。 (有効応力が回復する。) | ○ | |

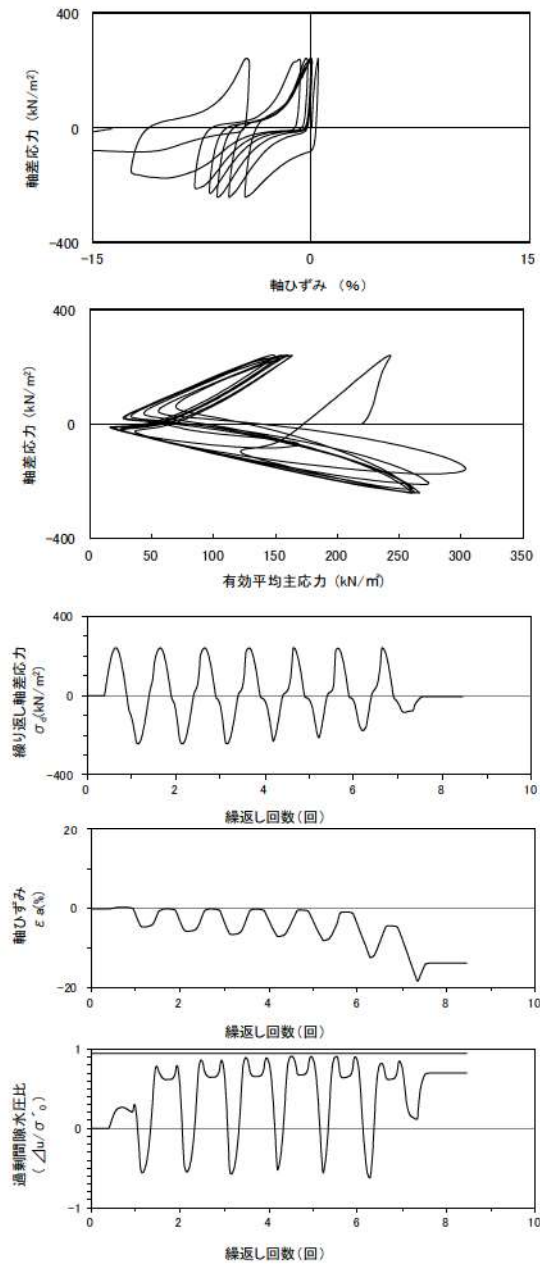
添付 1-253 図 液状化強度試験結果
(SW2-4(3) 試料(供試体 No. 42))

添付 1-254 図 液状化強度試験結果
(SW2-4(3) 試料(供試体 No. 43))



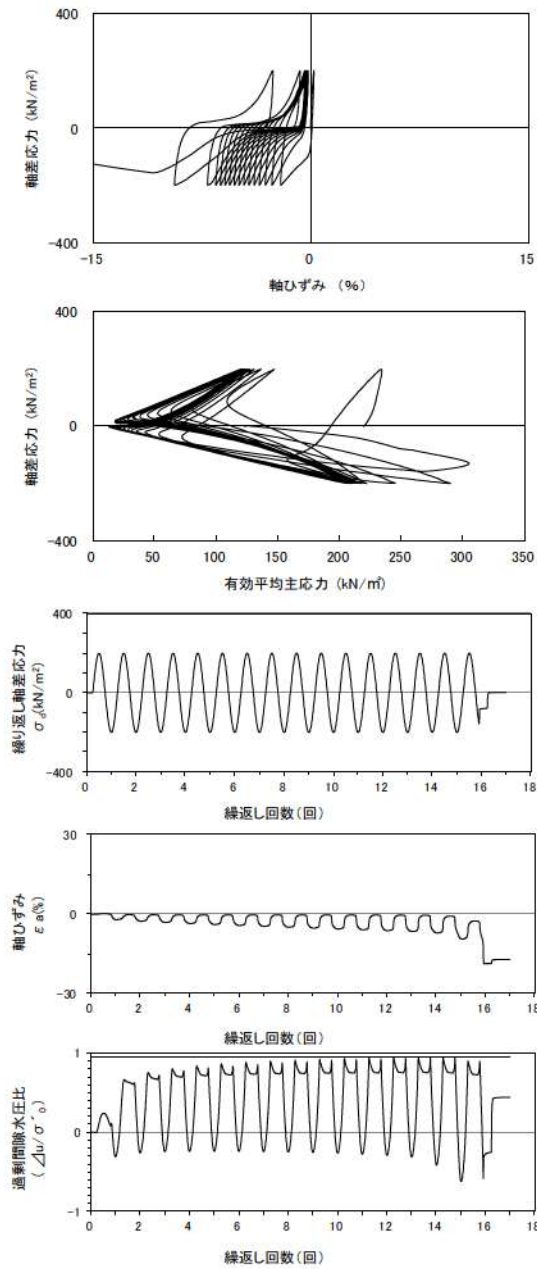
| 試験条件 | | 液状化の判断 | |
|---|-------|--------|--|
| 供試体 | No.44 | | |
| 圧密応力 σ'_c (kN/m ²) | 260 | | |
| 繰返し応力振幅比 $\sigma_d/2\sigma'_c$ | 0.316 | | |
| 試験結果 | | 液状化の判断 | |
| 間隙水圧が上昇・蓄積する。 (過剰間隙水圧比95%を超える。) | ○ | 繰返し軟化 | |
| 有効応力がゼロまで低下する。 | × | | |
| 液体状となり流動する。 (ひずみが急増する。) | × | | |
| 正のダイレイタンス特性によりせん断抵抗が作用する。 (有効応力が回復する。) | ○ | | |

添付 1-255 図 液状化強度試験結果
(SW2-4(3) 試料(供試体 No. 44))



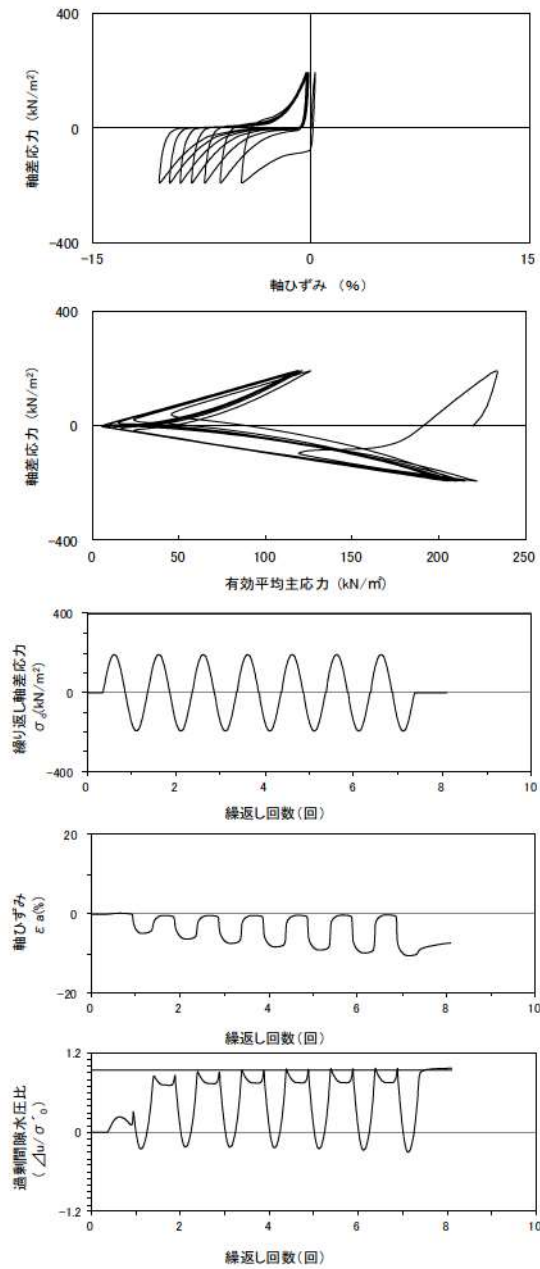
| 試験条件 | | 液状化の判断 | |
|---|---------|--------|--|
| 供試体 | No.1-18 | | |
| 圧密応力 σ'_c (kN/m ²) | 220 | | |
| 繰返し応力振幅比 $\sigma_d/2\sigma'_c$ | 0.551 | | |
| 試験結果 | | 液状化の判断 | |
| 間隙水圧が上昇・蓄積する。 (過剰間隙水圧比95%を超える。) | × | 非液状化 | |
| 有効応力がゼロまで低下する。 | × | | |
| 液体状となり流動する。 (ひずみが急増する。) | × | | |
| 正のダイレイタンス特性によりせん断抵抗が作用する。 (有効応力が回復する。) | ○ | | |

添付 1-256 図 液状化強度試験結果
(FS-1-③(1) 三軸試料(供試体 No. 1-18))



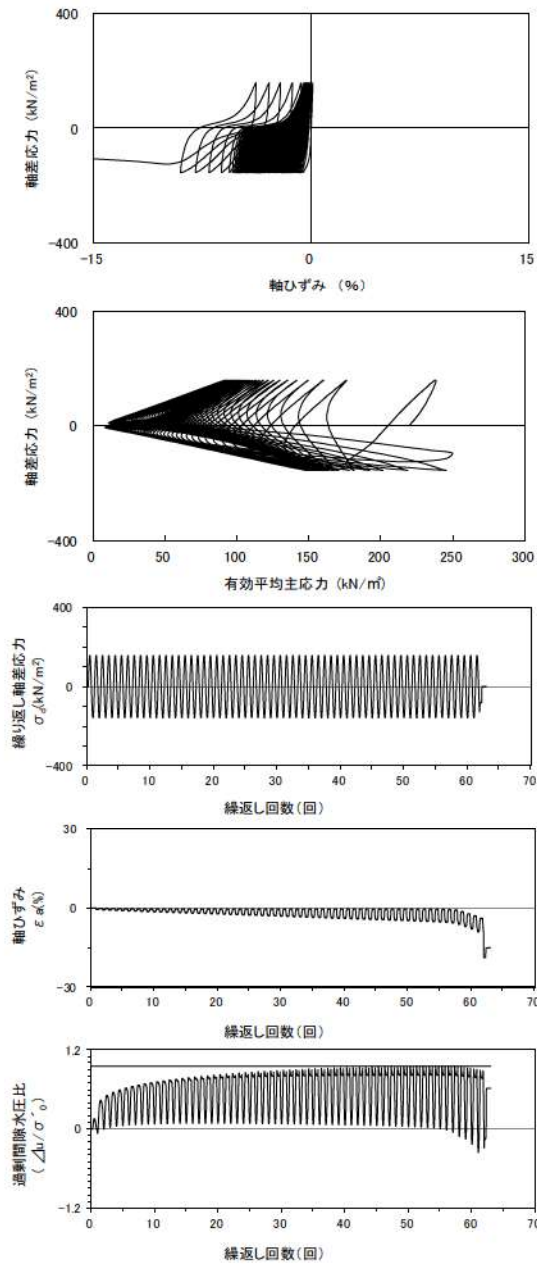
| 試験条件 | | 液状化の判断 | |
|---|---------|--------|--|
| 供試体 | No.3-17 | | |
| 圧密応力 σ'_c (kN/m ²) | 220 | | |
| 繰返し応力振幅比 $\sigma_d/2\sigma'_0$ | 0.453 | | |
| 試験結果 | | 液状化の判断 | |
| 間隙水圧が上昇・蓄積する。 (過剰間隙水圧比95%を超える。) | × | 非液状化 | |
| 有効応力がゼロまで低下する。 | × | | |
| 液体状となり流動する。 (ひずみが急増する。) | × | | |
| 正のダイレイタンス特性によりせん断抵抗が作用する。 (有効応力が回復する。) | ○ | | |

添付 1-257 図 液状化強度試験結果
(FS-1-③(1) 三軸試料(供試体 No. 3-17))



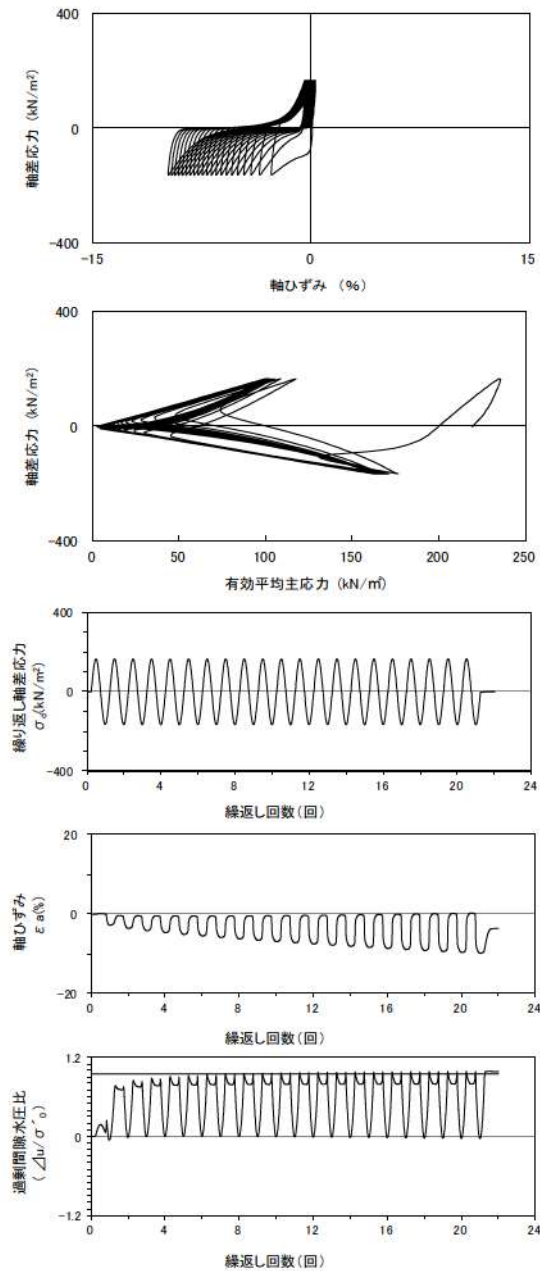
| 試験条件 | | 液状化の判断 | |
|---|---------|--------|--|
| 供試体 | No.1-19 | | |
| 圧密応力 σ'_c (kN/m ²) | 220 | | |
| 繰返し応力振幅比 $\sigma_d/2\sigma'_0$ | 0.437 | | |
| 試験結果 | | 液状化の判断 | |
| 間隙水圧が上昇・蓄積する。 (過剰間隙水圧比95%を超える。) | ○ | 繰返し軟化 | |
| 有効応力がゼロまで低下する。 | × | | |
| 液体状となり流動する。 (ひずみが急増する。) | × | | |
| 正のダイレイタンス特性によりせん断抵抗が作用する。 (有効応力が回復する。) | ○ | | |

添付 1-258 図 液状化強度試験結果
(FS-1-③(2) 三軸試料(供試体 No. 1-19))



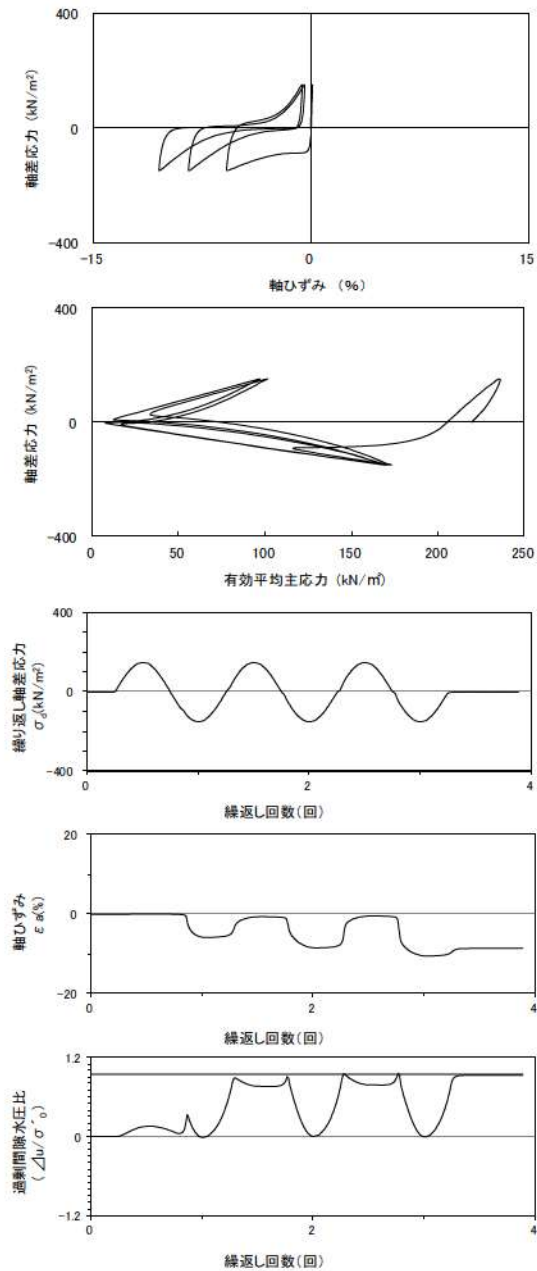
| 試験条件 | | 液状化の判断 |
|--|---------|--------|
| 供試体 | No.2-18 | |
| 圧密応力 σ'_c (kN/m ²) | 220 | |
| 繰返し応力振幅比 $\sigma_d/2\sigma'_0$ | 0.356 | 繰返し軟化 |
| 試験結果 | | |
| 間隙水圧が上昇・蓄積する。 (過剰間隙水圧比95%を超える。) | ○ | |
| 有効応力がゼロまで低下する。 | × | |
| 液体状となり流動する。 (ひずみが急増する。) | × | 繰返し軟化 |
| 正のダイレイタンスー特性によりせん断抵抗が作用する。 (有効応力が回復する。) | ○ | |

添付 1-259 図 液状化強度試験結果
(FS-1-③(2) 三軸試料(供試体 No. 2-18))



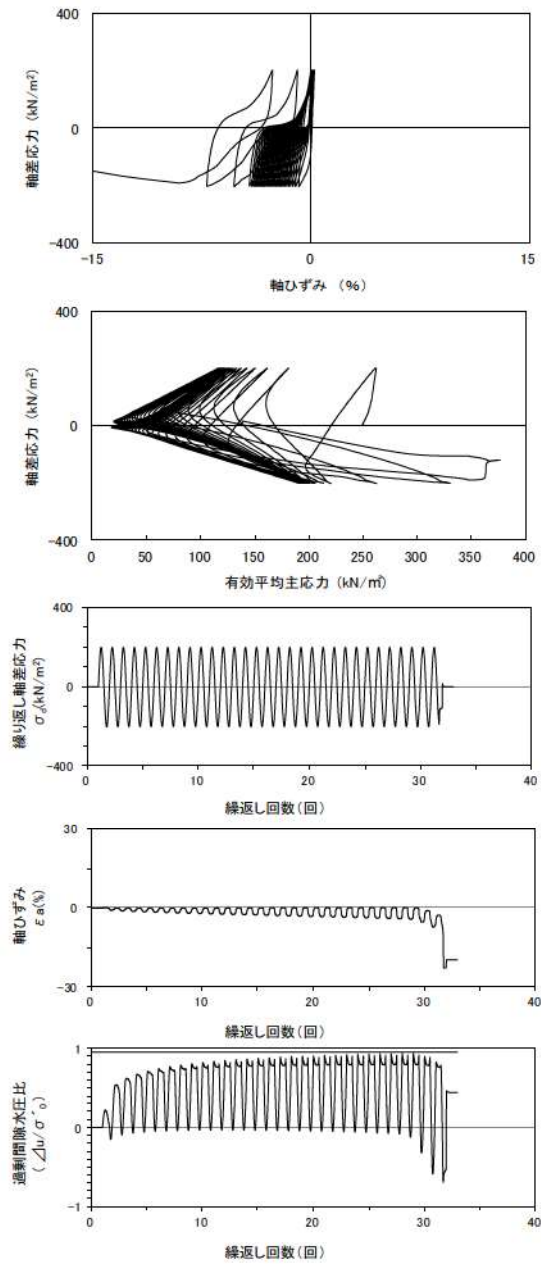
| 試験条件 | | 液状化の判断 |
|--|---------|--------|
| 供試体 | No.1-20 | |
| 圧密応力 σ'_c (kN/m ²) | 220 | |
| 繰返し応力振幅比 $\sigma_d/2\sigma'_0$ | 0.376 | 繰返し軟化 |
| 試験結果 | | |
| 間隙水圧が上昇・蓄積する。 (過剰間隙水圧比95%を超える。) | ○ | |
| 有効応力がゼロまで低下する。 | × | |
| 液体状となり流動する。 (ひずみが急増する。) | × | 繰返し軟化 |
| 正のダイレイタンスー特性によりせん断抵抗が作用する。 (有効応力が回復する。) | ○ | |

添付 1-260 図 液状化強度試験結果
(FS-1-③(3) 三軸試料(供試体 No. 1-20))



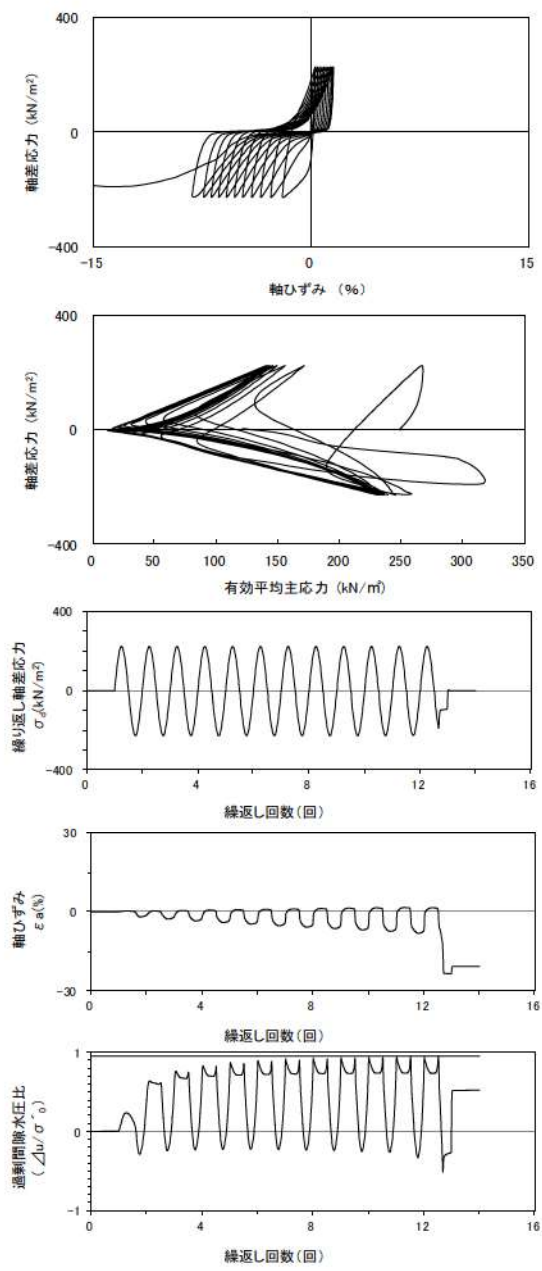
| 試験条件 | | 液状化の判断 | |
|---|---------|--------|--|
| 供試体 | No.2-19 | | |
| 圧密応力 σ'_c (kN/m ²) | 220 | | |
| 繰返し応力振幅比 $\sigma_d/2\sigma'_0$ | 0.340 | | |
| 試験結果 | | 液状化の判断 | |
| 間隙水圧が上昇・蓄積する。 (過剰間隙水圧比95%を超える。) | ○ | 繰返し軟化 | |
| 有効応力がゼロまで低下する。 | × | | |
| 液体状となり流動する。 (ひずみが急増する。) | × | | |
| 正のダイレイタンス特性によりせん断抵抗が作用する。 (有効応力が回復する。) | ○ | | |

添付 1-261 図 液状化強度試験結果
(FS-1-③(3) 三軸試料(供試体 No. 2-19))



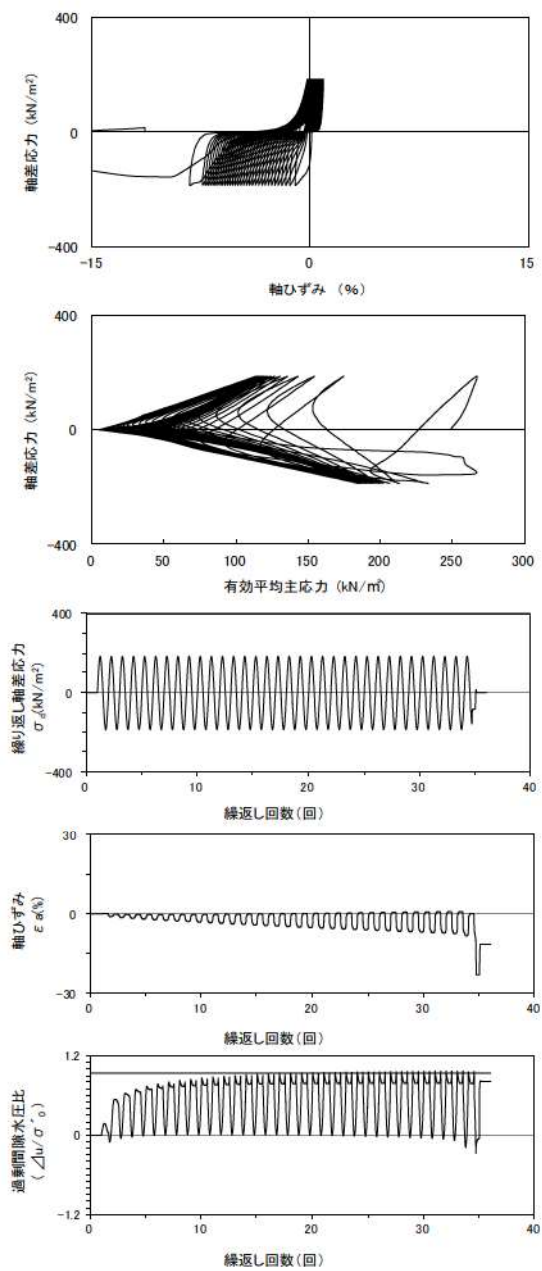
| 試験条件 | | 液状化の判断 | |
|---|---------|--------|--|
| 供試体 | No.1-30 | | |
| 圧密応力 σ'_c (kN/m ²) | 250 | | |
| 繰返し応力振幅比 $\sigma_d/2\sigma'_0$ | 0.405 | | |
| 試験結果 | | 液状化の判断 | |
| 間隙水圧が上昇・蓄積する。 (過剰間隙水圧比95%を超える。) | × | 非液状化 | |
| 有効応力がゼロまで低下する。 | × | | |
| 液体状となり流動する。 (ひずみが急増する。) | × | | |
| 正のダイレイタンス特性によりせん断抵抗が作用する。 (有効応力が回復する。) | ○ | | |

添付 1-262 図 液状化強度試験結果
(FS-1-④(1) 三軸試料(供試体 No. 1-30))



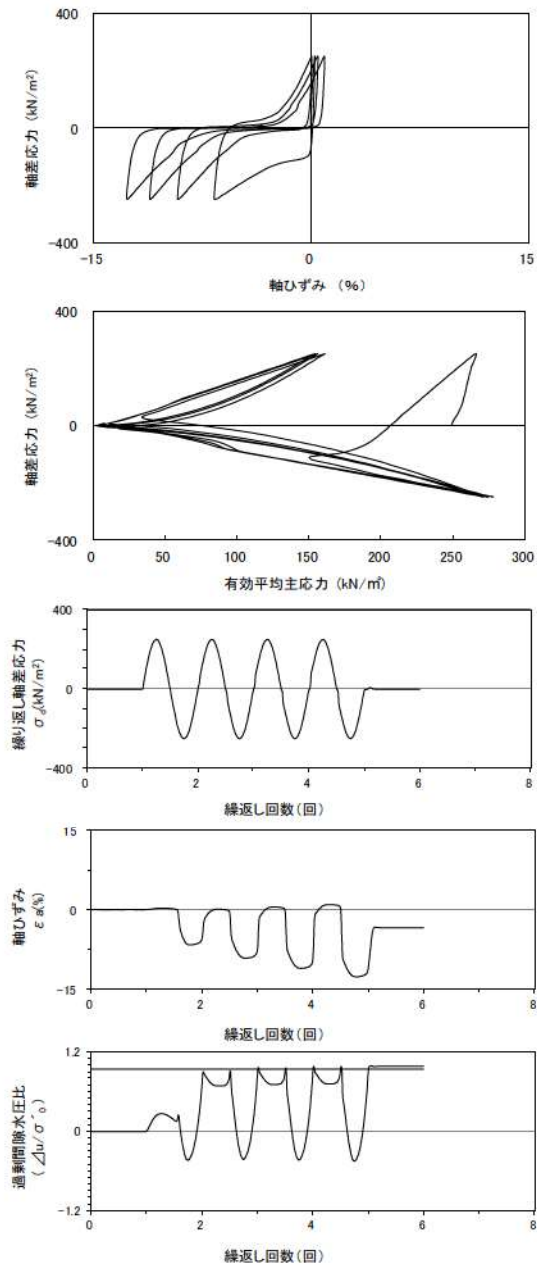
| 試験条件 | | 液状化の判断 | |
|---|---------|--------|--|
| 供試体 | No.2-32 | | |
| 圧密応力 σ'_c (kN/m^2) | 250 | | |
| 繰返し応力振幅比 $\sigma_d/2\sigma'_0$ | 0.454 | | |
| 試験結果 | | 液状化の判断 | |
| 間隙水圧が上昇・蓄積する。 (過剰間隙水圧比95%を超える。) | × | 非液状化 | |
| 有効応力がゼロまで低下する。 | × | | |
| 液体状となり流動する。 (ひずみが急増する。) | × | | |
| 正のダイレイタンス特性によりせん断抵抗が作用する。 (有効応力が回復する。) | ○ | | |

添付 1-263 図 液状化強度試験結果
(FS-1-④(1) 三軸試料(供試体 No. 2-32))



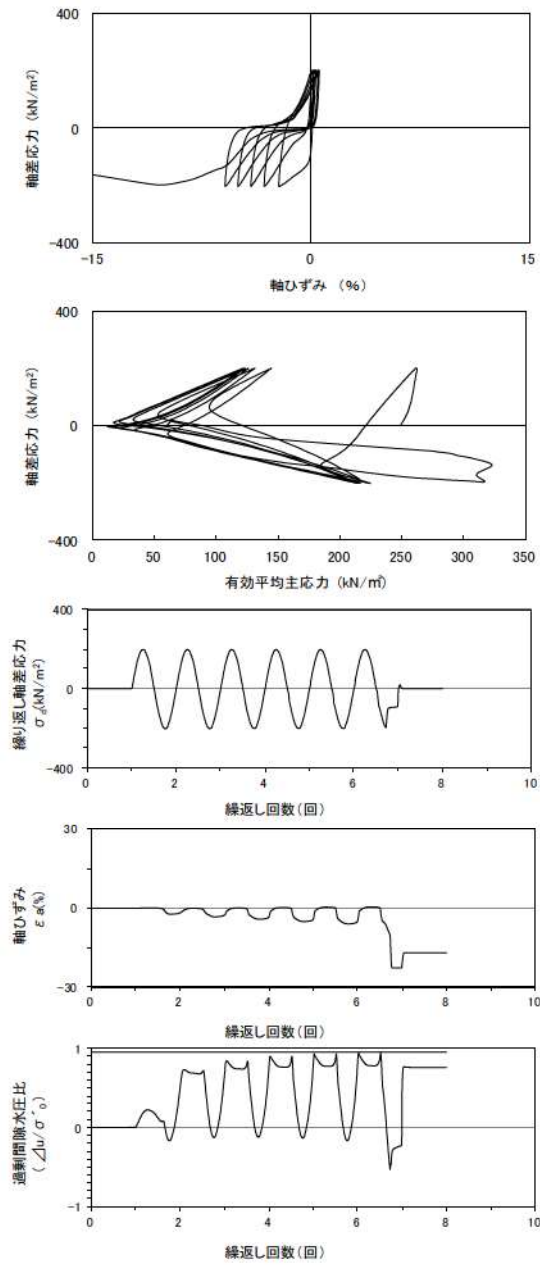
| 試験条件 | | 液状化の判断 | |
|---|---------|--------|--|
| 供試体 | No.3-31 | | |
| 圧密応力 σ'_c (kN/m^2) | 250 | | |
| 繰返し応力振幅比 $\sigma_d/2\sigma'_0$ | 0.376 | | |
| 試験結果 | | 液状化の判断 | |
| 間隙水圧が上昇・蓄積する。 (過剰間隙水圧比95%を超える。) | ○ | 繰返し軟化 | |
| 有効応力がゼロまで低下する。 | × | | |
| 液体状となり流動する。 (ひずみが急増する。) | × | | |
| 正のダイレイタンス特性によりせん断抵抗が作用する。 (有効応力が回復する。) | ○ | | |

添付 1-264 図 液状化強度試験結果
(FS-1-④(1) 三軸試料(供試体 No. 3-31))



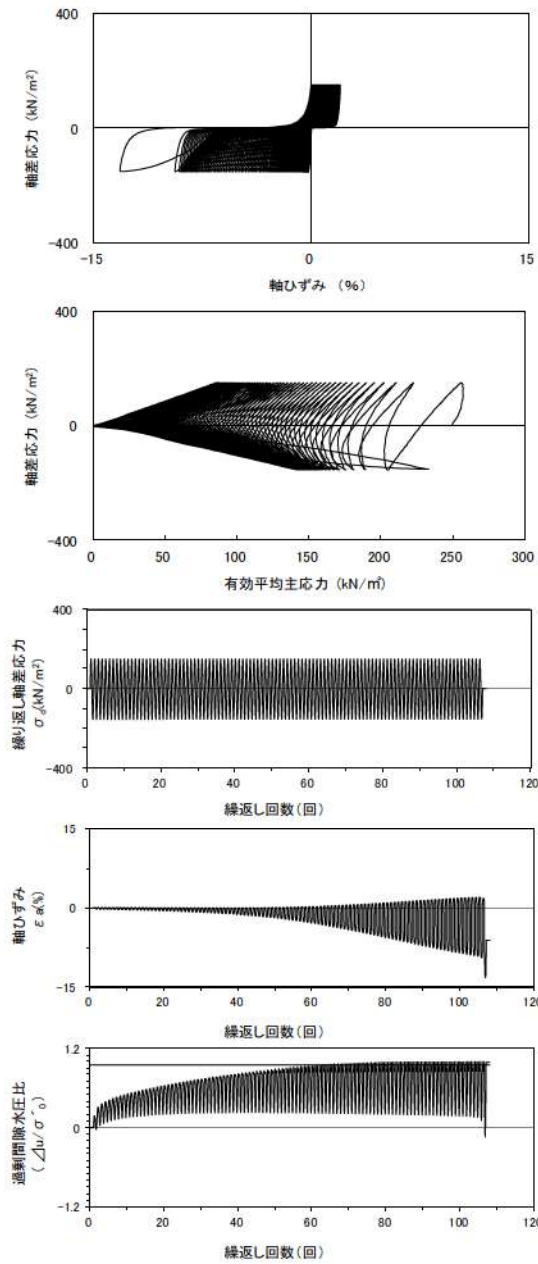
| 試験条件 | | 液状化の判断 | |
|---|---------|--------|-------|
| 供試体 | No.4-32 | | 繰返し軟化 |
| 圧密応力 σ'_c (kN/m ²) | 250 | | |
| 繰返し応力振幅比 $\sigma_d/2\sigma'_0$ | 0.502 | | |
| 試験結果 | | | |
| 間隙水圧が上昇・蓄積する。 (過剰間隙水圧比95%を超える。) | ○ | 繰返し軟化 | |
| 有効応力がゼロまで低下する。 | × | | |
| 液体状となり流動する。 (ひずみが急増する。) | × | | |
| 正のダイレイタンス特性によりせん断抵抗が作用する。 (有効応力が回復する。) | ○ | | |

添付 1-265 図 液状化強度試験結果
(FS-1-④)(1) 三軸試料(供試体 No. 4-32)



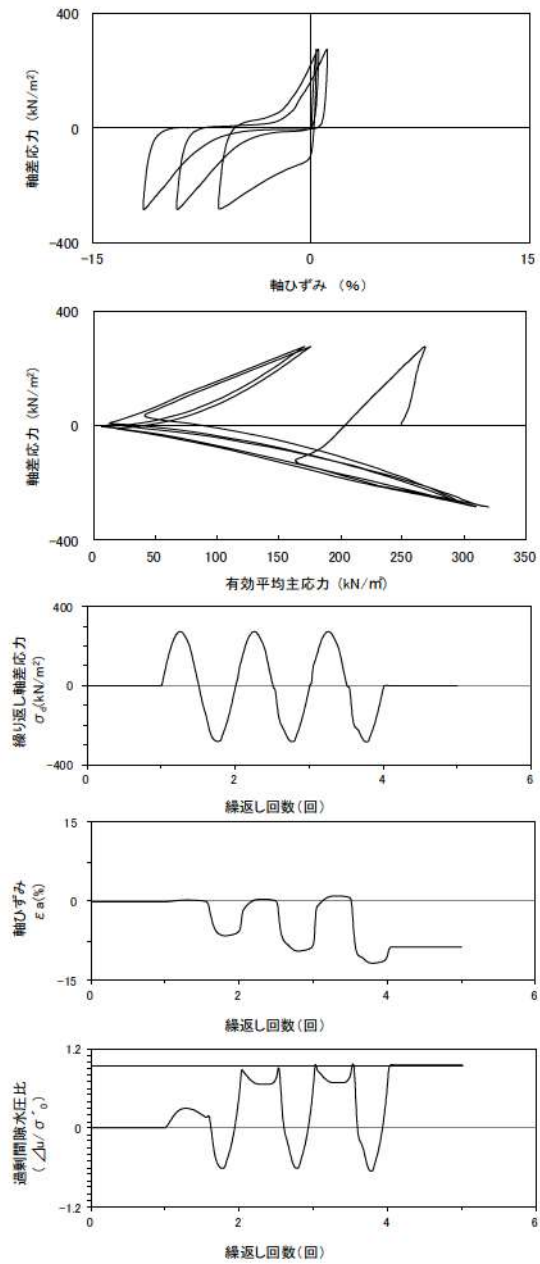
| 試験条件 | | 液状化の判断 | |
|---|---------|--------|------|
| 供試体 | No.1-31 | | 非液状化 |
| 圧密応力 σ'_c (kN/m ²) | 250 | | |
| 繰返し応力振幅比 $\sigma_d/2\sigma'_0$ | 0.409 | | |
| 試験結果 | | | |
| 間隙水圧が上昇・蓄積する。 (過剰間隙水圧比95%を超える。) | × | 非液状化 | |
| 有効応力がゼロまで低下する。 | × | | |
| 液体状となり流動する。 (ひずみが急増する。) | × | | |
| 正のダイレイタンス特性によりせん断抵抗が作用する。 (有効応力が回復する。) | ○ | | |

添付 1-266 図 液状化強度試験結果
(FS-1-④)(2) 三軸試料(供試体 No. 1-31)



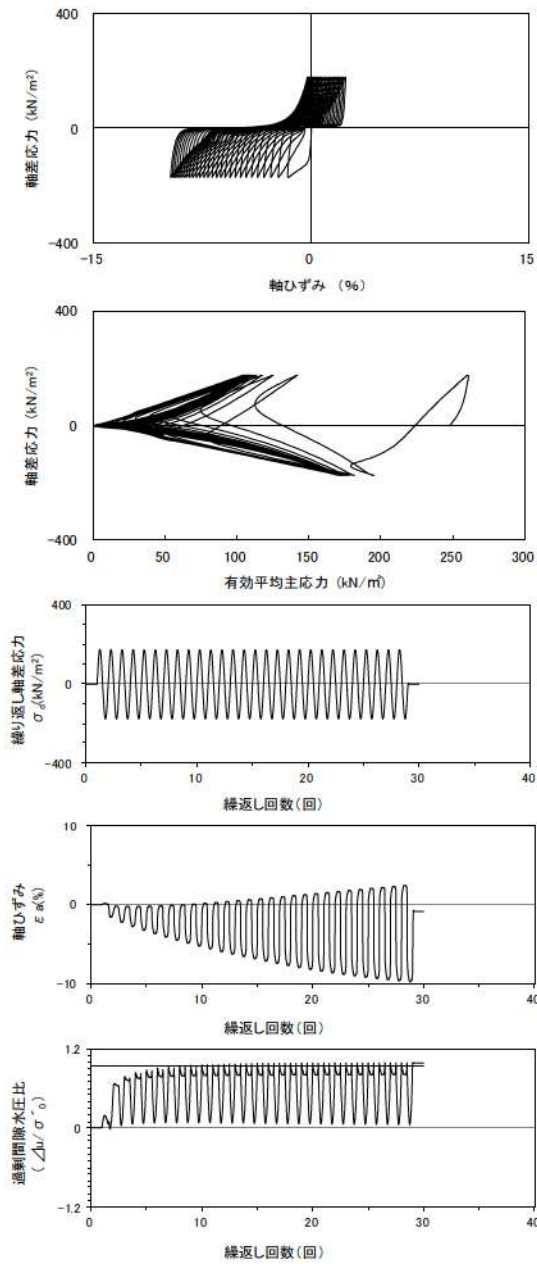
| 試験条件 | | |
|---|---------|--------|
| 供試体 | No.2-33 | |
| 圧密応力 σ'_c (kN/m ²) | 250 | |
| 繰返し応力振幅比 $\sigma_d/2\sigma'_0$ | 0.306 | |
| 試験結果 | | 液状化の判断 |
| 間隙水圧が上昇・蓄積する。 (過剰間隙水圧比95%を超える。) | ○ | 繰返し軟化 |
| 有効応力がゼロまで低下する。 | × | |
| 液体状となり流動する。 (ひずみが急増する。) | × | |
| 正のダイレイタンス特性によりせん断抵抗が作用する。 (有効応力が回復する。) | ○ | |

添付 1-267 図 液状化強度試験結果
(FS-1-④(2) 三軸試料(供試体 No. 2-33))



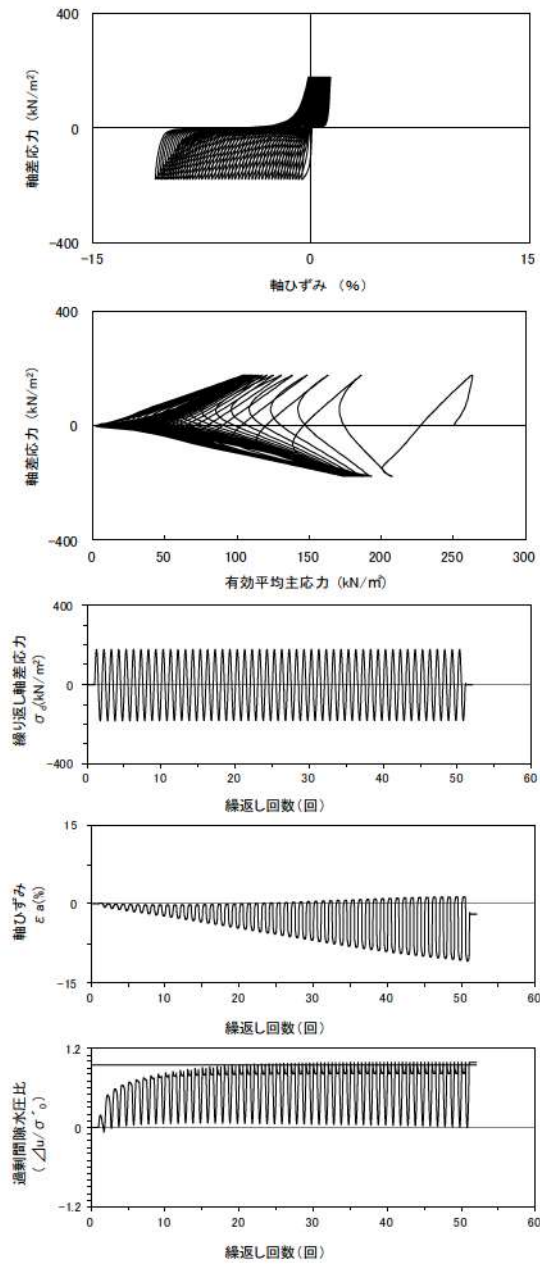
| 試験条件 | | |
|---|---------|--------|
| 供試体 | No.3-32 | |
| 圧密応力 σ'_c (kN/m ²) | 250 | |
| 繰返し応力振幅比 $\sigma_d/2\sigma'_0$ | 0.562 | |
| 試験結果 | | 液状化の判断 |
| 間隙水圧が上昇・蓄積する。 (過剰間隙水圧比95%を超える。) | ○ | 繰返し軟化 |
| 有効応力がゼロまで低下する。 | × | |
| 液体状となり流動する。 (ひずみが急増する。) | × | |
| 正のダイレイタンス特性によりせん断抵抗が作用する。 (有効応力が回復する。) | ○ | |

添付 1-268 図 液状化強度試験結果
(FS-1-④(2) 三軸試料(供試体 No. 3-32))



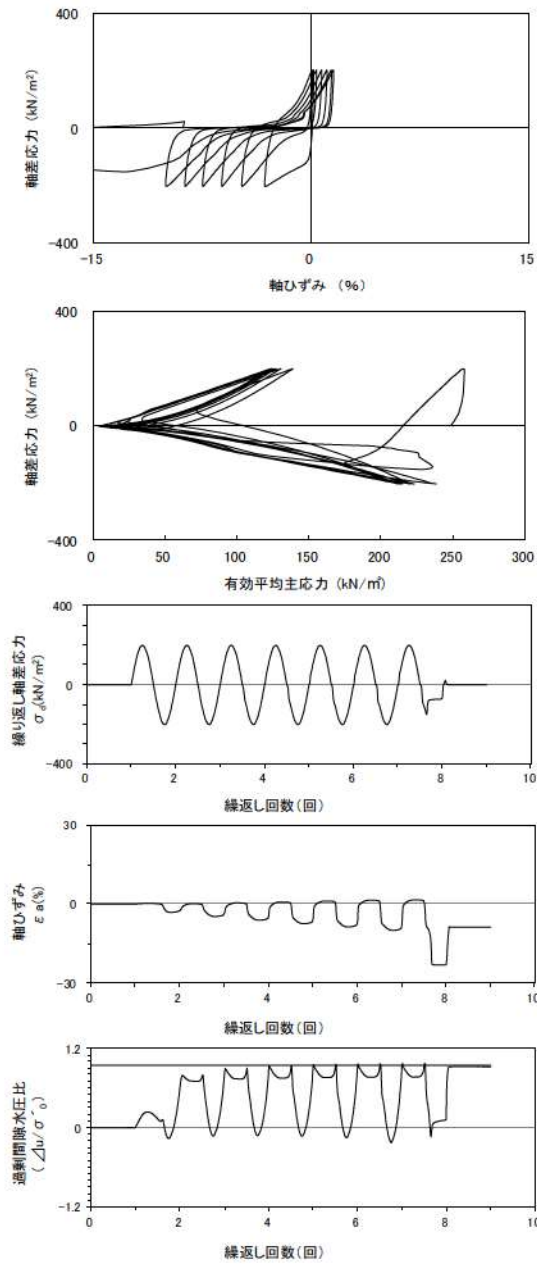
| 試験条件 | | |
|---|---------|--------|
| 供試体 | No.4-33 | |
| 圧密応力 σ'_c (kN/m ²) | 250 | |
| 繰返し応力振幅比 $\sigma_a/2\sigma'_0$ | 0.351 | |
| 試験結果 | | 液状化の判断 |
| 間隙水圧が上昇・蓄積する。 (過剰間隙水圧比95%を超える。) | ○ | 繰返し軟化 |
| 有効応力がゼロまで低下する。 | × | |
| 液体状となり流動する。 (ひずみが急増する。) | × | |
| 正のダイレイタンス特性によりせん断抵抗が作用する。 (有効応力が回復する。) | ○ | |

添付 1-269 図 液状化強度試験結果
(FS-1-④)(2) 三軸試料(供試体 No. 4-33)



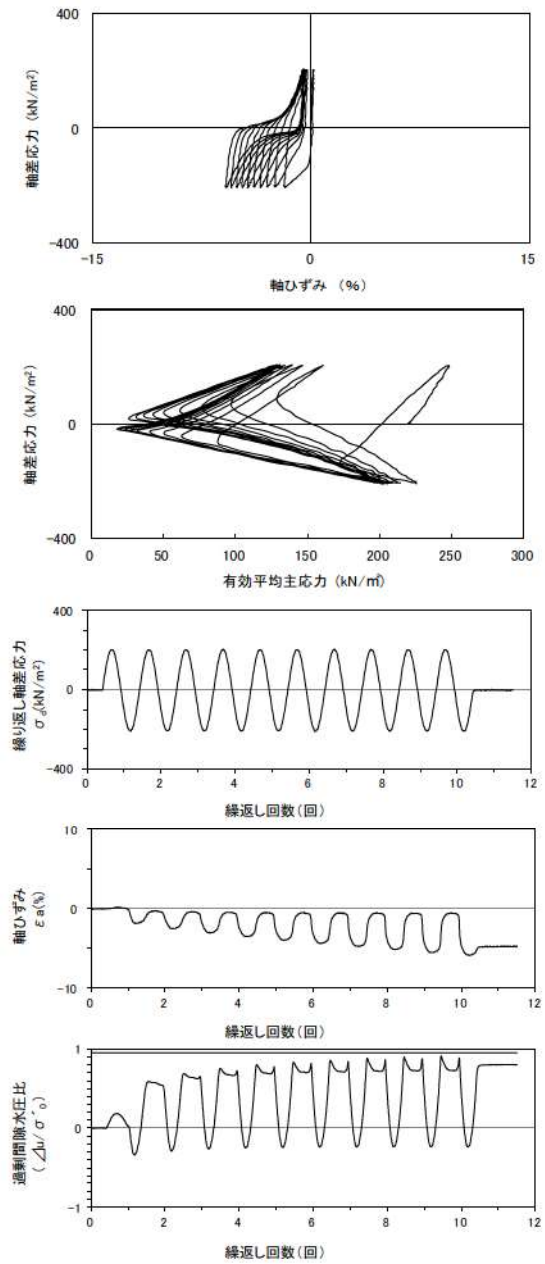
| 試験条件 | | |
|---|---------|--------|
| 供試体 | No.1-32 | |
| 圧密応力 σ'_c (kN/m ²) | 250 | |
| 繰返し応力振幅比 $\sigma_a/2\sigma'_0$ | 0.353 | |
| 試験結果 | | 液状化の判断 |
| 間隙水圧が上昇・蓄積する。 (過剰間隙水圧比95%を超える。) | ○ | 繰返し軟化 |
| 有効応力がゼロまで低下する。 | × | |
| 液体状となり流動する。 (ひずみが急増する。) | × | |
| 正のダイレイタンス特性によりせん断抵抗が作用する。 (有効応力が回復する。) | ○ | |

添付 1-270 図 液状化強度試験結果
(FS-1-④)(3) 三軸試料(供試体 No. 1-32)



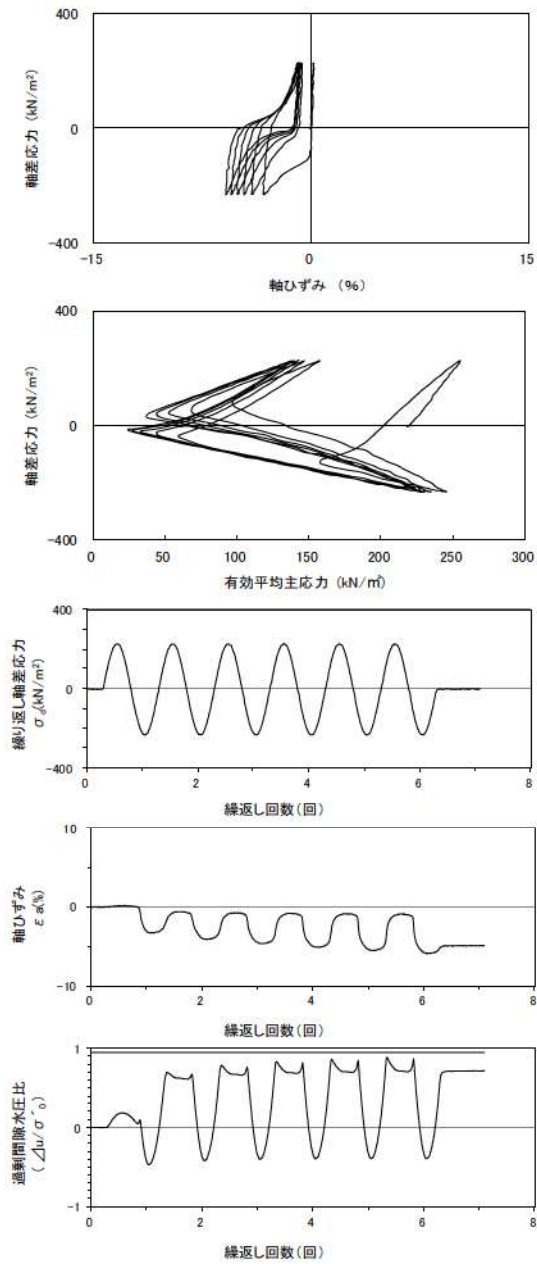
| 試験条件 | | 液状化の判断 |
|---|---------|--------|
| 供試体 | No.3-33 | |
| 圧密応力 σ'_c (kN/m ²) | 250 | |
| 繰返し応力振幅比 $\sigma_a/2\sigma'_0$ | 0.402 | 繰返し軟化 |
| 試験結果 | | |
| 間隙水圧が上昇・蓄積する。 (過剰間隙水圧比95%を超える。) | ○ | |
| 有効応力がゼロまで低下する。 | × | |
| 液体状となり流動する。 (ひずみが急増する。) | × | 非液状化 |
| 正のダイレイタンス特性によりせん断抵抗が作用する。 (有効応力が回復する。) | ○ | |

添付 1-271 図 液状化強度試験結果
(FS-1-④ (3) 三軸試料(供試体 No. 3-33))



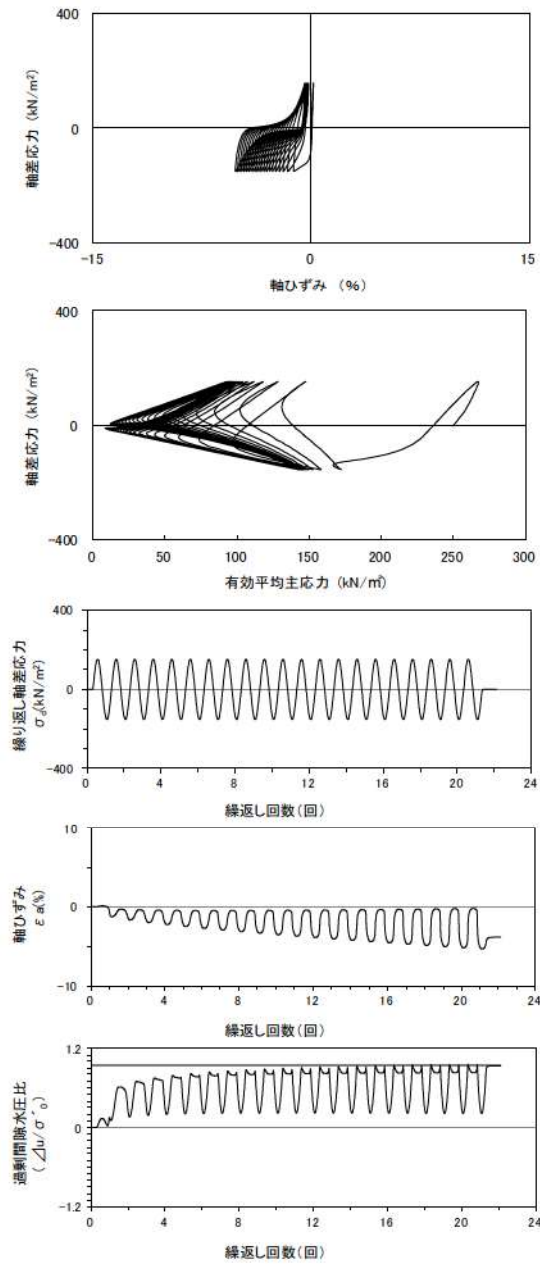
| 試験条件 | | 液状化の判断 |
|---|---------|--------|
| 供試体 | No.2-17 | |
| 圧密応力 σ'_c (kN/m ²) | 220 | |
| 繰返し応力振幅比 $\sigma_a/2\sigma'_0$ | 0.467 | 非液状化 |
| 試験結果 | | |
| 間隙水圧が上昇・蓄積する。 (過剰間隙水圧比95%を超える。) | × | |
| 有効応力がゼロまで低下する。 | × | |
| 液体状となり流動する。 (ひずみが急増する。) | × | 非液状化 |
| 正のダイレイタンス特性によりせん断抵抗が作用する。 (有効応力が回復する。) | ○ | |

添付 1-272 図 液状化強度試験結果
(FS-1-③ A-1 三軸試料(供試体 No. 2-17))



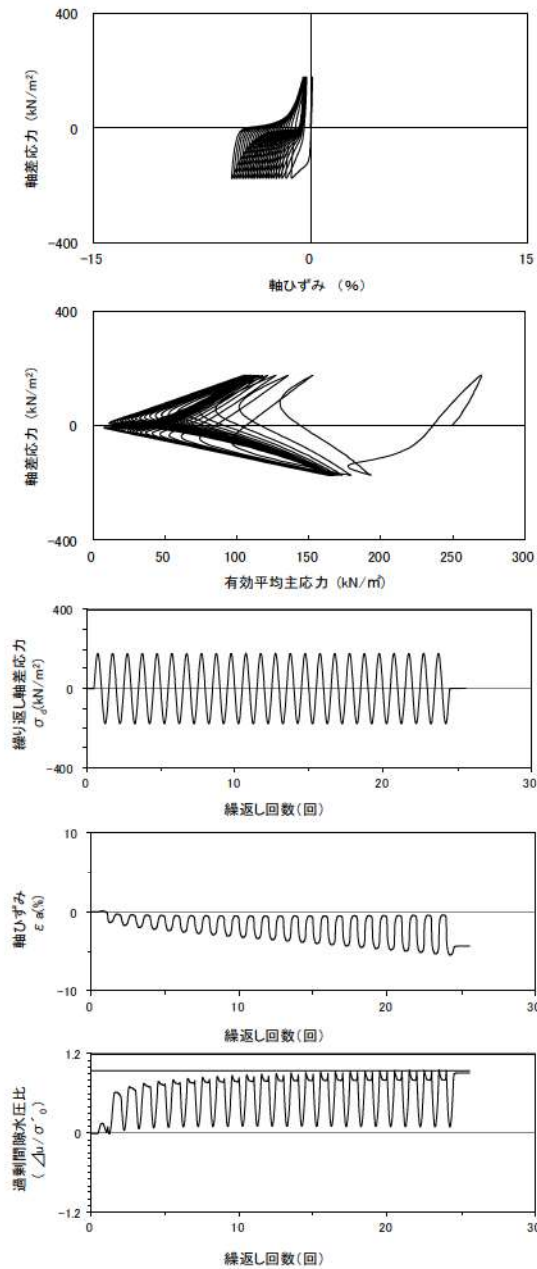
| 試験条件 | | 液状化の判断 | |
|---|---------|--------|-------|
| 供試体 | No.1-17 | × | 非液状化 |
| 圧密応力 σ'_c (kN/m ²) | 220 | | |
| 繰返し応力振幅比 $\sigma'_d/2\sigma'_c$ | 0.522 | | |
| 試験結果 | | | |
| 間隙水圧が上昇・蓄積する。 (過剰間隙水圧比95%を超える。) | × | ○ | 繰返し軟化 |
| 有効応力がゼロまで低下する。 | × | | |
| 液体状となり流動する。 (ひずみが急増する。) | × | | |
| 正のダイレイタンス特性によりせん断抵抗が作用する。 (有効応力が回復する。) | ○ | | |

添付 1-273 図 液状化強度試験結果
(FS-1-③ A-1 三軸試料(供試体 No. 1-17))



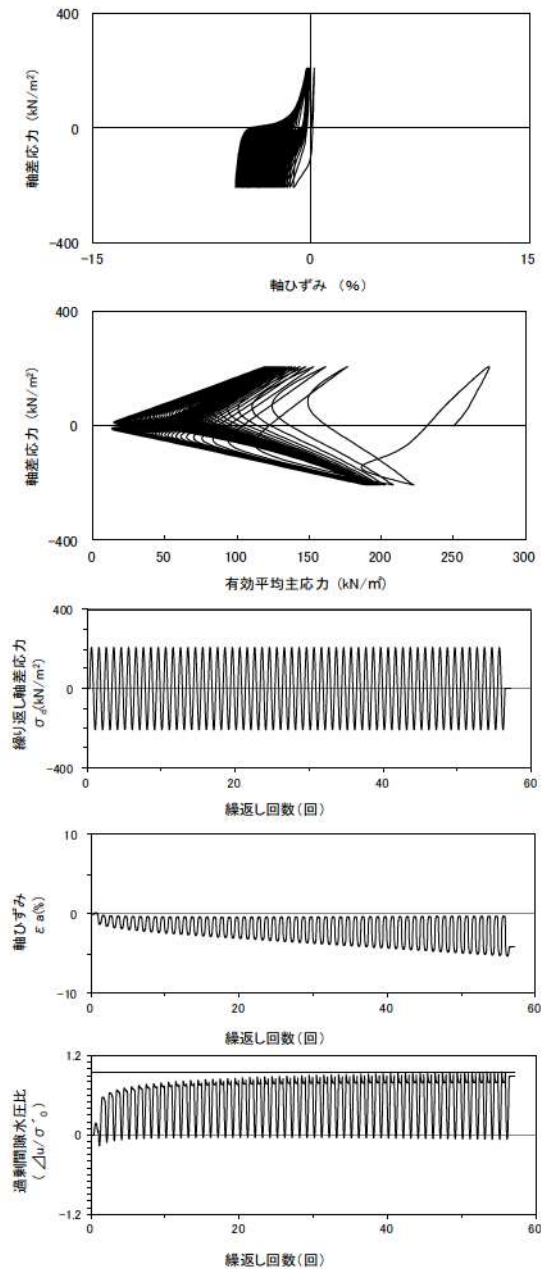
| 試験条件 | | 液状化の判断 | |
|---|---------|--------|-------|
| 供試体 | No.3-28 | ○ | 繰返し軟化 |
| 圧密応力 σ'_c (kN/m ²) | 250 | | |
| 繰返し応力振幅比 $\sigma'_d/2\sigma'_c$ | 0.307 | | |
| 試験結果 | | | |
| 間隙水圧が上昇・蓄積する。 (過剰間隙水圧比95%を超える。) | ○ | × | 非液状化 |
| 有効応力がゼロまで低下する。 | × | | |
| 液体状となり流動する。 (ひずみが急増する。) | × | | |
| 正のダイレイタンス特性によりせん断抵抗が作用する。 (有効応力が回復する。) | ○ | | |

添付 1-274 図 液状化強度試験結果
(FS-1-④ A-1 三軸試料(供試体 No. 3-28))



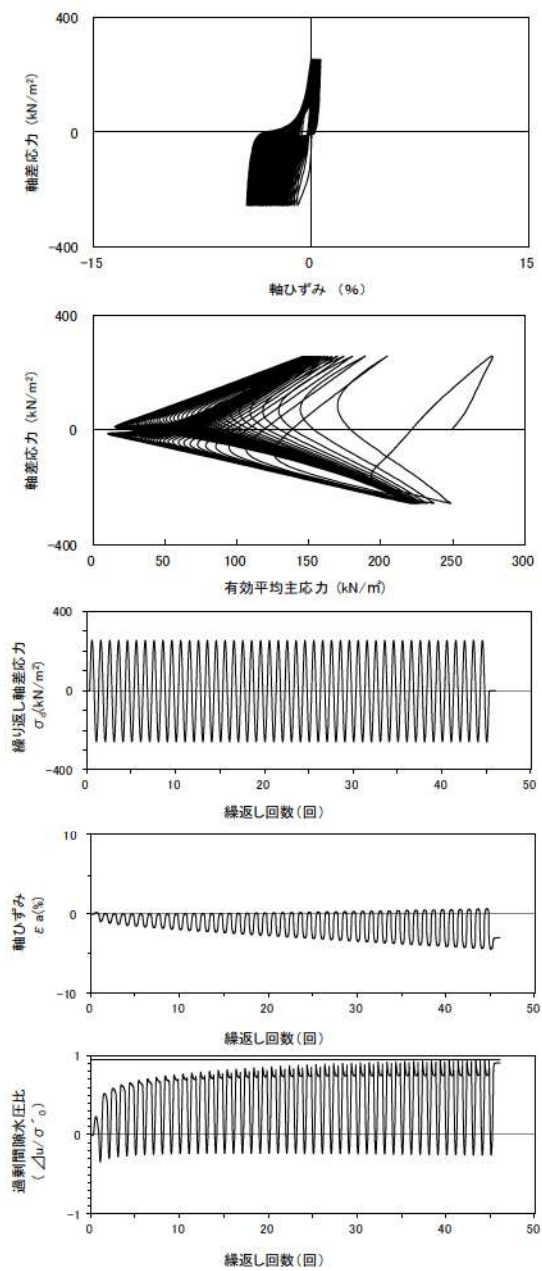
| 試験条件 | | |
|---|---------|--------|
| 供試体 | No.4-27 | |
| 圧密応力 σ'_c (kN/m ²) | 250 | |
| 繰返し応力振幅比 $\sigma_d/2\sigma'_0$ | 0.350 | |
| 試験結果 | | 液状化の判断 |
| 間隙水圧が上昇・蓄積する。 (過剰間隙水圧比95%を超える。) | ○ | 繰返し軟化 |
| 有効応力がゼロまで低下する。 | × | |
| 液体状となり流動する。 (ひずみが急増する。) | × | |
| 正のダイレイタンス特性によりせん断抵抗が作用する。 (有効応力が回復する。) | ○ | |

添付 1-275 図 液状化強度試験結果
(FS-1-④) A-1 三軸試料(供試体 No. 4-27)



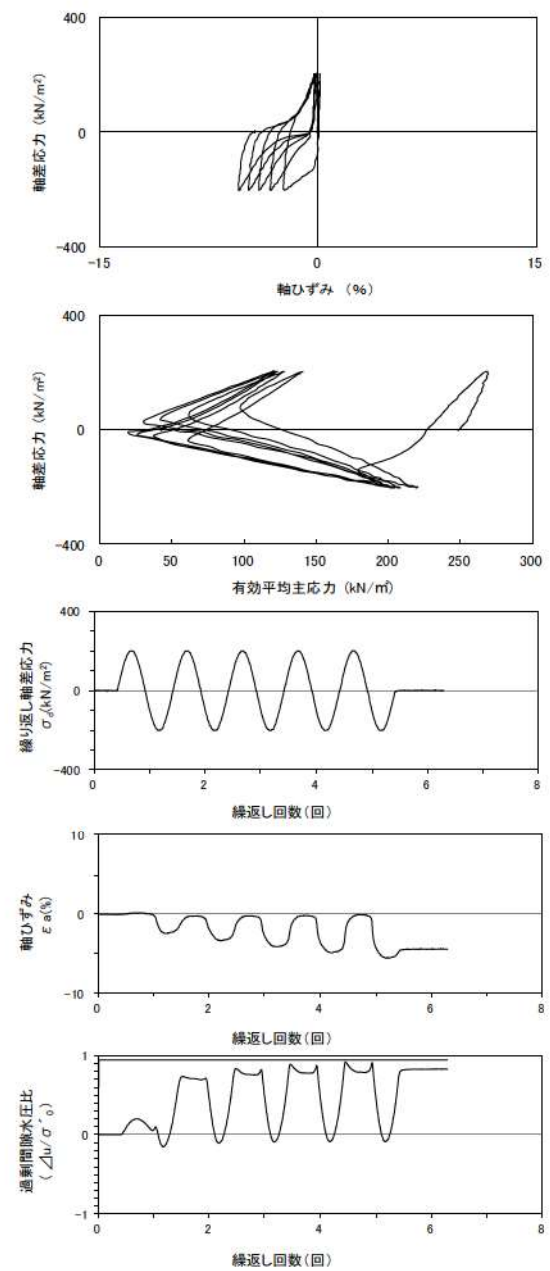
| 試験条件 | | |
|---|---------|--------|
| 供試体 | No.1-25 | |
| 圧密応力 σ'_c (kN/m ²) | 250 | |
| 繰返し応力振幅比 $\sigma_d/2\sigma'_0$ | 0.413 | |
| 試験結果 | | 液状化の判断 |
| 間隙水圧が上昇・蓄積する。 (過剰間隙水圧比95%を超える。) | ○ | 繰返し軟化 |
| 有効応力がゼロまで低下する。 | × | |
| 液体状となり流動する。 (ひずみが急増する。) | × | |
| 正のダイレイタンス特性によりせん断抵抗が作用する。 (有効応力が回復する。) | ○ | |

添付 1-276 図 液状化強度試験結果
(FS-1-④) A-1 三軸試料(供試体 No. 1-25)



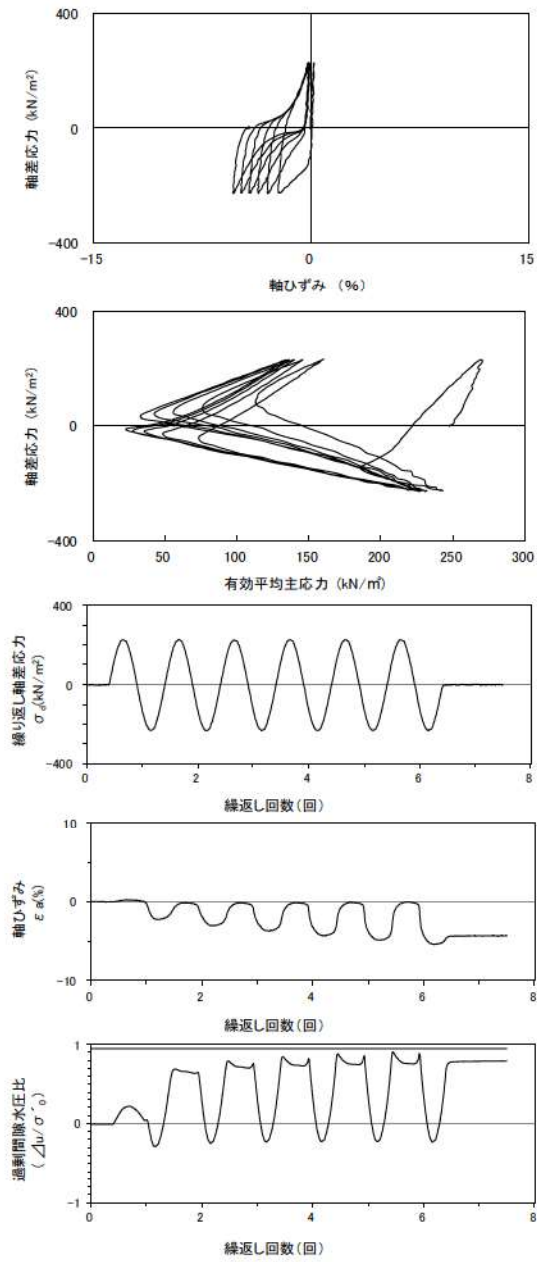
| 試験条件 | | 液状化の判断 |
|---|---------|--------|
| 供試体 | No.2-27 | |
| 圧密応力 σ'_c (kN/m ²) | 250 | |
| 繰返し応力振幅比 $\sigma_d/2\sigma'_c$ | 0.513 | |
| 試験結果 | | 非液状化 |
| 間隙水圧が上昇・蓄積する。 (過剰間隙水圧比95%を超える。) | × | |
| 有効応力がゼロまで低下する。 | × | |
| 液体状となり流動する。 (ひずみが急増する。) | × | |
| 正のダイレイタンス特性によりせん断抵抗が作用する。 (有効応力が回復する。) | ○ | |

添付 1-277 図 液状化強度試験結果 (FS-1-④) A-1 三軸試料(供試体 No. 2-27)



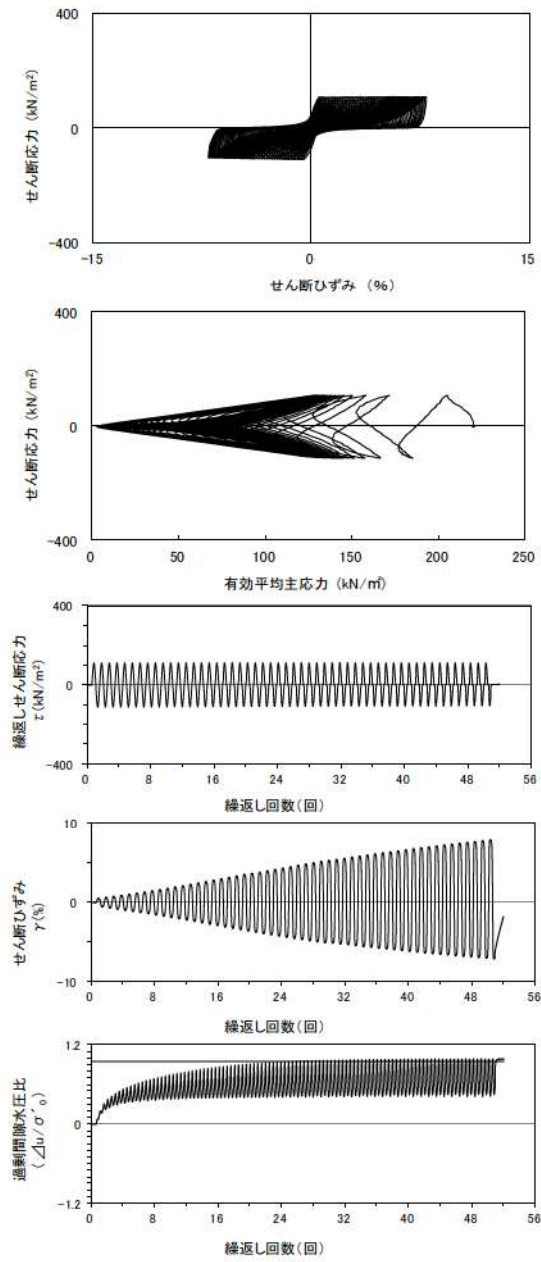
| 試験条件 | | 液状化の判断 |
|---|---------|--------|
| 供試体 | No.4-30 | |
| 圧密応力 σ'_c (kN/m ²) | 250 | |
| 繰返し応力振幅比 $\sigma_d/2\sigma'_c$ | 0.407 | |
| 試験結果 | | 非液状化 |
| 間隙水圧が上昇・蓄積する。 (過剰間隙水圧比95%を超える。) | × | |
| 有効応力がゼロまで低下する。 | × | |
| 液体状となり流動する。 (ひずみが急増する。) | × | |
| 正のダイレイタンス特性によりせん断抵抗が作用する。 (有効応力が回復する。) | ○ | |

添付 1-278 図 液状化強度試験結果 (FS-1-④) A-1 三軸試料(供試体 No. 4-30)



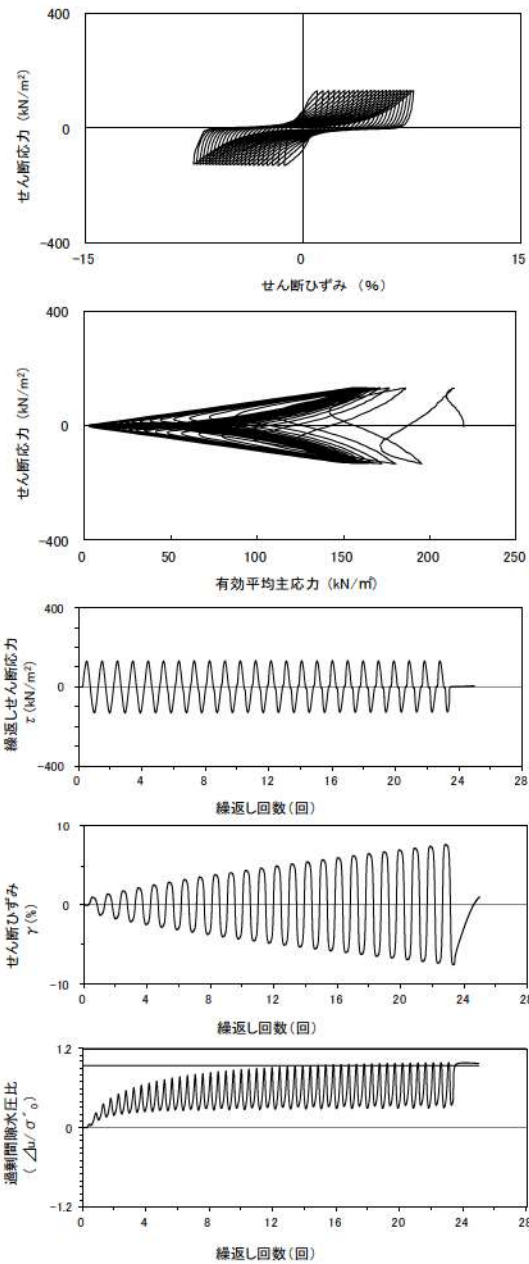
| 試験条件 | | 試験結果 | | 液状化の判断 |
|---------------------------------------|---------|---|---|--------|
| 供試体 | No.4-29 | 間隙水圧が上昇・蓄積する。 (過剰間隙水圧比95%を超える。) | × | 非液状化 |
| 圧密応力 σ'_c (kN/m ²) | 250 | 有効応力がゼロまで低下する。 | × | |
| 繰返し応力振幅比 $\sigma_d/2\sigma'_0$ | 0.459 | 液体状となり流動する。 (ひずみが急増する。) | × | |
| | | 正のダイレイタンス特性によりせん断抵抗が作用する。 (有効応力が回復する。) | ○ | |

添付 1-279 図 液状化強度試験結果
(FS-1-④) A-1 三軸試料(供試体 No. 4-29)



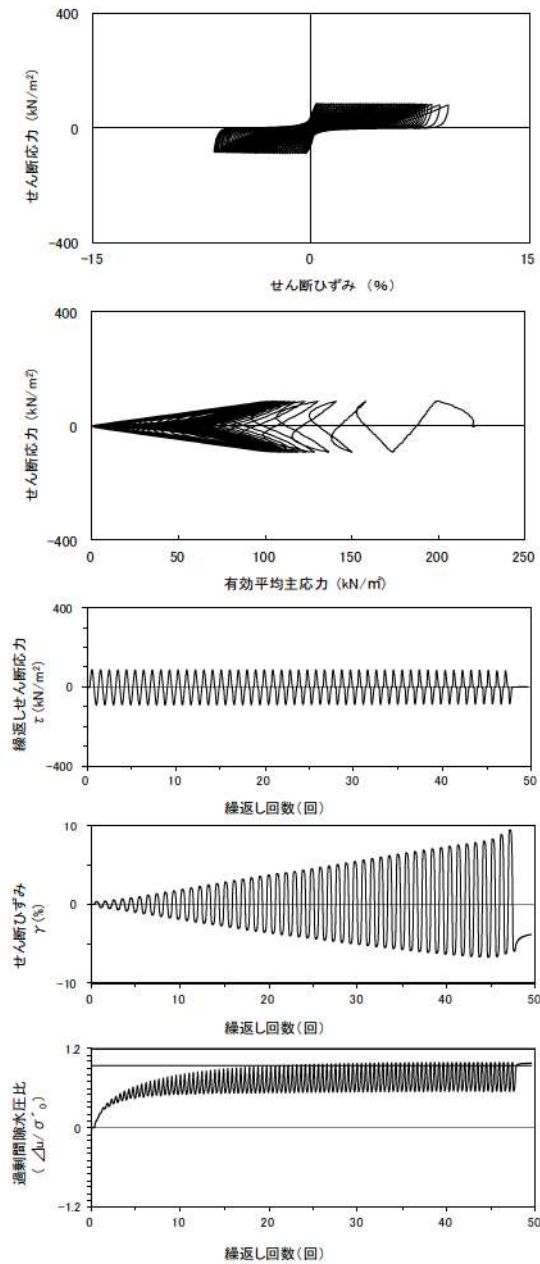
| 試験条件 | | 試験結果 | | 液状化の判断 |
|---------------------------------------|---------|---|---|--------|
| 供試体 | No.4-22 | 間隙水圧が上昇・蓄積する。 (過剰間隙水圧比95%を超える。) | ○ | 繰返し軟化 |
| 圧密応力 σ'_c (kN/m ²) | 220 | 有効応力がゼロまで低下する。 | × | |
| 繰返し応力振幅比 $\sigma_d/2\sigma'_0$ | 0.497 | 液体状となり流動する。 (ひずみが急増する。) | × | |
| | | 正のダイレイタンス特性によりせん断抵抗が作用する。 (有効応力が回復する。) | ○ | |

添付 1-280 図 液状化強度試験結果
(FS-1-③) (1) 中空試料(供試体 No. 4-22)



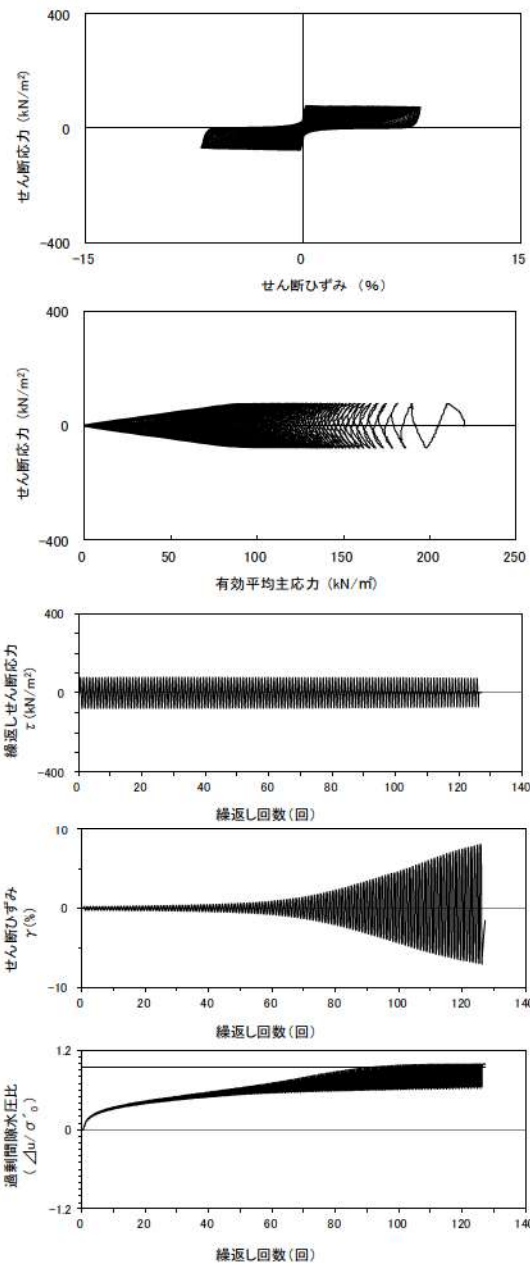
| 試験条件 | | 液状化の判断 |
|---|---------|--------|
| 供試体 | No.2-21 | |
| 圧密応力 σ'_c (kN/m ²) | 220 | |
| 繰返し応力振幅比 $\sigma_d/2\sigma'_c$ | 0.593 | 繰返し軟化 |
| 試験結果 | | |
| 間隙水圧が上昇・蓄積する。 (過剰間隙水圧比95%を超える。) | ○ | |
| 有効応力がゼロまで低下する。 | × | |
| 液体状となり流動する。 (ひずみが急増する。) | × | 繰返し軟化 |
| 正のダイレイタンス特性によりせん断抵抗が作用する。 (有効応力が回復する。) | ○ | |

添付 1-281 図 液状化強度試験結果
(FS-1-③(1)中空試料(供試体 No. 2-21))



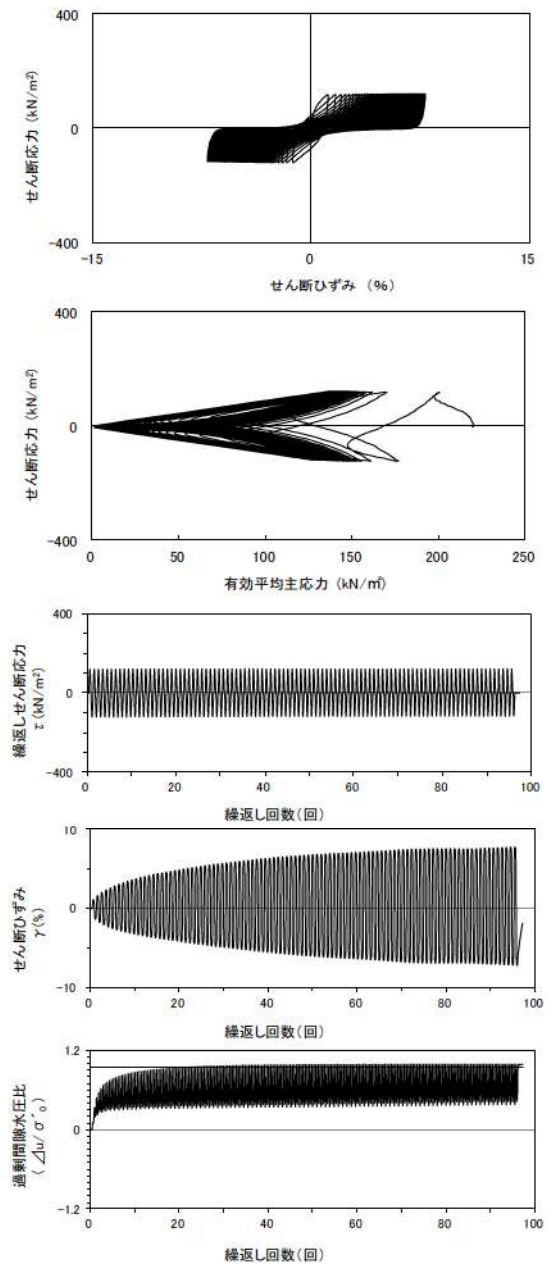
| 試験条件 | | 液状化の判断 |
|---|---------|--------|
| 供試体 | No.3-21 | |
| 圧密応力 σ'_c (kN/m ²) | 220 | |
| 繰返し応力振幅比 $\sigma_d/2\sigma'_c$ | 0.396 | 繰返し軟化 |
| 試験結果 | | |
| 間隙水圧が上昇・蓄積する。 (過剰間隙水圧比95%を超える。) | ○ | |
| 有効応力がゼロまで低下する。 | × | |
| 液体状となり流動する。 (ひずみが急増する。) | × | 繰返し軟化 |
| 正のダイレイタンス特性によりせん断抵抗が作用する。 (有効応力が回復する。) | ○ | |

添付 1-282 図 液状化強度試験結果
(FS-1-③(1)中空試料(供試体 No. 3-21))



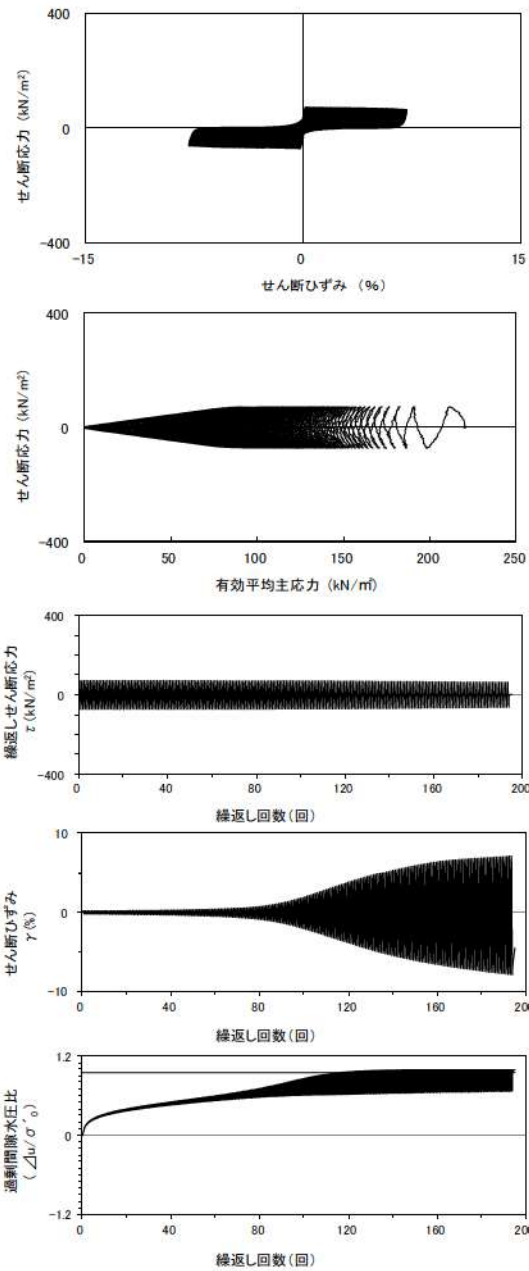
| 試験条件 | | |
|---|---------|--------|
| 供試体 | No.2-20 | |
| 圧密応力 σ'_c (kN/m ²) | 220 | |
| 繰返し応力振幅比 $\sigma_d/2\sigma'_c$ | 0.351 | |
| 試験結果 | | 液状化の判断 |
| 間隙水圧が上昇・蓄積する。 (過剰間隙水圧比95%を超える。) | ○ | 繰返し軟化 |
| 有効応力がゼロまで低下する。 | × | |
| 液体状となり流動する。 (ひずみが急増する。) | × | |
| 正のダイレイタンス特性により せん断抵抗が作用する。 (有効応力が回復する。) | ○ | |

添付 1-289 図 液状化強度試験結果
(FS-1-③(1)中空試料(供試体 No. 2-20))



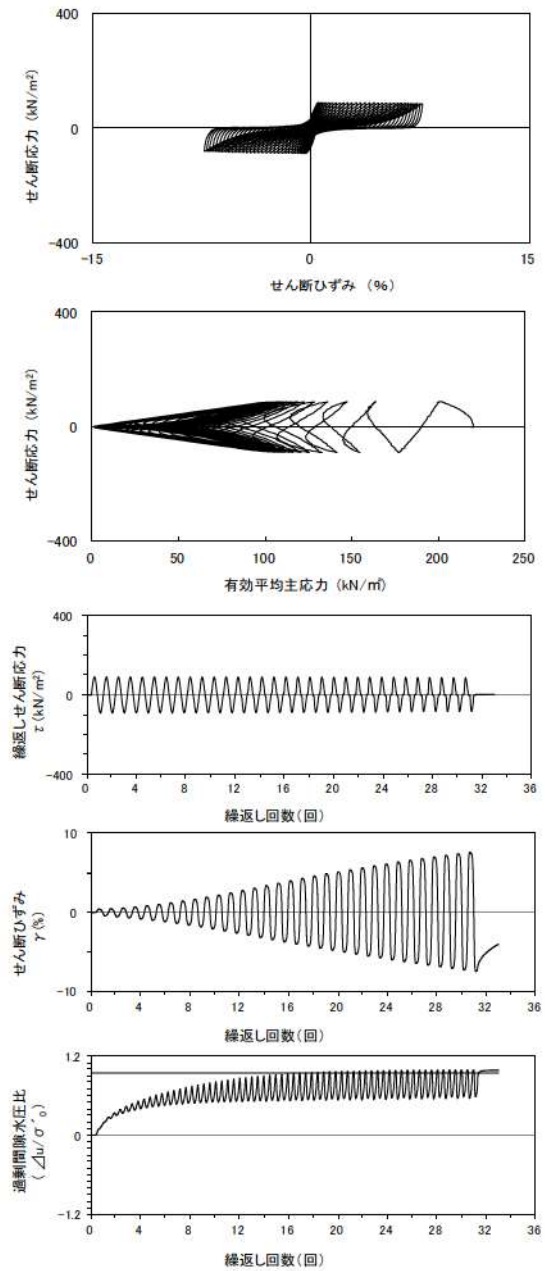
| 試験条件 | | |
|---|---------|--------|
| 供試体 | No.3-23 | |
| 圧密応力 σ'_c (kN/m ²) | 220 | |
| 繰返し応力振幅比 $\sigma_d/2\sigma'_c$ | 0.542 | |
| 試験結果 | | 液状化の判断 |
| 間隙水圧が上昇・蓄積する。 (過剰間隙水圧比95%を超える。) | ○ | 繰返し軟化 |
| 有効応力がゼロまで低下する。 | × | |
| 液体状となり流動する。 (ひずみが急増する。) | × | |
| 正のダイレイタンス特性により せん断抵抗が作用する。 (有効応力が回復する。) | ○ | |

添付 1-290 図 液状化強度試験結果
(FS-1-③(2)中空試料(供試体 No. 3-23))



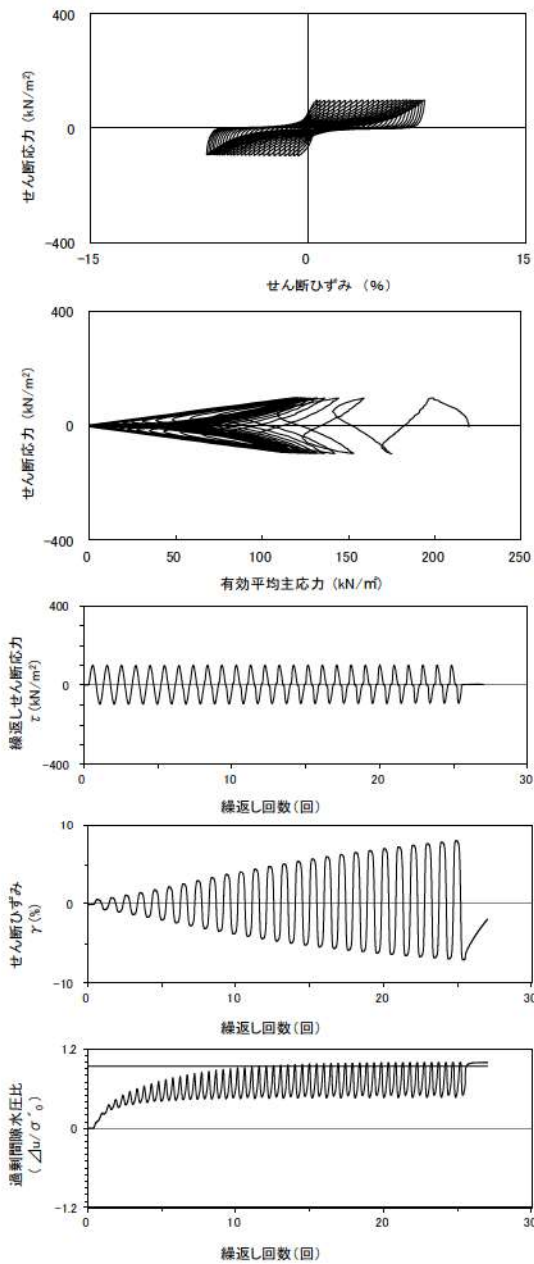
| 試験条件 | | |
|--|---------|--------|
| 供試体 | No.2-22 | |
| 圧密応力 σ'_c (kN/m ²) | 220 | |
| 繰返し応力振幅比 $\sigma_d / 2\sigma'_0$ | 0.326 | |
| 試験結果 | | 液状化の判断 |
| 間隙水圧が上昇・蓄積する。 (過剰間隙水圧比95%を超える。) | ○ | 繰返し軟化 |
| 有効応力がゼロまで低下する。 | × | |
| 液体状となり流動する。 (ひずみが急増する。) | × | |
| 正のダイレイタンスー特性により せん断抵抗が作用する。 (有効応力が回復する。) | ○ | |

添付 1-291 図 液状化強度試験結果
(FS-1-③(2) 中空試料(供試体 No. 2-22))



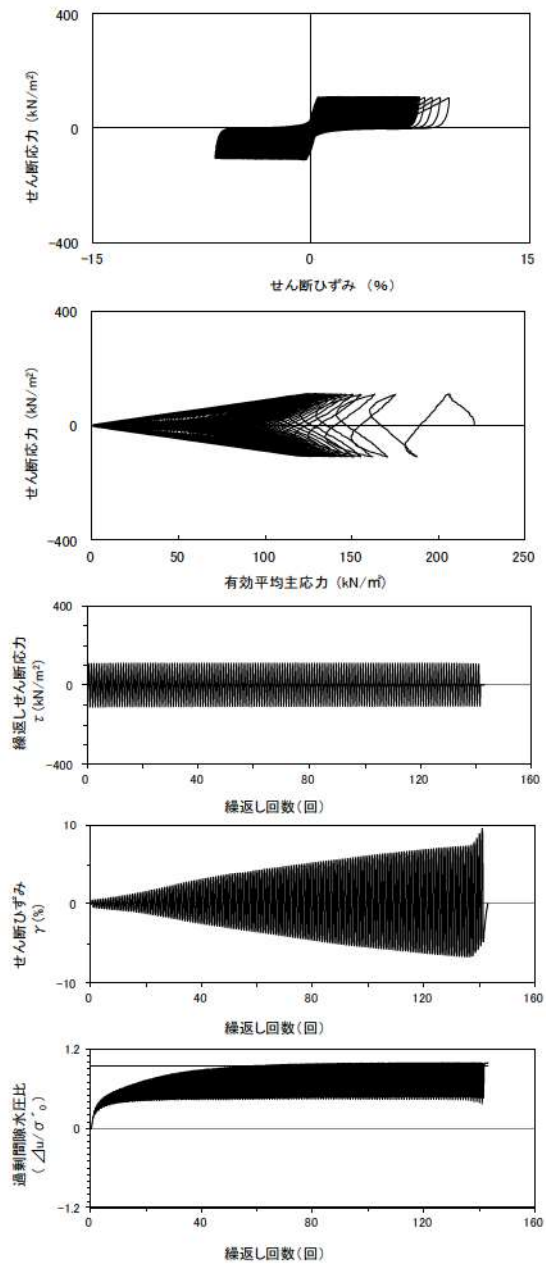
| 試験条件 | | |
|--|---------|--------|
| 供試体 | No.3-22 | |
| 圧密応力 σ'_c (kN/m ²) | 220 | |
| 繰返し応力振幅比 $\sigma_d / 2\sigma'_0$ | 0.403 | |
| 試験結果 | | 液状化の判断 |
| 間隙水圧が上昇・蓄積する。 (過剰間隙水圧比95%を超える。) | ○ | 繰返し軟化 |
| 有効応力がゼロまで低下する。 | × | |
| 液体状となり流動する。 (ひずみが急増する。) | × | |
| 正のダイレイタンスー特性により せん断抵抗が作用する。 (有効応力が回復する。) | ○ | |

添付 1-292 図 液状化強度試験結果
(FS-1-③(2) 中空試料(供試体 No. 3-22))



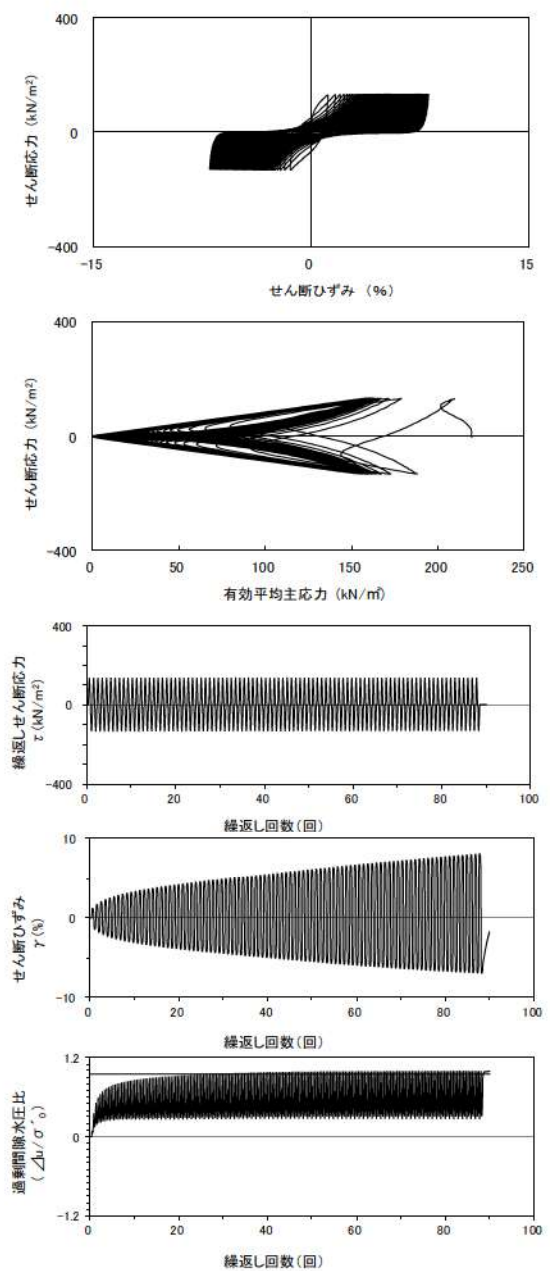
| 試験条件 | | |
|---------------------------------------|---------|----------------------------|
| 供試体 | No.2-24 | |
| 圧密応力 σ'_0 (kN/m ²) | 220 | |
| 繰返し応力振幅比 $\sigma_a/2\sigma'_0$ | 0.445 | |
| 試験結果 | | 液状化の判断 |
| 間隙水圧が上昇・蓄積する。(過剰間隙水圧比95%を超える。) | ○ | 繰返し軟化 (サイクリック モビリティ) |
| 有効応力がゼロまで低下する。 | ○ | |
| 液体状となり流動する。(ひずみが急増する。) | × | |
| 正のダイレイタンス特性によりせん断抵抗が作用する。(有効応力が回復する。) | ○ | |

添付 1-293 図 液状化強度試験結果
(FS-1-③(2)中空試料(供試体 No. 2-24))



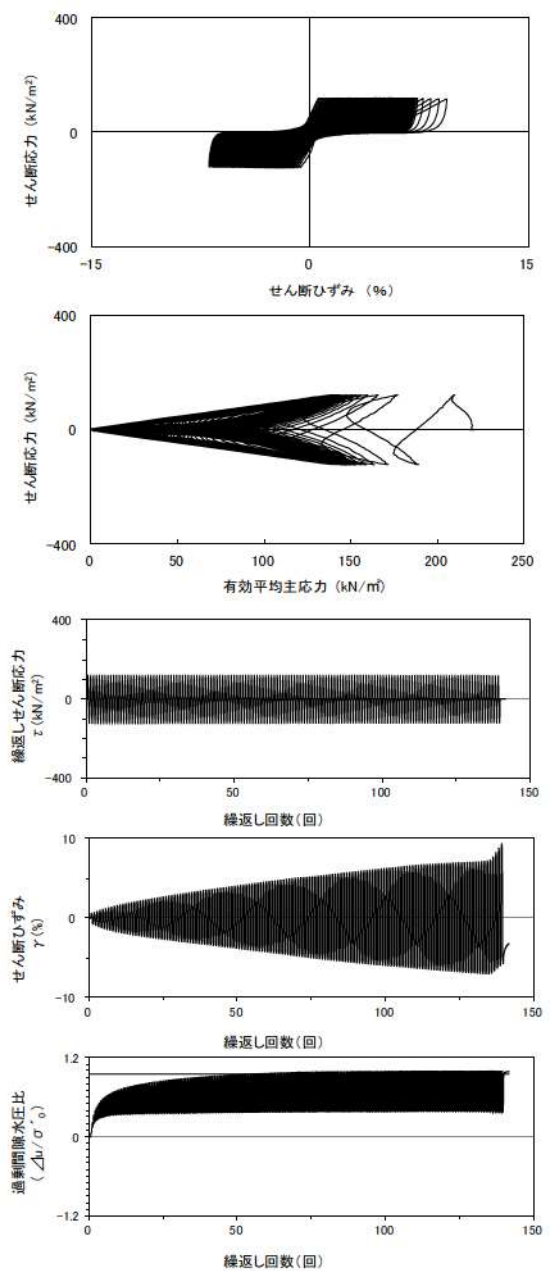
| 試験条件 | | |
|---------------------------------------|---------|--------|
| 供試体 | No.4-23 | |
| 圧密応力 σ'_0 (kN/m ²) | 220 | |
| 繰返し応力振幅比 $\sigma_a/2\sigma'_0$ | 0.494 | |
| 試験結果 | | 液状化の判断 |
| 間隙水圧が上昇・蓄積する。(過剰間隙水圧比95%を超える。) | ○ | 繰返し軟化 |
| 有効応力がゼロまで低下する。 | × | |
| 液体状となり流動する。(ひずみが急増する。) | × | |
| 正のダイレイタンス特性によりせん断抵抗が作用する。(有効応力が回復する。) | ○ | |

添付 1-294 図 液状化強度試験結果
(FS-1-③(3)中空試料(供試体 No. 4-23))



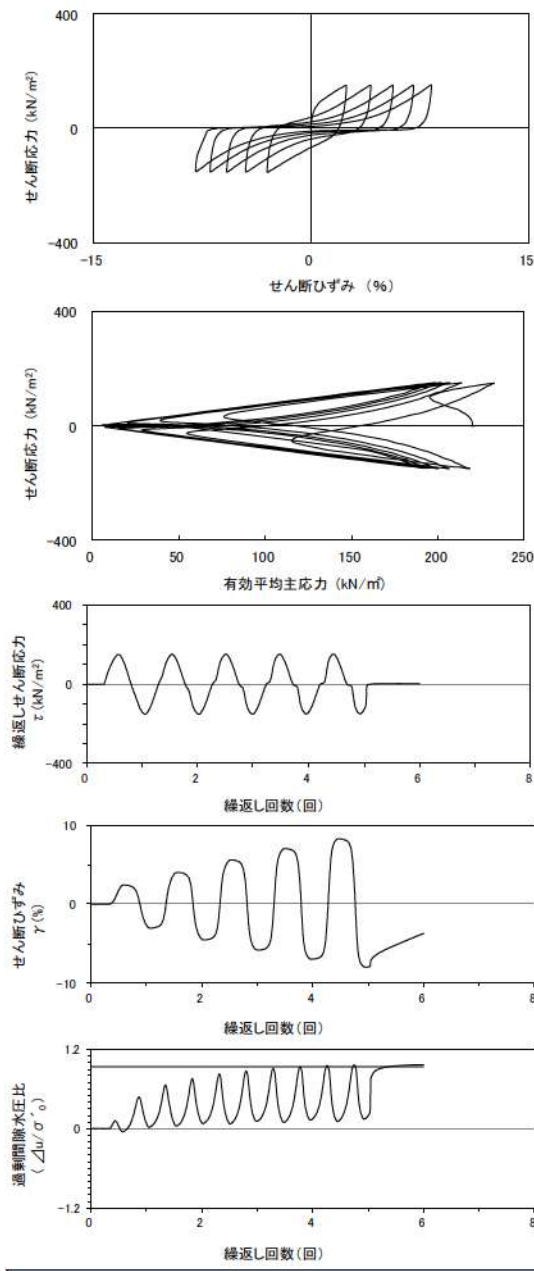
| 試験条件 | | 液状化の判断 | |
|---|---------|--------|----------------------------|
| 供試体 | No.1-21 | ○ | 繰返し軟化 |
| 圧密応力 σ'_c (kN/m ²) | 220 | | |
| 繰返し応力振幅比 $\sigma_d/2\sigma'_0$ | 0.597 | | |
| 試験結果 | | | |
| 間隙水圧が上昇・蓄積する。 (過剰間隙水圧比95%を超える。) | ○ | | |
| 有効応力がゼロまで低下する。 | × | | |
| 液体状となり流動する。 (ひずみが急増する。) | × | | |
| 正のダイレイタンス特性により せん断抵抗が作用する。 (有効応力が回復する。) | ○ | ○ | 繰返し軟化 (サイクリック モビリティ) |

添付 1-295 図 液状化強度試験結果
(FS-1-③(3)中空試料(供試体 No. 1-21))



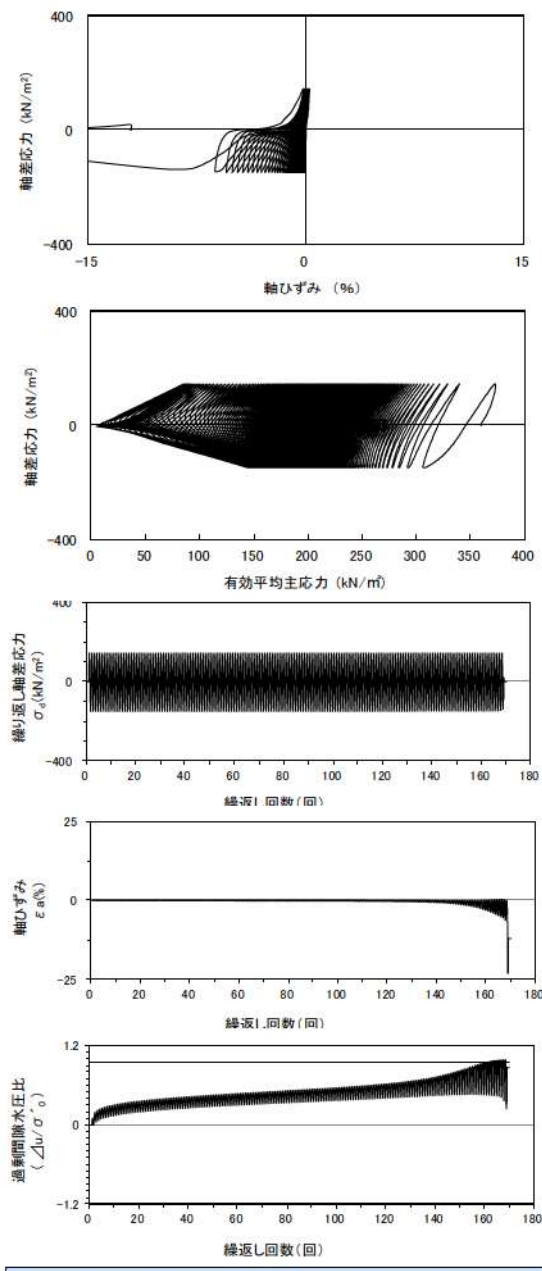
| 試験条件 | | 液状化の判断 | |
|---|---------|--------|----------------------------|
| 供試体 | No.3-25 | ○ | 繰返し軟化 |
| 圧密応力 σ'_c (kN/m ²) | 220 | | |
| 繰返し応力振幅比 $\sigma_d/2\sigma'_0$ | 0.551 | | |
| 試験結果 | | | |
| 間隙水圧が上昇・蓄積する。 (過剰間隙水圧比95%を超える。) | ○ | | |
| 有効応力がゼロまで低下する。 | ○ | | |
| 液体状となり流動する。 (ひずみが急増する。) | × | | |
| 正のダイレイタンス特性により せん断抵抗が作用する。 (有効応力が回復する。) | ○ | ○ | 繰返し軟化 (サイクリック モビリティ) |

添付 1-296 図 液状化強度試験結果
(FS-1-③(3)中空試料(供試体 No. 3-25))



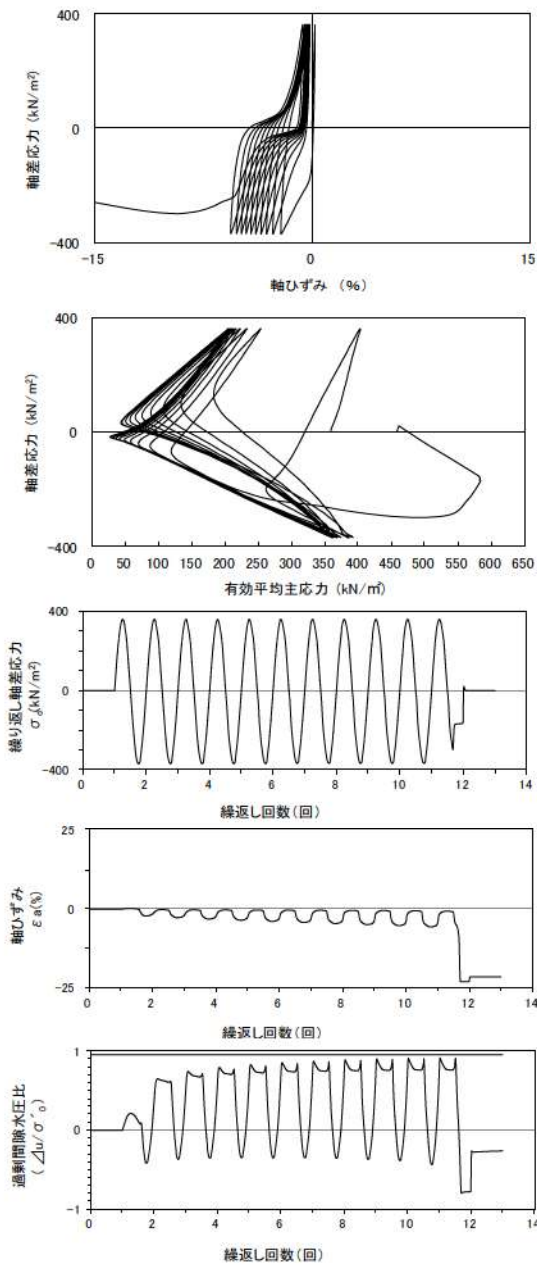
| 試験条件 | |
|---|---------|
| 供試体 | No.2-25 |
| 圧密応力 σ'_c (kN/m ²) | 220 |
| 繰返し応力振幅比 $\sigma_d/2\sigma'_0$ | 0.686 |
| 試験結果 | 液状化の判断 |
| 間隙水圧が上昇・蓄積する。 (過剰間隙水圧比95%を超える。) | ○ |
| 有効応力がゼロまで低下する。 | × |
| 液体状となり流動する。 (ひずみが急増する。) | × |
| 正のダイレイタンス特性により せん断抵抗が作用する。 (有効応力が回復する。) | ○ |
| 繰返し軟化 | |

添付 1-297 図 液状化強度試験結果
(FS-1-③(3) 中空試料(供試体 No. 2-25))



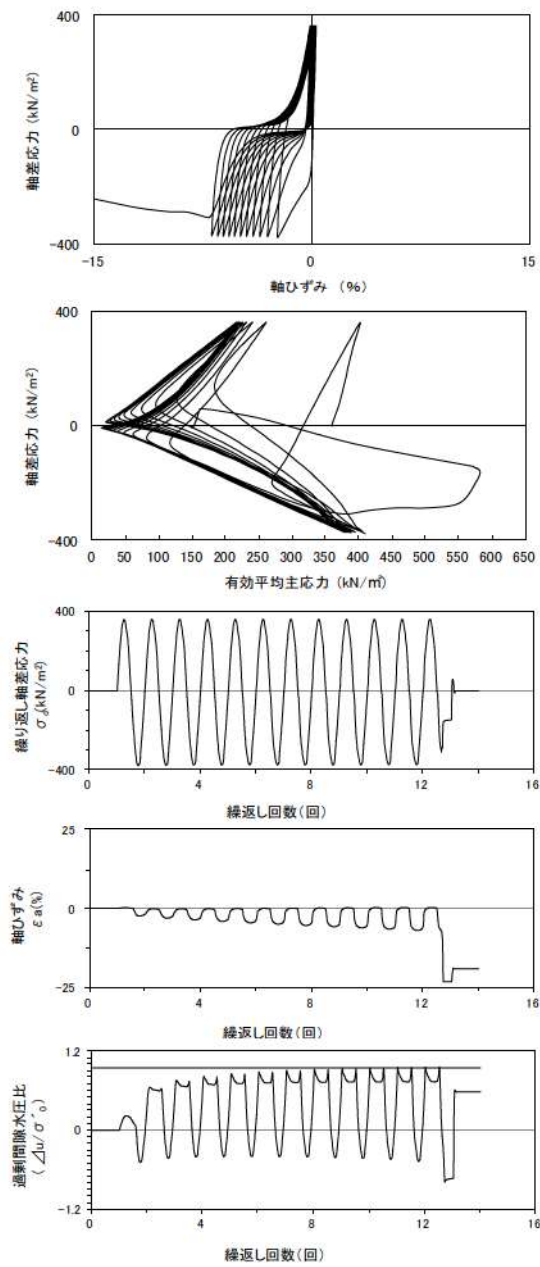
| 試験条件 | |
|---|---------|
| 供試体 | No.1-23 |
| 圧密応力 σ'_c (kN/m ²) | 360 |
| 繰返し応力振幅比 $\sigma_d/2\sigma'_0$ | 0.203 |
| 試験結果 | 液状化の判断 |
| 間隙水圧が上昇・蓄積する。 (過剰間隙水圧比95%を超える。) | ○ |
| 有効応力がゼロまで低下する。 | × |
| 液体状となり流動する。 (ひずみが急増する。) | ○ |
| 正のダイレイタンス特性により せん断抵抗が作用する。 (有効応力が回復する。) | × |
| 液状化 | |

※有効応力がゼロまで低下していないが保守的に液状化に区分した。
添付 1-298 図 液状化強度試験結果
(FS-2-④(1) 三軸試料(供試体 No. 1-23))



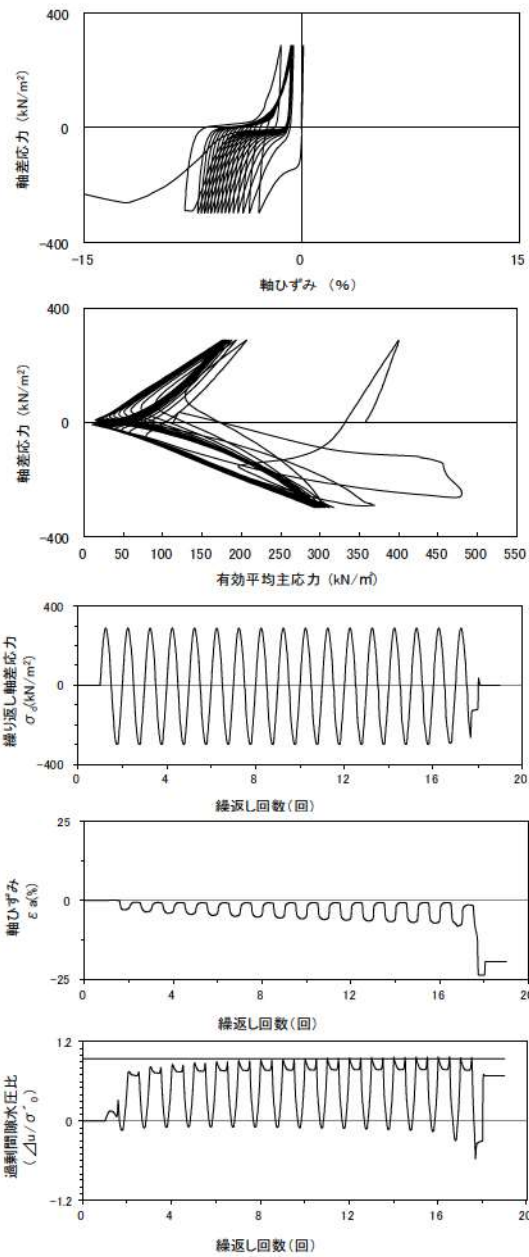
| 試験条件 | | 液状化の判断 | |
|---|---------|--------|------|
| 供試体 | No.3-21 | × | 非液状化 |
| 圧密応力 σ'_c (kN/m ²) | 360 | | |
| 繰返し応力振幅比 $\sigma_d/2\sigma'_o$ | 0.507 | | |
| 試験結果 | | | |
| 間隙水圧が上昇・蓄積する。 (過剰間隙水圧比95%を超える。) | × | ○ | |
| 有効応力がゼロまで低下する。 | × | | |
| 液体状となり流動する。 (ひずみが急増する。) | × | | |
| 正のダイレイタンス特性によりせん断抵抗が作用する。 (有効応力が回復する。) | ○ | | |

添付 1-299 図 液状化強度試験結果
(FS-2-④(1) 三軸試料(供試体 No. 3-21))



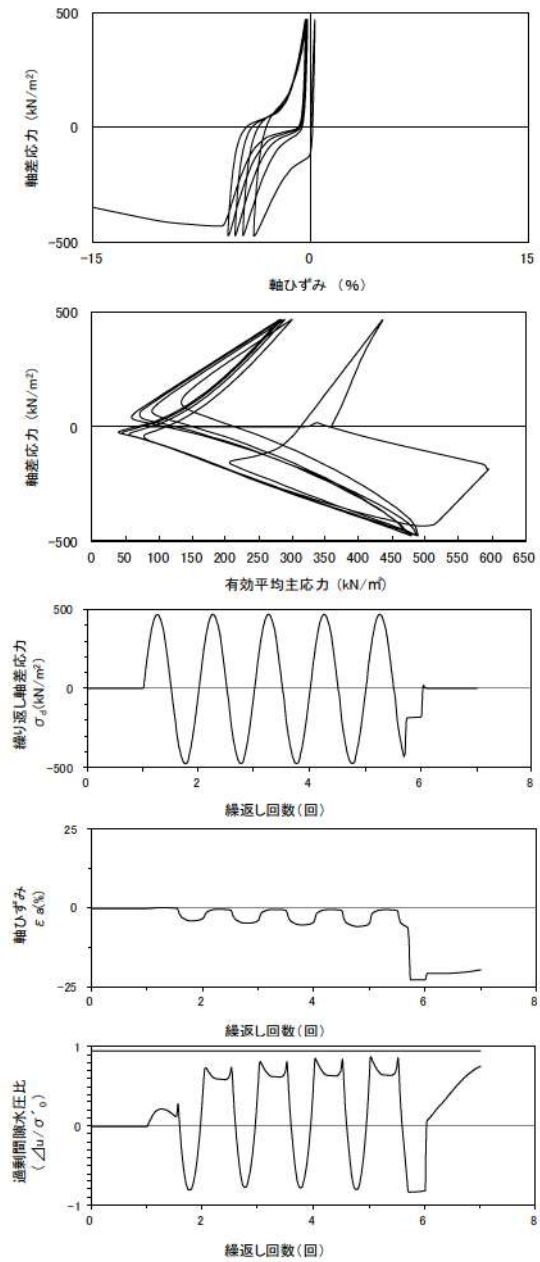
| 試験条件 | | 液状化の判断 | |
|---|---------|--------|-------|
| 供試体 | No.1-24 | ○ | 繰返し軟化 |
| 圧密応力 σ'_c (kN/m ²) | 360 | | |
| 繰返し応力振幅比 $\sigma_d/2\sigma'_o$ | 0.512 | | |
| 試験結果 | | | |
| 間隙水圧が上昇・蓄積する。 (過剰間隙水圧比95%を超える。) | ○ | × | |
| 有効応力がゼロまで低下する。 | × | | |
| 液体状となり流動する。 (ひずみが急増する。) | × | | |
| 正のダイレイタンス特性によりせん断抵抗が作用する。 (有効応力が回復する。) | ○ | | |

添付 1-300 図 液状化強度試験結果
(FS-2-④(2) 三軸試料(供試体 No. 1-24))



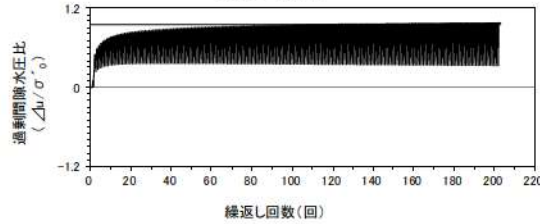
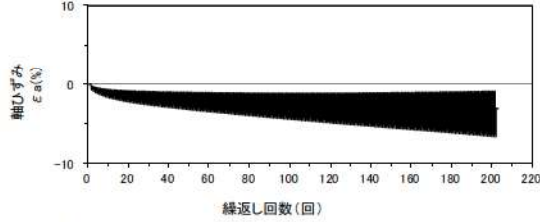
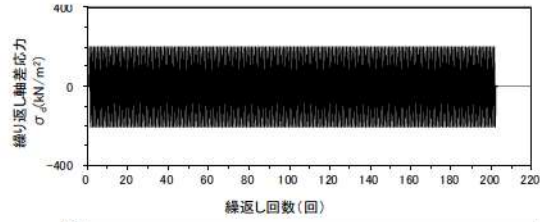
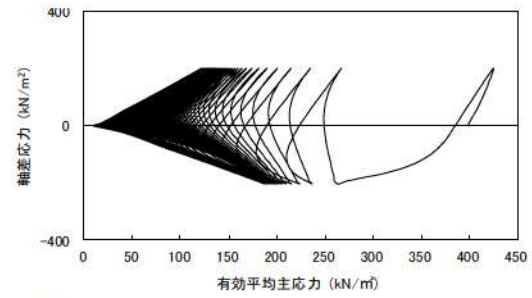
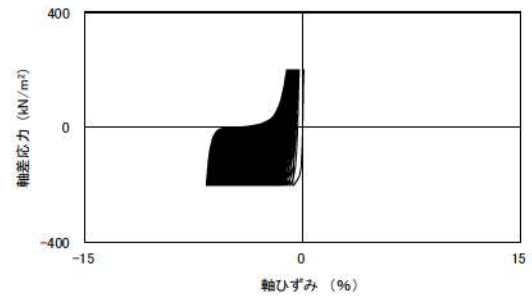
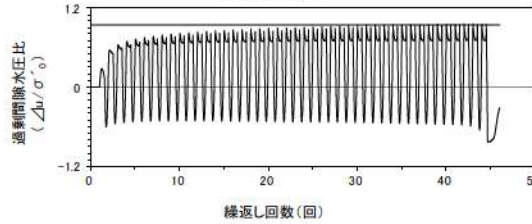
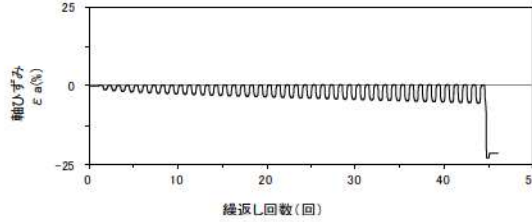
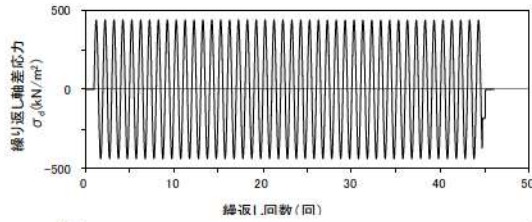
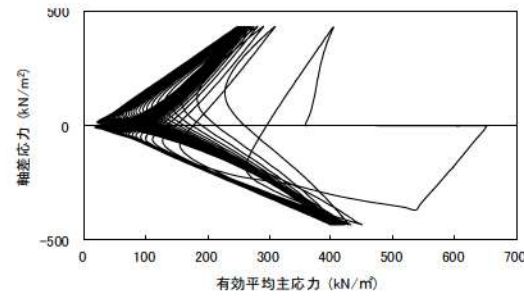
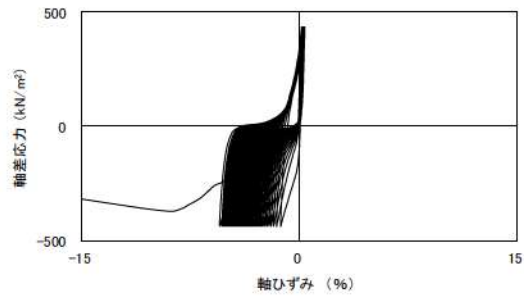
| 試験条件 | | 液状化の判断 |
|---|---------|--------|
| 供試体 | No.2-23 | |
| 圧密応力 σ'_c (kN/m ²) | 360 | |
| 繰返し応力振幅比 $\sigma_d/2\sigma'_0$ | 0.402 | |
| 試験結果 | | 繰返し軟化 |
| 間隙水圧が上昇・蓄積する。 (過剰間隙水圧比95%を超える。) | ○ | |
| 有効応力がゼロまで低下する。 | × | |
| 液体状となり流動する。 (ひずみが急増する。) | × | |
| 正のダイレイタンス特性によりせん断抵抗が作用する。 (有効応力が回復する。) | ○ | |

添付 1-301 図 液状化強度試験結果
(FS-2-④(2) 三軸試料(供試体 No. 2-23))



| 試験条件 | | 液状化の判断 |
|---|---------|--------|
| 供試体 | No.3-22 | |
| 圧密応力 σ'_c (kN/m ²) | 360 | |
| 繰返し応力振幅比 $\sigma_d/2\sigma'_0$ | 0.653 | |
| 試験結果 | | 非液状化 |
| 間隙水圧が上昇・蓄積する。 (過剰間隙水圧比95%を超える。) | × | |
| 有効応力がゼロまで低下する。 | × | |
| 液体状となり流動する。 (ひずみが急増する。) | × | |
| 正のダイレイタンス特性によりせん断抵抗が作用する。 (有効応力が回復する。) | ○ | |

添付 1-302 図 液状化強度試験結果
(FS-2-④(2) 三軸試料(供試体 No. 3-22))



| 試験条件 | | 液状化の判断 | |
|---|---------|--------|-------|
| 供試体 | No.4-26 | | 繰返し軟化 |
| 圧密応力 σ'_c (kN/m ²) | 360 | | |
| 繰返し応力振幅比 $\sigma_a/2\sigma'_c$ | 0.599 | | |
| 試験結果 | | 液状化の判断 | |
| 間隙水圧が上昇・蓄積する。 (過剰間隙水圧比95%を超える。) | ○ | 繰返し軟化 | |
| 有効応力がゼロまで低下する。 | × | | |
| 液体状となり流動する。 (ひずみが急増する。) | × | | |
| 正のダイレイタンス特性により せん断抵抗が作用する。 (有効応力が回復する。) | ○ | | |

添付 1-303 図 液状化強度試験結果
(FS-2-④(3) 三軸試料(供試体 No. 4-26))

| 試験条件 | | 液状化の判断 | |
|---|---------|--------|-------|
| 供試体 | No.1-47 | | 繰返し軟化 |
| 圧密応力 σ'_c (kN/m ²) | 400 | | |
| 繰返し応力振幅比 $\sigma_a/2\sigma'_c$ | 0.255 | | |
| 試験結果 | | 液状化の判断 | |
| 間隙水圧が上昇・蓄積する。 (過剰間隙水圧比95%を超える。) | ○ | 繰返し軟化 | |
| 有効応力がゼロまで低下する。 | × | | |
| 液体状となり流動する。 (ひずみが急増する。) | × | | |
| 正のダイレイタンス特性により せん断抵抗が作用する。 (有効応力が回復する。) | ○ | | |

※繰返し回数 200 回で判定

添付 1-304 図 液状化強度試験結果
(FS-2-⑥(1) 三軸試料(供試体 No. 1-47))